



TUGAS AKHIR (RC14 - 1501)

**ALTERNATIF PERKUATAN TIMBUNAN EXISTING
RAILWAY TRACK STA 141+100 – 141+600
“BOJONEGORO – SURABAYA PASAR TURI”**

YUDHA PRATAMA NARRA PUTRA
NRP 3113 100 001

Dosen Pembimbing I
Dr. Yudhi Lastasih, S.T., MT.

Dosen Pembimbing II
Putu Tantri Kumala Sari, S.T., M.T.

JURUSAN TEKNIK SIPIL
Fakultas Teknik Sipil dan Perencanaan
Institut Teknologi Sepuluh Nopember
Surabaya 2017



TUGAS AKHIR (RC14 - 1501)

ALTERNATIF PERKUATAN TIMBUNAN EXISTING RAILWAY TRACK STA 141+100 – 141+600 “BOJONEGORO – SURABAYA PASAR TURI”

**YUDHA PRATAMA NARRA PUTRA
NRP 3113 100 001**

Dosen Pembimbing I
Dr. Yudhi Lastiasih, S.T., M.T.

Dosen Pembimbing II
Putu Tantri Kumala Sari, S.T., M.T.

**JURUSAN TEKNIK SIPIL
Fakultas Teknik Sipil dan Perencanaan
Institut Teknologi Sepuluh Nopember
Surabaya 2017**



FINAL PROJECT (RC14 - 1501)

ALTERNATIVE EXISTING EMBANKMENTS STRENGTHENING RAILWAY TRACK STA 141+100 - STA 141+600 “BOJONEGORO – SURABAYA PASAR TURI”

**YUDHA PRATAMA NARRA PUTRA
NRP 3113 100 001**

Academic Supervisor I
Dr. Yudhi Lastiasih, S.T., M.T.

Academic Supervisor II
Putu Tantri Kumala Sari, S.T., M.T.

**DEPARTMENT OF CIVIL ENGINEERING
Faculty of Civil Engineering and Planning
Institut Teknologi Sepuluh Nopember
Surabaya 2017**

**ALTERNATIF PERKUATAN TIMBUNAN EXISTING
RAILWAY TRACK STA 141+100 – 141+600
“BOJONEGORO – SURABAYA PASAR TURI”**

TUGAS AKHIR

Diajukan untuk Memenuhi Salah Satu Syarat

Memperoleh Gelar Sarjana Teknik
pada

Bidang Studi Geoteknik

Program Studi S-1 Teknik Sipil

Fakultas Teknik Sipil dan Perencanaan

Institut Teknologi Sepuluh Nopember

Oleh :

YUDHA PRATAMA NARRA PUTRA

NRP 3113100001

Disetujui oleh Pembimbing Tugas Akhir:

1. Dr. Yudhi Lastiasih, ST., MT. (Pembimbing I)

2. Putu Tantri Kumala Sari, S.T., M.T. (Pembimbing II)

SURABAYA
MEI, 2017

**ALTERNATIF PERKUATAN TIMBUNAN EXISTING
RAILWAY TRACK STA 141+100 – 141+600
“BOJONEGORO - SURABAYA PASAR TURI”**

Nama Mahasiswa : Yudha Pratama Narra Putra
NRP : 3113100001
Jurusan : Teknik Sipil FTSP-ITS
Dosen Pembimbing I : Dr. Yudhi Lastiasih., ST., MT
Dosen Pembimbing II : Putu Tantri KS., ST., MT

Abstrak

Padatnya lalu lintas kereta api di utara pulau jawa menyebabkan Pemerintah memerintahkan PT. KAI untuk membangun jalur rel ganda pada lintas jalan rel antara Bojonegoro sampai dengan Surabaya Pasar Turi yang merupakan bagian dari lintas jalan rel utara Pulau Jawa. Setelah beberapa hari pemasangan perkuatan di samping timbunan rel baru terjadi tanda-tanda pergerakan tanah pada timbunan rel lama yaitu berupa tiang yang miring dan kelongsoran badan timbunan. Oleh karena itu, dilakukan analisis ulang pada titik yang mengalami tanda-tanda kerusakan tanah. Dari hasil analisis tersebut, diketahui bahwa SF (safety factor) yang berada pada beberapa lokasi kurang dari 1, dimana kondisi ini menyebabkan terjadinya kelongsoran. Sedangkan pada lokasi lainnya nilai SF berada pada kondisi kritis ($SF = 1$). Maka, agar rel kereta api dapat difungsikan kembali, perlu direncanakan perkuatan lereng pada timbunan rel existing di ketiga zona. Mengacu pada peraturan menteri No 60 Tahun 2012, SF yang di gunakan dalam perencanaan di ketiga zona adalah 1,5.

Alternatif perkuatan yang direncanakan tidak boleh membongkar rel lama. Maka ditawarkan 4 alternatif yang pertama menggunakan perkuatan dengan cerucuk (micropile), timbunan tambahan (counterweight), dan turap beton (free standing dan berjangkar) di sisi timbunan rel lama. Pada tahap akhir dilakukan

analisis perbandingan biaya material antara 4 alternatif untuk system perkuatan timbunan.

Dengan melihat kesamaan topografi permberian perkuatan dibedakan menjadi 3 zona yaitu zona 1 (STA 141+100-141+300), zona 2 (STA 141+300-141+450), dan zona 3 (STA 141+450-600). Maka didapatkan alternatif perkuatan yang pertama untuk zona 1 yaitu menggunakan cerucuk (*micro pile*) *Prestressed Concrete Spun Pile* diameter 300 mm dari PT Wijaya Karya Beton, panjang cerucuk 10 m dengan jarak spasi 1m berjumlah 603 buah. Pada zona 2 panjang cerucuk 10 m, jarak spasi 1m dan jumlah 300 buah. Sedangkan pada zona 3 panjang cerucuk 10 m, jarak spasi 1m dan jumlah 300 buah. Alternatif kedua menggunakan counterweight sebanyak 4256 m^3 pada zona 1, sebanyak 2430 m^3 pada zona 2 dan 2162 m^3 pada zona 3. Alternatif perkuatan ketiga menggunakan turap beton freestanding *Corrugated Type W600 A1000* sedalam 21m untuk ketiga zona. Alternatif keempat turap berjangkar dengan teknik grouting menggunakan turap beton *Corrugated Type W400 A1000* sedalam 10m, diameter baja angker berukuran 6 cm panjang 7.5 m, dan beton grouting $fc' = 50\text{ Mpa}$ diameter 0.3 m tinggi 1 m.

Dilihat dari biaya material yang ekonomis maka dipilih perkuatan cerucuk (*micro pile*) dengan total biaya material yang dibutuhkan pada zona 1 adalah Rp 223.688.434, untuk zona 2 adalah Rp 111.287.778, dan untuk zona 3 Rp 111.287.778. Jumlah semua biaya material cerucuk adalah Rp 446.263.990

Kata kunci : Jalan rel Bojonegoro-Surabaya Pasar Turi, Safety Factor, Cerucuk, Turap Beton, Counterweight

**ALTERNATIVE EXISTING EMBANKMENTS
RETROFITTING RAILWAY TRACK STA 141+100 – STA
141+600 “BOJONEGORO – SURABAYA PASAR TURI”**

Name of Student	: Yudha Pratama Narra Putra
Student's Number	: 3113100001
Department	: Civil Engineering Dept. FTSP ITS
Supervisor I	: Dr. Yudhi Lastiasih., ST., MT
Supervisor II	: Putu Tantri KS., ST., MT

Abstract

Because train's traffic jam in the north Java, the government commanded PT. KAI to build a double track railway on the rail road traffic between Bojonegoro to Surabaya Pasar Turi, which is part of the northern rail road traffic Java Island. After several days of reinforcement installation beside new embankment there are signs of land movement on the old rail embankment, such as tilted pile and sliding. Therefore, re-analysis is conducted to the point that shows signs of damaged soil. From the result of analysis, it is known that SF (safety factor) in some locations is less than 1, wherein this condition is causing landslide. While another location SF are in critical condition. Therefore, in order to make the railroad can be used again, slope reinforcement has to be planned on existing rail embankment in those zones. Referring to the ministerial decree No. 60 of 2012, SF used in planning in those zones was 1.5.

Offered alternative plan is reinforcement without the demolition of old rail. The first alternative uses micro pile, counterweight, and concrete sheet pile (with anchor and without anchor) on the side of the old rail embankment. In the final stage, comparative analysis between 4 alternative for embankment reinforcement system conducted.

By looking at the similarities of topography retrofitting can be divided into three zones: zone 1 (STA 141 + 100-141 + 300), Zone 2 (STA 141 + 300-141 + 450), and zone 3 (STA 141 + 450-

600). Then obtained the first retrofit alternative that first alternative retrofitting for zone 1 using micro pile Prestressed Concrete Spun Pile diameter 300 mm of PT Wijaya Karya Beton, micro pile length of 10 m with a spacing of 1 m and amounted to 603 units. For zone 2 micro pile length of 10 m, a spacing of 1 m and the amount of 300 pieces. While zone 3 is installed micro pile length 10 m, a spacing of 1 m and the amount of 300 pieces. Second alternative uses as much counterweight 4256 m^3 in zone 1, 2430 m^3 in zone 2 and 2162 m^3 in zone 3. The third retrofitting alternative is to use freestanding concrete sheet pile Corrugated Type W600 A1000 depth of 21 m for all zone. The fourth retrofitting alternative is anchored sheet pile using grouting techniques with concrete sheet pile Corrugated Type W400A1000 as deep as 10 m, diameter of steel is 6 cm, length 7.5 m, and grouting concrete f'_c 50 Mpa diameter 0.3 m height 1 m.

Micro pile reinforcement is chosen because the cheapest among others. Total cost of material required in zone 1 is IDR 233 688 434, for zone 2 is IDR 111 287 778, and for zone 3 is IDR 111 287 778 million. The sum of all micro plie material cost is IDR 446 263 990.

Keyword : Railway Track Bojonegoro-Surabaya Pasar Turi, Safety Factor, Sheet Pile, Micro Pile, Counterweight

KATA PENGANTAR

Puji syukur ke hadirat Allah SWT, karena atas berkat rahmat dan hidayah-Nya penulis dapat menyelesaikan Tugas Akhir yang berjudul “ALTERNATIF PERKUATAN TIMBUNAN EXISTING RAILWAY TRACK STA 141+00 – 141+600 “BOJONEGORO – SURABAYA PASAR TURI” “ ini tepat pada waktunya.

Tugas Akhir ini diajukan sebagai persyaratan gelar kesarjanaan jurusan Teknik Sipil, Fakultas Teknik Sipil dan Perencanaan, Institut Teknologi Sepuluh Nopember, Surabaya. Penulis berharap Tugas Akhir ini dapat berguna bagi semua pihak. Penulis menyadari bahwa Tugas Akhir ini masih terdapat kekurangan, untuk itu segala saran dan masukan tentang penulisan tugas akhir ini sangat diharapkan.

Adapun dalam proses penyusunan Tugas Akhir ini penulis memperoleh bantuan dan bimbingan serta banyak dukungan dari berbagai pihak. Oleh karena itu, penulis mengucapkan terima kasih yang sebesar-besarnya kepada:

1. Allah SWT, atas segala kuasa dan bimbingan-Nya
2. Kedua orangtua Penulis; Bapak Sunaryo dan Ibu Rahayu Margyaningsih atas dukungan, doa, motivasi, dan semangatnya.
3. Adik Penulis; Naufal Dwinanda Narra Putra atas doa, dukungan, dan semangatnya.
4. Ibu Dr. Yudhi Lastiasih, ST., MT., selaku dosen pembimbing yang telah membimbing baik akademik maupun non-akademik, membimbing segi psikis dan mental.
5. Ibu Putu Tantri Kumala Sari, ST., MT. selaku dosen pembimbing yang telah membimbing bidang akademik, teknik penulisan serta motivasi untuk menyelesaikan tugas akhir.

6. Bapak Musta'in Arif, ST., MT. selaku dosen konsultasi program untuk penulis yang telah memberikan bimbingan tentang program plaxis.
7. Bapak Dr.techn. Umboro Lasminto, ST., M.Sc. selaku dosen wali penulis yang selalu memberi motivasi dalam mengerjakan tugas akhir ini.
8. Dofran Winner Luhulima, ST., atas bantuan dan bimbingan dalam perhitungan dan pembuatan laporan.
9. Muhammad Ivan Adi Perdana dan Derry Wira M, atas bantuan dan doa dalam mengerjakan Tugas Akhir ini.
10. Bintang Mahardhika, Pratistho Panuntun Unggul Listyono, Teguh Priyatna K, Dwiki Damar S, M. Faisal Haq, Rifqi Erian S sebagai teman Kelompok JIHAD SQUAD atas doa dan semangatnya.
11. Ni Putu Ika P, Mita Octavenia, Nadya P, Rachmatika Nurita dan segenap rekan-rekan BFC (Bintang Fans Club) atas doa dan dukungannya.
12. Teman-teman "Ikan Mass"; Amalia Rizqi S, Hasri Palgunadhi, Dwiyanti Agustina, doa dan semangatnya.
13. Teman-teman S-56, angkatan 2013 Jurusan Teknik Sipil ITS yang telah berjuang bersama penulis selama tiga setengah tahun ini.
14. Semua pihak yang telah membantu yang tidak dapat Penulis sebutkan satu per satu.

Walaupun masih banyak kekurangan dan jauh dari kata sempurna penulis berharap semoga Tugas Akhir ini dapat memberikan manfaat dan menambah wawasan. Penulis juga memohon maaf atas kekurangan yang ada pada Tugas Akhir ini.

Surabaya, Mei 2017

Penulis

DAFTAR ISI

HALAMAN JUDUL	i
TITLE PAGE	ii
LEMBAR PENGESAHAN	iii
ABSTRAK	iv
ABSTRACT	vi
KATA PENGANTAR	viii
DAFTAR ISI	x
DAFTAR GAMBAR	xii
DAFTAR TABEL	xv
BAB I PENDAHULUAN	1
1.1 Latar Belakang	8
1.2 Rumusan Masalah	8
1.3 Tujuan	9
1.4 Batasan Masalah	9
1.5 Manfaat	9
BAB II TINJAUAN PUSTAKA	11
2.1 Timbunan	11
2.2 Stabilitas Talud	12
2.2.1 Pengertian Kelongsoran	12
2.2.2 Pendekatan Korelasi.....	15
2.2.3 Metode Analisis Kestabilan Lereng.....	20
2.3 <i>Software Geostudio</i>	22
2.4 <i>Software Plaxis</i>	23
2.5 Konsep Perkuatan Lereng dengan Cerucuk	24
2.5.1 Perhitungan Faktor Kekakuan	28
2.5.2 Perhitungan Kekuatan untuk Satu Cerucuk.	28
2.5.3 Penentuan Jumlah Cerucuk.....	31
2.6 Konsep Perkuatan Lereng dengan <i>Counterweigh</i>	32
2.7 Konsep Perkuatan Lereng dengan Turap	33
2.7.1 Tekanan Lateral Aktif	34
2.7.2 Perencanaan Turap dengan Angker.....	36
2.8 Pembebaan Kereta Api	41

BAB III METODOLOGI	45
3.1 Bagan Alir	45
3.1.1 Studi Literatur	46
3.1.2 Pengumpulan dan Analisi Data.....	47
3.1.3 Perhitungan Perkuatan Tanah Timbunan...	47
3.1.4 Perhitungan Biaya.....	48
3.1.5 Kesimpulan	48
3.1.6 Lampiran.....	48
3.2 Penjadwalan	49
BAB IV DATA PERENCANAAN DAN ANALISIS	51
4.1 Data Tanah	51
4.2 Data Material Perkuatan Timbunan	52
4.3 Data Rel Kereta Api	53
4.4 Layout Topografi dan Potongan	59
BAB V PERENCANAAN ALTERNATIF	61
5.1 Analisis Kelongsoran Timbunan Rel Awal	61
5.2 Perencanaan Perkuatan Timbunan dengan Turap	64
5.2.1 Perencanaan Turap tanpa Angker	65
5.2.2 Analisis Stabilitas Perkuatan Turap <i>Freestanding</i>	82
5.2.3 Perencanaan Turap dengan Angkur	83
5.3 Perencanaan Perkuatan dengan <i>Counterweight</i>	97
5.3.1 Perencanaan Panjang <i>Counterweight</i>	97
5.3.2 Analisis Perkuatan <i>Counterweight</i>	98
5.4 Perencanaan Perkuatan dengan Cerucuk.....	99
5.5 Perhitungan Biaya Material	106
5.5.1 Perhitungan Biaya Perkuatan Turap..	106
5.5.2 Perhitungan Biaya <i>Counterweight</i>	107
5.5.3 Perhitungan Biaya Perkuatan Cerucuk	108
BAB VI KESIMPULAN	111
6.1 Kesimpulan	111
6.2 Saran	112
DAFTAR PUSTAKA	
LAMPIRAN	
BIODATA PENULIS	

DAFTAR GAMBAR

Gambar 1.1	Peta Jalur Rel Utara Pulau Jawa dari Jakarta Sampaи Surabaya	3
Gambar 1.2	Peta Lokasi Proyek	3
Gambar 1.3	Layout STA 141+100 s/d 141+600	4
Gambar 1.4	Kemiringan Tiang Listrik pada STA 141+100 s/d 141+600	4
Gambar 1.5	Kelongsoran Tanah Existing pada STA 141+100 s/d 141+600	5
Gambar 1.6	Potongan Melintang STA 141+150	6
Gambar 1.7	Analisis Stabilitas Tanah Timbunan Existing STA 141+150.....	7
Gambar 2.1	Ilustrasi Penimbunan	11
Gambar 2.2	Kelongsoran Talud.....	12
Gambar 2.3	Bidang Longsor Berpotongan dengan Kaki Talud	13
Gambar 2.4	Keruntuhan pada Talud	14
Gambar 2.5	Klasifikasi Tanah Berdasarkan <i>Cone Bearing</i> (qn)	16
Gambar 2.6	Korelasi nilai N-SPT dengan Nilai Cu ..	17
Gambar 2.7	Gaya yang Bekerja pada Lereng dengan Metode Irisan	21
Gambar 2.8	Prosedur Desain untuk Tiang yang Menerima Beban Lateral	25
Gambar 2.9	Asumsi Kedudukan Cerucuk sebagai Penahan Terhadap Keruntuhan Geser di Lapangan	26
Gambar 2.10	Asumsi Tiang Pancang Kelompok Menahan Gaya Lateral yang Digunakan sebagai Dasar Mencari Tahanan Geser Cerucuk.....	26
Gambar 2.11	Sketsa Peningkatan Kekuatan Geser Tanah Akibat Pemasangan Cerucuk	27
Gambar 2.12	Harga f dari Berbagai Jenis Tanah	28

Gambar 2.13	Prosedur Desain untuk Tiang yang Menerima Beban Lateral	29
Gambar 2.14	Prosedur Desain Jumlah Cerucuk.....	32
Gambar 2.15	Prinsip <i>Foundation Stability</i>	33
Gambar 2.16	Gaya-Gaya pada Diagram Tekanan Tanah Horisontal Beban Terpusat	35
Gambar 2.17	Gaya-Gaya pada Diagram Tekanan Tanah Horizontal	36
Gambar 2.18	Contoh Penjangkaran	37
Gambar 2.19	Penentuan Lokasi Angker	38
Gambar 2.20	Skema Pembebanan Kereta Api 2 Lokomotif	42
Gambar 2.21	Skema Pembebanan Kereta Api dengan Kereta Gerobak	42
Gambar 2.22	Skema Pembebanan Kereta Api 6 atau 7 Gandar.....	42
Gambar 2.23	Skema Pembebanan Kereta Api 5 Gandar	43
Gambar 2.24	Skema Pembebanan Kereta Api 3 Gandar	43
Gambar 2.25	Skema Pembebanan Kereta Api 2 Gandar	43
Gambar 2.26	Skema Pembebanan Kereta Api 1 Gandar	43
Gambar 3.1	Diagram Alir Tugas Akhir	46
Gambar 3.2	Layout STA 141+100 – 141+600	48
Gambar 3.3	Sondir STA 141+100 – 141+600	49
Gambar 4.1	Skema Pembebanan Kereta Api dengan Gandar Lebih dari 8	54
Gambar 4.2	Pembebanan Kereta Api.....	55
Gambar 4.3	Desain Penampang Melintang Jalan Rel pada Bagian Lurus	58
Gambar 4.4	Desain Penampang Melintang Jalan Rel pada Bagian Miring	59

Gambar 5.1	Layout STA 141+150 (Zona 1)	62
Gambar 5.2	Layout STA 141+350 (Zona 2)	62
Gambar 5.3	Layout STA 141+600 (Zona 3)	63
Gambar 5.4	Geometri Timbunan dan Letak Turap STA 141+150	65
Gambar 5.5	Geometri Timbunan dan Letak Turap STA 141+350	66
Gambar 5.6	Geometri Timbunan dan Letak Turap STA 141+600	66
Gambar 5.7	Sketsa Gaya Horisontal yang Bekerja pada Turap Tanpa Angker Akibat Beban Timbunan dan Bantalan Rel	71
Gambar 5.8	Sketsa Gaya Horisontal yang Bekerja pada Turap Tanpa Angker Akibat Beban Kereta Api STA 141+150	72
Gambar 5.9	Sketsa Gaya Horisontal yang Bekerja pada Turap Tanpa Angker Akibat Beban Kereta Api STA 141+350	72
Gambar 5.10	Sketsa Gaya Horisontal yang Bekerja pada Turap Tanpa Angker Akibat Beban Kereta Api STA 141+600	73
Gambar 5.11	Grafik Konversi antara Jumlah Asumsi Turap dan Jumlah Hitung Turap untuk Beberapa SF STA 141+150	80
Gambar 5.12	Grafik Konversi antara Jumlah Asumsi Turap dan Jumlah Hitung Turap untuk Beberapa SF STA 141+350	81
Gambar 5.13	Grafik Konversi antara Jumlah Asumsi Turap dan Jumlah Hitung Turap untuk Beberapa SF STA 141+600	81
Gambar 5.14	Sketsa Gaya Horisontal yang Bekerja pada Turap Dengan Angker Akibat Beban Timbunan dan Bantalan Rel	86

Gambar 5.15	Sketsa Gaya Horisontal yang Bekerja pada Turap Dengan Angker Akibat Beban Kereta Api STA 141+150	87
Gambar 5.16	Sketsa Gaya Horisontal yang Bekerja pada Turap Dengan Angker Akibat Beban Kereta Api STA 141+350	87
Gambar 5.17	Sketsa Gaya Horisontal yang Bekerja pada Turap Dengan Angker Akibat Beban Kereta Api STA 141+600	88
Gambar 5.18	Geometri Timbunan dan Cerucuk STA 141+150	99
Gambar 5.19	Geometri Timbunan dan Cerucuk STA 141+350	100
Gambar 5.20	Geometri Timbunan dan Cerucuk STA 141+6-0	100
Gambar 5.21	Grafik Konversi antara Jumlah Asumsi Cerucuk dan Jumlah Hitung Cerucuk untuk Beberapa SF STA 141+150.....	104
Gambar 5.22	Grafik Konversi antara Jumlah Asumsi Cerucuk dan Jumlah Hitung Cerucuk untuk Beberapa SF STA 141+150.....	105
Gambar 5.23	Grafik Konversi antara Jumlah Asumsi Cerucuk dan Jumlah Hitung Cerucuk untuk Beberapa SF STA 141+150.....	105

DAFTAR TABEL

Tabel 2.1	Konsistensi Tanah (untuk Tanah Dominan Lanau dan Lempung)	16
Tabel 2.2	Korelasi berdasarkan Konsistensi Tanah (untuk Tanah Dominan Lanau dan Lempung) ...	17
Tabel 2.3	Korelasi Jenis Tanah dengan Modulus Young dan Poisson Ratio	17
Tabel 2.4	Korelasi Jenis Tanah ke <i>Spesific Gravity</i>	18
Tabel 2.5	Korelasi Jenis Tanah ke <i>Dry Density</i>	18
Tabel 2.6	Korelasi Jenis Tanah Kerikil ke Sudut Geser	19
Tabel 2.7	Korelasi Jenis Tanah Kerikil ke <i>Dry and Sat Density</i>	19
Tabel 2.8	Korelasi Jenis Tanah Kerikil dengan Modulus Young dan Poisson Ratio	20
Tabel 2.9	Model Persamaan Cerucuk untuk Masing-Masing Variasi Perlakuan.....	30
Tabel 2.10	Perkiraan Kasar dari Perlawanan Geser yang Bekerja pada Permukaan Jangkar	40
Tabel 2.11	Pembebatan Kereta Api dengna Lebar Gandar 1067mm	41
Tabel 2.12	Pembebatan Kereta Api dengna Lebar Gandar 1435mm	41
Tabel 3.1	Rencanan Jadwal Penggerjaan Tugas Akhir	49
Tabel 4.1	Rekapitulasi Data Tanah	52
Tabel 4.2	Skema Pembebatan Kereta Api	54
Tabel 4.3	Parameter Tanah untuk Sub-Ballast	55
Tabel 4.4	Parameter Tanah untuk Ballast	57
Tabel 4.5	Parameter Tanah untuk Timbunan Existing	57
Tabel 4.6	Kriteria Kelas Jalan Rel I Lebar Jalan Rel 1067mm	58

Tabel 5.1	Nilai <i>Safety Factor</i> pada STA yang Ditinjau Sebelum Pembangunan Timbunan	
	Double Track	63
Tabel 5.2	Perhitungan Gaya Horisontal yang Bekerja pada Turap Tanpa Angker dan Persamaan Momen Aktif dan Pasif Akibat Beban Timbunan dan Bantalan Rel STA 141+150	74
Tabel 5.3	Perhitungan Gaya Horisontal yang Bekerja pada Turap Tanpa Angker dan Persamaan Momen Aktif dan Pasif Akibat Beban Timbunan dan Bantalan Rel STA 141+350	74
Tabel 5.4	Perhitungan Gaya Horisontal yang Bekerja pada Turap Tanpa Angker dan Persamaan Momen Aktif dan Pasif Akibat Beban Timbunan dan Bantalan Rel STA 141+600	75
Tabel 5.5	Perhitungan Gaya Horisontal yang Bekerja pada Turap Tanpa Angker dan Persamaan Momen Aktif dan Pasif Akibat Beban Kereta Api STA 141+150	75
Tabel 5.6	Perhitungan Gaya Horisontal yang Bekerja pada Turap Tanpa Angker dan Persamaan Momen Aktif dan Pasif Akibat Beban Kereta Api STA 141+350	76
Tabel 5.7	Perhitungan Gaya Horisontal yang Bekerja pada Turap Tanpa Angker dan Persamaan Momen Aktif dan Pasif Akibat Beban Kereta Api STA 141+600	76
Tabel 5.8	Perhitungan Persamaan Momen $\Sigma M=0$ pada Turap Tanpa Angker	77
Tabel 5.9	Rekapitulasi Perhitungan Turap dengan Metode Cerucuk STA 141+150	79
Tabel 5.10	Rekapitulasi Perhitungan Turap dengan Metode Cerucuk STA 141+350	79
Tabel 5.11	Rekapitulasi Perhitungan Turap dengan Metode Cerucuk STA 141+600	80

Tabel 5.12	Panjang Turap dengan Metode Cerucuk .81
Tabel 5.13	Rekapitulasi <i>Safety Factor</i> Turap <i>Free standing</i> 82
Tabel 5.14	Rekap <i>Safety Factor</i> Perkuatan Kombinasi 82
Tabel 5.15	Rekapitulasi SF Turap Rangkap 83
Tabel 5.16	Perhitungan Gaya Horisontal yang Bekerja pada Turap Dengan Angker dan Persamaan Momen Aktif dan Pasif Akibat Beban Timbunan dan Bantalan Rel STA 141+150 89
Tabel 5.17	Perhitungan Gaya Horisontal yang Bekerja pada Turap Dengan Angker dan Persamaan Momen Aktif dan Pasif Akibat Beban Timbunan dan Bantalan Rel STA 141+350 89
Tabel 5.18	Perhitungan Gaya Horisontal yang Bekerja pada Turap Dengan Angker dan Persamaan Momen Aktif dan Pasif Akibat Beban Timbunan dan Bantalan Rel STA 141+600 90
Tabel 5.19	Perhitungan Gaya Horisontal yang Bekerja pada Turap Dengan Angker dan Persamaan Momen Aktif dan Pasif Akibat Beban Kereta Api STA 141+150 90
Tabel 5.20	Perhitungan Gaya Horisontal yang Bekerja pada Turap Dengan Angker dan Persamaan Momen Aktif dan Pasif Akibat Beban Kereta Api STA 141+350 91
Tabel 5.21	Perhitungan Gaya Horisontal yang Bekerja pada Turap Dengan Angker dan Persamaan Momen Aktif dan Pasif Akibat Beban Kereta Api STA 141+600 91
Tabel 5.22	Perhitungan Persamaan Momen $\Sigma M=0$ pada Turap Dengan Angker 92
Tabel 5.23	Rekapitulasi Dimensi Angker dan Beton Grouting STA 141+150 94

Tabel 5.24	Rekapitulasi Dimensi Angker dan Beton Grouting STA 141+350	94
Tabel 5.25	Rekapitulasi Dimensi Angker dan Beton Grouting STA 141+600	95
Tabel 5.26	Rekapitulasi Dimensi Angker dan Beton Grouting STA 141+150 Setelah Perubahan d0	95
Tabel 5.27	Rekapitulasi Dimensi Angker dan Beton Grouting STA 141+350 Setelah Perubahan d0	96
Tabel 5.28	Rekapitulasi Dimensi Angker dan Beton Grouting STA 141+600 Setelah Perubahan d0	96
Tabel 5.29	Rekapitulasi Perkuatan Turap Berangker	97
Tabel 5.30	Rekapitulasi Lebar <i>Counterweight</i> yang Dibutuhkan.....	98
Tabel 5.31	Rekapitulasi Percobaan Dimensi <i>Counterweight</i>	98
Tabel 5.32	Variasi SF, Variasi Jari-Jari Kelongsoran dan Mr	103
Tabel 5.33	Rekapitulasi Perhitungan Cerucuk STA 141+150	103
Tabel 5.34	Rekapitulasi Perhitungan Cerucuk STA 141+350	103
Tabel 5.35	Rekapitulasi Perhitungan Cerucuk STA 141+600	104
Tabel 5.36	Rekapitulasi Panjang dan Jumlah Cerucuk yang Digunakan untuk Perkuatan	106
Tabel 5.37	Rekapitulasi Biaya Perkuatan Turap <i>Free Standing</i>	107
Tabel 5.38	Rekapitulasi Biaya Perkuatan Turap dengan Angker	107
Tabel 5.39	Rekapitulasi Biaya Perkuatan <i>Counterweight</i>	108

Tabel 5.40	Rekapitulasi Biaya Perkuatan Tanah dengan Cerucuk	108
Tabel 5.41	Rekapitulasi Biaya Alternatif Perkuatan	108

“Halaman ini sengaja dikosongkan”

BAB I

PENDAHULUAN

1.1 Latar Belakang

PT Kereta Api Indonesia (PT KAI) adalah Badan Usaha Milik Negara Indonesia (BUMN) yang menyelenggarakan jasa angkutan kereta api. Layanan PT Kereta Api Indonesia (Persero) meliputi angkutan penumpang dan barang. PT KAI mengoperasikan kereta api di wilayah provinsi Aceh, Sumatera Utara, Sumatera Barat, Sumatera Selatan Lampung, serta semua provinsi di Pulau Jawa kecuali Jabodetabek. Pada akhir Maret 2007, DPR mengesahkan revisi Undang-Undang Nomor 13 Tahun 1992 yang menegaskan bahwa investor swasta maupun pemerintah daerah diberi kesempatan untuk mengelola jasa angkutan kereta api di Indonesia. Pada tanggal 12 Agustus 2008 PT KAI melakukan pemisahan Divisi Angkutan Perkotaan Jabodetabek menjadi PT KAI Commuter Jabodetabek (KCJ) untuk mengelola kereta api penglaju di daerah Jakarta dan sekitarnya. Maka wilayah pengoperasian PT KAI pusat menjadi provinsi Aceh, Sumatera Utara, Sumatera Selatan, Lampung, Banten, Jawa Barat, Jawa Tengah, dan Jawa Timur. Salah satu jalur padat yang dikelola oleh PT KAI adalah jalur utara Pulau Jawa. Gambar 1.1 menunjukkan peta lokasi jalur utara Pulau Jawa yang akan dibangun jalur ganda.

Pada tahun 2011 Wakil Presiden Boediono meminta menteri koordinator perekonomian untuk membangun jalur rel ganda pada lintas utara Pulau Jawa dikarenakan padatnya lalu lintas kereta api pada jalur utara Pulau Jawa. Setelah di konsultasikan dengan DPR RI, maka pada tanggal 26 September 2011 SK Menko Perekonomian dikeluarkan. Surat Keputusan itu berisi perintah pada PT KAI untuk membangun jalur rel ganda pada lintas utara pulau jawa yang meliputi Jakarta – Cikampek – Cirebon – Tegal – Pekalongan – Semarang – Gambringan – Bojonegoro – Surabaya. Jalur sepanjang 691,5 km rencananya akan di bangun oleh PT KAI bekerja sama dengan 9 instansi lain

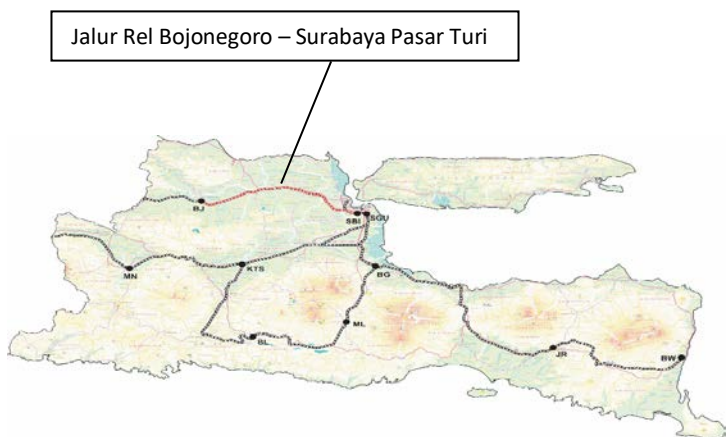
yaitu Menhub, MenPU, Bappenas, Menkeu, MenBUMN, BPN, Pemprov Jabar, Pemprov Jateng, dan Pemprov Jatim.

Pada lintas jalan rel antara Bojonegoro sampai dengan Surabaya Pasar Turi yang merupakan bagian jalan rel dari lintas utara Pulau Jawa juga dilaksanakan pembangunan jalur rel ganda. Jalur rel baru direncanakan dibangun diatas timbunan dan berada di sisi rel lama. Setelah dilakukan penimbunan jalur baru di sebelah jalur lama, tidak terjadi permasalahan pada mulanya. Dilanjutkan dengan pemasangan rel dan dilakukan pemasangan perkuatan yaitu dengan pemasangan turap beton (*sheet pile*) yang di letakan di samping timbunan rel baru. Setelah beberapa hari pemasangan perkuatan turap beton tersebut terjadi pergerakan tanah pada tanah timbunan rel lama. Gambar 1.2 menunjukkan peta lokasi rel kereta api Bojonegoro sampai dengan Surabaya Pasar Turi.

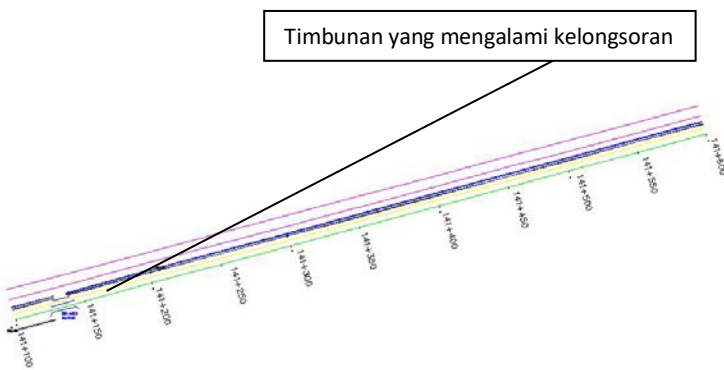
Pada timbunan rel lama yang selama ini beroperasi terjadi beberapa masalah yang terkait dengan pergerakan tanah. Salah satu tanda-tanda yang menunjukan ada pergerakan tanah adalah tiang listrik yang terletak di sebelah rel lama yang mendadak miring dan terjadi kelongsoran pada beberapa lokasi. Karena adanya masalah pada timbunan rel lama maka PT KAI sebagai pengelola kereta api pada jalur ini yang berencana mengoperasikan 2 jalur secara bersamaan terpaksa tidak dapat dilakukan sehingga PT KAI mengalami kerugian yang tidak sedikit. Jalur dari Jakarta sampai Bojonegoro dapat dilayani dengan cepat dengan 2 jalur sedangkan dari Bojonegoro sampai Surabaya hanya 1 jalur. Maka terjadi keterlambatan dan penumpukan penumpang pada jalur ini. Lokasi jalur yang dikelola oleh PT KAI ini mengalami kelongsoran tanah timbunan pada STA 141+100 sampai dengan 141+600. Gambar 1.3 mengalami indikasi pergerakan tanah. Indikasi pergerakan tanah pada lokasi tersebut ditunjukan dengan kemiringan tiang listrik seperti pada Gambar 1.4 dan kelongsoran tanah timbunan seperti pada Gambar 1.5 menunjukan tanda-tanda pergerakan tanah yang ditunjukan dengan kelongsoran tanah.



Gambar 1.1 Peta Jalur Rel Utara Pulau Jawa dari Jakarta Sampai Surabaya



Gambar 1.2 Peta Lokasi Proyek



Gambar 1.3 Layout STA 141+100 s/d 141+600



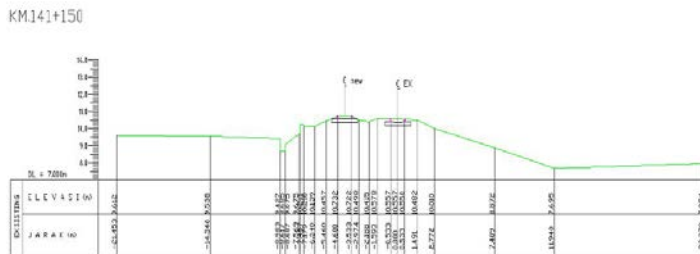
Gambar 1.4 Kemiringan Tiang Listrik pada STA 141+100 s/d 141+600

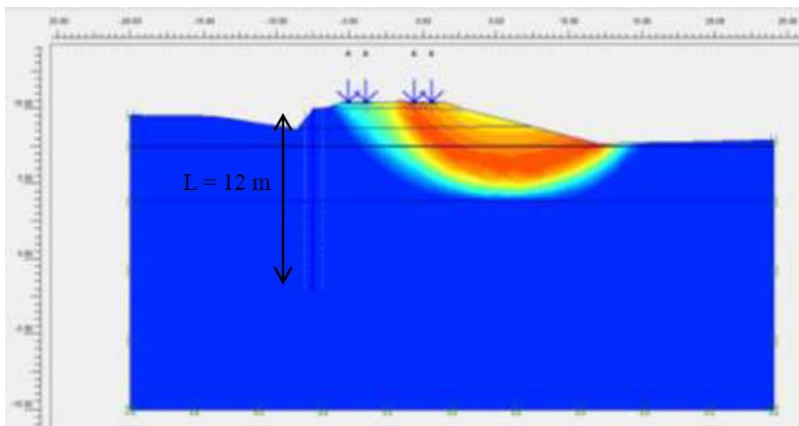


Gambar 1.5 Kelongsoran Tanah Existing pada STA 141+100
s/d 141+600

Berdasarkan pengamatan langsung yang dilakukan di lapangan, menunjukkan bahwa pada timbunan rel lama mengalami permasalahan terkait dengan kondisi tanah dasar, maka pihak PT KAI meminta untuk melakukan uji tanah asli di bawah timbunan tersebut. Hasil uji lapisan tanah dasar dapat dilihat pada data N-SPT dan hasil laboratorium berupa tanah lunak sedalam 5 meter pada tanah asli di atas timbunan rel lama. Pada data tanah tersebut menunjukan jenis tanah yaitu *Clayey Silt* yang termasuk dalam golongan tanah *soft* dengan nilai rata-rata N-SPT 3. Selain uji lapangan seperti SPT dan Sondir, pihak PT KAI meminta untuk dilakukan analisis stabilitas lereng (*slope stability analysis*) kepada pihak perencana.

Setelah dilakukan analisis, stabilitas lereng pada tanah timbunan rel lama dengan menggunakan program bantu *PLAXIS* yang berbasis finite element berdasarkan geometri seperti pada Gambar 1.6, didapatkan bahwa faktor keamanan (*safety factor, SF*) yang didapatkan dari potongan STA 141-150 sebesar 1,1 (Gambar 1.6). Sedangkan pada STA yang lain kemungkinan besar juga terdapat SF yang kurang dari 1,0 karena mengalami kelongsoran. Kondisi diatas jelas menunjukan bahwa faktor kemanan sangatlah kritis. Bila kondisi ini dibiarkan dikhawatirkan rel yang berada di atasnya akan mengalami kerusakan yang cukup parah seperti pada Gambar 1.4 dan Gambar 1.5. Selain rel yang akan mengalami kerusakan, kondisi ini juga pasti akan sangat membahayakan untuk kereta api yang akan melintas apabila jalur ini dipaksakan untuk dioperasikan. Dari pihak PT KAI selaku *owner* meminta SF 1,5 (berdasarkan Peraturan Menteri Perhubungan Republik Indonesia Nomor PM. 60 Tahun 2012 Tentang Persyaratan Teknis Jalur Kereta Api). Angka tersebut cukup tinggi dari faktor kemanan yang sesungguhnya. Sedangkan sejauh ini dari pihak PT KAI sendiri belum memberikan perkuatan apapun pada tanah timbunan rel lama tersebut.





Gambar 1.7 Analisis Stabilitas Tanah Timbunan Existing STA
141+150

Dari kondisi seperti pada Gambar 1.7 di atas maka tanah timbunan rel lama perlu diberi perkuatan tanah untuk mencegah terjadinya kelongsoran yang akan timbul dan menjamin kondisi badan jalan rel yang baik selama dilewati kereta api. Terdapat banyak alternatif perkuatan tanah timbunan seperti *terramesh*, *geotextile*, *counterweight*, turap beton, dan cerucuk. Dalam hal ini perkuatan dengan menggunakan *terramesh* dan *geotextile* tidak dapat di aplikasikan karena harus membongkar rel yang sudah ada untuk pemasangan perkuatan tersebut. Sedangkan dari pihak PT. KAI menghendaki tidak adanya pembongkaran rel lama. Maka dari itu perkuatan yang dapat di gunakan adalah perkuatan *counterweight*, turap beton, dan cerucuk.

Perkuatan *counterweight* adalah perkuatan dengan memberikan timbunan di samping tanah yang akan diperbaiki. *Counterweight* akan berfungsi sebagai penahan longsor terhadap tanah yang lemah. Menurut (Sebayang dkk, 2008) dalam jurnalnya Perencanaan Stabilitas Lereng dengan *Sheet Pile* dan Perkuatan Geogrid menggunakan Metode Elemen Hingga, penambahan *counterweight* dibelakang *sheet pile* dapat meningkatkan faktor keamanan yang cukup signifikan. Perkuatan dengan turap adalah

konstruksi yang dapat menahan tekanan tanah di sekelilingnya, mencegah terjadinya kelongsoran dan biasanya terdiri dari dinding turap dan penyangganya, konstruksi dinding turap terdiri dari beberapa lembaran turap yang dipancangkan ke dalam tanah, serta membentuk formasi dinding menerus vertikal yang berguna untuk menahan timbunan tanah atau tanah yang berlereng. (Sri Respati, 1995). Sedangkan perkuatan cerucuk atau (*micro pile*) adalah perkuatan yang dianggap sebagai kelompok tiang dengan “*rigid cap*” di muka tanah yang menerima gaya horisontal. Gaya horisontal tersebut merupakan tegangan geser yang terjadi di sepanjang bidang gelincir (Mochtar, 2000). Dengan 3 alternatif perkuatan tanah tersebut perencana dapat memperkuat timbunan tanah harus membongkar rel kereta api di atasnya.

Tugas akhir ini membahas tentang bagaimana perencanaan dinding penahan tanah, cerucuk, dan *counterweight* untuk perkuatan tanah timbunan rel Bojonegoro-Pasar Turi STA 141-100 s/d 141-600 serta memilih perencanaan terbaik dari segi biaya.

1.2 Rumusan Masalah

Secara umum berdasarkan latar belakang diatas, terdapat beberapa masalah yang harus dibahas :

1. Bagaimana kondisi stabilitas timbunan rel lama?
2. Berapa jumlah dan panjang cerucuk yang paling efektif?
3. Berapa dimensi timbunan *counterweight* yang paling efektif?
4. Berapa panjang turap beton *freestanding* dan turap berjangkar yang paling efektif?
5. Metode apa yang terbaik yang akan digunakan untuk memperbaiki tanah timbunan rel lama?

1.3 Tujuan

Adapun tujuan dari Tugas Akhir ini adalah untuk mengetahui perencanaan terbaik yang akan digunakan dalam memperbaiki tanah timbunan rel eksisting.

1.4 Batasan Masalah

Adapun batasan masalah dari Tugas Akhir ini adalah sebagai berikut :

1. Alternatif perkuatan lereng hanya menggunakan cerucuk, *counterweight*, dan Turap Beton.
2. Perkuatan lereng yang direncanakan hanya pada sta. 141+100 s/d 141+600.
3. Tidak membahas perhitungan bangunan rel.
4. Tidak membahas drainase rel.
5. Data yang digunakan adalah data sekunder yang diperoleh dari laboratorium.

1.5 Manfaat

Adapun manfaat dari Tugas Akhir ini diharapkan agar hasilnya dapat dijadikan acuan untuk pelaksanaan pekerjaan perbaikan tanah jalur existing lintas Bojonegoro – Surabaya Pasar Turi.

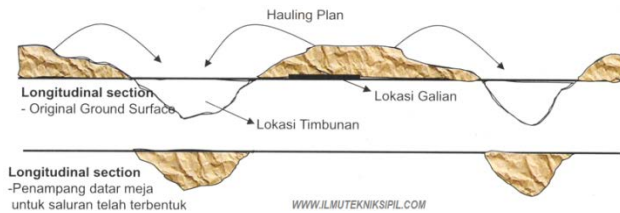
“Halaman ini sengaja dikosongkan”

BAB II

TINJAUAN PUSTAKA

2.1 Timbunan

Timbunan merupakan bangunan sederhana yang berupa tumpukan tanah yang berfungsi untuk penyesuaian elevasi bangunan lainnya seperti rel, bangunan gedung, jalan raya, fasilitas umum, dan lain-lain. Timbunan juga dapat berfungsi sebagai pengganti material existing *subgrade* yang tidak memenuhi syarat. Gambar 2.1 merupakan ilustrasi penimbunan pada suatu bukit, penimbunan membutuhkan volume tanah dari tempat lain untuk penyesuaian kontur. Bentuk yang digunakan untuk penyesuaian suatu kontur biasanya berbentuk trapesium dengan sisi bagian atas disesuaikan dengan lebar jalan atau rel yang ada diatasnya. Kemiringan *slope* yang ada di timbunan juga direncanakan agar timbunan tersebut stabil dan tidak mengalami kelongsoran. Kemiringan *slope* direncanakan biasanya lebih dari 1:1,5 agar tidak terlalu curam, atau bisa juga mengikuti lahan yang ada namun ditambah dengan perkuatan untuk mencegah kelongsoran.



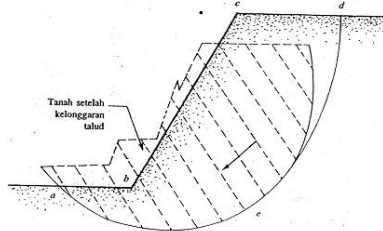
Gambar 2.1 Ilustrasi Penimbunan

2.2 Stabilitas Talud (Stabilitas Lereng)

2.2.1 Pengertian Kelongsoran

Suatu tempat yang memiliki dua permukaan tanah yang memiliki ketinggian yang berbeda dan dihubungkan oleh suatu permukaan disebut lereng (Vidyanti,2012). Dalam proses pembentukan lereng ini dapat terbentuk secara buatan ataupun alamiah. Lereng buatan adalah lereng yang dibuat oleh manusia karena suatu kebutuhan, baik yang dibuat dalam tanah asli melalui pemotongan tanah seperti untuk jalan raya, jalan rel, saluran air, ataupun lereng yang dibuat dari tanah yang dipadatkan seperti tanggul. Sedangkan lereng yang terbentuk secara alamiah seperti pada suatu bukit atau tebing-tebing sungai. (Ruskandi & Thamrin, 2003).

Dengan adanya perbedaan ketinggian muka air tanah dapat mengakibatkan terjadinya kelongsoran. Sering lereng yang tidak kuat menerima beban yang bekerja pada bagian atasnya ditambah dengan adanya air dalam tanah yang fluktuatif maka kemungkinan terjadinya kelongsoran menjadi semakin besar. Dalam Vidayanti (2012) menyimpulkan kelongsoran yaitu keruntuhan dari massa tanah yang terletak dibawah sebuah lereng. Gambar 2.2 ilustrasi kelongsoran talud yang terjadi pada suatu bukit



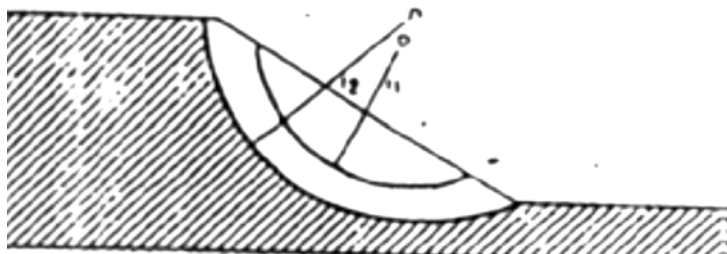
Gambar 2.2 Kelongsoran Talud

Terdapat beberapa tipe longsoran yang sering terjadi diantaranya :

a. Kelongsoran pada tanah homogen

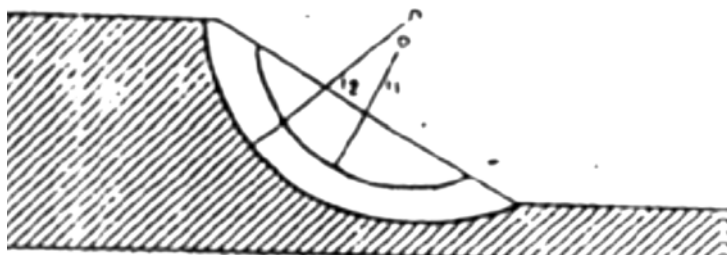
Kelongsoran pada tanah homogen ada dua jenis (Gambar 2.3) yaitu :

- Kelongsoran sepenuhnya terjadi pada talud dan bidang longsorinya berpotongan dengan kaki talud.



Gambar 2.3 (a) Bidang longsorinya berpotongan dengan kaki talud

- Kelongsoran tidak hanya pada talud, tetapi dasar talud juga ikut bergerak. Memiliki bidang longsor yang berbentuk busur lingkaran dengan jari-jari tertentu.



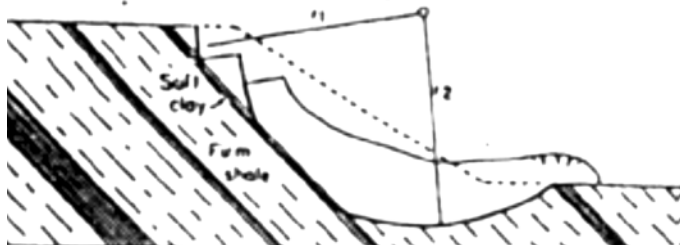
Gambar 2.3 (b) Dasar talud juga ikut bergerak

b. Kelongsoran pada tanah tidak homogen

Kelongsoran pada tanah tidak homogen ada dua jenis (Gambar 2.4) yaitu :

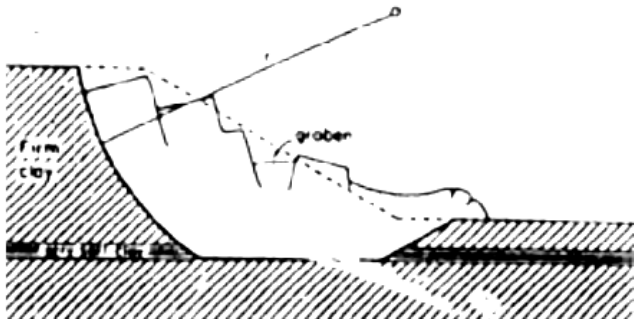
- Kelongsoran ini terjadi bila bentuk permukaan runtuh dipengaruhi adanya kekuatan geser yang berbeda pada lapisan

tanah yang berbatasan, kelongsoran ini terjadi bila lapisan tanah yang berbatasan terletak pada kedalaman yang relatif dangkal.



Gambar 2.4 (a) keruntuhan tidak homogen terletak pada kedalaman yang relatif dangkal

- Kelongsoran tidak hanya pada talud, tetapi dasar talud dengan jenis tanah yang berbeda juga ikut bergerak. Hal ini karena tanah dasar talud tidak cukup kuat.



Gambar 2.4 (b) Keruntuhan pada talud dan tanah dasar

Pada dasarnya longsoran akan terjadi karena dua sebab, yaitu naiknya tegangan geser (*shear stress*) dan menurunnya kekuatan geser. Adapun faktor yang dapat menaikkan tegangan geser adalah :

1. Pengurangan penyanggaan lateral, antara lain karena erosi longsoran terdahulu yang menghasilkan lereng baru dan kegiatan manusia.

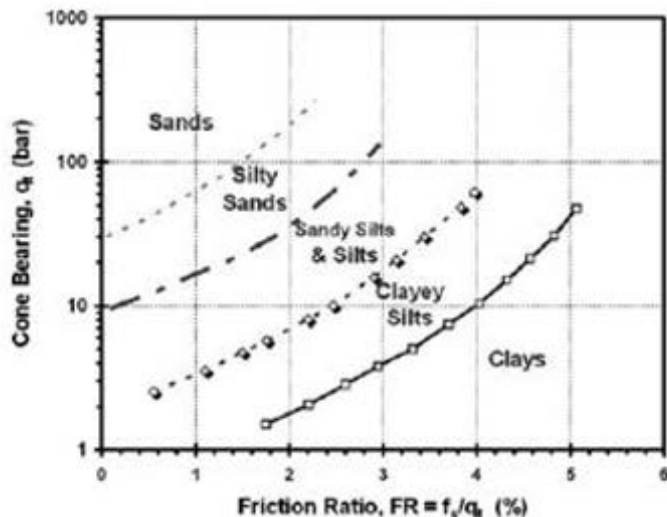
2. Pertambahan tegangan, antara lain karena penambahan beban, tekanan air rembesan, da penumpukan.
3. Gaya dinamik, yang disebabkan oleh gempa dan getaran lain.
4. Pengangkutan atau penurunan regional yang disebabkan oleh gerakan pembentukan pegunungan dan perubahan sudut kemiringan lereng.
5. Pemindahan penyangga, yang disebabkan oleh pemotongan tebing oleh sungai, pelapukan dan erosi di bawah permukaan, kegiatan pertambangan dan terowongan.

Sedangkan faktor yang mengurangi kekuatan geser adalah :

1. Kondisi awal yang memang sudah rendah disebabkan oleh komposisi, tekstur dan geometri lereng.
2. Perubahan karena pelapukan dan reaksi kimia fisik, yang menyebabkan lempung berposisi menjadi lunak, disintegrasi batuan granular, turunya kohesi, penggembungan lepisan lempung, dan peralutan material penyemenan batuan.
3. Perubahan gaya antara butiran karena pengaruh kandungan air dan tekanan air pori.
4. Perubahan struktur, seperti terbentuknya rekahan pada lempung yang terdapat di tebing/ lereng.

2.2.2 Pendekatan Korelasi

Guna mengolah data tanah dilakukan proses pengolahan data sondir menggunakan tabel dan grafik korelasi data sondir menjadi parameter data tanah lain seperti E_i , v , V_t , V_d , V_{sat} , dan C_u . Grafik dan tabel yang digunakan untuk mencari korelasi data tanah diperlihatkan pada Tabel 2.1 sampai dengan 2.8 dan Gambar 2.5 sampai dengan 2.6.

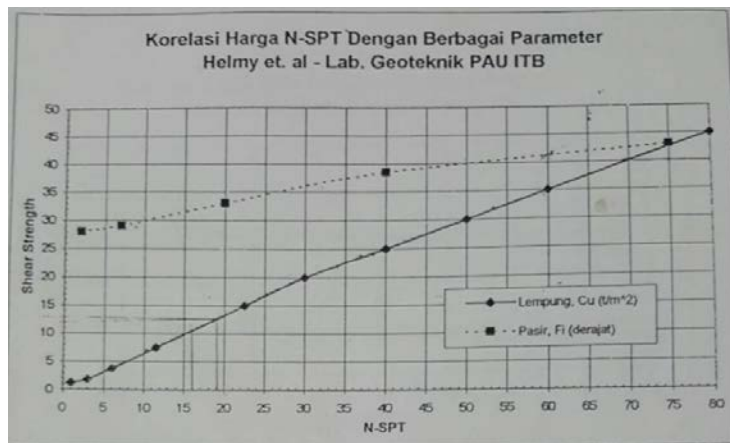


Gambar 2.5 Klasifikasi Tanah Berdasarkan *Cone Bearing* (q_n)
(Sumber : Robertson dan Campanella, 1983)

Tabel 2.1 Konsistensi Tanah (untuk Tanah Dominan Lanau dan Lempung)

Konsistensi tanah	Taksiran harga kekuatan geser undrained, C_u		Taksiran harga SPT, harga N	Taksiran harga tahanan conus, q_c (dari Sondir)	
	KPa	ton/ m ²		kg/cm ²	kPa
Sangat lunak (very soft)	0 – 12.5	0 – 1.25	0 – 2.5	0 – 10	0 – 1000
Lunak (soft)	12.5 – 25	1.25 – 2.5	2.5 – 5	10 – 20	1000–2000
Menengah (medium)	25 – 50	2.5 – 5.	5 – 10	20 – 40	2000 – 4000
Kaku (stiff)	50 – 100	5.0 – 10.	10 – 20	40 – 75	4000 – 7500
Sangat kaku (very stiff)	100 – 200	10. – 20.	20 – 40	75 – 150	7500 – 15000
Keras (hard)	> 200	> 20.	> 40	> 150	> 15000

(sumber : Mochtar, 2012)



Gambar 2.6 Korelasi nilai N-SPT dengan Nilai Cu

(sumber : Helmy et. al – Lab. Geoteknik PAU ITB, 2012)

Tabel 2.2 Korelasi Nilai N-SPT dengan Parameter Tanah (untuk Tanah Lempung)

	Cohesive Soil				
	<4	4-6	6-15	16-25	>25
γ (kN/m³)	14-18	16-18	16-18	16-20	>20
q_u (kPa)	<25	20-50	30-60	40-200	>100
Consistency	very soft	soft	medium	stiff	hard

(sumber : Bowles, 1984)

Tabel 2.3 Korelasi Jenis Tanah dengan Modulus Young dan Poisson Ratio

Type of soil	Modulus of elasticity, E_s		
	MN/m²	lb/in²	Poisson's ratio, μ_s
Loose sand	10.5-24.0	1500-3500	0.20-0.40
Medium dense sand	17.25-27.60	2500-4000	0.25-0.40
Dense sand	34.50-55.20	5000-8000	0.30-0.45
Silty sand	10.35-17.25	1500-2500	0.20-0.40
Sand and gravel	69.00-172.50	10,000-25,000	0.15-0.35
Soft clay	4.1-20.7	600-3000	
Medium clay	20.7-41.4	3000-6000	0.20-0.50
Stiff clay	41.4-96.6	6000-14,000	

(sumber : Braja M Das, 1984)

Sedangkan untuk mendapatkan parameter lain yang diperlukan untuk program bantu maka perlu dicari dry density dan GS (*specific gravity*).

Tabel 2.4 Korelasi Jenis Tanah ke *Specific Gravity*

Macam Tanah	Berat Jenis Gs
Kerikil	2,65 - 2,68
Pasir	2,65 - 2,68
Lanau Tak Organik	2,62 - 2,68
Lempung Organik	2,58 - 2,65
Lempung Tak Organik	2,68 - 2,75
Humus	1,37
Gambut	1,25 - 1,80

(sumber : Hardiyatmo, 1992)

Tabel 2.5 Korelasi Jenis Tanah ke *Dry Density*

Soil Type	Dry Density, ρ_d (g/cm ³)
Sand	1.52
Sandy loam	1.44
Loam	1.36
Silt loam	1.28
Clay loam	1.28
Clay	1.20
Concrete	2.40

(Sumber : Hillel, 1980)

Sedangkan untuk material ballast dan sub-ballast pada timbunan di bawah rel kereta api parameter tanahnya menggunakan Tabel 2.6 sampai dengan Tabel 2.8.

Tabel 2.6 Korelasi Jenis Tanah Kerikil ke Sudut Geser

Kondisi Kepadatan	Relative Density (Kepadatan Relatif) Rd	Perkiraan Harga Nspt	Perkiraan Harga ϕ (derajat)	Perkiraan berat volume jenuh γ sat(ton/m ³)
very loose (sangat renggang)	0% s.d 15%	0 s.d 4	0 s.d 28	<1.6
loose (renggang)	15% s.d 35%	4 s.d 10	28 s.d 30	1.5 s.d 2
medium (menengah)	35% s.d 65%	10 s.d 30	30 s.d 36	1.75 s.d 2.1
dense (rapat)	65% s.d 85%	30 s.d 50	36 s.d 41	1.75 s.d 2.25
very dense (sangat rapat)	85% s.d 100%	>50	41	

(sumber : Teng, 1962)

Tabel 2.7 Korelasi Jenis Tanah Kerikil ke Dry and Sat Density

Sifat Tanah	γ sat		e	n	Wsat	γ sat	K	Cv	gamma	mv=/ E						
	g/cm ³	lb cb ft	%		g/cm ³	cm/s	ft/year	luegon	cm ² /s	ft ² /year	bars	psi	cm ² /kg	ft ² /ton		
Silt, Clay	lunak	0.5	31.25	4.4	0.8	163	1.31	1E-09	0.001	0.00001	0.0001	0.01	0.142	100	97.6	
		0.6	37.5	3.5	0.78	129.6	1.38				0.05	0.71	20	19.52		
		0.7	43.75	2.86	0.74	105.8	1.44	1E-08	0.0103	0.001	0.0001	3.4				
		0.8	50	2.38	0.7	88	15			0.0002	6.8	0.1	1.42	10	9.76	
		0.9	56.25	2	0.67	74.1	1.57	1E-07	0.0103	0.01	0.0003	10.1	0.5	7.05	2	1.952
	rata-rata	1	62.5	1.7	0.63	63	1.63	1E-06	1.03	0.1	0.0005	16.9	2	28.4	0.5	0.488
		1.1	68.75	1.45	0.45	53.9	1.69	2E-06	2.06	0.0006	20.3	3	42.6	0.33	0.32208	
		1.2	75	1.25	1.25	46.3	1.76	3E-06	3.1	0.0007	23.6	4	56.8	0.25	0.244	
		1.3	81.25	1.08	1.08	39.9	1.82	4E-06	4.13	0.0008	27	5	71	0.2	0.1952	
		1.4	87.5	0.93	0.93	34.4	1.88	5E-06	5.17	0.0009	30.4	6	85.2	0.17	0.16592	
Gravel, Sand	sand	1.5	93.75	0.8	0.8	29.6	1.94	6E-06	6.2	0.001	338	7	99.4	0.14	0.13664	
		1.6	100	0.69	0.69	25.5	2.04	7E-06	7.24		8	113.6	0.12	0.11712		
		1.7	106.25	0.59	0.59	21.8	2.07	8E-06	8.26		9	127.8	0.11	0.10798		
		1.8	112.5	0.5	0.5	18.5	2.13	9E-06	9.3	0.01	3380	10	142	0.1	0.0976	
		1.9	118.75	0.42	0.42	15.6	2.2	0.00001	10.33	1	11	156.2	0.091	0.08882		
	gravel	2	125	0.35	0.35	13	2.26	0.001	10.90	10	0.1	338000	12	170.4	0.083	0.08101
		2.1	131.25	0.29	0.29	10.6	2.32	0.01	10300	1000		14	198.8	0.073	0.07125	
		2.2	137.5	0.23	0.23	8.4	2.39	0.1	103000	10000		15	213	0.064	0.06246	
		2.3	143.75	0.17	0.17	6.4	2.45				20	284	0.05	0.0488		
		2.4	150	0.13	0.13	4.63	2.51				50	710	0.02	0.01952		

(sumber : Biarez dan Favre, 2012)

Tabel 2.8 Korelasi Jenis Tanah Kerikil ke Modulus Young dan Poisson Ratio

Type of soil	Modulus of elasticity, E_s		Poisson's ratio, μ_s
	MN/m²	lb/in²	
Loose sand	10.5–24.0	1500–3500	0.20–0.40
Medium dense sand	17.25–27.60	2500–4000	0.25–0.40
Dense sand	34.50–55.20	5000–8000	0.30–0.45
Silty sand	10.35–17.25	1500–2500	0.20–0.40
Sand and gravel	69.00–172.50	10,000–25,000	0.15–0.35
Soft clay	4.1–20.7	600–3000	
Medium clay	20.7–41.4	3000–6000	0.20–0.50
Stiff clay	41.4–96.6	6000–14,000	

(sumber : Braja M Das, 1974)

2.2.3 Metode Analisis Kestabilan Lereng

Tujuan dari analisis talud adalah untuk menentukan angka keamanan. Umumnya angka keamanan didefinisikan sebagai

$$Fs = \frac{\tau f}{\tau d}$$

dengan Fs = angka kemanan terhadap kekuatan tanah

τf = kekuatan geser rata-rata dari tanah

τd = tegangan geser rata-rata yang bekerja

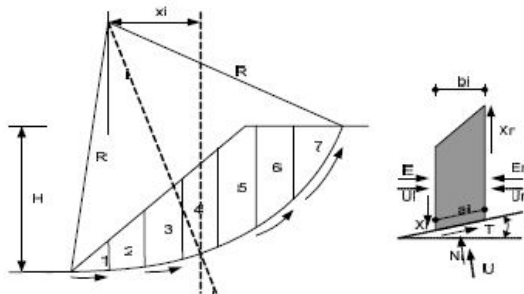
sepanjang bidang longsor

Ada beberapa cara yang dapat dipakai untuk melakukan analisis kestabilan lereng, baik untuk lereng batuan maupun lereng tanah. Terdapat 2 metode yang sering digunakan yaitu metode Fellenius dan Bishop.

Metode Bishop digunakan dalam menganalisa kestabilan lereng dengan memperhitungkan gaya-gaya antar irisan yang ada dan memperhitungkan komponen gaya-gaya (horizontal dan vertikal) dengan memperhatikan keseimbangan momen dari masing-masing potongan seperti yang terlihat pada Gambar 2.5. Metode Bishop mengasumsikan bidang longsor berbentuk busur lingkaran atau circular.

Pertama yang harus diketahui adalah geometri dari lereng dan juga titik pusat busur lingkaran bidang luncur. Gambar 2.5 menunjukkan gaya-gaya yang bekerja pada lereng dengan

menggunakan metode irisan. Pada metode irisan, massa tanah pada lereng dibagi menjadi beberapa pias atau irisan. Tiap-tiap pias atau irisan memberikan kestabilan terhadap lereng. Bentuk kelongsoran yang terjadi pada lereng didekati dengan pola berbentuk lingkaran dengan pusat longsoran di titik O. Sehingga untuk pusat lingkaran O yang berada diatas lereng, terdapat pias tanah yang menambah kestabilan lereng, dan terdapat massa tanah yang melongsorkan lereng. Massa tanah pada lereng tersebut dibagi dalam beberapa irisan. Keseimbangan tiap irisan ditentukan oleh gaya-gaya yang bekerja pada irisan itu. Gaya-gaya itu adalah gaya geser (X_r dan X_l), gaya normal efektif (E_r dan E_l), resultan gaya geser efektif (T_r), dan resultan gaya normal efektif (N_r). Pada irisan juga bekerja tekanan air pori di kedua sisi (U_r dan U_l) dan dari bawah irisan (U_i).



Gambar 2.7 Gaya yang Bekerja pada Lereng dengan Metode irisan (sumber: Das, 1999)

Fellinius (1927) dan Bishop (1995) telah mengembangkan faktor keamanan (SF) stabilitas lereng berdasarkan metode irisan. Faktor keamanan menurut Fellinius (1927) ditunjukkan dalam Persamaan 2.1, sedangkan faktor keamanan menurut Bishop (1995) ditunjukkan dalam persamaan 2.2.

$$SF = \frac{\sum_{i=1}^{n=1} c \cdot a_i + (W_i \cdot \cos\theta_i - U_i \cdot a_i) \cdot \tan\phi}{\sum_{i=1}^{n=1} W_i \cdot \sin\theta_i} \quad (2.1)$$

$$SF = \frac{\sum_{i=1}^{n=1} [c' b_i + (W_i - u_i \cdot b_i) \cdot \tan\phi] \left(\frac{1}{\cos\theta_i \cdot (1 + \tan\theta_i \cdot \tan\phi)} \right)}{\sum_{i=1}^{n=1} W_i \cdot \sin\theta_i} \quad (2.2)$$

Persamaan 2.1 dan Persamaan 2.2 menyatakan bahwa keamanan lereng terhadap bahaya longsoran sangat tergantung pada nilai kohesi (c'), berat massa tanah yang akan longsor (W_i), sudut gesek dalam tanah (ϕ), dan tekanan air pori yang ada dalam lereng tersebut (u_i). Dalam hal ini tekanan air pori akan berupa tekanan air dalam tanah pada lereng. Dalam tugas akhir ini analisis kestabilan lereng menggunakan program bantu *Plaxis*.

2.3 Software Geostudio

Program bantu yang dapat digunakan untuk menganalisis stabilitas dari lereng atau talud antara lain, GEOSLOPE (2001), dan PLAXIS (2006). Dari analisis dengan program-program tersebut dapat didapatkan momen dorong (M_d), momen perlawanan (M_r), angka keamanan terhadap kelongsoran (SF), serta koordinat pusat bidang kelongsoran. *Geostudio* adalah program komputer yang digunakan untuk memodelkan analisismaslah dalam bidang geoteknik dan geolokasi. Software ini memiliki beberapa menu utama yaitu SLOPE/W, SEEP/W, Sigma/W, QUAKE/W, TEMP/W, dan CTRAN/W. Tiap-tiap menu utama memiliki analisis masing-masing yang terintegrasi antara satu dengan yang lain. Hal ini memungkinkan untuk menggunakan hasil dari satu output menu ke output menu yang lain.

Pada tugas akhir ini menu yang akan digunakan dalam analisis stabilitas lereng adalah SLOPE/ W. SLOPE/W merupakan menu perangkat lunak untuk menghitung faktor keamanan tanah dan kemiringan tanah. Hasil yang didapatkan dari SLOPE/W yang akan digunakan sebagai analisis stabilitas adalah faktor keamanan timbunan, momen resisting, serta bidang kelongsoran.

Metode perhitungan yang digunakan pada program ini adalah metode Janbu, Bishop, dan Ordinary. Ketiga metode perhitungan ini dapat dibandingkan hasilnya dan didapatkan hasil minimum pada tiap metodenya. Input yang dimasukkan ke dalam program ini untuk analisis stabilitas lereng timbunan antara lain:

1. Input geometri timbunan
2. Input lapisan tanah di bawah timbunan
3. Input parameter tanah berupa berat jenis, sudut geser, kohesifitas, dan parameter lainnya
4. Input muka air tanah
5. dan input lainnya.

Hasil dari analisis dengan *software* ini yang berupa SF, koordinat dan bentuk bidang longsor, serta momen resisting kemudian dapat digunakan untuk menganalisis stabilitas lereng timbunan.

2.4 Software Plaxis

PLAXIS (Finite Element Code For Soil and Rock Analysis) adalah program permodelan dan postprocessing metode elemen hingga yang mampu melakukan analisis masalah-masalah geoteknik dalam perencanaan sipil. PLAXIS menyediakan berbagai analisa teknik tentang *displacement*, tegangan-tegangan yang terjadi pada tanah, dan lain-lain. Program ini dirancang untuk dapat melakukan pembuatan geometri yang akan dianalisis.

Parameter tanah yang digunakan dalam program PLAXIS diantaranya yaitu :

1. Berat Volume Tanah Kering
2. Berat Volume Tanah Basah
3. Permeabilitas Arah Horizontal

4. Permeabilitas Arah Vertikal
5. dan parameter lainya

2.5 Konsep Perkuatan Lereng dengan Cerucuk

Perkuatan cerucuk (*micropiles*) adalah perkuatan yang dianggap sebagai kelompok tiang dengan “rigidcap” di muka tanah yang menerima gaya horisontal. Gaya horisontal tersebut merupakan tegangan geser yang terjadi di sepanjang bidang gelincir (Mochtar, 2000). NAVFAC DM-7 merupakan pedoman yang berasal dari Amerika untuk dapat digunakan dalam mendesain pada bidang geoteknik, seperti mendesain pondasi dalam, dinding penahan tanah, dan lain-lain. Beberapa kondisi tiang lateral seperti pada Gambar 2.8 adalah sebagai berikut

1. Kasus 1

Kondisi dimana tiang pondasi dengan *flexible cap* atau perlletakan engsel. Dimana gaya horisontal dan momen yang bekerja terletak pada bagian kepala tiang dan dalam kondisi bebas berotasi.

2. Kasus 2

Kondisi dimana tiang pondasi dengan *rigid cap* dapat melawan gaya yang berotasi diperlukan. Gaya horizontal bekerja pada kepala tiang.

3. Kasus 3

Kondisi dimana tiang pondasi dengan *rigid cap* yang memiliki ketinggian diatas permukaan tanah. Gaya yang berotasi dari tiang tergantung dengan pengaruh dari struktur atas dan kemampuan dibawah permukaan tanah.

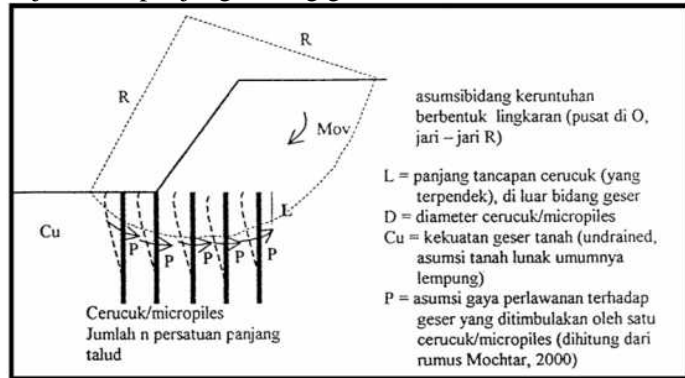
Mochtar (2000) telah mengembangkan teori penambahan tahanan geser dari tanah akibat adanya cerucuk. Teori ini berdasarkan pada teori tiang pancang penahan gaya horisontal oleh NAVFAC DM-7 (1971) khususnya pada kondisi kasus 2. Pada teori tersebut daya dukung geser tiang pancang terhadap gaya lateral pada suatu tanah dipengaruhi oleh kekakuan dan kekuatan lentur dari tiang pancang tersebut, panjang penetrasi tiang yang masuk pada tanah diukur dari permukaan tanah, kekuatan geser tanahnya sendiri, dan jumlah tiang pancang.

CASE I. FLEXIBLE CAP, ELEVATED POSITION		
CONDITION	LOAD AT GROUND LINE	DESIGN PROCEDURE
<p>$n = \text{NUMBER OF PILES}$</p>	FOR EACH PILE: $P = \frac{P_T}{n}$ $M = PH$ <p>DEFLECTED POSITION</p>	FOR DEFINITION OF PARAMETERS SEE FIGURE I2 <ol style="list-style-type: none"> 1. COMPUTE RELATIVE STIFFNESS FACTOR. $T = (\frac{EI}{L})^{1/3}$ 2. SELECT CURVE FOR PROPER L/H IN FIGURE II. 3. OBTAIN COEFFICIENTS F_B, F_M, F_V AT DEPTHS DESIRED. 4. COMPUTE DEFLECTION, MOMENT AND SHEAR AT DESIRED DEPTHS USING FORMULAS OF FIGURE II. <p>NOTE: "f" VALUES FROM FIGURE 9 AND CONVERT TO LB/IN³</p>
CASE II. PILES WITH RIGID CAP AT GROUND SURFACE		
<p>L</p>	<p>P</p>	<ol style="list-style-type: none"> 1. PROCEED AS IN STEP 1, CASE I. 2. COMPUTE DEFLECTION AND MOMENT AT DESIRED DEPTHS USING COEFFICIENTS F_B, F_M AND FORMULAS OF FIGURE I2. 3. MAXIMUM SHEAR OCCURS AT TOP OF PILE AND EQUALS $P = \frac{P_T}{n}$ IN EACH PILE.
CASE III. RIGID CAP, ELEVATED POSITION		
<p>H</p> <p>H_0</p> <p>L</p>	<p>DEFLECTED POSITION</p> <p>θ_2</p> <p>M</p> <p>P</p> <p>θ_1</p>	<ol style="list-style-type: none"> 1. ASSUME A HINGE AT POINT A WITH A BALANCING MOMENT M APPLIED AT POINT A. 2. COMPUTE SLOPE θ_2 ABOVE GROUND AS A FUNCTION OF M FROM CHARACTERISTICS OF SUPERSTRUCTURE. 3. COMPUTE SLOPE θ_1 FROM SLOPE COEFFICIENTS OF FIGURE I3 AS FOLLOWS: $\theta_1 = F_B \left(\frac{P_T^2}{EI} \right) + F_M \left(\frac{MT}{EI} \right)$ 4. EQUATE $\theta_1 = \theta_2$ AND SOLVE FOR VALUE OF M. 5. KNOWING VALUES OF P AND M, SOLVE FOR DEFLECTION, SHEAR, AND MOMENT AS IN CASE I. <p>NOTE: IF GROUND SURFACE AT PILE LOCATION IS INCLINED, LOAD P TAKEN BY EACH PILE IS PROPORTIONAL TO $I/H_0$³.</p>

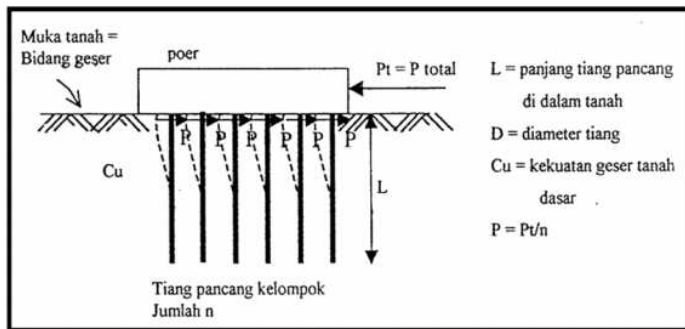
Gambar 2.8 Prosedur Desain untuk Tiang yang Menerima Beban Lateral (Mochtar 2000, dari NAVFAC DM-7, 1971)

Dalam Gambar 2.9 dan Gambar 2.10 asumsi-asumsi yang digunakan dalam teori penambahan tahanan geser dari tanah akibat adanya cerucuk oleh Mochtar (2000) adalah sebagai berikut :

1. Kelompok cerucuk dianggap sebagai kelompok tiang dengan *rigid cap* di muka tanah yang menerima gaya horisontal.
2. Gaya horisontal tersebut merupakan tegangan geser yang terjadi di sepanjang bidang gelincir.



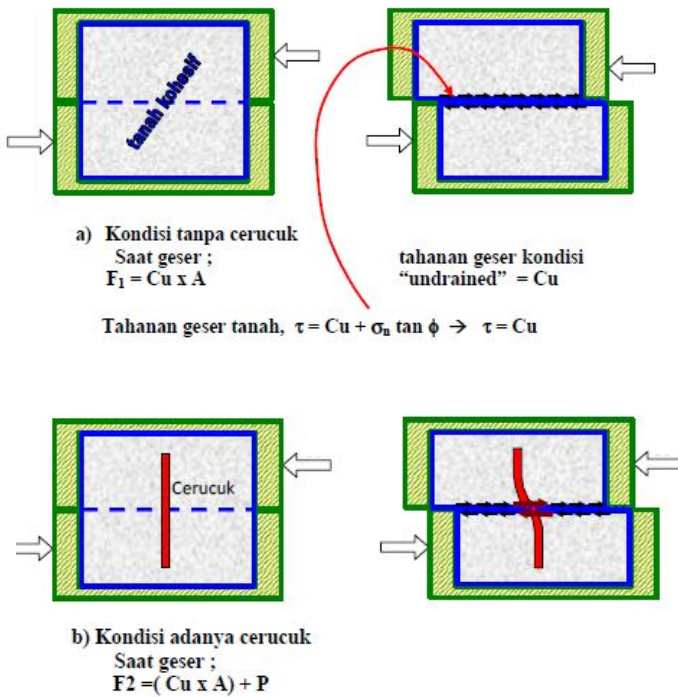
Gambar 2.9 Asumsi Kedudukan Cerucuk/Micropiles sebagai Penahan Terhadap Keruntuhan Geser di Lapangan (Mochtar 2000, dari NAVFAC DM-7, 1971)



Gambar 2.10 Asumsi Tiang Pancang Kelompok Menahan Gaya Lateral yang digunakan sebagai Dasar Mencari Tahanan Geser Cerucuk (Mochtar 2000, dari NAVFAC DM-7, 1971)

Cerucuk digunakan dengan tujuan untuk meningkatkan tahanan geser tanah. Apabila komponen tahanan tanah terhadap

geser meningkat maka daya dukung tanah juga menjadi meningkat. Cerucuk dapat berfungsi menahan gaya geser lebih besar dibandingkan dengan tanah. Dalam Gambar 2.10 menjelaskan bahwa dengan adanya cerucuk pada tanah maka kekuatan geser tanah menjadi meningkat dibandingkan pada kondisi tanpa cerucuk.



Gambar 2.11 Sketsa Peningkatan Kekuatan Geser Tanah Akibat Pemasangan Cerucuk

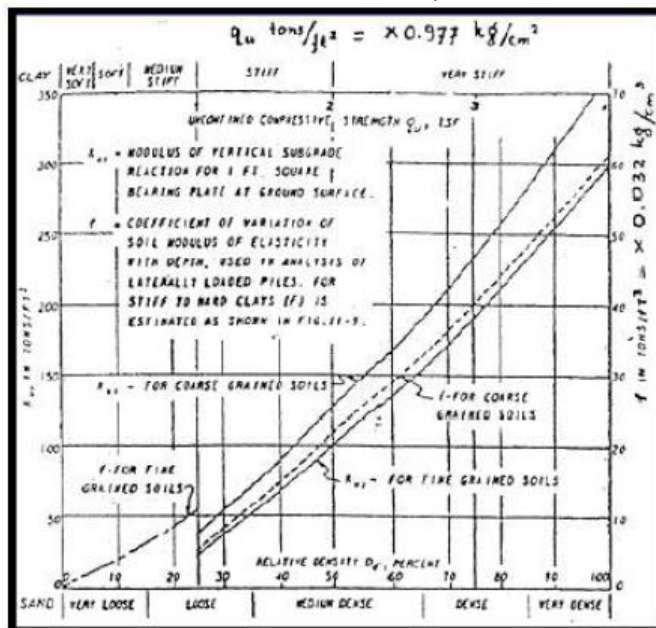
2.5.1 Perhitungan Faktor Kekakuan Relatif (T)

Perhitungan faktor kekakuan relative adalah

$$T = \left(\frac{EI}{f}\right)^{\frac{1}{5}} \quad (2.3)$$

Dimana :

- E : modulus elastisitas tiang (cerucuk), kg/cm²
- I : momen inersia penampang tiang pancang, cm⁴
- f : koefisien variasi dari modulus tanah, kg/cm³
- T : faktor kekakuan relative, cm



Gambar 2.12 Harga f dari Berbagai Jenis Tanah
(Sumber: NAVFAC DM-7, 1971)

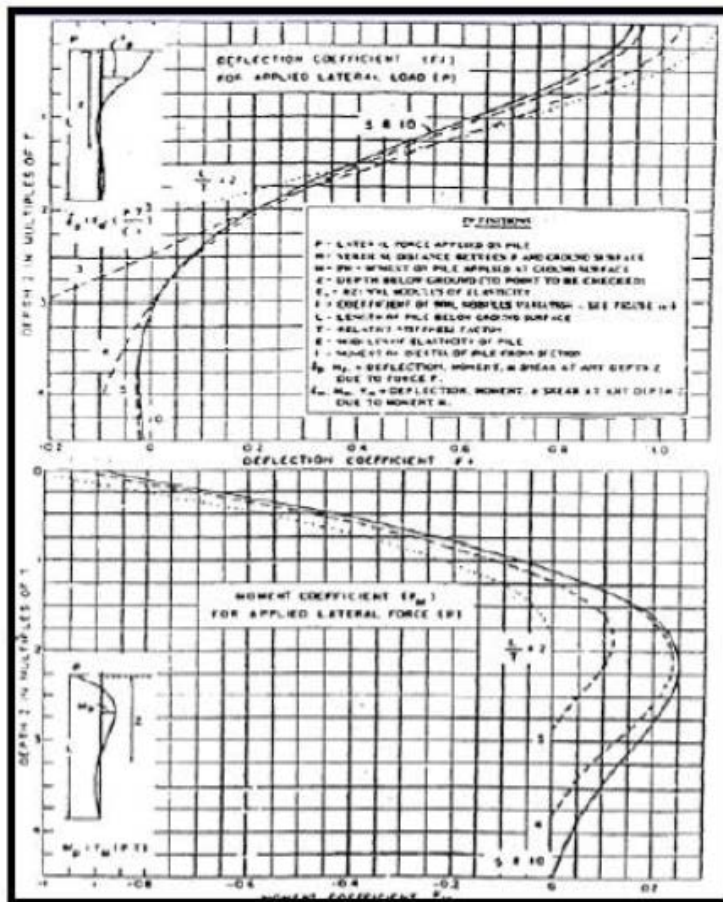
2.5.2 Perhitungan Kekuatan untuk Satu Cerucuk

Harga T yang diperoleh digunakan untuk menghitung gaya horizontal (P) yang mampu ditahan oleh satu tiang dengan persamaan

$$P = \left(\frac{Mp}{Fm \times T} \right) \quad (2.4)$$

Dimana :

- M_p : momen lentur akibat beban P , kg-cm
- F_m : koefisien momen akibat gaya lateral P
- P : gaya horizontal yang diterima cerucuk, kg
- T : faktor kekakuan relative, cm



Gambar 2.13 Grafik untuk Menentukan Besarnya F_m
(Sumber: NAVFAC DM-7, 1971)

Tabel 2.9 Model Persamaan Cerucuk untuk Masing-Masing Variasi Perlakuan

Variasi Cerucuk	P _{lab} / P _{analytical}	Regression Formula obtained from Section 4
Variasi Rasio Tancap $X_t = L/D$	2.546	$Y_t = (0.101(X_t) - 0.3928)*0.89111$ $(Y_t = 1.0 \text{ when } L/D = 15)$
	2.027	
	1.812	
Variasi Spasi $X_s = S/D$	2.287	$Y_s = -0.046(X_s)^2 + 0.485(X_s) - 0.273;$ $(Y_s = 1.0 \text{ when } S/D = 5)$
	2.546	
	4.533	
Variasi Jumlah (Sejajar) X_n	1.761	$Y_n = -0.0469X_n + 1.0506;$ $(Y_n = 1.0 \text{ when } X_n = 1)$
Variasi Diameter $X_D = D/T$	2.546	$Y_D = 36.267(X_D) - 3.5739;$ $(Y_D = 1.0 \text{ when } D/T = 0.1)$
Rata-rata	2.51	

(Sumber : Draft Jurnal Internasional Rusdiansyah)

Sehingga model persamaan peningkatan tahanan geser tanah akibat adanya cerucuk menjadi :

$$P_{\max(1cerucuk)} = \frac{Mp_{\max(1cerucuk)}}{F_M \times T} \cdot Fkg \quad (2.5)$$

Menurut Mochtar dan Arya (2002),

Dimana :

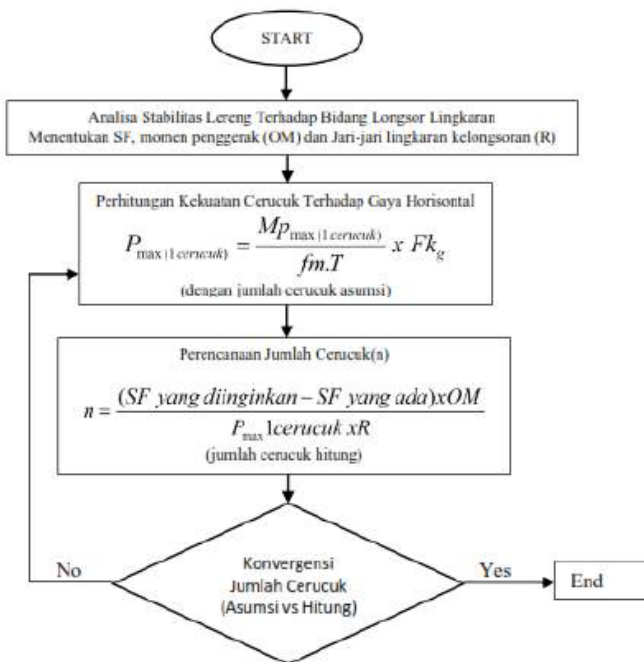
$$Fkg : 2,51 * Y_t * Y_s * Y_n * Y_D \quad (2.6)$$

(syarat spasi 3D sampai 8D)

- P_{max} : gaya horizontal maksimum yang diterima cerucuk, kg
 F_{kg} : faktor koreksi gabungan
 M_{pmax}: momen lentur yang bekerja pada cerucuk akibat P (kg.cm)
 f_m : koefisien momen akibat gaya lateral P (dari kurva NAVFAC DM-1971)
 T : Faktor kekuatan relative, cm (dari kurva NAVFAC DM-1971)
 D : diameter cerucuk, cm
 E : modulus elastisitas tiang (cerucuk), kg/ cm²
 I : momen inersia tiang (cerucuk), cm⁴
 f : koefisien dari variasi modulus tanah, kg/ cm³
 Y_t : persamaan dari pengaruh rasio tancap cerucuk
 X_t : rasio Tancap (L/D)
 X_s : spasi (S/D)
 Y_n : persamaan dari pengaruh jumlah cerucuk
 X_n : jumlah cerucuk
 Y_D : persamaan dari pengaruh diameter cerucuk
 X_D : ratio D/T

2.5.3 Penentuan Jumlah Cerucuk

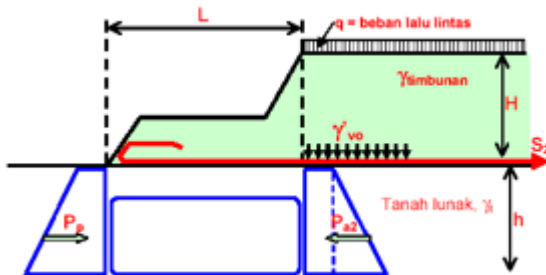
Untuk menghitung banyaknya cerucuk per satuan panjang, pertama sekali ditentukan gaya horizontal tambahan pada bidang gelincir yang diperlukan untuk menambah kekuatan geser tanah. Berikut prosedur menentukan jumlah cerucuk yang digunakan.



Gambar 2.14 Prosedur Desain Jumlah Cerucuk

2.6 Konsep Perencanaan Perkuatan Lereng dengan Counterweight

Perkuatan *counterweight* adalah perkuatan dengan memberikan timbunan di samping tanah timbunan yang akan di perkuat atau di perbaiki. *Counterweight* akan berfungsi sebagai penahan longsor terhadap tanah yang lemah. Menurut Eren Sebayang dan Rudi Iskandar (2008) dalam jurnalnya Perencanaan Stabilitas Lereng dengan *Sheet Pile* dan Perkuatan Geogrid menggunakan Metode Elemen Hingga, penambahan *counterweight* dibelakang *sheet pile* dapat meningkatkan faktor keamanan yang cukup signifikan. Untuk menghitung perkuatan *counterweight* ini menggunakan prinsip *foundation stability*.



Gambar 2.15 Prinsip *Foundation Stability*

Kondisi *foundation stability* terpenuhi apabila :

$$P_a \leq \frac{P_p + 2 S_u x L}{S_F} \text{ dan } S_2 \geq (S_u x L) x S_F \quad (2.7)$$

Dimana, $S_u = C_u = \text{undrained shear strength}$ dari tanah lunak.

$$(\sigma_{vo} = q + H \cdot \gamma_{timbunan}) \quad (2.8)$$

$$P_{a2} = (\sigma_{vo} - 2C_u) \cdot h + 0.5 \cdot h^2 \cdot \gamma t \text{ (ton/m')} \quad (2.9)$$

$$P_p = 0.5 \cdot h^2 \cdot \gamma t + 2 \cdot C_u \cdot h \text{ (ton/m')} \quad (2.10)$$

Setelah didapatkan nilai L dari rumus diatas dengan SF 1.5 sesuai peraturan menteri selanjutnya perkuatan di analisis dengan menggunakan *software Plaxis* atau *GeoStudio* dengan berpatokan pada *safety factor* dan panjang yang sudah dicari.

2.7 Konsep Perencanaan Perkuatan Lereng dengan Turap (*Sheet Pile*)

Konstruksi turap adalah satu konstruksi yang banyak digunakan dalam rekayasa sipil, yang bisa berupa konstruksi sederhana hingga konstruksi sangat berat. Tiang-tiang turap (*sheet piles*) sering digunakan untuk membangun sebuah dinding yang berfungsi sebagai penahan tanah.

Konstruksi turap juga dapat dibuat dari bahan beton ataupun baja. Perkuatan turap dengan menggunakan beton biasanya digunakan untuk perkuatan permanen. Perkuatan ini biasanya terdapat di lereng bukit yang terjal ataupun timbunan yang memang tinggi dan membutuhkan perkuatan. Sedangkan turap baja bisa digunakan sebagai turap permanen bisa juga digunakan untuk turap tidak permanen. Turap baja biasa

digunakan untuk *dewatering* air sungai yang akan dibuat pilar.

Dalam memperkirakan dan menghitung kestabilan turap, diperlukan menghitung tekanan ke arah samping (lateral). Tekanan lateral terjadi karena massa tanah menerima beban akibat tegangan normal maupun berat kolom tanah. Hal ini menyebabkan terjadinya tekanan kearah tegak lurus atau kearah samping. Besarnya tekanan tanah lateral sendiri sangat dipengaruhi oleh fisik tanah, sudut geser, dan kemiringan tanah terhadap bentuk struktur turap.

Tekanan tanah lateral dibagi menjadi tekanan tanah dalam keadaan diam, tekanan tanah aktif, dan tekanan tanah pasif. Tekanan tanah dalam kondisi diam terjadi akibat massa tanah pada dinding penahan berada dalam kondisi seimbang. Tekanan tanah aktif merupakan tekanan yang berusaha untuk mendorong dinding penahan tersebut kedepan. Sementara tekanan tanah pasif merupakan tekanan yang berusaha mengimbangi tekanan tanah aktif.

2.7.1 Tekanan Lateral Aktif

Berikut tahap-tahap dalam merencanakan turap tanpa angker:

1. Menggambar distribusi tekanan tanah aktif dan pasif dengan persamaan sebagai berikut:

$$\sigma_{h \text{ aktif}} = \sigma_v \cdot K_a - 2C\sqrt{K_a} \quad (2.11)$$

$$\sigma_{h \text{ pasif}} = \sigma_v \cdot K_p + 2C\sqrt{K_p} \quad (2.12)$$

dimana:

$\sigma_{h \text{ aktif}}$ = tegangan horisontal tanah aktif

$\sigma_{h \text{ pasif}}$ = tegangan horisontal tanah pasif

σ_v = tegangan vertikal tanah

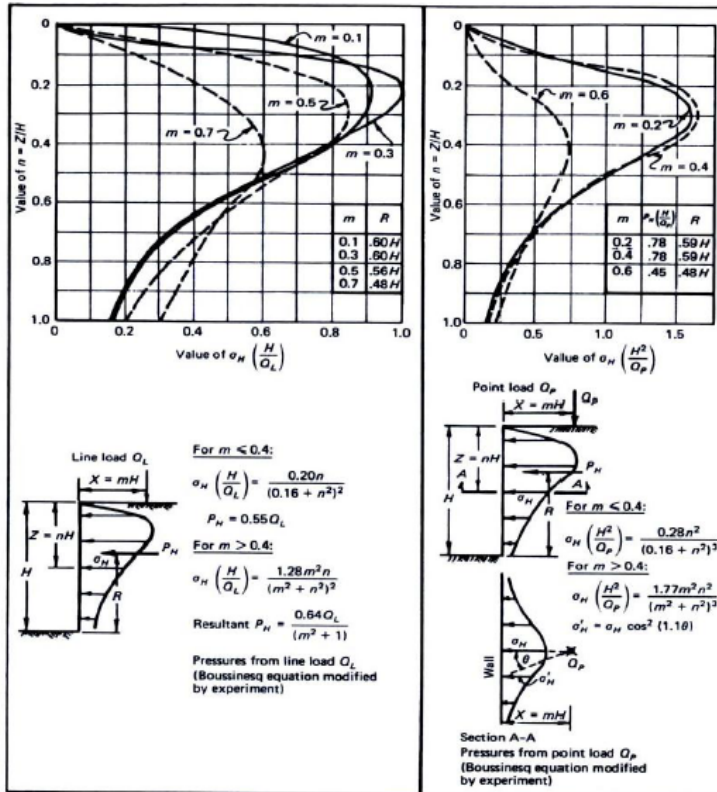
C = nilai kohesivitas tanah

$$K_a = \tan^2(45 - \frac{\Phi}{2}) \quad (2.13)$$

$$K_p = \tan^2(45 + \frac{\Phi}{2}) \quad (2.14)$$

Φ = sudut geser tanah

Untuk beban terpusat distribusi tekanan tanah aktif dan pasif menggunakan persamaan dalam rumus pada Gambar 2.16.



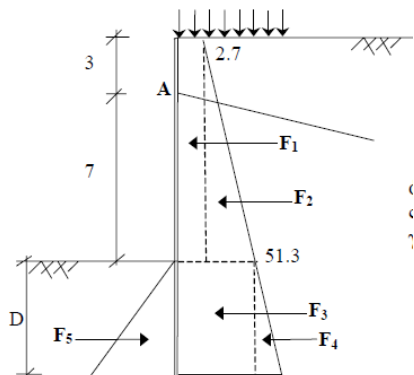
Gambar 2.16 Gaya-Gaya pada Diagram Tekanan Tanah Horisontal Beban Terpusat

2. Mencari Kedalaman Turap (D)

Kedalaman turap diperoleh dari keseimbangan momen pada titik O, yaitu titik dasar dari perencanaan turap. ($\Sigma Mo = 0$). Kedalaman turap hasil perhitungan kemudian dikalikan dengan angka keamanan antar 1,2 s/d 2,0.

3. Menentukan Profil Turap

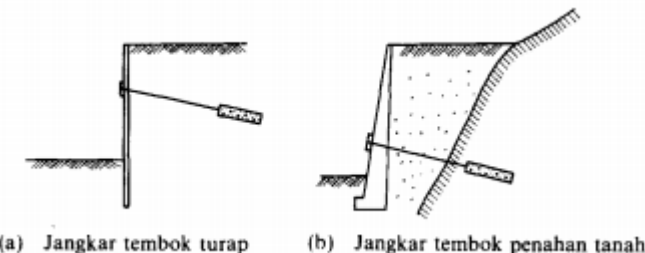
Profil turap ditentukan berdasarkan momen maksimum yang terjadi pada turap. Momen maksimum didapatkan dari turunan persamaan momen akibat gaya horisontal. Nilai yang didapatkan kemudian disubstitusikan ke dalam persamaan momen akibat gaya horisontal.



Gambar 2.17 Gaya-Gaya pada Diagram Tekanan Tanah Horisontal

2.7.2 Perencanaan Turap dengan Angker

Metode penjangkaran tanah disebut juga dengan nama *Alluvian Anchor*, *Ground Anchor*, atau *Tieback Anchor*, sesuatu yang dikembangkan di Eropa sekitar 20 tahun lalu. Dalam metode ini pemboran dilakukan di dalam tanah pondasi yang baik terdiri dari lapisan berpasir, lapisan berkerikil, lapisan berbutir halus ataupun batuan yang lapuk, serta suatu bagian yang menahan gaya Tarik seperti campuran semen dengan kabel baja atau semen dengan batang baja dimasukkan ke dalam lubang hasil pemboran tersebut, kemudian disertai suatu gaya tarik setelahnya untuk memperkuat konstruksinya. Dalam banyak hal dipergunakan untuk melawan tekanan seperti turap ataupun tembok penahan tanah, lihat Gambar 2.19.



Gambar 2.18 Contoh Penjangkaran

(Sumber : K.Nakzawa dkk, 2000)

Dalam tugas akhir ini digunakan penjangkaran dengan metode Angker *dead man*. Perencanaan turap dengan angker dengan metode ini memiliki tahap perhitungan yang hampir sama dengan perencanaan turap tanpa angker. Yang membedakan adalah cara menentukan kedalaman turap (D) serta adanya perencanaan angker.

Pada turap tanpa angker, nilai D diperoleh dengan keseimbangan momen pada titik A (Gambar 2.14), yakni titik dimana angker dipasang. Langkah untuk menentukan profil turap sama. Untuk perencanaan angker sebagai berikut:

1. Perencanaan Blok Angker

Menurut Teng (1962), apabila $H/h \leq 1,5$ sampai 2 tinggi blok angker dapat dianggap = H.

$$\text{Untuk } B/h \approx \infty; P_u = B(P_p - P_a) \quad (2.15)$$

Untuk $B/h < 5$, persamaan untuk menghitung kapasitas blok angker pendek di dekat tanah untuk tanah granular adalah sebagai berikut:

$$T_{ult} \leq B(P_p - P_a) + \frac{1}{3}K_o\gamma(\sqrt{K_p} + \sqrt{K_a})H^3 \tan\phi \quad (2.16)$$

dimana:

Tult = kapasitas maksimum blok angker

Ko = koefisien tekanan tanah diam (0,4)

H = kedalaman angker terhadap permukaan tanah

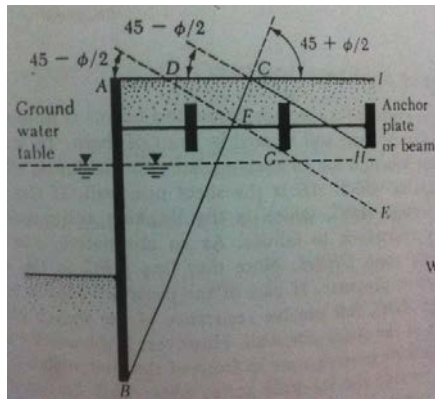
B = lebar blok angker

$$P_p = \frac{1}{2}\gamma H^2 \tan^2(45 + \frac{\phi}{2}) \quad (2.17)$$

$$P_a = \frac{1}{2} \gamma H^2 \tan^2(45 - \frac{\phi}{2}) \quad (2.18)$$

2. Menentukan Panjang Rod Angker

Blok angker harus terletak di zona tanah yang stabil. Penggambaran zona aman dapat dilihat pada Gambar 2.15.



Gambar 2.19 Penentuan Lokasi Angker
(sumber: Das, 1990)

Perencanaan turap dengan angker tidak hanya menggunakan teknik *Rod* angker saja, perencanaan turap berangker dapat menggunakan teknik grouting apabila teknik *Rod* angker tidak dapat dilaksanakan dilapangan. Metode penjangkaran dengan grouting menggunakan PC baja atau kabel sebagai batang tarik yang dijangkarkan kedalam tanah lalu di dalam lubang hasil pemboran di grouting dan batang tarik ini dijangkar, untuk menghindari mengalir keluarannya adukan semen dari lubang sewaktu sedang dilakukan grouting, perlu dipasang alat khusus didalam lubang tersebut yaitu "Packer" untuk menahan tekanan tinggi.

Perencanaan turap menggunakan metode grouting sangat dipengaruhi oleh kekuatan leleh dari jangkar. Kekuatan tarik suatu jangkar tergantung dari tahanan geser di satu pihak, tahanan pasif

yang bekerja di muka jangkar dengan penampang yang besar di lain pihak, serta gabungan antara keduanya.

Suatu persamaan untuk menghitung gaya tarik batas adalah sebagai berikut:

$$T_u = \pi D_1 \int_{z_1}^{z_1 + l_1} \tau_z \cdot dz + q \cdot s + \pi D_2 \int_{z_2}^{z_2 + l_2} \tau_z \cdot dz \quad (2.19)$$

Dimana : T_u : Kekuatan batas leleh

D_1 : Garis tengah jangkar

D_2 : Garis tengah batang jangkar yang membesar

τ_z : Tahanan tarik dari jangkar terhadap pondasi pada kedalaman z

q : Tahanan tarik dari bagian jangkar yang membesar

s : Luas dari bagian jangkar yang membesar

Dalam hal penjangkaran dengan tahanan geser maka suku pertama saja dibagian kanan persamaan 2.13 tidak menimbulkan persoalan, dan suku kedua perlu dipertimbangkan pada jenis penjangkaran dengan plat pemikul. Dari hasil-hasil pengalaman yang lalu maka suatu perkiraan kasar dari tahanan tarik adalah seperti Tabel 2.11.

Persamaan tahanan gesek untuk beton grouting adalah sebagai berikut:

$$SF \times T = \tau \quad (2.20)$$

Dimana: SF : Safety Factor (1.5)

T : Gaya gesek

τ : $(C + \sigma v \cdot \tan\theta)$. Luas

Kekuatan leleh batas dari jangkar didapat dengan mengalikan nilai kekuatan leleh rencanan dengan suatu faktor keamanan. Dengan lain perkataan, bila kekuatan leleh batas adalah T_a dan faktor keamanan adalah F_s maka kekuatan leleh yang diperbolehkan adalah:

$$T_a = \frac{T_u}{F_s} \quad (2.21)$$

Biasanya faktor keamanan dianggap lebih besar daripada nilai-nilai yang berkaitan dengan penggunaan jangkar tersebut. Yaitu 1,5 bila untuk kosntruksi sementara dan 2,5 bila untuk

konstruksi permanen. Untuk susunan penjangkaran yang berlapis terdapat banyak hal di mana susunan jangkar ditentukan oleh kekuatan jangkarnya. Jarak vertikal biasanya 2,5 sampai 5,0 m dan jarak mendatar antara 1,5 sampai 4,5 meter. Tergantung dari jarak jangkar, pengaruh kelompok perlu diperhitungkan tetapi data-data pengujinya masih sulit diperolah pada waktu ini.

Tabel 2.10 Perkiraan Kasar dari Perlawanan Geser yang Bekerja pada Permukaan Jangkar

Macam dari tanah pondasi			Perlawanan geser (kg/m ²)
Batuan dasar	Batuan keras		15–25
	Batuan lembek		10–15
	Batuan lapuk		6–10
	Batuan lumpur		6–12
Kerikil	Nilai <i>N</i> (SPT)	10	1,0–2,0
		20	1,7–2,5
		30	2,5–3,5
		40	3,5–4,5
		50	4,5–7,0
	Pasir		1,0–1,4
		20	1,8–2,2
		30	2,3–2,7
		40	2,9–3,5
		50	3,0–4,0
Tanah kohesif			1,0 C

Dalam praktek, kekuatan leleh rencana untuk tiap jangkar diperkirakan sekitar 30 sampai 70 ton apabila di dalam lapisan tanah, serta sekitar 60 sampai 120 ton bila di dalam lapisan butuan, tidak perlu pengawasan pelaksanaan yang ketat dan hasilnya aman serta effisien dari segi ekonomi.

2.8 Pembebanan Kereta Api

Dalam perencanaan perkuatan timbunan memerlukan beban kereta api yang akan melintas. Mengacu pada Peraturan Menteri Perhubungan Republik Indonesia NOMOR : PM. 60 Tahun 2012, beban desain yang digunakan untuk mendesain perkuatan timbunan sebesar 18 ton untuk lebar gandar 1067mm dan 22,5 ton untuk lebar gandar 1435mm. Ditunjukkan pada Tabel 2.2 dan Tabel 2.3, serta skema pembebanan pada Gambar 2.20.

Tabel 2.11 Pembebanan Kereta Api dengan Lebar Gandar 1067mm

Kelas Jalan	Daya Angkut Lintas (ton/tahun)	V maks (km/jam)	P maks gandar (ton)	Tipe Rel	Jenis Bantalan	Jenis Penambat	Tebal Balas Atas (cm)	Lebar Bahu Balas (cm)
					Jarak antar sumbu bantalan (cm)			
I	$> 20 \cdot 10^6$	120	18	R.60/R.54	Beton 60	Elastis Ganda	30	60
II	$10 \cdot 10^6 - 20 \cdot 10^6$	110	18	R.54/R.50	Beton/Kayu 60	Elastis Ganda	30	50
III	$5 \cdot 10^6 - 10 \cdot 10^6$	100	18	R.54/R.50/R.42	Beton/Kayu/Baja 60	Elastis Ganda	30	40
IV	$2,5 \cdot 10^6 - 5 \cdot 10^6$	90	18	R.54/R.50/R.42	Beton/Kayu/Baja 60	Elastis Ganda/Tunggal	25	40
V	$< 2,5 \cdot 10^6$	80	18	R.42	Kayu/Baja 60	Elastis Tunggal	25	35

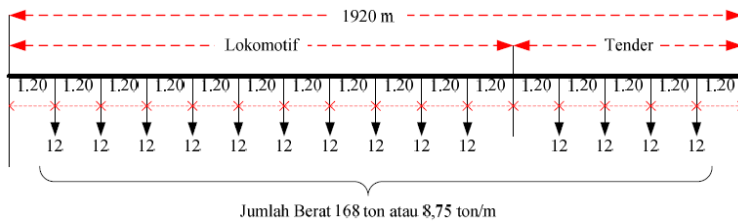
Tabel 2.12 Pembebanan Kereta Api dengan Lebar Gandar 1435mm

Kelas Jalan	Daya Angkut Lintas (ton/tahun)	V maks (km/jam)	P maks gandar (ton)	Tipe Rel	Jenis Bantalan	Jenis Penambat	Tebal Balas Atas (cm)	Lebar Bahu Balas (cm)
					Jarak antar sumbu bantalan (cm)			
I	$> 20 \cdot 10^6$	160	22,5	R.60	Beton 60	Elastis Ganda	30	60
II	$10 \cdot 10^6 - 20 \cdot 10^6$	140	22,5	R.60	Beton 60	Elastis Ganda	30	50
III	$5 \cdot 10^6 - 10 \cdot 10^6$	120	22,5	R.60/R.54	Beton 60	Elastis Ganda	30	40
IV	$< 5 \cdot 10^6$	100	22,5	R.60/R.54	Beton 60	Elastis Ganda	30	40

Adapun Skema pembebanan kereta api menurut Peraturan Menteri Nomor 60 Tahun 2012 adalah :

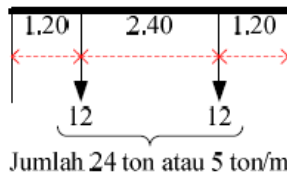
Muatan Gerak

Sebagai muatan gerak dianggap suatu susunan kereta api terdiri dari 2 Lokomotif pakai tender, serupa demikian :



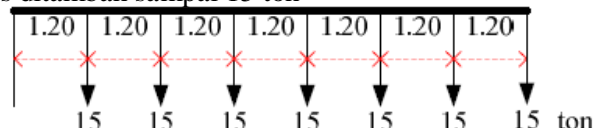
Gambar 2.20 Skema Pembebanan Kereta Api 2 Lokomotif

Bila dengan kereta / gerobak yang banyaknya tidak tertentu, serupa demikian :



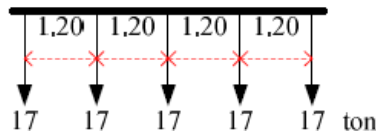
Gambar 2.21 Skema Pembebanan Kereta Api dengan Kereta Gerobak

Susunan kereta itu selalu dibikin sehingga bagi bagian yang harus dihitung kekuatanya paling berbahaya, jika ada 6 atau 7 gandar yang dapat tempat dalam hitungannya, maka beratnya muatan gandar harus ditambah sampai 15 ton



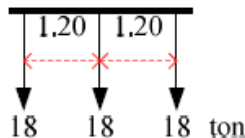
Gambar 2.22 Skema Pembebanan Kereta Api 6 atau 7 Gandar

Jika hanya ada 5 gandar yang dapat tempat dalam hitunganya, maka beratnya muatan gandar harus ditambah sampai 17 ton.



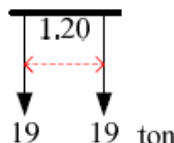
Gambar 2.23 Skema Pembebaan Kereta Api 5 Gandar

Jika hanya ada 3 gandar yang dapat tempat dalam hitunganya, maka beratnya muatan gandar harus ditambah sampai 18 ton.



Gambar 2.24 Skema Pembebaan Kereta Api 3 Gandar

Jika hanya ada 2 gandar yang dapat tempat dalam hitunganya, maka beratnya muatan gandar harus ditambah sampai 19 ton.



Gambar 2.25 Skema Pembebaan Kereta Api 2 Gandar

Jika hanya ada 1 gandar yang dapat tempat dalam hitunganya, maka beratnya muatan gandar harus ditambah sampai 20 ton.



Gambar 2.26 Skema Pembebaan Kereta Api 1 Gandar

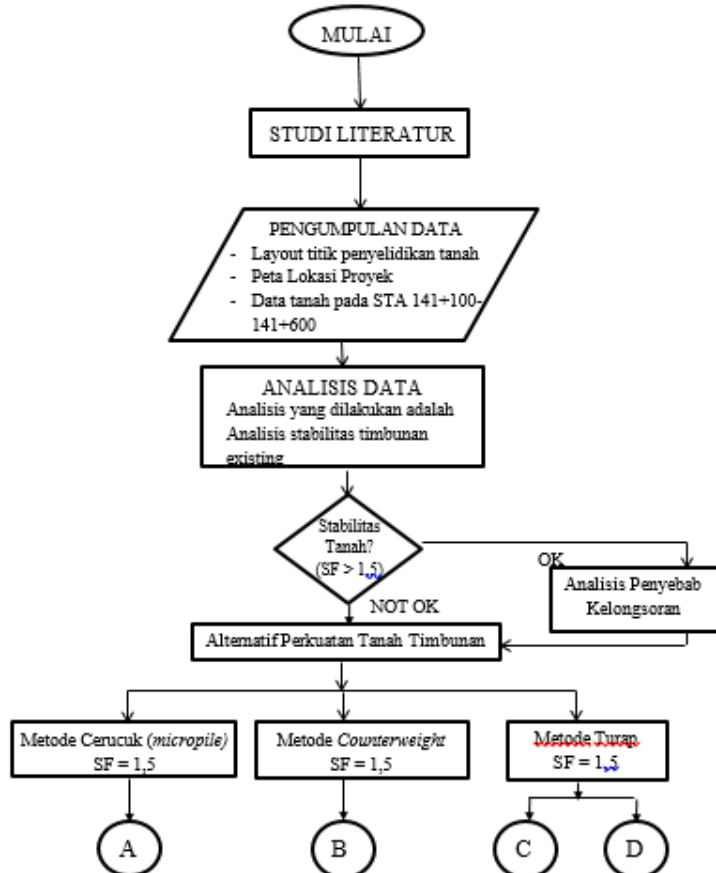
Dari rencana-rencanan muatan tersebut, selalu yang dipilih itu rencana yang pendapatanya paling berbahaya dihitunganya.

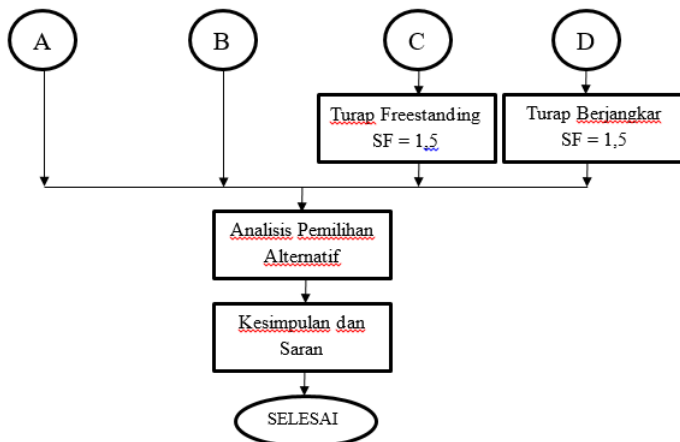
BAB III

METODOLOGI

3.1 Bagan Alir

Gambar 3.1 berikut ini merupakan diagram alir dalam penulisan Tugas Akhir alternatif perkuatan timbunan existing railway track STA 141+100 – 141+600 “Bojonegoro – Surabaya Pasar Turi”.





Gambar 3.1 Diagram Alir Tugas Akhir

3.1.1 Studi Literatur

Studi Literatur yang dimaksud adalah mengumpulkan bahan-bahan yang digunakan sebagai acuan dalam melakukan perencanaan. Bahan studi yang adakan digunakan dalam perencanaan ini adalah sebagai berikut :

1. Perhitungan perencanaan timbunan
2. Perhitungan perencanaan cerucuk sebagai perkuatan timbunan rel existing
3. Perhitungan perencanaan turap beton sebagai perkuatan timbunan rel existing
4. Perhitungan perencanaan *counterweight* sebagai perkuatan timbunan rel existing
5. Refrensi tentang pengoperasian perangkat lunak *plaxis* dan *geostudio*
6. Ringkasan yang menunjang beserta rumus-rumus yang mendukung

3.1.2 Pengumpulan dan Analisis Data

Data-data yang digunakan dalam perencanaan perkuatan timbunan rel existing ini adalah data yang diperoleh dari instansi terkait.

Data tersebut meliputi :

1. Layout proyek dan peta topografi
2. Data pengujian tanah asli
3. Data hasil pengecekan stabilitas tanah timbunan
4. Data spesifikasi Cerucuk (*micropile*)
5. Data tanah quarry yang digunakan untuk perkuatan *counterweight*
6. Data spesifikasi Turap Beton

3.1.3 Perhitungan Perkuatan Tanah Timbunan Existing

Perencanaan perkuatan alternatif berikut :

- a. Perkuatan timbunan dengan metode Cerucuk (*micropile*)
 1. Menentukan jumlah cerucuk yang efektif
 2. Menentukan jarak pemasangan cerucuk yang efektif
 3. Menentukan panjang cerucuk yang efektif
- b. Perkuatan timbunan dengan metode *Counterweight*
 1. Menentukan volume timbunan yang efektif
 2. Menentukan dimensi timbunan yang efektif
- c. Perkuatan timbunan dengan menggunakan Turap Beton
 1. Menentukan dimensi turap beton yang efektif serta panjang angkur untuk turap *freestanding*
 2. Menentukan jumlah turap beton yang efektif
 3. Menentukan jarak pemasangan turap beton yang efektif

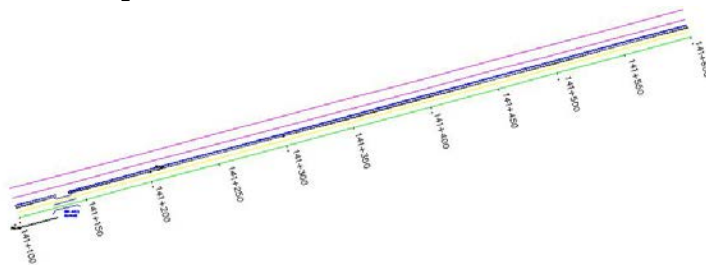
3.1.4 Perhitungan Biaya

Menghitung biaya material yang dibutuhkan dalam perkuatan tanah timbunan existing dengan metode Cerucuk (*micropile*), *Counterweight*, dan Turap Beton serta menentukan biaya yang paling minimum.

3.1.5 Kesimpulan

Pada bab ini dipaparkan pemilihan metode yang paling efektif sebagai perkuatan tanah timbunan pada STA 141+100 – 141+600 dengan memperhatikan aspek biaya.

3.1.6 Lampiran



Gambar 3.2 Layout STA 141+100 – 141+600

“Halaman ini sengaja dikosongkan”

BAB IV

DATA PERENCANAAN DAN ANALISIS

Perencanaan perkuatan timbunan rel kereta api lintas Bojonegoro – Surabaya Pasar Turi pada Tugas Akhir ini dilakukan berdasarkan data sebagai berikut:

1. Data tanah hasil penyelidikan tanah yaitu data tanah point S-7 STA 141+170 Jalur Eksisting, Sumberrejo Bojonegoro.
2. Zonasi wilayah STA 141+100-141+300, STA 141+300-141+450, dan STA 141+450-141+600.
3. *Layout* rencana awal timbunan (potongan melintang).
4. Data spesifikasi cerucuk.
5. Data spesifikasi timbunan tambahan (*counter weight*)
6. Data spesifikasi turap beton *freestanding* dan turap beton berjangkar.

4.1. Data Tanah

Data tanah yang dipergunakan dalam Tugas Akhir ini adalah data hasil pekerjaan penyelidikan tanah oleh Laboratorium Mekanika Tanah dan Batuan Jurusan Teknik Sipil FTSP ITS untuk proyek perkuatan timbunan rel eksisting *railway track* Bojonegoro – Surabaya Pasar Turi. Data tanah dasar diketahui pada point S-7 STA 141+170 Jalur Eksisting, terletak di desa Sumberrejo Bojonegoro. Data tanah ditampilkan dalam bentuk Sondir (*cone penetration test*) dan dilampirkan pada Lampiran 1.

Metode yang kemudian digunakan untuk melengkapi nilai parameter-parameter tanah adalah dengan korelasi. Data tanah dasar yang diketahui dari hasil laboratorium berupa data sondir harus di korelasikan dulu ke nilai N-SPT. Dari grafik data sondir didapatkan nilai qC (kg/cm^2) dan nilai *friction ratio* atau Rf (%). Setelah itu data tersebut dipakai untuk mengklasifikasikan jenis tanah dengan menggunakan Gambar 2.5 (Robertson dan Campanella, 1983). Setelah itu digunakan rumus interpolasi dari data qC (kg/cm^2) untuk mendapatkan nilai N-SPT dengan

menggunakan Tabel 2.1 (Mochtar, 2012). Sedangkan nilai kohesivitas tanah (C_u) didapatkan dari hubungan antara nilai N-SPT dengan nilai C_u pada Gambar 2.6 (Helmy et. al, 2012). Untuk korelasi dalam mencari nilai γ_{sat} menggunakan rumus interpolasi pada Table 2.2 (Bowles, 1984). Nilai modulus young dan poisson ratio menggunakan Tabel 2.3 (Braja M Das, 1984), nilai *friction angle* atau sudut geser tanah (ϕ) sesuai jenis tanah dasar yang termasuk lempung soft maka nilai sudut gesernya rendah untuk amanya dalam perhitungan nilai sudut geser yang digunakan adalah 0, nilai Spesific Graftity didapatkan dari Tabel 2.4 (Hardiyatmo, 1992) dan nilai γ_{dry} menggunakan Tabel 2.5 (Hillel, 1980). Hasil rekap data tanah dasar dapat dilihat pada Tabel 4.1.

Tabel 4.1 Rekapitulasi Data Tanah

Kedalaman (m)	Jenis Tanah	N SPT	γ (t/m ³)		Strength		V	C (kg/cm ²)	E (t/cm ²)
			γ_{sat}	γ_{dry}	ϕ (°)	C_u (kg/cm ²)			
0-5 m	Clays	3.00	1.60	1.2	0	0.20	0.20	0.13	0.1
5-6.2 m	Clayey silts	6.00	1.70	1.23	0	0.38	0.20	0.25	0.3
6.2-13.6 m	Clays	9.00	1.70	1.2	0	0.53	0.20	0.35	0.3
13.6-15 m	Clayey silts	13.00	1.80	1.23	0	0.68	0.20	0.45	0.5

(Sumber : Hasil Analisa Data Tanah Asli)

4.2 Data Material Perkuatan Timbunan

Material yang digunakan untuk perbaikan tanah dasar dan timbunan pada Tugas Akhir ini menggunakan 4 jenis alternatif perkuatan yaitu cerucuk, *counter weight*, turap beton *free standing*, dan turap beton berjangkar.

A. Cerucuk

Cerucuk yang digunakan adalah cerucuk beton *Prestressed concrete circle pile*. Brosur yang digunakan adalah dari PT. WIKA BETON ditampilkan pada Lampiran 3.

B. Counter Weight

Counter Weight yang digunakan adalah timbunan pilihan dengan persyaratan, *unit weight embankment material* 1,65 ton/m³, *unit weight embankment material saturation* 1,8 ton/m³, *internal angle friction effective* 30°, *Cohesion* 0, modulus young 0.61 t/cm², diameter butiran terbesar 5 cm, material timbunan herus merupakan kombinasi dari dominan pasir (sand) minimum 50% dan lanau + lempung (silt dan clay) maximum 20% dengan nilai Plasticity Index 10% maximum untuk suatu timbunan yang diatasnya ada beban structural.

C. Turap Free Standing

Turap *Free Standing* yang digunakan adalah turap beton *free standing* jenis *corrugated pc sheet pile* merk W600 A1000. Brosur yang digunakan adalah dari PT. WIKA BETON ditampilkan pada Lampiran 3.

D. Turap Berjangkar

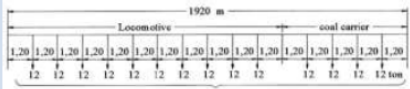
Turap berjangkar yang digunakan adalah turap beton berjangkar merk W400 A1000. Brosur yang digunakan adalah dari PT. WIKA BETON ditampilkan pada Lampiran 3.

4.3 Data Rel Kereta Api

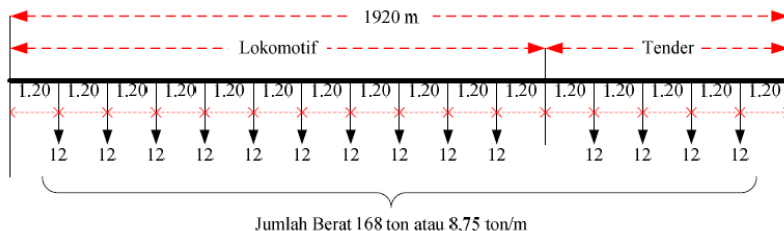
A. Pembebanan Kereta Api Maksimum

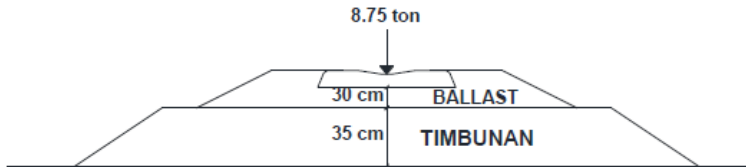
Skema pembebanan kereta api yang digunakan dalam perencanaan ini di dasarkan pada Peraturan Menteri Perhubungan Republik Indonesia NOMOR: 60 Tahun 2012. Skema Pembebanan 100% RM 1921 terdapat pada Tabel 4.2.

Tabel 4.2 Skema Pembebanan Kereta Api

JUMLAH GANDAR	SKEMA PEMBEBANAN 100% RM 1921
1 GANDAR	
2 GANDAR	
3 GANDAR	
4 ATAU 5 GANDAR	
6 ATAU 7 GANDAR	
MENGGUNAKAN GERBONG DENGAN NILAI TIDAK TERTENTU ¹ Beban Total = 24 ton atau 5 ton/m	
> 8 GANDAR Beban Total 168 ton atau 8,75 ton/m ¹	

Dari beberapa beban yang disajikan pada Peraturan Menteri didapatkan beban maksimum untuk kereta api yaitu dengan jumlah gandar > 8 dengan beban total 168 ton atau sebesar 8,75 ton/m' seperti pada gambar dibawah ini :

**Gambar 4.1 Skema Pembebanan Kereta Api dengan Gandar Lebih Dari 8**



Gambar 4.2 Pembebanan Kereta Api

B. Data Material Timbunan Rel Kereta Api

Material timbunan rel kereta api disini terdiri dari Ballast dan Timbunan (Sub-Ballast). Lapisan ballast dan sub-ballast pada dasarnya adalah terusan dari lapisan tanah dasar dan terletak di daerah yang mengalami konsentrasi tegangan yang terbesar akibat lalu lintas kereta api pada jalan rel, oleh karena itu material pembentuknya harus sangat terpilih.

1. Sub-Ballast

Adapun data tanah material sub-ballast dikorelasikan dengan beberapa tabel. Sub-Ballast merupakan kerikil dengan massa jenis yang tidak terlalu tinggi jika dibandingkan dengan ballast yang ditumpuk dibawah lapisan ballast maka korelasi material sub-ballast (kerikil) untuk mencari nilai sudut geser menggunakan Tabel 2.6 (Teng, 1962). Sedangkan untuk mencari nilai γ_d dan γ_{sat} menggunakan Tabel 2.7 (Biarez dan Favre, 2012). Korelasi jenis tanah kerikil ke modulus young dan poisson ratio menggunakan Tabel 2.8 (Braja M Das, 1974). Maka didapat data material sub-ballast yang memenuhi persyaratan perencanaan pada Tabel 4.3.

Tabel 4.3 Parameter Tanah untuk Sub-Ballast

γ (t/m ³)		Strength					
γ_{sat}	γ_{dry}	Φ (°)	C_u (kg/cm ²)	V	C' (kg/cm ²)	E (t/cm ²)	
2.32	2.20	41	0.00	0.20	0	1.4	

2. Ballast

Lapisan ballast pada dasarnya adalah terusan dari lapisan sub-ballast, dan terletak di daerah yang mengalami konsentrasi tegangan yang terbesar akibat lalu lintas kereta pada jalan rel yang berfungsi untuk meneruskan dan menyebarkan beban bantalan ke sub-ballast material pembentuk ballast harus memenuhi persyaratan berikut.

- Kemiringan lereng lapisan ballast atas tidak boleh lebih curam dari 1:2
- Bahan ballast atas dihampar hingga mencapai samadengan elevasi bantalan.
- Ballast harus terdiri dari batu pecah (25-60) mm dan memiliki kapasitas ketahanan yang baik, ketahanan gesek yang tinggi dan mudah dipadatkan.
- Material ballast harus bersudut banyak dan tajam.
- Porositas maksimum 3%
- Kuat tekan rata-rata maksimum 1000 kg/cm^2 .
- *Specific gravity* minimum 2,6
- Kandungan tanah, lumpur dan organic maksimum 0,5%.
- Kandungan minyak maksimum 0,2%.
- Keusan ballast sesuai dengan test *Los Angeles* tidak boleh lebih dari 25%.

Dengan aturan diatas maka data tanah material ballast yang merupakan kerikil pilihan dengan massa jenis tinggi yang ditumpuk diatas lapisan sub-ballast maka korelasi material sub-ballast (kerikil) untuk mencari nilai sudut geser menggunakan Tabel 2.6 (Teng, 1962). Sedangkan untuk mencari nilai γ_d dan γ_{sat} menggunakan Tabel 2.7 (Biarez dan Favre, 2012). Korelasi jenis tanah kerikil ke modulus young dan poisson ratio menggunakan Tabel 2.8 (Braja M Das, 1974). Maka didapat data material sub-ballast yang memenuhi persyaratan perencanaan pada Tabel 4.3. Maka didapatkan data material ballast yang memenuhi persyaratan perencanaan pada Tabel 4.4.

Tabel 4.4 Parameter Tanah untuk Ballast

γ (t/m ³)		Strength				
γ_{sat}	γ_{dry}	ϕ (°)	C_u (kg/cm ²)	V	C' (kg/cm ²)	E (t/cm ²)
2.64	2.6	40	0.00	0.20	0	1.65

3. Bantalan

Bantalan berfungsi untuk meneruskan beban kereta api dan berat konstruksi jalan rel ke ballast, mempertahankan lebar jalan rel dan stabilitas ke arah luar jalan rel. Bantalan yang digunakan adalah bantalan beton dengan persyaratan sebagai berikut.

Panjang : 2000 mm

Lebar : 260 mm

Tinggi : 220

f_c' beton : 600 kg/cm²

E beton : $4700\sqrt{f_c} = 1.151 \times 10^7$ kN/m²

Poisson ratio : 0.2

4. Timbunan Existing

Timbunan dibawah ballast berupa timbunan pilihan yang berupa hasil dari galian tanah (bukan sirtu) spesifikasi pada Tabel 4.5.

Tabel 4.5 Data Parameter Timbunan Existing

γ_{sat}	γ_{dry}	ϕ (°)	C_u (kg/cm ²)	V	C' (kg/cm ²)	E (t/cm ²)
1.70	1.6	15	0.1	0.20	0.07	0.5

5. Rel Kereta Api

Rel kereta api diatas ballast adalah baja dengan lebar 12 cm dan tinggi 10 cm dengan nilai modulus young (E) adalah 2×10^7 kN/m².

6. Perkuatan Rel Baru (yang sudah ada di lapangan)

Perkuatan rel yang sudah ada dilapangan pada rel new STA 141+100 – 141+600 adalah perkuatan turap beton (*sheet pile*) W600 A1000 sepanjang 12m. Spesifikasi turap beton terdapat pada Lampiran 3.

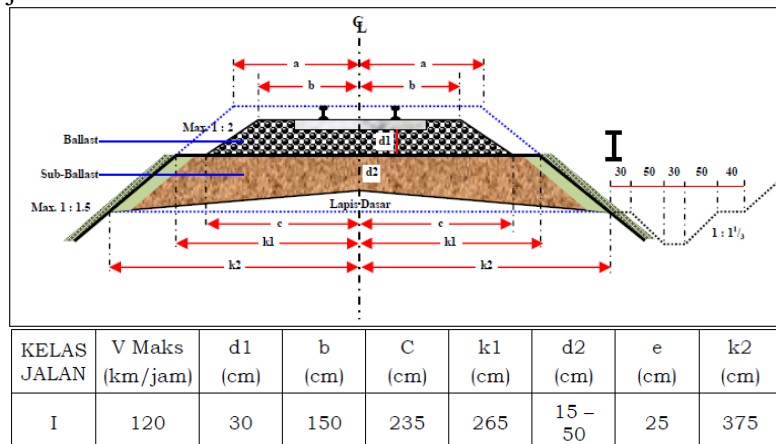
C. Desain Timbunan Rel Kereta Api

Desain Timbunan rel kereta api yang sudah ada didasarkan pada Peraturan Menteri Perhubungan Republik Indonesia NOMOR: 60 Tahun 2012. Kelas jalan rel yang digunakan untuk jalur rel Bojonegoro-Surabaya Pasar Turi adalah kelas jalan rel I. Berikut kriteria kelas jalan rel I :

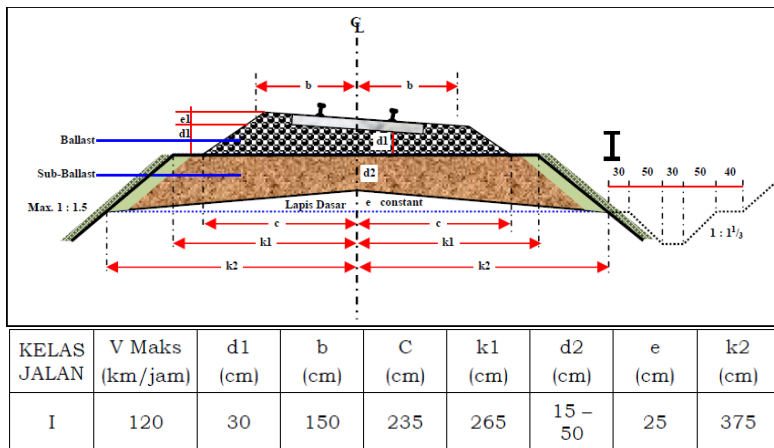
Tabel 4.6 Kriteria Kelas Jalan Rel I Lebar Jalan Rel 1067 mm

Kelas Jalan	Daya Angkut Lintas (ton/tahun)	V maks (km/jam)	P maks gandar (ton)	Tipe Rel	Jenis Bantalan		Jenis Penambat	Tebal Balas Atas (cm)	Lebar Bahu Balas (cm)
					Jarak antar sumbu bantalan (cm)	Beton			
I	$> 20 \cdot 10^6$	120	18	R.60/R.54	60	Elastis Ganda	30	60	

Desain penampang melintang untuk lebar jalan rel 1067 mm kelas jalan rel I



Gambar 4.3 Desain Penampang Melintang Jalan Rel Pada Bagian Lurus



Gambar 4.4 Desain Penampang Melintang Jalan Rel Pada Bagian Miring

4.4 Layout Topografi dan Potongan

Layout topografi dan potongan STA 141+100 – 141+600 dapat di lihat pada Lampiran 2.

“Halaman ini sengaja dikosongkan”

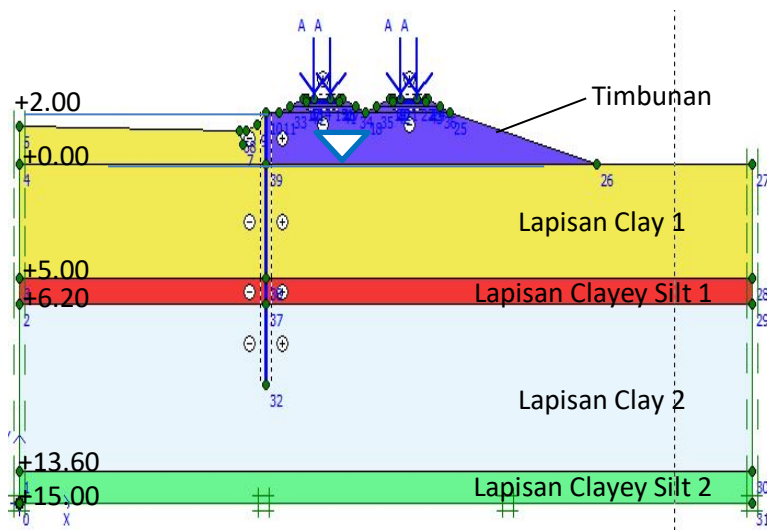
BAB V

PERENCANAAN ALTERNATIF

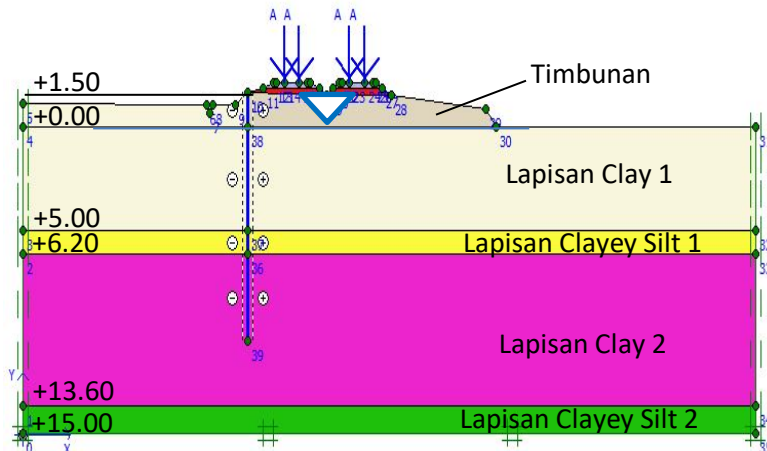
Dalam Bab V akan dijelaskan tentang analisis kelongsoran timbunan rel existing, perencanaan alternatif perkuatan dan perhitungan biaya perkuatan timbunan rel existing STA 141+100 – STA 141+600. Perencanaan alternatif perkuatan timbunan rel existing menggunakan 4 jenis alternatif perkuatan yaitu menggunakan turap *freestanding*, turap berjangkar, *counterweight*, dan cerucuk. Perhitungan detail terdapat pada Sub-Bab 5.1 sampai dengan 5.5.

5.1 Analisis Kelongsoran Timbunan Rel Awal

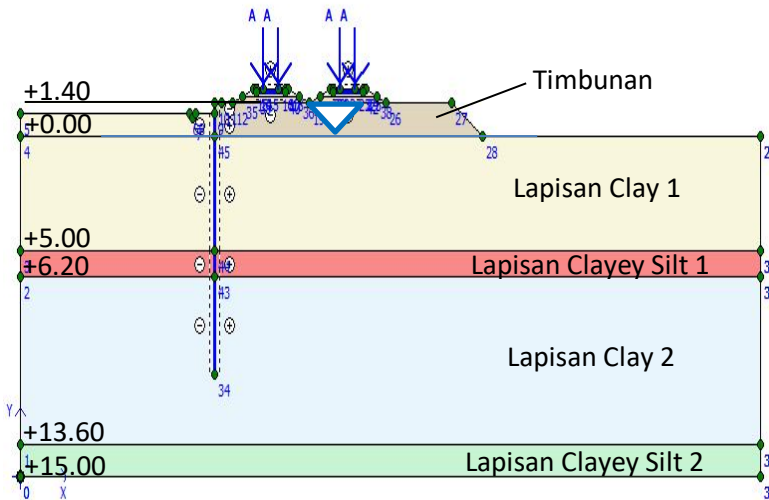
Analisis kelongsoran timbunan rel dilakukan sebelum penentuan alternative perkuatan yang akan dipasang. Analisis awal ini dilakukan untuk mengetahui penyebab kelongsoran dan mengetahui nilai *safety factor* pada timbunan existing. Analisis ini dilakukan dengan menggunakan data tanah yang berasal dari uji sondir yang telah dibahas sebelumnya pada Bab IV. Analisis *safety factor* timbunan dilakukan pada 3 zona sebagai berikut yaitu zona 1 (STA 141+100 – 141+300) yang diwakili oleh STA 141+150, zona 2 (STA 141+300 – 141+450) yang diwakili oleh STA 141+350, dan zona 3 (STA 141+450 – 141+600) yang diwakili oleh STA 141+600 seperti yang terlihat pada Gambar 5.1 s/d 5.3. Pembagian ketiga zona tersebut berdasarkan bentuk geometri dan tinggi timbunan yang sama. Tiga titik STA terpilih tersebut dianggap mewakili dari setiap bentuk geometri pada STA 141+100 sampai dengan STA 141+600 dan selanjutnya akan digunakan dalam analisis dan perencanaan perkuatan. Analisis pertama dilakukan untuk mengetahui penyebab kelongsoran. Kelongsoran pada tanah timbunan existing ini terjadi setelah pembangunan jalur rel *double track*. Hal ini berarti penyebab kelongsoran kemungkinan karena karena adanya penambahan beban timbunan. Dengan menggunakan program bantu *GeoStudio* dilakukan analisis timbunan sebelum dibangunnya jalur rel *double track* dan didapatkan *safety factor* seperti pada Tabel 5.1.



Gambar 5.1 Layout STA 141+150 (Zona 1)



Gambar 5.2 Layout STA 141+350 (Zona 2)



Gambar 5.3 Layout STA 141+600 (Zona 3)

Analisis kedua dilakukan untuk mengecek *safety factor* setelah adanya pembangunan *double track*. Hasil *safety factor* pada analisis *double track* dapat dilihat pada Tabel 5.1. Analisis ini dilakukan berdasarkan data geometri seperti pada Gambar 5.1 s/d 5.3, dengan menerapkan beban kereta api sebesar 8,75 t/m¹ dan lapisan ballast setebal 0,35 m serta sub-ballast 0,3 m. Hasil analisis selengkapnya pada STA 141+150, STA 141+350, dan STA 141+600 dapat dilihat pada Lampiran 4.

Tabel 5.1 Nilai *Safety Factor* pada STA yang Ditinjau Sebelum Pembangunan Timbunan *Double Track*

Titik	SF Sebelum Pembangunan Double Track	SF Setelah Pembangunan Double Track
STA 141+150	1.3	0.99
STA 141+350	1.35	1.02
STA 141+600	1.39	1.06

Berdasarkan Tabel 5.1 dan Tabel 5.2 terlihat bahwa ke longsoran yang terjadi pada tanah timbunan existing akibat adanya beban tambahan dari timbunan *double track*. Pada Tabel 5.2 *safety factor* untuk lokasi STA 141+150 ternyata kurang dari satu, hal ini menunjukkan bahwa lokasi tersebut mengalami kelongsoran sesuai dengan kenyataan yang ada di lapangan pada Gambar 1.4 dan Gambar 1.5. Kondisi di lapangan seperti menunjukkan bahwa terjadi pergerakan horizontal yang terlihat dengan kemiringan beberapa tiang listrik di badan timbunan. Apabila dibiarkan, ditambah dengan adanya beban kereta api maka kelongsoran besar suatu saat dapat saja terjadi. Oleh karena itu, zona-zona tersebut memerlukan perkuatan timbunan untuk dapat mencapai *safety factor* yang direncanakan sesuai peraturan Menteri Perhubungan Nomor 60 tahun 2012 yakni sebesar 1,5. Selanjutnya dari hasil analisis stabilitas ini maka akan direncanakan alternatif perkuatan timbunan rel existing.

Alternatif yang digunakan antara lain adalah:

- a. Turap Beton
- b. Turap Beton dengan Angkur
- c. Counterweight
- d. Cerucuk

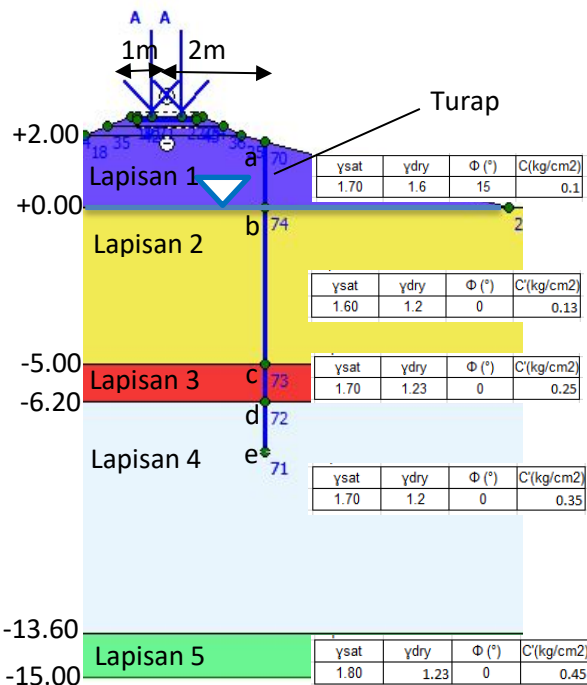
Perhitungan perencanaan perkuatan dibahas lebih detail pada Sub Bab 5.2 s/d 5.4.

5.2 Perencanaan Perkuatan Timbunan dengan Turap

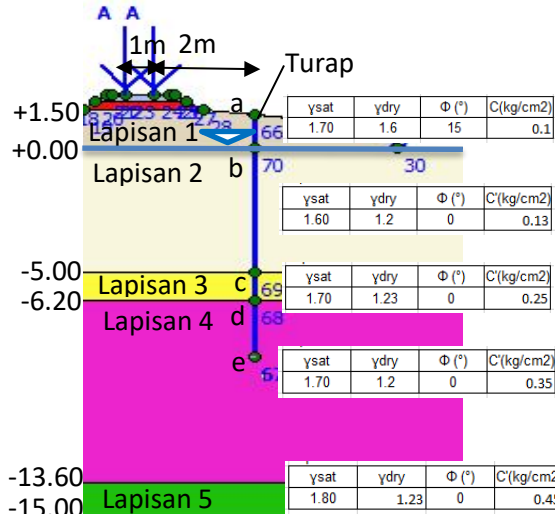
Alternatif perkuatan timbunan dengan turap pada STA 141+100 – 141+600 menggunakan 2 jenis perkuatan turap, yaitu perkuatan turap tanpa angker dan perkuatan turap dengan angker. Untuk perkuatan turap tanpa angker menggunakan turap jenis W500 A1000, sedangkan untuk turap dengan angker menggunakan tipe turap W325 A1000, dengan ujung angker diberi grouting. Perhitungan perkuatan ini dilakukan dengan menggunakan 2 (dua) metode yaitu perhitungan manual dan untuk turap tanpa angker juga dianalisis menggunakan program bantu.

5.2.1 Perencanaan Turap Tanpa Angker

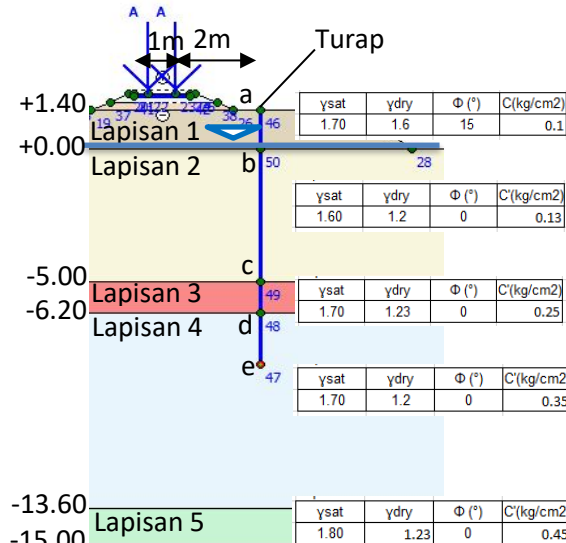
Perencanaan turap tanpa angker dengan perhitungan manual dilakukan berdasarkan pada geometri timbunan dan lapisan tanah pada STA 141+100 – 141+600 seperti yang terlihat pada Gambar 5.4 s/d 5.6 berikut.



Gambar 5.4 Geometri Timbunan dan Letak Turap (Dimensi dalam Satuan Meter) STA 141+150



Gambar 5.5 Geometri Timbunan dan Letak Turap (Dimensi dalam Satuan Meter) STA 141+600



Gambar 5.6 Geometri Timbunan dan Letak Turap (Dimensi dalam Satuan Meter) STA 141+600

Pada perencanaan turap tanpa angker ini diasumsikan bahwa timbunan yang berada di sisi kanan turap dianggap tidak ada. Hal ini dimaksudkan untuk megabaikan tekanan pasif yang diakibatkan oleh timbunan sehingga hasilnya lebih aman. Adapun tahapan dalam merencanakan turap tanpa angker adalah sebagai berikut :

1. Menghitung Tegangan Horizontal Aktif dan Pasif.

Dalam menghitung tegangan horizontal aktif pasif diperhitungkan juga beban terpusat akibat kereta api dan beban bantalan rel yang merupakan beton dengan f_c' 50. Untuk beban terpusat akan dihitung dengan menggunakan persamaan yang terdapat pada Gambar 2.16, hasil perhitungan tegangan horizontal untuk beban kereta api langsung berupa gaya yang ditampilkan pada Gambar 5.8 s/d 5.10. Sedangkan perhitungan tegangan horizontal aktif pasif dengan beban timbunan dan beban bantalan rel menggunakan Persamaan 2.11 dan 2.12, hasil perhitungan tegangan aktif pasif dapat dilihat pada Lampiran 4.

Contoh Perhitungan Pada Zona 1

Aktif

Lapisan I (Aktif)

- $\sigma' H$ atas $= K_a1 \cdot \sigma' v_1 - 2C\sqrt{K_a1} = (0.59 \times 2.51) - (2 \times 0.67 \times \sqrt{0.59}) = 0.45 \text{ t/m}^2$
- $\sigma' H$ bawah $= K_a1 \cdot \sigma' v_2 - 2C\sqrt{K_a1} = (0.59 \times 5.71) - (2 \times 0.67 \times \sqrt{0.59}) = 2.34 \text{ t/m}^2$

Lapisan II (Aktif)

- $\sigma' H$ atas $= K_a2 \cdot \sigma' v_2 - 2C\sqrt{K_a2} = (1.0 \times 5.71) - (2 \times 1.30 \times \sqrt{1.0}) = 3.11 \text{ t/m}^2$
- $\sigma' H$ bawah $= K_a2 \cdot \sigma' v_3 - 2C\sqrt{K_a2} = (1.0 \times 8.71) - (2 \times 1.30 \times \sqrt{1.0}) = 6.11 \text{ kN/m}^2$

Lapisan III (Aktif)

- $\sigma' H \text{ atas} = K_a3. \sigma' v_3 - 2C. \sqrt{K_a3} = (1.0 \times 8.71) - (2 \times 2.50 \times \sqrt{1.0}) = 3.71 \text{ t/m}^2$
- $\sigma' H \text{ bawah} = K_a3. \sigma' v_4 - 2C. \sqrt{K_a3} = (1.0 \times 9.55) - (2 \times 2.50 \times \sqrt{1.0}) = 4.55 \text{ t/m}^2$

Lapisan IV (Aktif)

- $\sigma' H \text{ atas} = K_a4. \sigma' v_4 - 2C. \sqrt{K_a4} = (1.0 \times 9.55) - (2 \times 3.50 \times \sqrt{1.0}) = 2.55 \text{ t/m}^2$
- $\sigma' H \text{ bawah} = K_a4. \sigma' v_5 - 2C. \sqrt{K_a4} = (1.0 \times 12.21) - (2 \times 3.50 \times \sqrt{1.0}) = 5.21 \text{ t/m}^2$

Lapisan V (Aktif)

- $\sigma' H \text{ atas} = K_a5. \sigma' v_5 - 2C. \sqrt{K_a5} = (1.0 \times 12.21) - (2 \times 3.50 \times \sqrt{1.0}) = 5.21 \text{ t/m}^2$
- $\sigma' H \text{ bawah} = K_a5. \sigma' v_6 - 2C. \sqrt{K_a5} = (1.0 \times (12.21 + 0.70 d_0)) - (2 \times 3.50 \times \sqrt{1.0}) = 5.21 + 0.70 d_0 \text{ t/m}^2$

Pasif

Lapisan II (Pasif)

- $\sigma' H \text{ atas} = K_p2. \sigma' v_2 + 2C. \sqrt{K_p2} = (1.0 \times 0) + (2 \times 1.30 \times \sqrt{1.0}) = 2.60 \text{ t/m}^2$
- $\sigma' H \text{ bawah} = K_p2. \sigma' v_3 + 2C. \sqrt{K_p2} = (1.0 \times 3.0) - (2 \times 1.30 \times \sqrt{1.0}) = 5.60 \text{ t/m}^2$

Lapisan III (Pasif)

- $\sigma' H \text{ atas} = K_p3. \sigma' v_3 + 2C. \sqrt{K_p3} = (1.0 \times 3.0) + (2 \times 2.50 \times \sqrt{1.0}) = 8.00 \text{ t/m}^2$
- $\sigma' H \text{ bawah} = K_p3. \sigma' v_4 + 2C. \sqrt{K_p3} = (1.0 \times 3.84) + (2 \times 2.50 \times \sqrt{1.0}) = 8.84 \text{ t/m}^2$

Lapisan IV (Pasif)

- $\sigma' H \text{ atas} = Kp4. \sigma' v4 + 2C. \sqrt{Kp4} = (1.0 \times 3.84) + (2 \times 3.50 \times \sqrt{1.0}) = 10.84 \text{ t/m}^2$
- $\sigma' H \text{ bawah} = Kp4. \sigma' v5 + 2C. \sqrt{Kp4} = (1.0 \times 6.50) + (2 \times 3.50 \times \sqrt{1.0}) = 13.50 \text{ t/m}^2$

Lapisan V (Pasif)

- $\sigma' H \text{ atas} = Kp5. \sigma' v5 + 2C. \sqrt{Kp5} = (1.0 \times 6.50) + (2 \times 3.50 \times \sqrt{1.0}) = 13.50 \text{ t/m}^2$
- $\sigma' H \text{ bawah} = Kp5. \sigma' v6 + 2C. \sqrt{Kp5} = (1.0 \times (6.50 + 0.70 d0)) + (2 \times 3.50 \times \sqrt{1.0}) = 13.50 + 0.70 d0 \text{ t/m}^2$

2. Mencari Nilai do.

Untuk mencari nilai do, setelah didapatkan tegangan horizontal aktif, selanjutnya dihitung gaya-gaya yang bekerja pada turap. Perhitungan gaya dimaksudkan untuk mendapatkan persamaan momen aktif dan pasif ditunjukkan pada Tabel 5.2 s/d 5.7. Perhitungan gaya dibedakan menjadi 2 bagian, yaitu perhitungan gaya dari tegangan horizontal aktif pasif akibat beban timbunan dan bantalan rel, dengan perhitungan gaya akibat beban kereta api. Sketsa gaya-gaya yang bekerja pada turap ditunjukkan pada Gambar 5.7 s/d 5.10.

Gaya Aktif Akibat Beban Bantalan Rel dan Timbunan

- $Pa 1 = (0.45 \times 2) \times (11 + d0) = 10 + 0.91 d0$
- $Pa 2 = ((2.34 - 0.45) \times 2 \times 0.5) \times (10.67 + d0) = 20.1 + 1.88 d0$
- $Pa 3 = (3.11 \times 5) \times (7.50 + d0) = 116.63 + 15.55 d0$
- $Pa 4 = ((6.11 - 3.11) \times 5 \times 0.5) \times (6.67 + d0) = 50 + 7.5 d0$
- $Pa 5 = (3.71 \times 1.2) \times (4.40 + d0) = 19.59 + 4.45 d0$
- $Pa 6 = ((4.55 - 3.71) \times 1.2 \times 0.5) \times (4.20 + d0) = 2.12 + 0.5 d0$
- $Pa 7 = (2.55 \times 3.8) \times (1.90 + d0) = 18.41 + 9.69 d0$

- $P_a 8 = ((5.21 - 2.55) \times 3.8 \times 0.5) \times (1.27 + d_0) = 6.40 + 5.05 d_0$
- $P_a 9 = (5.21 \times d_0) \times (0.5 d_0) = 2.61 d_0^2$
- $P_a 10 = ((5.21 + 0.7 d_0 - 5.21) \times d_0 \times 0.5) \times (0.33 d_0) = 0.12 d_0^3$

Momen Aktif Total = $243.25 + 45.54 d_0 + 2.61 d_0^2 + 0.12 d_0^3$

Gaya Pasif Akibat Beban Bantalan Rel dan Timbunan

- $P_p 1 = (2.60 \times 5) \times (7.50 + d_0) = 97.50 + 13.0 d_0$
- $P_p 2 = ((5.6 - 2.6) \times 5 \times 0.5) \times (6.67 + d_0) = 50 + 7.5 d_0$
- $P_p 3 = (8.0 \times 1.2) \times (4.40 + d_0) = 42.24 + 9.60 d_0$
- $P_p 4 = ((8.84 - 8.0) \times 1.2 \times 0.5) \times (4.20 + d_0) = 2.12 + 0.5 d_0$
- $P_p 5 = (10.84 \times 3.8) \times (1.90 + d_0) = 78.26 + 41.19 d_0$
- $P_p 6 = ((13.50 - 10.84) \times 3.8 \times 0.5) \times (1.27 + d_0) = 6.40 + 5.05 d_0$
- $P_p 7 = (13.50 \times d_0) \times (0.5 d_0) = 6.75 d_0^2$
- $P_p 8 = ((13.50 + 0.7 d_0 - 13.50) \times d_0 \times 0.5) \times (0.33 d_0) = 0.12 d_0^3$

Momen Pasif Total = $276.52 + 76.85 d_0 + 6.75 d_0^2 + 0.12 d_0^3$

Gaya Aktif Akibat Beban Kereta Api Roda 1 (Jarak 2m dari Turap)

$$m = X/H = 2/12 = 0.17 < 0.4 \text{ maka } R = 0.6 H$$

$$Ph = 0.55 Ql = 0.55 \times 8.75 = 4.8125 \text{ ton/m'}$$

$$\text{Maka momen akibat beban roda 1} = 34.65 + 2.88 d_0$$

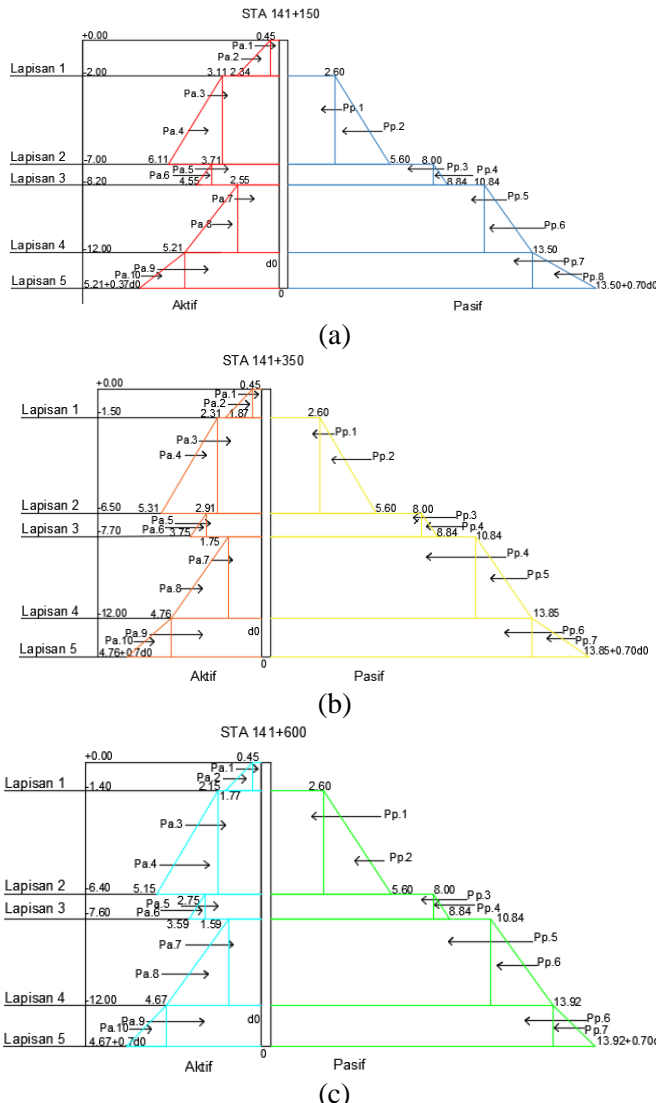
Gaya Aktif Akibat Beban Kereta Api Roda 2 (Jarak 3m dari Turap)

$$m = X/H = 3/12 = 0.25 < 0.4 \text{ maka } R = 0.6 H$$

$$Ph = 0.55 Ql = 0.55 \times 8.75 = 4.8125 \text{ ton/m'}$$

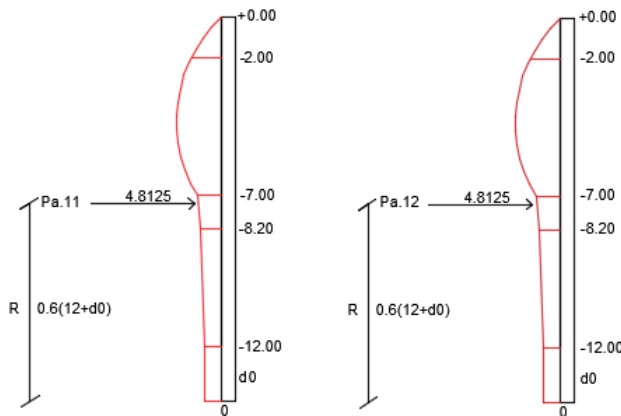
$$\text{Maka momen akibat beban roda 1} = 34.65 + 2.88 d_0$$

Hasil diagram tegangan dapat dilihat pada Gambar 5.8 s/d 5.10 sedangkan hasil perhitungan momen akibat beban roda kereta api dapat dilihat pada Tabel 5.5 s/d 5.7.

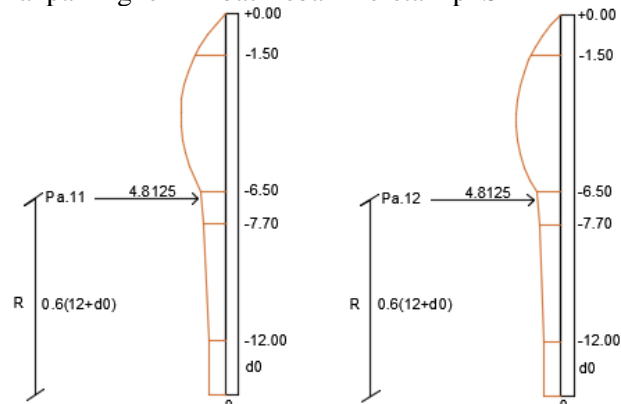


Gambar 5.7 Sketsa Gaya Horisontal yang Bekerja pada Turap Tanpa Angker Akibat Beban Timbunan dan Bantalan Rel: (a) STA 141+150; (b) STA 141+350; (c) STA 141+600

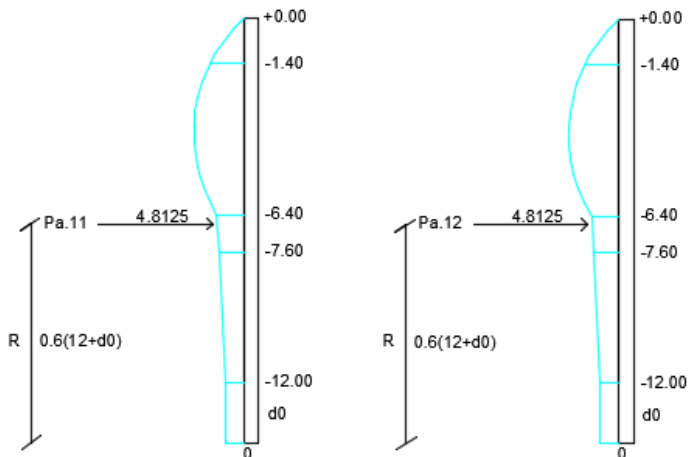
Dari hasil gaya horizontal yang bekerja akibat beban timbunan tanah dan beban bantalan rel yang ditunjukan pada Gambar 5.7 akan dijumlahkan dengan gaya horizontal yang bekerja akibat beban kereta api yang ditunjukan pada Gambar 5.8 s/d 5.10 untuk didapatkan persamaan momen total aktif dan pasif.



Gambar 5.8 Sketsa Gaya Horisontal yang Bekerja pada Turap Tanpa Angker Akibat Beban Kereta Api STA 141+150



Gambar 5.9 Sketsa Gaya Horisontal yang Bekerja pada Turap Tanpa Angker Akibat Beban Kereta Api STA 141+350



Gambar 5.10 Sketsa Gaya Horisontal yang Bekerja pada Turap Tanpa Angker Akibat Beban Kereta Api STA 141+600

Dari Gambar 5.7 s/d 5.10 didapatkan gaya horizontal aktif pasif dari semua beban, maka dilakukan perhitungan untuk mendapatkan persamaan momen $\Sigma M = 0$ yang titik putar momennya berada pada dasar turap. Hasil perhitungan untuk mendapatkan persamaan momen $\Sigma M = 0$ akibat beban timbunan dan bantalan rel ditunjukkan pada Tabel 5.2 s/d 5.4 dan akibat beban kereta api ditunjukkan pada Tabel 5.5 s/d 5.7.

Tabel 5.2 Perhitungan Gaya Horisontal yang Bekerja pada Turap Tanpa Angker dan Persamaan Momen Aktif Pasif untuk Beban Timbunan dan Beban Bantalan Rel STA 141+150

GAYA AKTIF	Ketebalan (m)	dh Aktif/Lebar (t/m ²)	Gaya (ton)	Jarak ke o (m)	Momen (t.m)			
Pa.1	2	0.45	0.91	11.00	+ 1.00 do	10.00	+ 0.91 do	+
Pa.2	2	1.88	1.88	10.67	+ 1.00 do	20.10	+ 1.88 do	+
Pa.3	5	3.11	15.55	7.50	+ 1.00 do	116.63	+ 15.55 do	+
Pa.4	5	3.00	15.55	6.67	+ 1.00 do	50.00	+ 7.50 do	+
Pa.5	1.2	3.71	4.45	4.40	+ 1.00 do	19.59	+ 4.45 do	+
Pa.6	1.2	0.84	0.50	4.20	+ 1.00 do	2.12	+ 0.50 do	+
Pa.7	3.8	2.55	9.69	1.90	+ 1.00 do	18.41	+ 9.69 do	+
Pa.8	3.8	2.66	9.69	1.27	+ 1.00 do	6.40	+ 5.05 do	+
Pa.9	do	5.21	5.21 do	0.50 do				
Pa.10	do	0.70 do	0.35 do ²	0.33 do				
Persamaan Momen Aktif =					243.25	+ 45.54 do	+ 2.61 do ²	+ 0.12 do ³

GAYA PASIF	Ketebalan (m)	dh Pasif/Lebar (t/m ²)	Gaya (ton)	Jarak ke o (m)	Momen (t.m)			
Pp.1	5	2.60	13	7.50	+ 1.00 do	97.50	+ 13.00 do	+
Pp.2	5	3.00	7.50	6.67	+ 1.00 do	50.00	+ 7.50 do	+
Pp.3	1.2	8.00	9.60	4.40	+ 1.00 do	42.24	+ 9.60 do	+
Pp.4	1.2	0.84	0.50	4.20	+ 1.00 do	2.12	+ 0.50 do	+
Pp.5	3.8	10.84	41.19	1.90	+ 1.00 do	78.26	+ 41.19 do	+
Pp.6	3.8	2.66	9.69	1.27	+ 1.00 do	6.40	+ 5.05 do	+
Pp.7	do	13.50	13.50 do	0.50 do				
Pp.8	do	0.70 do	0.35 do ²	0.33 do				
Persamaan Momen Pasif =					276.52	+ 76.85 do	+ 6.75 do ²	+ 0.12 do ³

Tabel 5.3 Perhitungan Gaya Horisontal yang Bekerja pada Turap Tanpa Angker dan Persamaan Momen Aktif Pasif untuk Beban Timbunan dan Beban Bantalan Rel STA 141+350

GAYA AKTIF	Ketebalan (m)	dh Aktif/Lebar (t/m ²)	Gaya (ton)	Jarak ke o (m)	Momen (t.m)			
Pa.1	1.5	0.45	0.68	11.25	+ 1.00 do	7.67	+ 0.68 do	+
Pa.2	1.5	1.41	1.06	11.00	+ 1.00 do	11.66	+ 1.06 do	+
Pa.3	5	2.31	11.55	8.00	+ 1.00 do	92.40	+ 11.55 do	+
Pa.4	5	3.00	7.50	7.17	+ 1.00 do	53.75	+ 7.50 do	+
Pa.5	1.2	2.91	3.49	4.90	+ 1.00 do	17.11	+ 3.49 do	+
Pa.6	1.2	0.84	0.50	4.70	+ 1.00 do	2.37	+ 0.50 do	+
Pa.7	4.3	1.75	7.53	2.15	+ 1.00 do	16.18	+ 7.53 do	+
Pa.8	4.3	3.01	6.47	1.43	+ 1.00 do	9.28	+ 6.47 do	+
Pa.9	do	4.76	4.76 do	0.50 do				
Pa.10	do	0.70 do	0.35 do ²	0.33 do				
Persamaan Momen Aktif =					210.42	+ 38.78 do	+ 2.38 do ²	+ 0.12 do ³

GAYA PASIF	Ketebalan (m)	dh Pasif/Lebar (t/m ²)	Gaya (ton)	Jarak ke o (m)	Momen (t.m)			
Pp.1	5	2.60	13.00	8.00	+ 1.00 do	104.00	+ 13.00 do	+
Pp.2	5	3.00	7.50	7.17	+ 1.00 do	53.75	+ 7.50 do	+
Pp.3	1.2	8.00	9.60	4.90	+ 1.00 do	47.04	+ 9.60 do	+
Pp.4	1.2	0.84	0.50	4.70	+ 1.00 do	2.37	+ 0.50 do	+
Pp.5	4.3	10.84	46.61	2.15	+ 1.00 do	100.22	+ 46.61 do	+
Pp.6	4.3	3.01	6.47	1.43	+ 1.00 do	9.28	+ 6.47 do	+
Pp.7	do	13.85	13.85 do	0.50 do				
Pp.8	do	0.70 do	0.35 do ²	0.33 do				
Persamaan Momen Pasif =					316.65	+ 83.69 do	+ 6.93 do ²	+ 0.12 do ³

Tabel 5.4 Perhitungan Gaya Horisontal yang Bekerja pada Turap Tanpa Angker dan Persamaan Momen Aktif Pasif untuk Beban Timbunan dan Beban Bantalan Rel STA 141+600

GAYA AKTIF	Ketebalan (m)	gh Aktif/Lebar (t/m ²)	Gaya (ton)	Jarak ke o (m)	Momen (t.m)				
Pa.1	1.4	0.45	0.64	11.30	+ 1.00 do	7.19	+ 0.64 do	+	+
Pa.2	1.4	1.32	0.92	11.07	+ 1.00 do	10.22	+ 0.92 do	+	+
Pa.3	5	2.15	10.75	8.10	+ 1.00 do	87.08	+ 10.75 do	+	+
Pa.4	5	3.00	7.50	7.27	+ 1.00 do	54.50	+ 7.50 do	+	+
Pa.5	1.2	2.75	3.30	5.00	+ 1.00 do	16.50	+ 3.30 do	+	+
Pa.6	1.2	0.84	0.50	4.80	+ 1.00 do	2.42	+ 0.50 do	+	+
Pa.7	4.4	1.59	7.00	2.20	+ 1.00 do	15.39	+ 7.00 do	+	+
Pa.8	4.4	3.08	6.78	1.47	+ 1.00 do	9.94	+ 6.78 do	+	+
Pa.9	do	4.67	4.67 do	0.50 do				+ 2.34 do ²	+
Pa.10	do	0.70 do	0.35 do ²	0.33 do				+ 0.12 do ³	
Persamaan Momen Aktif =					203.23	+ 37.39 do	+ 2.34 do ²	+ 0.12 do ³	
GAYA PASIF	Ketebalan (m)	gh Pasif/Lebar (t/m ²)	Gaya (ton)	Jarak ke o (m)	Momen (t.m)				
Pp.1	5	2.60	13	8.10	+ 1.00 do	105.30	+ 13.00 do	+	+
Pp.2	5	3.00	7.50	7.27	+ 1.00 do	54.50	+ 7.50 do	+	+
Pp.3	1.2	8.00	9.60	5.00	+ 1.00 do	48.00	+ 9.60 do	+	+
Pp.4	1.2	0.84	0.50	4.80	+ 1.00 do	2.42	+ 0.50 do	+	+
Pp.5	4.4	10.84	47.70	2.20	+ 1.00 do	104.93	+ 47.70 do	+	+
Pp.6	4.4	3.08	6.78	1.47	+ 1.00 do	9.94	+ 6.78 do	+	+
Pp.7	do	13.92	13.92 do	0.50 do				+ 6.96 do ²	+
Pp.8	do	0.70 do	0.35 do ²	0.33 do				+ 0.12 do ³	
Persamaan Momen Pasif =					325.09	+ 85.08 do	+ 6.96 do ²	+ 0.12 do ³	

Tabel 5.5 Perhitungan Gaya Horisontal yang Bekerja pada Turap Tanpa Angker dan Persamaan Momen Aktif Pasif Akibat Beban Kereta Api STA 141+150

Persamaan Aktif Beban 1(jarak 2m dari turap) $m = 0.17 < 0.4 R = 0.6H$								
Aktif								
Ph = 0.55 QI	4.8125							
Momen = Ph	34.65 + 2.8875 do							
Persamaan Aktif Beban 2(jarak 3m dari turap) $m = 0.25 < 0.4 R = 0.6H$								
Aktif								
Ph = 0.55 QI	4.8125							
Momen = Ph	34.65 + 2.8875 do							

Tabel 5.6 Perhitungan Gaya Horisontal yang Bekerja pada Turap Tanpa Angker dan Persamaan Momen Aktif Pasif Akibat Beban Kereta Api STA 141+350

Persamaan Aktif Beban 1(jarak 2m dari turap) $m = 0.17 < 0.4 R = 0.6H$			
Aktif			
$Ph = 0.55 Ql$	4.8125		
Momen = Ph	34.65	+	2.8875 do
Persamaan Aktif Beban 2(jarak 3m dari turap) $m = 0.25 < 0.4 R = 0.6H$			
Aktif			
$Ph = 0.55 Ql$	4.8125		
Momen = Ph	34.65	+	2.8875 do

Tabel 5.7 Perhitungan Gaya Horisontal yang Bekerja pada Turap Tanpa Angker dan Persamaan Momen Aktif Pasif Akibat Beban Kereta Api STA 141+600

Persamaan Aktif Beban 1(jarak 2m dari turap) $m = 0.17 < 0.4 R = 0.6H$			
Aktif			
$Ph = 0.55 Ql$	4.8125		
Momen = Ph	34.65	+	2.8875 do
Persamaan Aktif Beban 2(jarak 3m dari turap) $m = 0.25 < 0.4 R = 0.6H$			
Aktif			
$Ph = 0.55 Ql$	4.8125		
Momen = Ph	34.65	+	2.8875 do

Hasil dari kedua persamaan pada Tabel 5.2 s/d 5.4 dan 5.5 s/d 5.7 dijumlahkan maka akan didapatkan persamaan aktif pasif yang digunakan untuk mencari panjang d0. Persamaan momen aktif dan pasif total dapat dilihat pada Tabel 5.8.

Tabel 5.8 Perhitungan Persamaan Momen $\Sigma M = 0$ pada Turap Tanpa Angker : (a) STA 141+150; (b) STA 141+350; (c) STA 141+600

Persamaan Momen					
AKTIF	0.12 do ³ +	2.61 do ² +	51.32 do +	312.55 =	0
PASIF	0.12 do ³ +	6.75 do ² +	76.85 do +	276.52 =	0
TOTAL	0.00 do ³ +	-4.15 do ² +	-25.53 do +	36.02 =	0
TOTAL PANJANG TURAP (m) :					14.00

(a)

Persamaan Momen					
AKTIF	0.12 do ³ +	2.38 do ² +	44.56 do +	279.72 =	0
PASIF	0.12 do ³ +	6.93 do ² +	83.69 do +	316.65 =	0
TOTAL	0.00 do ³ +	-4.55 do ² +	-39.13 do +	-36.93 =	0
TOTAL PANJANG TURAP (m) :					12.00

(b)

Persamaan Momen					
AKTIF	0.12 do ³ +	2.34 do ² +	43.16 do +	272.53 =	0
PASIF	0.12 do ³ +	6.96 do ² +	85.08 do +	325.09 =	0
TOTAL	0.00 do ³ +	-4.63 do ² +	-41.92 do +	-52.55 =	0
TOTAL PANJANG TURAP (m) :					12.00

(c)

Dari ketiga persamaan yang didapatkan dari Tabel 5.8 maka dicari faktor dari persamaan tersebut, dan didapatkan panjang d0.

3. Menghitung Panjang Total Turap.

Setelah menghitung faktor dari persamaan pangkat tiga pada Tabel 5.8, maka didapatkan nilai d0 untuk ketiga STA adalah 0 m. Nilai d0 ini kemudian dikalikan dengan angka keamanan, SF yaitu 1,2 lalu dijumlahkan dengan tebal lapisan tanah yang ada di atasnya. Sehingga total panjang turap yang dibutuhkan pada zona satu 14 m, zona dua 12 m, dan zona tiga 12 m. Karena pada peraturan SF yang diminta adalah 1,5 maka perlu adanya kontrol menggunakan *software* untuk mengetahui berapa SF yang dihasilkan oleh perkuatan turap beton tersebut.

4. Menentukan Jumlah Turap yang akan Dipasang.

Jumlah turap yang akan dipasang ditentukan dari perbandingan antara *section modulus* yang terjadi akibat momen yang bekerja pada turap dibandingkan dengan *section modulus* dari jenis turap yang digunakan. Berikut akan diberikan contoh perhitungan jumlah turap di STA 141+150:

Momen maksimum yang bekerja pada turap adalah :

$$\Sigma M_x = -4,15x^2 - 25,53x - 36,02;$$

dimana x adalah do.

Dari perhitungan $\frac{dy \cdot \Sigma M_x}{dx} = 0$ diperoleh nilai x = -3,43 m

Nilai x ini kemudian disubstitusi ke persamaan ΣM_x sehingga diperoleh momen maksimal (Mmax) sebesar 75,34 ton.m = 7533757.089 kg.cm.

Nilai *section modulus* akibat momen yang bekerja didapatkan dengan membagi Mmax dengan tegangan ijin, yakni sebesar 1500 kg/cm², sehingga diperoleh *section modulus* sebesar 5022.5 cm³.

Dikarenakan *section modulus* turap *Corrugated Type W-500 A1000* (Lampiran 3) adalah sebesar 18494 cm³ maka hanya dibutuhkan 1 buah turap tiap meter panjang melintang lereng. Perhitungan lengkap jumlah turap yang dibutuhkan dapat dilihat pada Lampiran 4.

Nilai d0 untuk zona 2 dan 3 adalah 0 m, karena gaya aktif yang bekerja pada turap lebih kecil dibandingkan dengan gaya pasif. Namun, pemasangan turap tetap dilakukan dengan kedalaman 12 m untuk meningkatkan nilai SF pada stabilitas di zona 2 dan 3 yang kemudian akan dianalisis ulang melalui program bantu, karena pada saat perhitungan manual tidak bisa diketahui SF yang pasti apabila gaya pasif lebih besar dari gaya aktif yang berarti *safety factor* (SF) dari turap tersebut sudah lebih dari 1. Apabila SF yang dihasilkan kurang dari 1,5 maka turap akan dipanjangkan atau diganti profilnya sampai mendapatkan SF yang sesuai. Sebagai pembanding perhitungan turap maka dihitung juga

perencanaan turap menggunakan metode perhitungan cerucuk, dengan mencoba-coba panjang cerucuk supaya jumlah cerucuk yang dibutuhkan adalah 1 (metode perhitungan dapat dilihat pada pembahasan cerucuk Sub – Bab 5.4 Perencanaan Perkuatan Timbunan dengan Cerucuk). Dari perhitungan dengan metode perhitungan cerucuk didapatkan hasil seperti pada Tabel 5.9 s/d 5.11 dan Gambar 5.11 s/d 5.13 serta panjang cerucuk yang dibutuhkan dapat dilihat pada Tabel 5.12. Perhitungan lengkap terdapat pada Lampiran 4.

Tabel 5.9 Rekapitulasi Perhitungan Turap dengan Metode Cerucuk STA 141+150

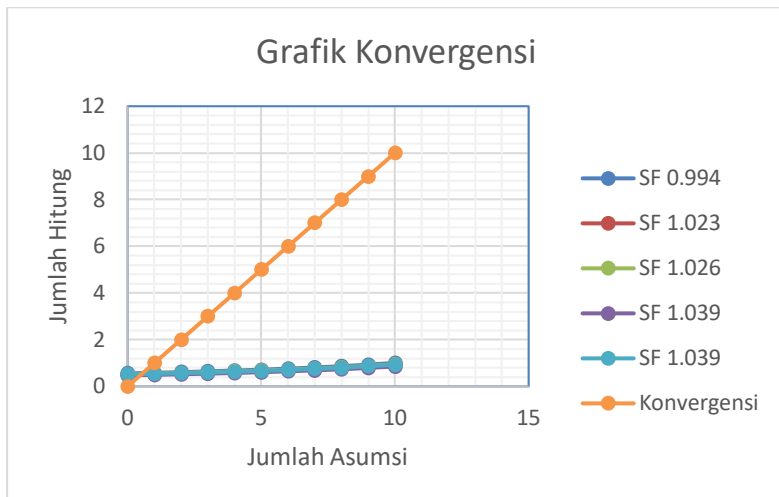
SF 0.994		SF 1.023		SF 1.026		SF 1.039		SF 1.039	
Xn	n	Xn	n	Xn	n	Xn	n	Xn	n
0	0.557767	0	0.52131	0	0.526632	0	0.473512	0	0.515705
1	0.58383	1	0.54567	1	0.551239	1	0.495637	1	0.539802
2	0.612448	2	0.57242	2	0.57826	2	0.519932	2	0.566262
3	0.644016	3	0.60192	3	0.608066	3	0.546732	3	0.595449
4	0.679016	4	0.63463	4	0.641111	4	0.576444	4	0.627809
5	0.718038	5	0.6711	5	0.677955	5	0.609571	5	0.663889
6	0.761818	6	0.71202	6	0.719292	6	0.646738	6	0.704367
7	0.811284	7	0.75826	7	0.765996	7	0.688732	7	0.750103
8	0.86762	8	0.81091	8	0.819187	8	0.736558	8	0.80219
9	0.932363	9	0.87142	9	0.880317	9	0.791521	9	0.862052
10	1.007549	10	0.94169	10	0.951305	10	0.855349	10	0.931567

Tabel 5.10 Rekapitulasi Perhitungan Turap dengan Metode Cerucuk STA 141+350

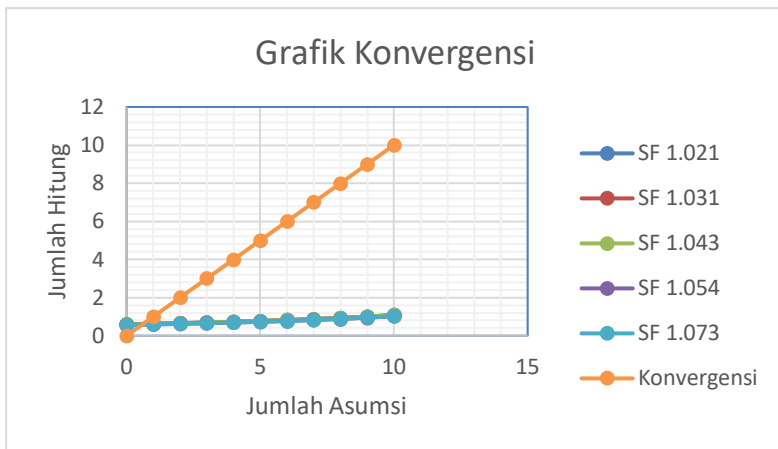
SF 1.021		SF 1.031		SF 1.043		SF 1.054		SF 1.073	
Xn	n	Xn	n	Xn	n	Xn	n	Xn	n
0	0.602104	0	0.59856	0	0.600486	0	0.565643	0	0.568912
1	0.630238	1	0.62653	1	0.628545	1	0.592073	1	0.595496
2	0.661131	2	0.65724	2	0.659354	2	0.621095	2	0.624686
3	0.695208	3	0.69112	3	0.69334	3	0.653109	3	0.656884
4	0.73299	4	0.72868	4	0.73102	4	0.688603	4	0.692583
5	0.775113	5	0.77055	5	0.77303	5	0.728176	5	0.732385
6	0.822374	6	0.81754	6	0.820164	6	0.772574	6	0.77704
7	0.875772	7	0.87062	7	0.873418	7	0.822739	7	0.827494
8	0.936586	8	0.93107	8	0.934069	8	0.87987	8	0.884956
9	1.006476	9	1.00055	9	1.003771	9	0.945528	9	0.950993
10	1.087637	10	1.08124	10	1.084715	10	1.021775	10	1.027681

Tabel 5.11 Rekapitulasi Perhitungan Turap dengan Metode Cerucuk STA 141+600

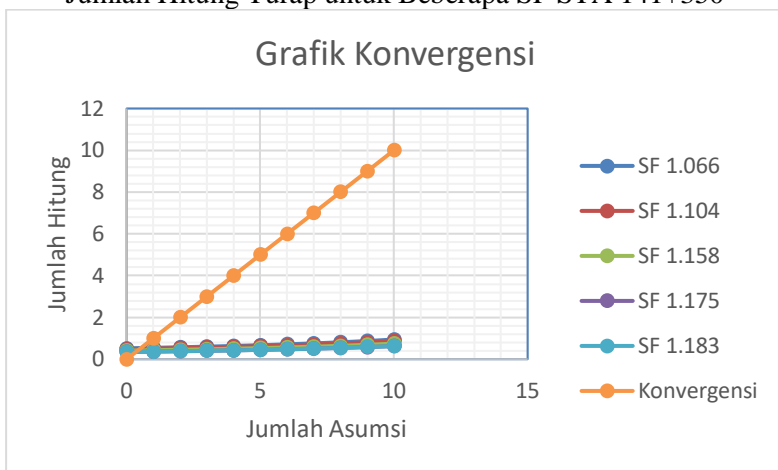
SF 1.066		SF 1.104		SF 1.158	SF 1.175		SF 1.183		
Xn	n	Xn	n	Xn	n	Xn	n	Xn	n
0	0.521755	0	0.4853	0	0.413792	0	0.34712	0	0.349718
1	0.546135	1	0.508	1	0.433128	1	0.36334	1	0.366059
2	0.572905	2	0.5329	2	0.454359	2	0.38115	2	0.384003
3	0.602435	3	0.5603	3	0.477778	3	0.400796	3	0.403796
4	0.635175	4	0.5908	4	0.503743	4	0.422578	4	0.42574
5	0.671677	5	0.6247	5	0.532693	5	0.446863	5	0.450207
6	0.712631	6	0.6628	6	0.565172	6	0.474109	6	0.477657
7	0.758903	7	0.7059	7	0.60187	7	0.504894	7	0.508672
8	0.811602	8	0.7549	8	0.643664	8	0.539954	8	0.543994
9	0.872165	9	0.8112	9	0.691695	9	0.580246	9	0.584588
10	0.942496	10	0.8766	10	0.747473	10	0.627037	10	0.631729



Gambar 5.11 Grafik Konversi antara Jumlah Asumsi Turap dan Jumlah Hitung Turap untuk Beberapa SF STA 141+150



Gambar 5.12 Grafik Konversi antara Jumlah Asumsi Turap dan Jumlah Hitung Turap untuk Beberapa SF STA 141+350



Gambar 5.13 Grafik Konversi antara Jumlah Asumsi Turap dan Jumlah Hitung Turap untuk Beberapa SF STA 141+600

Tabel 5.12 Panjang Turap dengan Metode Cerucuk

STA	Zona 1	Zona 2	Zona 3
Panjang Cerucuk (m)	14	12	11.5

5.2.2 Analisis Stabilitas Perkuatan Turap *Freestanding*

Analisis stabilitas setelah adanya perkuatan dilakukan untuk memeriksa nilai *safety factor* timbunan akibat beban yang bekerja dan mengecek defleksi yang terjadi pada turap. Pemeriksaan dilakukan pada 3 titik STA yang mewakili tiap zona. Setelah dipasang perkuatan turap tanpa angker didapatkan SF yang belum memenui persyaratan baik dihitung dengan metode hitung manual turap atau dengan metode perhitungan cerucuk. Maka turap harus dipanjangkan atau diganti profilnya. Profil turap diganti dengan W600 A1000 (Lampiran 3) dan turap dipanjangkan. Hasil *safety factor* turap dapat dilihat pada Tabel 5.13.

Tabel 5.13 Rekapitulasi *Safety Factor* Turap *Freestanding*

Titik STA	Profil Turap	Panjang Turap (m)	SF	Keterangan
141+150	W500 A1000	14	1.12	Not Ok
	W600 A1000	21	1.27	Not Ok
141+350	W500 A1000	12	1.16	Not Ok
	W600 A1000	21	1.33	Not Ok
141+600	W500 A1000	12	1.2	Not Ok
	W600 A1000	21	1.37	Not Ok

Dari hasil analisis tersebut, diperoleh *safety factor* stabilitas lereng setelah menggunakan perkuatan pada ketiga titik adalah $\leq 1,5$. Padahal turap sudah dipanjangkan sampai 21 m, maka dicoba kombinasi antara turap dengan *counterweight* yang dianalisis menggunakan program bantu. Hasil *safety factor* perkuatan kombinasi dapat dilihat pada Tabel 5.14.

Tabel 5.14 Rekapitulasi *Safety Factor* Perkuatan Kombinasi

Titik STA	Profil Turap	Panjang Turap (m)	Panjang Timbunan (m)	Lebar Timbunan (m)	Tinggi Timbunan (m)	SF	Keterangan
141+150	W600 A1000	21	200	3	1.9	1.29	Not Ok
141+350	W600 A1000	21	150	3	1.4	1.37	Not Ok
141+600	W600 A1000	21	150	3	1.3	1.39	Not Ok

Dilihat dari Tabel 5.10 ternyata tidak terjadi kenaikan *safety factor* yang signifikan, SF yang dihasilkan masih $\leq 1,5$. Maka dengan hasil tersebut dicoba lagi dengan merangkap turap menjadi 2 buah tetapi panjang turap diturunkan dan dimensi turap dikecilkan supaya harga tetap hemat dan SF yang dihasilkan tidak berlebihan.

Setelah dicoba pada program bantu maka didapatkan SF turap rangkap > 1.5 maka turap rangkap dapat digunakan sebagai perkuatan, SF turap rangkap dapat dilihat pada Tabel 5.15. Sedangkan hasil analisis menggunakan program bantu dan kontrol defleksi dapat dilihat pada Lampiran 4.

Tabel 5.15 Rekapitulasi SF Turap Rangkap

Zona	Profil Turap	Panjang (m)	Jumlah Turap	SF	Keterangan
1	W500 A1000	15	2	1.51	Ok
2	W500 A1000	15	2	1.54	Ok
3	W500 A1000	15	2	15.8	Ok

5.2.3 Perencanaan Turap Dengan Angker

Pada perencanaan turap dengan angker letak angker berada 1 m di bawah permukaan tanah dasar. Dengan asumsi bahwa timbunan yang berada di sisi kanan turap dianggap tidak ada.

Adapun tahapan dalam merencanakan turap dengan angker adalah sebagai berikut :

1. Menghitung Tegangan Horizontal Aktif dan Pasif.

Dalam menghitung tegangan horizontal aktif pasif diperhitungkan juga beban terpusat akibat kereta api dan beban bantalan rel yang merupakan beton dengan $f_c' = 50$. Untuk beban terpusat akan dihitung dengan menggunakan persamaan yang terdapat pada Gambar 2.16, hasil perhitungan tegangan horizontal untuk beban kereta api langsung berupa gaya yang ditampilkan pada Gambar 5.15 s/d 5.17. Sedangkan perhitungan tegangan horizontal aktif pasif dengan beban timbunan dan beban bantalan rel menggunakan Persamaan 2.11 dan 2.12, hasil perhitungan tegangan aktif pasif dapat dilihat pada Lampiran 4.

Contoh Perhitungan Pada Zona 1

Aktif

Lapisan I (Aktif)

- $\sigma' H_{\text{atas}} = K_a 1. \sigma' v_1 - 2C \sqrt{K_a 1} = (0.59 \times 2.51) - (2 \times 0.67 \times \sqrt{0.59}) = 0.45 \text{ t/m}^2$

- $\sigma' H$ bawah = $Ka1 \cdot \sigma' v2 - 2C \cdot \sqrt{Ka1} = (0.59 \times 5.71) - (2 \times 0.67 \times \sqrt{0.59}) = 2.34 \text{ t/m}^2$

Lapisan II (Aktif)

- $\sigma' H$ atas = $Ka2 \cdot \sigma' v2 - 2C \cdot \sqrt{Ka2} = (1.0 \times 5.71) - (2 \times 1.30 \times \sqrt{1.0}) = 3.11 \text{ t/m}^2$
- $\sigma' H$ bawah = $Ka2 \cdot \sigma' v3 - 2C \cdot \sqrt{Ka2} = (1.0 \times 8.11) - (2 \times 1.30 \times \sqrt{1.0}) = 5.11 \text{ kN/m}^2$

Lapisan III (Aktif)

- $\sigma' H$ atas = $Ka3 \cdot \sigma' v3 - 2C \cdot \sqrt{Ka3} = (1.0 \times 8.11) - (2 \times 2.50 \times \sqrt{1.0}) = 3.11 \text{ t/m}^2$
- $\sigma' H$ bawah = $Ka3 \cdot \sigma' v4 - 2C \cdot \sqrt{Ka3} = (1.0 \times (8.11 + 0.70 d0)) - (2 \times 2.50 \times \sqrt{1.0}) = 3.11 + 0.70 d0 \text{ t/m}^2$

Pasif

Lapisan II (Pasif)

- $\sigma' H$ atas = $Kp2 \cdot \sigma' v2 + 2C \cdot \sqrt{Kp2} = (1.0 \times 0) + (2 \times 1.30 \times \sqrt{1.0}) = 2.60 \text{ t/m}^2$
- $\sigma' H$ bawah = $Kp2 \cdot \sigma' v3 + 2C \cdot \sqrt{Kp2} = (1.0 \times 2.4) - (2 \times 1.30 \times \sqrt{1.0}) = 5.00 \text{ t/m}^2$

Lapisan III (Pasif)

- $\sigma' H$ atas = $Kp3 \cdot \sigma' v3 + 2C \cdot \sqrt{Kp3} = (1.0 \times 2.4) + (2 \times 2.50 \times \sqrt{1.0}) = 7.40 \text{ t/m}^2$
- $\sigma' H$ bawah = $Kp3 \cdot \sigma' v4 + 2C \cdot \sqrt{Kp3} = (1.0 \times (2.4 + 0.70 d0)) + (2 \times 2.50 \times \sqrt{1.0}) = 7.40 + 0.70 d0 \text{ t/m}^2$

2. Mencari Nilai do.

Untuk mencari nilai do, setelah didapatkan tegangan horizontal aktif, selanjutnya dihitung gaya-gaya yang bekerja pada turap. Perhitungan gaya dimaksudkan untuk mendapatkan persamaan momen aktif dan pasif ditunjukkan pada Tabel 5.16. Perhitungan gaya dibedakan menjadi 2 bagian, yaitu

perhitungan gaya dari tegangan horizontal aktif pasif akibat beban timbunan dan bantalan rel, dan perhitungan gaya akibat beban kereta api. Sketsa gaya-gaya yang bekerja pada turap ditunjukkan pada Gambar 5.16 s/d 5.19.

Gaya Aktif Akibat Beban Bantalan Rel dan Timbunan

- $P_a 1 = (0.45 \times 2) \times (0) = 0$
- $P_a 2 = ((2.34 - 0.45) \times 2 \times 0.5) \times (0.33) = 0.63$
- $P_a 3 = (3.11 \times 4) \times (3.00) = 37.32$
- $P_a 4 = ((5.51 - 3.11) \times 4 \times 0.5) \times (3.67) = 17.6$
- $P_a 5 = (3.11 \times d_0) \times (5.00 + 0.50 d_0) = 15.55 d_0 + 1.56 d_0^2$
- $P_a 6 = ((3.11 + 0.7 d_0 - 3.11) \times d_0 \times 0.5) \times (5.00 + 0.67 d_0)$
 $= 1.75 d_0^2 + 0.23 d_0^3$

$$\text{Momen Aktif Total} = 55.55 + 15.55 d_0 + 3.31 d_0^2 + 0.23 d_0^3$$

Gaya Pasif Akibat Beban Bantalan Rel dan Timbunan

- $P_p 1 = (2.60 \times 4) \times (3.00) = 31.20$
- $P_p 2 = ((5.0 - 2.6) \times 4 \times 0.5) \times (3.67) = 17.60$
- $P_p 3 = (7.40 \times d_0) \times (5.0 + 0.5 d_0) = 37.0 d_0 + 3.70 d_0^2$
- $P_p 4 = ((7.40 + 0.7 d_0 - 7.40) \times d_0 \times 0.5) \times (5.0 + 0.67 d_0)$
 $= 1.75 d_0^2 + 0.23 d_0^3$
- $\text{Momen Aktif Total} = 48.80 + 37.0 d_0 + 5.45 d_0^2 + 0.23 d_0^3$

Gaya Aktif Akibat Beban Kereta Api Roda 1 (Jarak 2m dari Turap)

$$m = X/H = 2/12 = 0.17 < 0.4 \text{ maka } R = 0.6 H$$

$$Ph = 0.55 QI = 0.55 \times 8.75 = 4.8125 \text{ ton/m'}$$

$$\text{Maka momen akibat beban roda 1} = 34.65 + 2.88 d_0$$

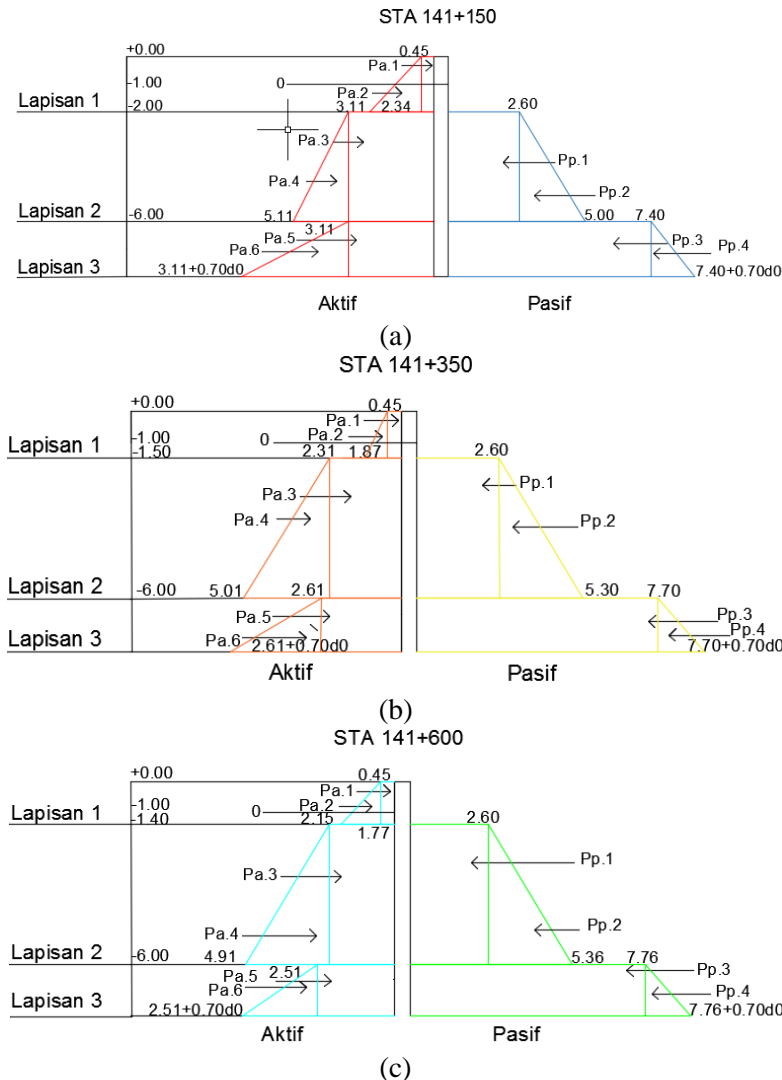
Gaya Aktif Akibat Beban Kereta Api Roda 2 (Jarak 3m dari Turap)

$$m = X/H = 3/12 = 0.25 < 0.4 \text{ maka } R = 0.6 H$$

$$Ph = 0.55 QI = 0.55 \times 8.75 = 4.8125 \text{ ton/m'}$$

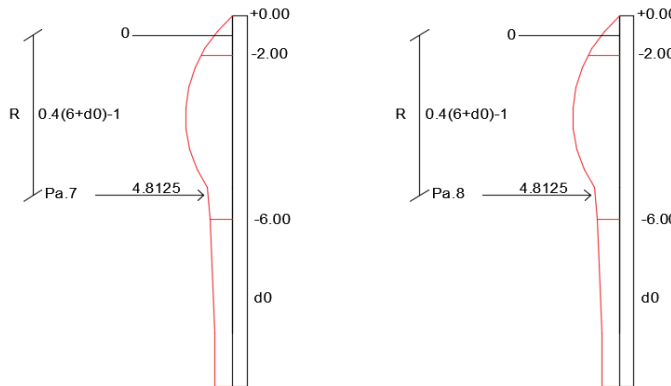
$$\text{Maka momen akibat beban roda 1} = 34.65 + 2.88 d_0$$

Hasil diagram tegangan dapat dilihat pada Gambar 5.8 s/d 5.10 sedangkan hasil perhitungan momen akibat beban roda kereta api dapat dilihat pada Tabel 5.5 s/d 5.7.

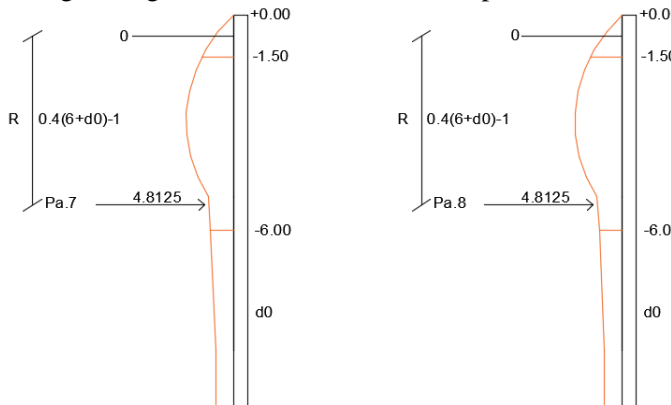


Gambar 5.14 Sketsa Gaya Horisontal yang Bekerja pada Turap Dengan Angker Akibat Beban Timbunan dan Bantalan Rel: (a) STA 141+150; (b) STA 141+350; (c) STA 141+600

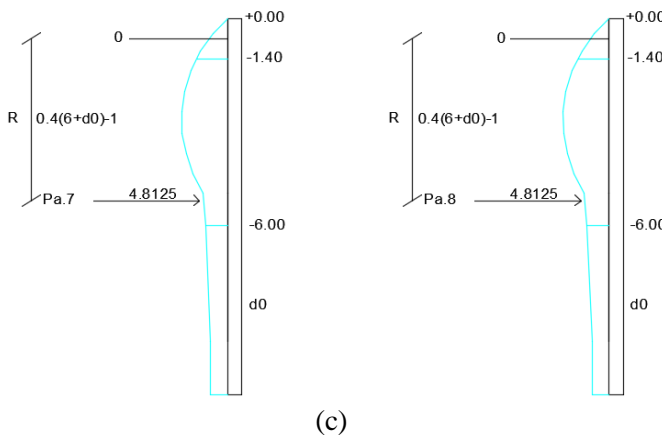
Dari hasil gaya horizontal yang bekerja akibat beban timbunan tanah dan beban bantalan rel yang ditunjukkan pada Gambar 5.14 akan dijumlahkan dengan gaya horizontal yang bekerja akibat beban kereta api yang ditunjukkan pada Gambar 5.15 s/d 5.17 untuk didapatkan persamaan momen total aktif dan pasif.



Gambar 5.15 Sketsa Gaya Horisontal yang Bekerja pada Turap Dengan Angker Akibat Beban Kereta Api STA 141+150



Gambar 5.16 Sketsa Gaya Horisontal yang Bekerja pada Turap Dengan Angker Akibat Beban Kereta Api STA 141+350



Gambar 5.17 Sketsa Gaya Horisontal yang Bekerja pada Turap Dengan Angker Akibat Beban Kereta Api STA 141+600

Dari Gambar 5.14 s/d 5.17 didapatkan gaya horizontal aktif pasif dari semua beban, maka dilakukan perhitungan untuk mendapatkan persamaan momen $\Sigma M = 0$ yang titik putar momennya berada 1 m dari ujung atas turap. Hasil perhitungan untuk mendapatkan persamaan momen $\Sigma M = 0$ akibat beban timbunan dan bantalan rel ditunjukkan pada Tabel 5.16 s/d 5.18 dan akibat beban kereta api ditunjukan pada Tabel 5.19 s/d 5.21.

Tabel 5.16 Perhitungan Gaya Horisontal yang Bekerja pada pada Turap Dengan Angker dan Persamaan Momen Aktif Pasif untuk Beban Timbunan dan Beban Bantalan Rel STA 141+150

GAYA AKTIF	Ketebalan (m)	gh Aktif/Lebar (t/m ²)	Gaya (ton)	Jarak ke o (m)	Momen (t.m)		
Pa.1	2	0.45	0.91	0.00	0.00	+	+
Pa.2	2	1.88	1.88	0.33	0.63	+	+
Pa.3	4	3.11	12.44	3.00	37.32	+	+
Pa.4	4	2.40	4.80	3.67	17.60	+	+
Pa.5	do	3.11	3.11 do	5.00	+ 0.50	do	+ 15.55 do
Pa.6	do	0.70 do	0.35 do ²	5.00	+ 0.67	do	+ 1.75 do ²
Persamaan Momen Aktif =				55.55	+ 15.55 do	+ 3.31 do ²	+ 0.23 do ³
GAYA PASIF	Ketebalan (m)	gh Pasif/Lebar (t/m ²)	Gaya (ton)	Jarak ke o (m)	Momen (t.m)		
Pp.1	4	2.60	10.40	3.00	31.20	+	+
Pp.2	4	2.40	4.80	3.67	17.60	+	+
Pp.3	do	7.40	7.40 do	5.00	+ 0.50	do	+ 37.00 do
Pp.4	do	0.70 do	0.35 do ²	5.00	+ 0.67	do	+ 1.75 do ²
Persamaan Momen Pasif =				48.80	+ 37.00 do	+ 5.45 do ²	+ 0.23 do ³

Tabel 5.17 Perhitungan Gaya Horisontal yang Bekerja pada Turap Dengan Angker dan Persamaan Momen Aktif Pasif untuk Beban Timbunan dan Beban Bantalan Rel STA 141+350

GAYA AKTIF	Ketebalan (m)	gh Aktif/Lebar (t/m ²)	Gaya (ton)	Jarak ke o (m)	Momen (t.m)		
Pa.1	1.5	0.45	0.68	-0.25	+ 0.17	+	+
Pa.2	1.5	1.41	1.06	0.00	+ 0.00	+	+
Pa.3	4.5	2.31	10.40	2.75	+ 28.59	+	+
Pa.4	4.5	2.70	6.08	3.50	+ 21.26	+	+
Pa.5	do	2.61	2.61 do	5.00	+ 0.50	do	+ 13.05 do
Pa.6	do	0.70 do	0.35 do ²	5.00	+ 0.67	do	+ 1.75 do ²
Persamaan Momen Aktif =				49.68	+ 13.05 do	+ 3.06 do ²	+ 0.23 do ³
GAYA PASIF	Ketebalan (m)	gh Pasif/Lebar (t/m ²)	Gaya (ton)	Jarak ke o (m)	Momen (t.m)		
Pp.1	4.5	2.60	11.70	2.75	32.18	+	+
Pp.2	4.5	2.70	6.08	3.50	21.26	+	+
Pp.3	do	7.70	7.70 do	5.00	+ 0.50	do	+ 38.50 do
Pp.4	do	0.70 do	0.35 do ²	5.00	+ 0.67	do	+ 1.75 do ²
Persamaan Momen Pasif =				53.44	+ 38.50 do	+ 5.60 do ²	+ 0.23 do ³

Tabel 5.18 Perhitungan Gaya Horisontal yang Bekerja pada Turap Dengan Angker dan Persamaan Momen Aktif Pasif untuk Beban Timbunan dan Beban Bantalan Rel STA 141+600

GAYA AKTIF	Ketebalan (m)	Ph Aktif/Lebar (t/m ²)	Gaya (ton)	Jarak ke o (m)		Momen (t.m)			
Pa.1	1.4	0.45	0.64	-0.30	+	-0.19	+	+	+
Pa.2	1.4	1.32	0.92	-0.07	+	-0.06	+	+	+
Pa.3	4.6	2.15	9.89	2.70	+	26.70	+	+	+
Pa.4	4.6	2.76	6.35	3.47	+	22.01	+	+	+
Pa.5	do	2.51	2.51 do	5.00	+ 0.50 do	+ 12.55 do	+ 1.26 do ²	+ 0.23 do ³	
Pa.6	do	0.70 do	0.35 do ²	5.00	+ 0.67 do	+ 38.80 do	+ 3.88 do ²	+ 0.23 do ³	
Persamaan Momen Aktif =						48.46 + 12.55 do	+ 3.01 do ²	+ 0.23 do ³	
GAYA PASIF	Ketebalan (m)	Ph Pasif/Lebar (t/m ²)	Gaya (ton)	Jarak ke o (m)		Momen (t.m)			
Pp.1	4.6	2.60	11.96	2.70	+	32.29	+	+	+
Pp.2	4.6	2.76	6.35	3.47	+	22.01	+	+	+
Pp.3	do	7.76	7.76 do	5.00	+ 0.50 do	+ 38.80 do	+ 3.88 do ²	+ 0.23 do ³	
Pp.4	do	0.70 do	0.35 do ²	5.00	+ 0.67 do	+ 38.80 do	+ 5.63 do ²	+ 0.23 do ³	
Persamaan Momen Pasif =						54.30 + 38.80 do	+ 5.63 do ²	+ 0.23 do ³	

Tabel 5.19 Perhitungan Gaya Horisontal yang Bekerja pada Turap Dengan Angker dan Persamaan Momen Aktif Pasif Akibat Beban Kereta Api STA 141+150

Persamaan Aktif Beban 1(jarak 2m dari turap) m = 0.17 < 0.4 R = 0.6H			
Aktif			
Ph = 0.55 QI	4.8125		
Momen = Ph	10.55	+	2.8875 do
Persamaan Aktif Beban 2(jarak 3m dari turap) m = 0.25 < 0.4 R = 0.6H			
Aktif			
Ph = 0.55 QI	4.8125		
Momen = Ph	10.55	+	2.8875 do

Tabel 5.20 Perhitungan Gaya Horisontal yang Bekerja pada Turap Dengan Angker dan Persamaan Momen Aktif Pasif Akibat Beban Kereta Api STA 141+350

Persamaan Aktif Beban 1(jarak 2m dari turap) $m = 0.17 < 0.4 R = 0.6H$		
Aktif		
$Ph = 0.55 Ql$	4.8125	
Momen = Ph	10.55 +	2.8875 do
Persamaan Aktif Beban 2(jarak 3m dari turap) $m = 0.25 < 0.4 R = 0.6H$		
Aktif		
$Ph = 0.55 Ql$	4.8125	
Momen = Ph	10.55 +	2.8875 do

Tabel 5.21 Perhitungan Gaya Horisontal yang Bekerja pada Turap Dengan Angker dan Persamaan Momen Aktif Pasif Akibat Beban Kereta Api STA 141+600

Persamaan Aktif Beban 1(jarak 2m dari turap) $m = 0.17 < 0.4 R = 0.6H$		
Aktif		
$Ph = 0.55 Ql$	4.8125	
Momen = Ph	10.55 +	2.8875 do
Persamaan Aktif Beban 2(jarak 3m dari turap) $m = 0.25 < 0.4 R = 0.6H$		
Aktif		
$Ph = 0.55 Ql$	4.8125	
Momen = Ph	10.55 +	2.8875 do

Hasil dari kedua persamaan pada Tabel 5.16 s/d 5.18 dan 5.19 s/d 5.21 dijumlahkan maka akan didapatkan persamaan aktif pasif yang digunakan untuk mencari panjang d0. Persamaan momen aktif dan pasif total dapat dilihat pada Tabel 5.22.

Tabel 5.22 Perhitungan Persamaan Momen $\Sigma M = 0$ pada Turap Dengan Angker : (a) STA 141+150; (b) STA 141+350; (c) STA 141+600

(a)

Persamaan Momen						
AKTIF	0.23 do ³	+	3.31 do ²	+	21.33 do	+ 76.65 = 0
PASIF	0.23 do ³	+	5.45 do ²	+	37.00 do	+ 48.80 = 0
TOTAL	0.00 do ³	+	-2.15 do ²	+	-15.68 do	+ 27.85 = 0
TOTAL PANJANG TURAP (m) :						8.00

(b)

Persamaan Momen						
AKTIF	0.23 do ³	+	3.06 do ²	+	18.83 do	+ 70.78 = 0
PASIF	0.23 do ³	+	5.60 do ²	+	38.50 do	+ 53.44 = 0
TOTAL	0.00 do ³	+	-2.55 do ²	+	-19.68 do	+ 17.34 = 0
TOTAL PANJANG TURAP (m) :						7.00

(c)

Persamaan Momen						
AKTIF	0.23 do ³	+	3.01 do ²	+	18.33 do	+ 69.56 = 0
PASIF	0.23 do ³	+	5.63 do ²	+	38.80 do	+ 54.30 = 0
TOTAL	0.00 do ³	+	-2.63 do ²	+	-20.48 do	+ 15.26 = 0
TOTAL PANJANG TURAP (m) :						7.00

Dari ketiga persamaan yang didapatkan dari Tabel 5.17 maka dicari faktor dari persamaan tersebut, dan didapatkan panjang d0.

3. Menghitung Panjang Total Turap.

Setelah menghitung faktor dari persamaan pangkat tiga pada Tabel 5.22, maka didapatkan nilai do untuk ketiga STA. Nilai do ini kemudian dikalikan dengan angka keamanan, SF yaitu 1,2 lalu dijumlahkan dengan tebal lapisan tanah yang ada di atasnya. Sehingga total panjang turap yang dibutuhkan pada zona satu 8 m, zona dua 7 m, dan zona tiga 7 m.

4. Menentukan Jumlah Turap yang akan Dipasang.

Jumlah turap yang akan dipasang ditentukan dari perbandingan antara *section modulus* yang terjadi akibat momen yang bekerja pada turap dibandingkan dengan *section modulus* dari jenis turap yang digunakan. Berikut akan diberikan contoh perhitungan jumlah turap di STA 141+150:

Momen maksimum yang bekerja pada turap adalah :

$$\Sigma M_x = -2,15x^2 - 15,68x - 27,85;$$

dimana x adalah do.

Dari perhitungan $\frac{dy \cdot \Sigma M_x}{dx} = 0$ diperoleh nilai x = -3,65 m

Nilai x ini kemudian disubstitusi ke persamaan ΣM_x sehingga diperoleh momen maksimal (Mmax) sebesar 56,4 ton.m = 5648506.265 kg.cm.

Nilai *section modulus* akibat momen yang bekerja didapatkan dengan membagi Mmax dengan tegangan ijin, yakni sebesar 1500 kg/cm², sehingga diperoleh *section modulus* sebesar 3765,67 cm³.

Dikarenakan *section modulus* turap *Corrugated Type W-325 A1000* (Lampiran 3) adalah sebesar 8262 cm³ maka hanya dibutuhkan 1 buah turap tiap meter panjang melintang lereng. Perhitungan lengkap jumlah turap yang dibutuhkan dapat dilihat pada Lampiran 4.

7. Menentukan Diameter Baja Angker

Diameter baja angker direncanakan menggunakan baja berdiameter 6 cm. Baja angker diasumsikan tidak ikut menahan gaya gesek akibat gaya aktif turap. Dengan demikian turap seharusnya menjadi lebih aman.

8. Menentukan Volume Beton Grouting

Dalam perencanaan turap angker ini baja angker dianggap tidak ikut menahan gaya gesek akibat gaya aktif turap, maka gaya harus dapat ditahan semua oleh beton grouting. Beton grouting menggunakan beton fc' 50 Mpa.

Dimensi beton grouting:

Beton grouting hanya mampu menyebar di dalam tanah selebar 15 cm (jari-jari tabung 15 cm), maka diameter beton grouting 30 cm. Dengan menggunakan Persamaan 2.14 maka dapat dicari luas dan panjang beton grouting yang di perlukan, untuk *Safety Factor* yang digunakan adalah 1.5 dan T total yang digunakan adalah T miring atau T/cosa. Hasil dimensi beton grouting dapat dilihat pada Tabel 5.23 s/d 5.25.

Tabel 5.23 Rekapitulasi Dimensi Angker dan Beton Grouting
STA 141+150

Σ Gaya Aktif (ton)	37.27865431
Σ Gaya Pasif (ton)	31.4
Gaya pada Angkur, T (ton)	5.878654306
Pu angkur, Tult (ton)	8.817981459
 	
Jarak Pemasangan Angker (1m)	1.00
cosAlfa	30
T ult Miring (ton)	10.18
Panjang Angker (m)	6.00
Luas (m ²)	2.909179411
Diameter Grouting (m)	0.3
Panjang Grouting (m)	3
Volume Grouting (m ³)	0.3

Tabel 5.24 Rekapitulasi Dimensi Angker dan Beton Grouting
STA 141+350

Σ Gaya Aktif (ton)	30.99206908
Σ Gaya Pasif (ton)	26.31827788
Gaya pada Angkur, T (ton)	4.6737912
Pu angkur, Tult (ton)	7.0106868
 	
Jarak Pemasangan Angker (1m)	1.00
cosAlfa	30
T ult Miring (ton)	8.09
Panjang Angker (m)	6.00
Luas (m ²)	2.312727597
Diameter Grouting (m)	0.3
Panjang Grouting (m)	2.4
Volume Grouting (m ³)	0.2

Tabel 5.25 Rekapitulasi Dimensi Angker dan Beton Grouting
STA 141+600

Σ Gaya Aktif (ton)	30.28289066
Σ Gaya Pasif (ton)	26.418
Gaya pada Angkur, T (ton)	3.864890659
Pu angkur, Tult (ton)	5.797335989
Jarak Pemasangan Angker (1m)	1.00
cosAlfa	30
T ult Miring (ton)	6.69
Panjang Angker (m)	6.00
Luas (m ²)	1.912624854
Diameter Grouting (m)	0.3
Panjang Grouting (m)	2.1
Volume Grouting (m ³)	0.2

Dari Tabel 5.23 s/d 5.25 didapatkan volume dan panjang grouting. Namun untuk menghemat biaya volume beton grouting dapat dikurangi dengan cara menambahkan panjang d0 pada turap. Zona satu panjang d0 menjadi 9 m, zona dua panjang d0 menjadi 8 m, dan zona 3 panjang d0 menjadi 8 m. Hasil dimensi grouting akibat perubahan panjang d0 pada ketiga zona dapat dilihat pada Tabel 5.26 s/d 5.28.

Tabel 5.26 Rekapitulasi Dimensi Angker dan Beton Grouting
STA 141+150 Setelah Perubahan d0

Σ Gaya Aktif (ton)	42.13865431
Σ Gaya Pasif (ton)	40.55
Gaya pada Angkur, T (ton)	1.588654306
Pu angkur, Tult (ton)	2.382981459
Jarak Pemasangan Angker (1m)	1.00
cosAlfa	30
T ult Miring (ton)	2.75
Panjang Angker (m)	6.00
Luas (m ²)	0.786179992
Diameter Grouting (m)	0.3
Panjang Grouting (m)	0.7
Volume Grouting (m ³)	0.1

Tabel 5.27 Rekapitulasi Dimensi Angker dan Beton Grouting
STA 141+350 Setelah Perubahan d0

Σ Gaya Aktif (ton)	33.28546631
Σ Gaya Pasif (ton)	31.8765
Gaya pada Angkur, T (ton)	1.408966306
Pu angkur, Tult (ton)	2.113449458
Jarak Pemasangan Angker (1m)	1.00
cosAlfa	30
T ult Miring (ton)	2.44
Panjang Angker (m)	6.00
Luas (m2)	0.69719744
Diameter Grouting (m)	0.3
Panjang Grouting (m)	0.6
Volume Grouting (m3)	0.1

Tabel 5.28 Rekapitulasi Dimensi Angker dan Beton Grouting
STA 141+600 Setelah Perubahan d0

Σ Gaya Aktif (ton)	32.33489066
Σ Gaya Pasif (ton)	31.62
Gaya pada Angkur, T (ton)	0.714890659
Pu angkur, Tult (ton)	1.072335989
Jarak Pemasangan Angker (1m)	1.00
cosAlfa	30
T ult Miring (ton)	1.24
Panjang Angker (m)	6.00
Luas (m2)	0.353779127
Diameter Grouting (m)	0.3
Panjang Grouting (m)	0.4
Volume Grouting (m3)	0.1

Setelah didapatkan dimensi angker dan beton grouting, turap angker seharusnya sudah aman karena sudah dikalikan SF 1.5

diatasnya. Sedangkan hasil kontrol profil turap dapat dilihat pada Lampiran 4.

9. Menentukan Panjang Baja Angker

Letak angker harus terletak pada daerah di zona stabil. Jari-jari kelongsoran maksimal timbunan adalah $45^\circ\phi/2$. Maka didapatkan panjang baja angker 7 m.

Untuk memperkuat struktur dan mempermudah dalam pemesanan, maka semua panjang turap disamakan menjadi 10m, panjang beton grouting dibulatkan menjadi 1m, profil diganti menjadi W400 A1000 (Lampiran 3) dan panjang besi angker dinaikan 0,5 m. Rekapitulasi perkuatan turap berangker dapat dilihat pada Tabel 5.29.

Tabel 5.29 Rekapitulasi Perkuatan Turap Berangker

Titik STA	Profil Turap	Panjang Turap (m)	Panjang Angker (m)	Diameter Angker (m)	Panjang Grouting (m)	Diameter Grouting (m)	Keterangan
141+150	W325 A1000	9	7	0.06	0.7	0.3	Perhitungan
	W400 A1000	10	7.5	0.06	1	0.3	Dipasang
141+350	W325 A1000	8	7	0.06	0.6	0.3	Perhitungan
	W400 A1000	10	7.5	0.06	1	0.3	Dipasang
141+600	W325 A1000	8	7	0.06	0.4	0.3	Perhitungan
	W400 A1000	10	7.5	0.06	1	0.3	Dipasang

5.3 Perencanaan Perkuatan dengan *Counterweight*

Perencanaan perkuatan timbunan dengan *counterweight* direncanakan dengan menggunakan konsep *foundation stability* pada Bab II untuk mencari panjang timbunan *counterweight* yang dibutuhkan sebelum dianalisis menggunakan program bantu *Plaxis*. Dengan zona 1 panjang timbunan 200 m, zona 2 panjang timbunan 150 m, dan zona 3 panjang timbunan 150 m. Untuk dimensi lebar dan tinggi timbunan dicoba-coba menggunakan program bantu.

5.3.1 Perencanaan Lebar Timbunan *Counterweight*

Perencanaan panjang *counterweight* menggunakan konsep *foundation stability* langkah-langkah perhitungannya adalah:

1. Mencari tegangan tanah
Menghitung tegangan tanah menggunakan Persamaan 2.8.
2. Mencari gaya aktif pasif
Gaya yang ditimbulkan hanya sedalam tanah lunak, untuk menghitungnya menggunakan Persamaan 2.9 dan 2.10.
3. Menghitung lebar timbunan
Menghitung lebar timbunan *counterweight* menggunakan persamaan 2.7 dimana SF 1,5. Rekap titik STA dan lebar yang dibutuhkan dapat dilihat pada Tabel 5.30. Sedangkan hasil lengkap perhitungan perencanaan lebar *counterweight* dapat dilihat pada Lampiran 4.

Tabel 5.30 Rekap Lebar *Counterweight* yang Dibutuhkan

STA	Kedalaman	Gamma Tanah Lunak (0-5m)	Cu(t/m ²) (0-5m)	Beban Kereta	Sigma V Tembunan	Pa	Pp	SF	L		
141+150	5		1.60	1.96	8.75	5.2	13.95	57.7	27	1.5	15.14668
141+350	5		1.60	1.96	8.75	4.3	13.05	53.2	27	1.5	13.42474
141+600	5		1.60	1.96	8.75	4.12	12.87	52.3	27	1.5	13.08036

5.3.2 Analisis Perkuatan *Counterweight*

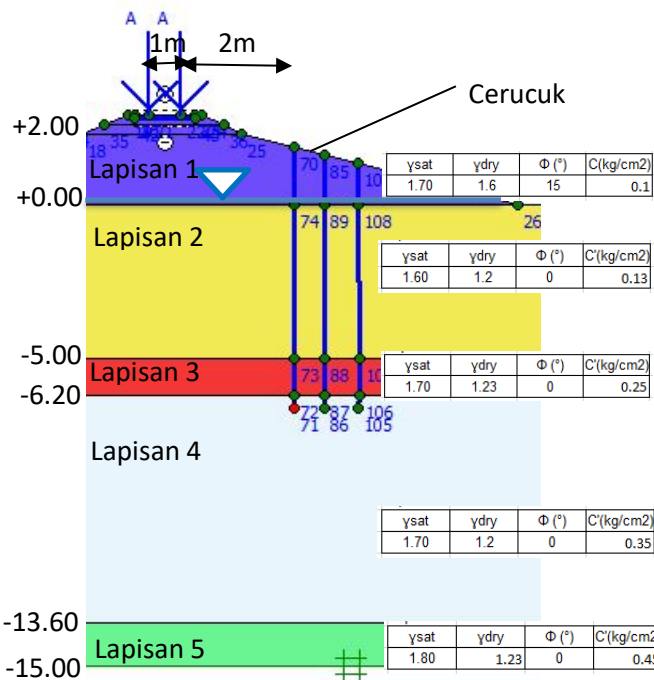
Setelah didapatkan panjang *counterweight* yang dibutuhkan maka perencanaan perkuatan dilanjutkan dengan menggunakan program bantu *Plaxis* pada 3 titik STA dengan spesifikasi timbunan sesuai pada Bab IV. Hasil lengkap analisis dapat dilihat pada Lampiran 4. Setelah dilakukan 3 percobaan analisis dengan program bantu maka menghasilkan SF seperti pada Tabel 5.31.

Tabel 5.31 Rekapitulasi Percobaan Dimensi *Counterweight*

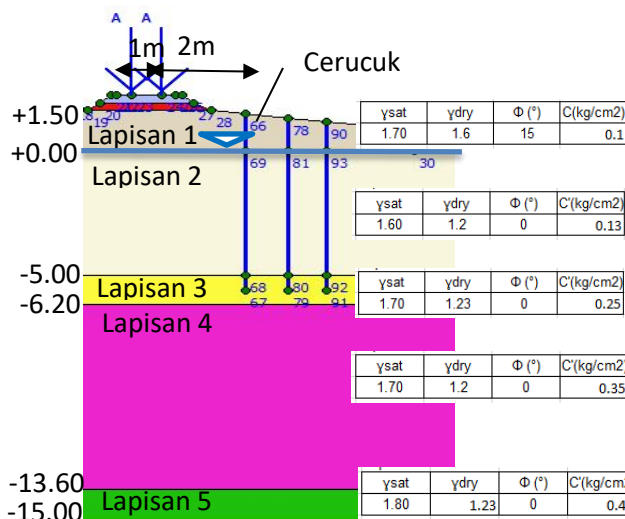
Zona	Lebar (m)	Panjang (m)	Tinggi (m)	SF
1	10	200	1	1.38
	15.2	200	1	1.49
	20	200	1	1.52
2	10	150	0.8	1.43
	13.5	150	0.8	1.51
	20	150	0.8	1.56
3	10	150	0.7	1.4
	13.1	150	0.7	1.5
	20	150	0.7	1.59

5.4 Perencanaan Perkuatan Timbunan dengan Cerucuk

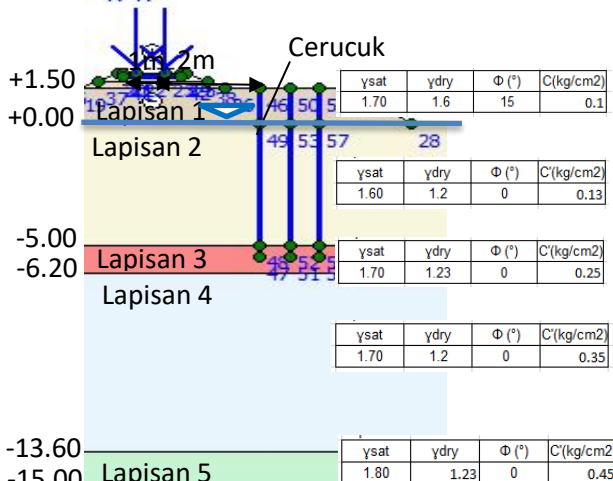
Alternatif perkuatan timbunan dengan cerucuk pada STA 141+100 – 141+600 menggunakan type cerucuk Prestressed Concrete Spun Pile diameter 300 mm dari PT Wijaya Karya Beton. Perhitungan perkuatan ini dilakukan dengan cara manual. Perencanaan cerucuk dilakukan berdasarkan pada geometri timbunan dan lapisan tanah pada STA 141+100 – 141+600 seperti yang terlihat pada Gambar 5.18 s/d 5.20 berikut.



Gambar 5.18 Geometri Timbunan dan Cerucuk (Dimensi dalam Satuan Meter) STA 141+150



Gambar 5.19 Geometri Timbunan dan Cerucuk (Dimensi dalam Satuan Meter) STA 141+600



Gambar 5.20 Geometri Timbunan dan Cerucuk (Dimensi dalam Satuan Meter) STA 141+600

Berikut tahapan dalam merencanakan cerucuk:

Contoh Perhitungan pada Zona 1 SF 0.99 (SF 1)

1. Menghitung faktor modulus tanah (f)

Faktor modulus tanah dihitung dengan melihat grafik hubungan antara q_u ($2Cu$) dengan faktor modulus tanah (f) pada Gambar 2.12 (NAVFAC DM-7, 1971).

$$q_u = 2 \times Cu = 2 \times 0.13 = 0.26 \text{ didapat dari grafik } f = 0.02 \text{ kg/cm}^3$$

2. Menghitung modulus elastisitas (E) dan momen inersia (I)

Modulus elastisitas didapatkan dari $4700\sqrt{fc}$, dengan cerucuk fc 50 (k 600) sedangkan momen inersia dihitung dengan Persamaan $\frac{\pi}{8} (d^3t - 3d^2t^2 + 4dt^3 - 2t^4)$

Setelah dimasukan rumus diatas didapatkan

$$I = 34607.78 \text{ cm}^4$$

$$E = 4700 \times \sqrt{600} = 115126.02$$

3. Menghitung faktor kekakuan relatif (T)

Faktor kekakuan relative (T) dihitung dengan Persamaan 2.3

$$T = \left(\frac{EI}{f}\right)^{\frac{1}{5}} = 190.215 \text{ cm}$$

4. Menghitung koefisien momen akibat gaya lateral (Fm)

Koefisien momen akibat gaya lateral (Fm) didapatkan dari grafik pada Gambar 2.13 (NAVFAC DM-7, 1971)

5. Mencari momen maksimum lentur *micropile* (Mp)

Momen maksimum lentur untuk *micropile* PC Spun Pile dapat dilihat pada Lampiran 3.

6. Menghitung faktor koreksi gabungan (Fkg)

Perhitungan faktor koreksi gabungan menggunakan persamaan 2.6, dimana nilai model persamaan pada variasi perlakuan cerucuk terdapat pada Tabel 2.9.

7. Menghitung gaya horizontal 1 cerucuk

Dari variable yang telah di dapatkan maka dihitung gaya horizontal yang mampu dipikul 1 buah cerucuk dengan Persamaan 2.5

$$Y_t = (0,101 (X_t) - 0,3928) * 0.89111$$

$$\text{dimana } X_t = Lb/D = 490/30 = 16.33 \quad Y_t = 1.12$$

$$Y_s = -0.046(X_s)^2 + 0.485(X_s) - 0.273$$

dimana $X_s = S/D = 100/30 = 3.33$ $Y_s = 0,832$

$$Y_D = 36,267(X_D) - 3.5739$$

dimana $X_d = D/T = 30/190,215 = 0,16$ $Y_d = 2.146$

$$Y_n = -0.0469x_n + 1.0506$$

dimana $X_n = \text{jumlah cerucuk}$; asumsi 1 $Y_n = 1,05$

$$F_{kg} = 2,51 \times Y_t \times Y_s \times Y_n \times Y_D = 5,28$$

8. Menghitung jumlah cerucuk yang dibutuhkan

Setelah didapatkan gaya horizontal 1 cerucuk maka di cari jumlah cerucuk yang dibutuhkan, dengan menggunakan rumus n pada Gambar 2.14. Tabel 5.32 Menunjukkan jumlah variasi SF dan variasi jari-jari kelongsoran yang digunakan dalam perhitungan.

$$P = \frac{Mp}{F_m \times T} \times F_{kg} = \frac{250000}{1 \times 190.215} \times 5.28 = 6935.2 \text{ Kg}$$

Jumlah cerucuk yang dibutuhkan :

$$SF = 0.99$$

$$MR = 1832.94 \text{ kN m}$$

$$R = 7.07 \text{ m}$$

$$Md = Mr / SF = 1844 \text{ kN m}$$

Maka jumlah cerucuk yang dibutuhkan :

$$n = \frac{(1.5 - 0.99)}{6935.2 \times 707} \times 1844 = 1.902$$

Perhitungan dilanjutkan dengan asumsi jumlah cerucuk yang ditampilkan pada Tabel 5.33 s/d 5.35.

Tabel 5.32 Variasi SF, Variasi Jari-Jari Kelongsoran dan Mr

STA 141+150			STA 141+350			STA 141+600		
SF	R (m)	Mr (kNm)	SF	R (m)	Mr (kNm)	SF	R (m)	Mr (kNm)
0.994	7.07	1832.94	1.021	5.7	1113.95	1.066	5.89	1149.42
1.023	7.21	1907.34	1.031	5.96	1194.18	1.104	5.6	1153.71
1.026	6.86	1850.29	1.043	5.6	1168.66	1.158	5.5	1173.43
1.039	8	2020.11	1.054	5.48	1115.47	1.175	6.9	1318.6
1.039	6.89	1894.85	1.073	5.36	1166.84	1.183	6.4	1271.9

Tabel 5.33 Rekapitulasi Perhitungan Cerucuk STA 141+150

SF 0.994	SF 1.023	SF 1.026	SF 1.039	SF 1.039				
Xn	n	Xn	n	Xn	n	Xn	n	
0	1.902968	0	1.77858	0	1.796739	0	1.615507	
1	1.991888	1	1.86169	1	1.880696	1	1.690995	
2	2.089525	2	1.95295	2	1.972883	2	1.773883	
3	2.197228	3	2.05361	3	2.074574	3	1.865317	
4	2.316637	4	2.16521	4	2.187317	4	1.966688	
5	2.449771	5	2.28964	5	2.313019	5	2.07971	
6	2.599139	6	2.42925	6	2.454049	6	2.206515	
7	2.767905	7	2.58698	7	2.613394	7	2.349788	
8	2.960109	8	2.76663	8	2.794869	8	2.512958	
9	3.180999	9	2.97308	9	3.003428	9	2.70048	
10	3.437513	10	3.21282	10	3.245623	10	2.918246	
							10	3.178282

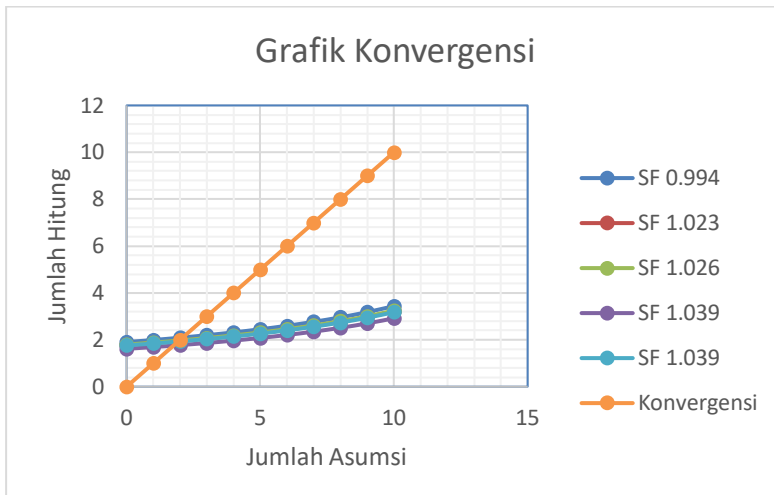
Tabel 5.34 Rekapitulasi Perhitungan Cerucuk STA 141+350

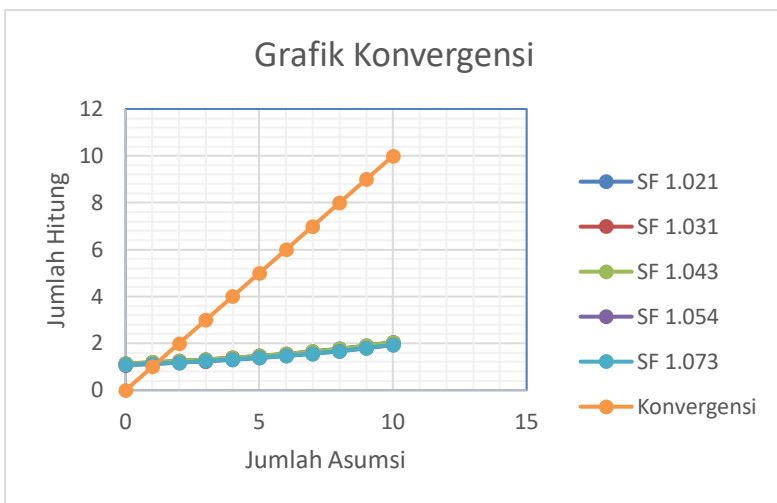
SF 1.021	SF 1.031	SF 1.043	SF 1.054	SF 1.073			
Xn	n	Xn	n	Xn	n		
0	1.138971	0	1.13227	0	1.13591		
1	1.192192	1	1.18518	1	1.188988		
2	1.25063	2	1.24327	2	1.24727		
3	1.315093	3	1.30735	3	1.311559		
4	1.386562	4	1.3784	4	1.382836		
5	1.466245	5	1.45762	5	1.462305		
6	1.555646	6	1.54649	6	1.551466		
7	1.656656	7	1.64691	7	1.652205		
8	1.771695	8	1.76127	8	1.766934		
9	1.903903	9	1.8927	9	1.898787		
10	2.057433	10	2.04533	10	2.051904		
					10	1.932843	
						10	1.944015

Tabel 5.35 Rekapitulasi Perhitungan Cerucuk STA 141+600

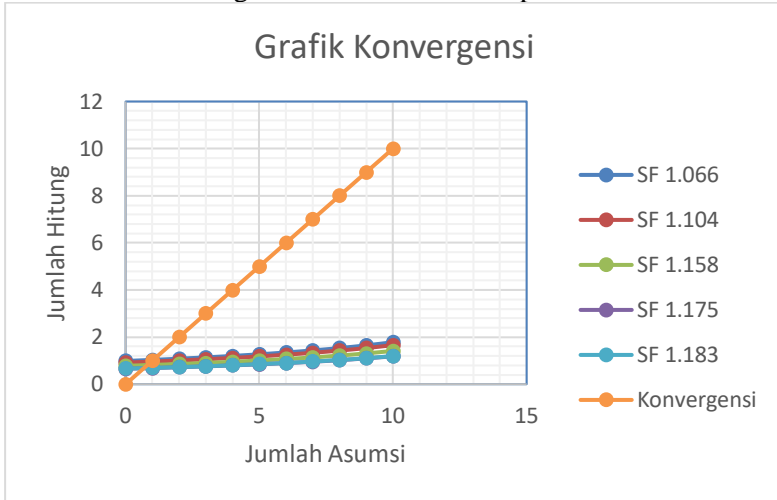
SF 1.066		SF 1.104		SF 1.158		SF 1.175		SF 1.183	
Xn	n	Xn	n	Xn	n	Xn	n	Xn	n
0	0.986979	0	0.918	0	0.782752	0	0.656631	0	0.661545
1	1.033098	1	0.9609	1	0.819328	1	0.687314	1	0.692457
2	1.083738	2	1.008	2	0.859489	2	0.721004	2	0.7264
3	1.139598	3	1.06	3	0.903791	3	0.758168	3	0.763842
4	1.20153	4	1.1176	4	0.952907	4	0.79937	4	0.805353
5	1.27058	5	1.1818	5	1.007669	5	0.845309	5	0.851635
6	1.34805	6	1.2538	6	1.06911	6	0.89685	6	0.903561
7	1.435581	7	1.3353	7	1.138528	7	0.955083	7	0.962231
8	1.535269	8	1.428	8	1.217588	8	1.021405	8	1.029049
9	1.649834	9	1.5345	9	1.308447	9	1.097624	9	1.105838
10	1.782875	10	1.6583	10	1.41396	10	1.186136	10	1.195013

Dari Tabel 5.33 s/d 5.35 dapat dilihat variasi jumlah cerucuk berdasarkan perhitungan dengan berbagai variasi SF dan variasi jari-jari kelongsoran. Dengan menggabungkan dengan garis konvergensi (garis konstan $x=y$), maka didapatkan jumlah cerucuk yang dibutuhkan sesuai dengan perpotongan antara garis variasi SF tertinggi dengan garis konvergensi yang ditunjukkan pada Gambar 5.21 s/d 5.23.

**Gambar 5.21** Grafik Konversi antara Jumlah Asumsi Cerucuk dan Jumlah Hitung Cerucuk untuk Beberapa SF STA 141+150



Gambar 5.22 Grafik Konversi antara Jumlah Asumsi Cerucuk dan Jumlah Hitung Cerucuk untuk Beberapa SF STA 141+350



Gambar 5.23 Grafik Konversi antara Jumlah Asumsi Cerucuk dan Jumlah Hitung Cerucuk untuk Beberapa SF STA 141+600

Setelah didapatkan perpotongan garis antara garis variasi jumlah cerucuk dengan garis konvergensi maka didapatkan jumlah cerucuk yang akan dipasang untuk perkuatan. Untuk variasi jari-jari kelongsoran dan SF dapat dilihat pada Lampiran 4.

10. Menghitung Panjang Cerucuk Total

Panjang total cerucuk dihitung dengan cara jarak antara permukaan tanah asli dengan bidang longsor terdalam (La) ditambah dengan tinggi timbunan ditambah dengan panjang di bawah bidang longsor (Lb) berdasarkan perencanaan pada perhitungan jumlah cerucuk. Maka didapatkan tinggi total cerucuk. Tabel 5.36 adalah rekapitulasi jumlah dan panjang cerucuk yang akan digunakan untuk perkuatan. Perhitungan secara rinci cerucuk dapat dilihat pada Lampiran 4.

Tabel 5.36 Rekapitulasi Panjang dan Jumlah Cerucuk yang Digunakan untuk Perkuatan

STA	Zona 1	Zona 2	Zona 3
Jumlah Per Meter	3	2	2
Total Jumlah	603	300	300
Panjang Cerucuk	10	10	10

5.5 Perhitungan Biaya Material

Dalam tugas akhir ini biaya yang dihitung adalah biaya material dari setiap perkuatan. Dengan jumlah biaya perkuatan termurah dan dapat tidaknya perkuatan tersebut di laksanakan menjadi pertimbangan utama dalam pemilihan perkuatan.

5.5.1 Perhitungan Biaya Perkuatan Tanah dengan Turap

Material yang digunakan dalam perkuatan turap adalah beton *precast* sebagai material turap *freestanding* dan turap berangker, serta material baja untuk *rod* angker pada turap berangker. Biaya tiap material adalah sebagai berikut:

- Beton *precast* per m³ = Rp 820.000,00
- *Rod* angker per kg = Rp 7.100,00

Rekapitulasi total biaya yang dibutuhkan turap *freestanding* di tiap zona ditunjukkan pada Tabel 5.37, sedangkan rekapitulasi total biaya yang dibutuhkan untuk turap berangker ditunjukkan pada Tabel 5.38.

Tabel 5.37 Rekapitulasi Biaya Perkuatan Turap *Freestanding*

STA 141+150 (Zona 1)	STA 141+350 (Zona 2)	STA 141+600 (Zona 3)	
Biaya Beton Precast/m ³	Rp 820,000.00	Biaya Beton Precast/m ³	Rp 820,000.00
Luas Turap (cm ²)	2078	Luas Turap (cm ²)	2078
Luas Turap (m ²)	0.2078	Luas Turap (m ²)	0.2078
Lebar Turap (m)	0.996	Lebar Turap (m)	0.996
Tinggi Turap	30	Tinggi Turap	30
Jumlah Turap	201	Jumlah Turap	151
Total/Zona	Rp 1,023,377,928.48	Rp 763,714,872.00	Rp 768,806,304.48
Total			Rp 2,555,899,104.96

Tabel 5.38 Rekapitulasi Biaya Perkuatan Turap dengan Angker

STA 141+150 (Zona 1)	STA 141+350 (Zona 2)	STA 141+600 (Zona 3)	
Biaya Beton Precast/m ³	Rp 820,000.00	Biaya Beton Precast/m ³	Rp 820,000.00
Luas Turap (cm ²)	1598	Luas Turap (cm ²)	1598
Luas Turap (m ²)	0.1598	Luas Turap (m ²)	0.1598
Lebar Turap (m)	0.996	Lebar Turap (m)	0.996
Tinggi Turap	10.00	Tinggi Turap	10.00
Jumlah Turap	201	Jumlah Turap	150
Biaya Rod Angkur/kg	Rp 7,100.00	Biaya Rod Angkur/kg	Rp 7,100.00
Panjang Rod Angkur (m)	7.50	Panjang Rod Angkur (m)	7.50
Diameter Rod Angkur (m)	0.06	Diameter Rod Angkur (m)	0.06
Volume Grouting (m ³)	0.1	Volume Grouting (m ³)	0.1
Jarak antar Angkur (m)	1	Jarak antar Angkur (m)	1
Jumlah Angkur	201	Jumlah Angkur	151
Berat Jenis Baja (kg/m ³)	7850	Berat Jenis Baja (kg/m ³)	7850
Total/Zona	Rp 499,973,232.90	Rp 373,045,282.75	Rp 374,226,586.08
Total			Rp 1,247,245,101.72

5.5.2 Perhitungan Biaya Perkuatan Tanah dengan *Counterweight*

Perkuatan *Counterweight* menggunakan material tanah timbunan (campur bebatuan) sebagai timbunan *counterweight*, harga tanah timbunan ini dianggap sama dengan timbunan yang dimaksud pada Bab IV. Diambil dari PT. Sumber Alam Raharja, biaya tiap material adalah sebagai berikut:

- Biaya material urugan tanah per m³: Rp 156.000,-

Rekapitulasi perhitungan biaya *Counterweight* pada setiap zona dapat dilihat pada Tabel 5.39.

Tabel 5.39 Rekapitulasi Biaya Perkuatan *Counterweight*

STA 141+150 (Zona 1)	STA 141+350 (Zona 2)	STA 141+600 (Zona 3)	
Biaya Material Timbunan/m ³	Rp156,000,00	Biaya Material Timbunan/m ³	Rp156,000,00
Panjang Timbunan (m)	15.2	Panjang Timbunan (m)	13.5
Tinggi Timbunan (m)	1.4	Tinggi Timbunan (m)	1.2
Panjang Zona (m)	200	Panjang Zona (m)	150
Total/Zona	Rp 663,936,000,00		Rp 379,080,000,00
Total			Rp 1,380,210,000,00

5.5.3 Perhitungan Biaya Perkuatan Tanah dengan Cerucuk

Material yang digunakan pada perkuatan cerucuk adalah beton *precast*, biaya tiap material adalah sebagai berikut:

- Beton *precast* per m³ = Rp 820.000,00

Rekapitulasi perhitungan biaya cerucuk pada setiap zona dapat dilihat pada Tabel 5.40.

Tabel 5.40 Rekap Biaya Perkuatan Cerucuk

STA 141+150 (Zona 1)	STA 141+350 (Zona 2)	STA 141+600 (Zona 3)	
Biaya Beton Precast/m ³	Rp820,000,00	Biaya Beton Precast/m ³	Rp820,000,00
V cerucuk 30 cm	0.706858347	V cerucuk 30 cm	0.706858347
Kedalaman	10	Kedalaman	10
V cerucuk 18 cm	0.254469005	V cerucuk 18 cm	0.254469005
V 1 cerucuk	0.452389342	V 1 cerucuk	0.452389342
Jumlah	603	Jumlah	300
Volume Total	272.7907733	Volume Total	135.7168026
Biaya Total	Rp 223,688,434,10	Biaya Total	Rp 111,287,778,16
Biaya 1 cerucuk	Rp 370,959,26		
Total Semua Biaya	Rp 446,263,990,42		

Tabel 5.41 Rekapitulasi Biaya Alternatif Perkuatan

Jenis Perkuatan	Biaya Total
Turap <i>Freestanding</i>	Rp 1,738,045,334.26
Turap Berangker	Rp 1,247,245,101.72
<i>Counterweight</i>	Rp 1,380,210,000.00
Cerucuk	Rp 446,263,990.42

Berdasarkan rekapitulasi tersebut maka dapat diketahui bahwa perencanaan paling ekonomis menurut biaya material adalah dengan alternatif cerucuk dengan biaya material sebesar Rp 446.263.990,00.

“Halaman ini sengaja dikosongkan”

BAB VI

KESIMPULAN

6.1 Kesimpulan

Berdasarkan hasil analisis yang telah dilakukan maka dalam perencanaan Tugas Akhir ini dapat diambil kesimpulan sebagai berikut :

1. Hasil analisis timbunan sebelum diberi timbunan baru menggunakan program bantu adalah aman dengan SF diatas 1.3, sedangkan setelah diberi timbunan baru untuk jalur double track di sebelah timbunan didapatkan *safety factor* (SF) yang kurang dari 1 (0.99) yakni pada zona 1 (STA 141+100 – STA 141+300), sedangkan pada zona 2 (STA 141+300 – STA 141+450) dan zona 3 (STA 141+450 – STA 141+600) kondisi SF yang didapatkan kritis (1.02 pada zona 2 dan 1.06 pada zona 3). Terlihat adanya penurunan SF yang cukup tinggi disebabkan oleh penambahan beban timbunan baru. Dari hasil SF diatas maka tanah timbunan mengalami kelongsoran pada zona 1, dan perlu adanya perkuatan pada zona 1 dan kondisi kritis pada zona 2 dan 3 sehingga perlu adanya perkuatan pada zona 1 sampai zona 3.
2. Alternatif perencanaan perkuatan timbunan menggunakan cerucuk (*micropile*) *Prestressed Concrete Spun Pile* diameter 300 mm dari PT Wijaya Karya Beton. Dipasang sedalam 10 m dengan jarak 1 m dan tiap baris berjumlah 3 untuk zona 1, 2 untuk zona 2, dan 2 untuk zona 3. Jumlah total cerucuk yang dipasang pada zona 1 603 buah, pada zona 2 150 buah, dan pada zona 3 150 buah.
3. Alternatif perencanaan perkuatan timbunan menggunakan *Counterweight* atau tanah yang di timbun disamping timbunan *existing*, dengan beberapa percobaan SF sudah mendekati persyaratan (lihat Tabel 5.26), maka dipilihlah jumlah volume *Counterweight* yang paling efektif pada zona 1 adalah 4256 m^3 (panjang 200m, lebar 15.2 m, dan

- tinggi 1.4 m), zona 2 2430 m^3 (panjang 150m, lebar 13.5 m, dan tinggi 1.2 m) dan 2162 m^3 (panjang 150m, lebar 13.1 m, dan tinggi 1.1 m).
4. Alternatif perencanaan perkuatan timbunan menggunakan perkuatan turap menggunakan W500 A1000 berjumlah 2 cerucuk dengan panjang 15 m untuk turap tanpa angkur, dan W400 A1000 panjang 10 m, dengan baja angker diameter 6 m, panjang 7.5 m, dan dimensi beton grouting diameter 0.3 m, panjang 1 m untuk turap berangker.
 5. Total biaya material yang dibutuhkan untuk alternatif menggunakan turap beton tanpa angkur adalah Rp 2.555.899.304, turap beton berangkur Rp 1.247.245.101, *counterweight* adalah Rp 1.380.210.000, dan cerucuk (*micropile*) adalah Rp 466.263.990. Maka dengan perbandingan harga tersebut alternatif yang digunakan adalah perkuatan tanah dengan menggunakan cerucuk (*micropile*).

6.2 Saran

Setelah dilakukan analisis dan perhitungan, penulis memberikan saran yaitu:

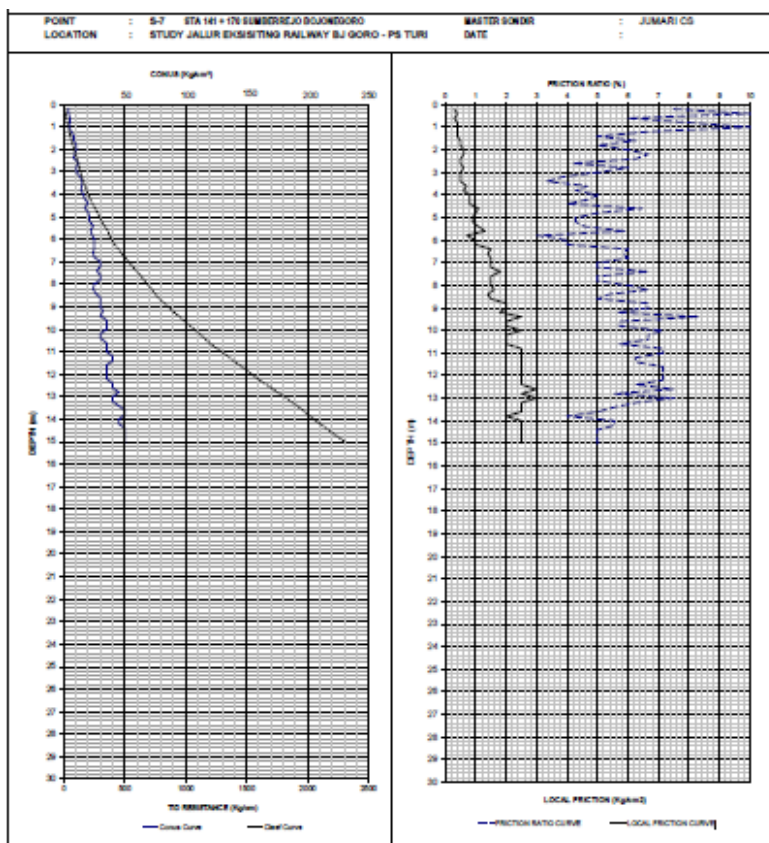
1. Perlu dilakukan studi lebih lanjut mengenai optimasi perencanaan cerucuk.
2. Perhitungan manual terkadang jauh berbeda dengan analisis software maka digunakan yang terkritis.

DAFTAR PUSTAKA

- Das, Braja M. 1988. **Mekanika Tanah: Prinsip-Prinsip Rekayasa Geoteknik jilid 1.** Diterjemahkan oleh Noor Endah dan Indrasurya B.M. Surabaya: Erlangga.
- Das, Braja M. 1988. **Mekanika Tanah: Prinsip-Prinsip Rekayasa Geoteknik jilid 2.** Diterjemahkan oleh Noor Endah dan Indrasurya B.M. Surabaya: Erlangga.
- Mochtar, Noor Endah. 2012. **Modul Ajar Metode Perbaikan Tanah.** Surabaya: Jurusan Teknik Sipil FTSP-ITS.
- Wahyudi, Herman. 1999. **Daya Dukung Pondasi Dalam.** Surabaya: ITS Press.
- Wahyudi, Herman. 1999. **Daya Dukung Pondasi Dangkal.** Surabaya: ITS Press.
- Sosrodarsono, S dan Nakazawa, K. 2000. **Mekanika Tanah dan Teknik Pondasi.** Jakarta : Pradnya Paramita.
- Holtz, R.D. dan Kovacs, W.D. 1981. **An Introduction to Geotechnical Engineering.** Englewood Cliffs, NJ: Prentice Hall.
- Das, Braja M. 1990. **Principles of Foundation Engineering.** Boston: PWS-KENT
- Bowles, J.E. 1997. **Foundation Analysis and Design International Fifth Edition.** The McGraw-Hill Companies

Das, Braja M. dan Sobhan, K. 2010. **Principles of Geotechnical Engineering Eighth Edition, SI.** USA: Cengage Learning.

Lampiran 1.a Data Tanah Asli

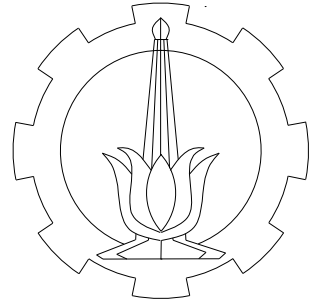


Lampiran 1.b Parameter Tanah Hasil Analisis dengan Metode Korelasi

Kedalaman (m)	qc (Kg/cm ²)	Rf (%)	Soil Type	Nilai NSPT (dari kolerasi)	Koreksi Nilai NSPT untuk N>15	Konsistensi Tanah	Taksiran harga (Cu)	γ_{sat} (kN/m ³)	Gs	γ_{dry} (kN/m ³)	C (kg/cm ²)	C' (kg/cm ²)	Poisson Ratio V	Modulus Young (kN/cm ²)	ϕ (friction angle)
0.00	5.00	7.50	Clays	1.25	1.25	Sangat Lunak (Very Soft)	0.10	15.25	2.71	12	1.00	0.07	0.20	0.200	0
0.20	5.00	7.50	Clays	1.25	1.25	Sangat Lunak (Very Soft)	0.10	15.25	2.71	12	1.00	0.07	0.20	0.200	0
0.40	5.00	10.00	Clays	1.25	1.25	Sangat Lunak (Very Soft)	0.10	15.25	2.71	12	1.00	0.07	0.20	0.200	0
0.60	6.00	6.00	Clays	1.50	1.50	Sangat Lunak (Very Soft)	0.10	15.20	2.71	12	1.50	0.07	0.20	0.200	0
0.80	6.00	8.00	Clays	1.50	1.50	Sangat Lunak (Very Soft)	0.10	15.50	2.71	12	1.50	0.07	0.20	0.200	0
1.00	5.00	10.00	Clays	1.25	1.25	Sangat Lunak (Very Soft)	0.14	15.25	2.71	12	1.00	0.09	0.20	0.200	0
1.20	7.00	7.00	Clays	1.75	1.75	Sangat Lunak (Very Soft)	0.14	15.75	2.72	12	1.50	0.09	0.20	0.200	0
1.40	8.00	5.00	Clays	2.00	2.00	Sangat Lunak (Very Soft)	0.17	16.00	2.73	12	1.50	0.11	0.20	0.200	0
1.60	9.00	6.20	Clays	2.25	2.25	Sangat Lunak (Very Soft)	0.17	16.25	2.73	12	1.75	0.11	0.20	0.200	0
1.80	10.00	5.00	Clays	2.50	2.50	Sangat Lunak (Very Soft)	0.20	16.50	2.74	12	1.75	0.13	0.20	0.200	0
2.00	10.00	5.80	Clays	2.50	2.50	Sangat Lunak (Very Soft)	0.20	16.50	2.74	12	1.75	0.13	0.20	0.200	0
2.20	10.00	6.60	Clays	2.50	2.50	Sangat Lunak (Very Soft)	0.20	16.50	2.74	12	1.75	0.13	0.20	0.200	0
2.40	9.00	6.20	Clays	2.25	2.25	Sangat Lunak (Very Soft)	0.17	16.25	2.73	12	1.75	0.11	0.20	0.200	0
2.60	10.00	4.20	Clays	2.50	2.50	Sangat Lunak (Very Soft)	0.20	16.50	2.74	12	1.75	0.13	0.20	0.200	0
2.80	10.00	6.00	Clays	2.50	2.50	Sangat Lunak (Very Soft)	0.20	16.50	2.74	12	1.75	0.13	0.20	0.200	0
3.00	10.00	5.00	Clays	2.50	2.50	Sangat Lunak (Very Soft)	0.20	16.50	2.74	12	1.75	0.13	0.20	0.200	0
3.20	14.00	4.00	Clayey Silts	3.50	3.50	Lunak (Soft)	0.25	17.50	2.68	12.3	2.25	0.17	0.20	0.200	0
3.40	15.00	3.40	Clayey Silts	3.75	3.75	Lunak (Soft)	0.25	17.75	2.68	12.3	2.25	0.17	0.20	0.200	0
3.60	13.00	4.60	Clays	3.25	3.25	Lunak (Soft)	0.25	17.25	2.72	12	2.00	0.17	0.20	0.200	0
3.80	13.00	4.30	Clays	3.25	3.25	Lunak (Soft)	0.25	17.25	2.75	12	2.00	0.17	0.20	0.200	0
4.00	16.00	5.00	Clays	4.00	4.00	Lunak (Soft)	0.27	18.00	2.74	12	2.50	0.18	0.20	0.200	0
4.20	18.00	4.80	Clays	4.50	4.50	Lunak (Soft)	0.27	16.50	2.76	12	2.75	0.18	0.20	0.200	0
4.40	20.00	4.00	Clayey Silts	5.00	5.00	Lunak (Soft)	0.30	17.00	2.69	12.3	3.00	0.20	0.20	0.200	0
4.60	18.00	6.50	Clays	4.50	4.50	Lunak (Soft)	0.27	16.50	2.73	12	2.75	0.18	0.20	0.200	0
4.80	20.00	5.00	Clays	5.00	5.00	Lunak (Soft)	0.30	17.00	2.72	12	3.00	0.20	0.20	0.200	0
5.00	21.00	4.30	Clayey Silts	5.25	5.25	Menengah (Medium)	0.30	17.25	2.67	12.3	3.50	0.20	0.20	0.300	0
5.20	21.00	4.30	Clayey Silts	5.25	5.25	Menengah (Medium)	0.30	17.25	2.68	12.3	3.50	0.20	0.20	0.300	0
5.40	25.00	4.80	Clays	6.25	6.25	Menengah (Medium)	0.45	16.06	2.71	12.2	4.25	0.30	0.20	0.300	0
5.60	22.00	5.80	Clays	5.50	5.50	Menengah (Medium)	0.35	17.50	2.71	12.3	3.50	0.23	0.20	0.300	0
5.80	24.00	5.50	Clayey Silts	6.00	6.00	Menengah (Medium)	0.40	18.00	2.68	12.3	4.00	0.27	0.20	0.300	0
6.00	25.00	4.00	Clayey Silts	6.25	6.25	Menengah (Medium)	0.40	16.06	2.69	12.3	4.25	0.27	0.20	0.300	0
6.20	25.00	4.00	Clayey Silts	6.25	6.25	Menengah (Medium)	0.45	16.06	2.67	12.3	4.25	0.30	0.20	0.300	0
6.40	25.00	6.00	Clays	6.25	6.25	Menengah (Medium)	0.45	16.06	2.68	12.3	4.25	0.30	0.20	0.300	0
6.60	24.00	5.80	Clays	6.00	6.00	Menengah (Medium)	0.40	18.00	2.7	12	4.00	0.27	0.20	0.300	0
6.80	24.00	6.00	Clays	6.00	6.00	Menengah (Medium)	0.40	18.00	2.71	12	4.00	0.27	0.20	0.300	0
7.00	30.00	5.00	Clays	7.50	7.50	Menengah (Medium)	0.50	16.33	2.72	12	5.00	0.33	0.20	0.300	0
7.20	30.00	5.00	Clays	7.50	7.50	Menengah (Medium)	0.50	16.33	2.73	12	5.00	0.33	0.20	0.300	0
7.40	28.00	6.60	Clays	7.00	7.00	Menengah (Medium)	0.47	16.22	2.75	12	5.00	0.31	0.20	0.300	0

Kedalaman (m)	qC (kg/cm ²)	Rf (%)	Soil Type	Nilai NSPT (dari kolerasi)	Koreksi Nilai NSPT untuk N>15	Konsistensi Tanah	Taksiran harga (Cu)	γ_{sat} (kN/m ³)	Gs	γ_{dry} (kN/m ³)	C (kg/cm ²)	C' (kg/cm ²)	Poisson Ratio V	Modulus Young (kN/cm ²)	ϕ (friction angle)
7.60	30.00	5.00	Clays	7.50	7.50	Menengah (Medium)	0.50	16.33	2.71	12	5.00	0.33	0.20	0.300	0
7.80	30.00	5.00	Clays	7.50	7.50	Menengah (Medium)	0.50	16.33	2.73	12	5.00	0.33	0.20	0.300	0
8.00	25.00	6.00	Clays	6.25	6.25	Menengah (Medium)	0.45	16.06	2.76	12	4.25	0.30	0.20	0.300	0
8.20	24.00	6.60	Clays	6.00	6.00	Menengah (Medium)	0.40	16.00	2.71	12	4.00	0.27	0.20	0.300	0
8.40	26.00	5.40	Clays	6.50	6.50	Menengah (Medium)	0.46	16.11	2.72	12	4.50	0.31	0.20	0.300	0
8.60	30.00	5.00	Clays	7.50	7.50	Menengah (Medium)	0.50	16.33	2.71	12	5.00	0.33	0.20	0.300	0
8.80	30.00	6.60	Clays	7.50	7.50	Menengah (Medium)	0.50	16.33	2.71	12	5.00	0.33	0.20	0.300	0
9.00	30.00	6.60	Clays	7.50	7.50	Menengah (Medium)	0.50	16.33	2.73	12	5.00	0.33	0.20	0.300	0
9.20	31.00	5.70	Clays	7.75	7.75	Menengah (Medium)	0.50	16.39	2.71	12	5.25	0.33	0.20	0.300	0
9.40	30.00	8.30	Clays	7.50	7.50	Menengah (Medium)	0.50	16.33	2.71	12	5.00	0.33	0.20	0.300	0
9.60	35.00	5.70	Clays	8.75	8.75	Menengah (Medium)	0.55	16.61	2.73	12	6.00	0.37	0.20	0.300	0
9.80	35.00	5.70	Clays	8.75	8.75	Menengah (Medium)	0.55	16.61	2.72	12	6.00	0.37	0.20	0.300	0
10.00	35.00	7.00	Clays	8.75	8.75	Menengah (Medium)	0.55	16.61	2.74	12	6.00	0.37	0.20	0.300	0
10.20	30.00	6.70	Clays	7.50	7.50	Menengah (Medium)	0.50	16.33	2.71	12	5.00	0.33	0.20	0.300	0
10.40	30.00	6.70	Clays	7.50	7.50	Menengah (Medium)	0.50	16.33	2.72	12	5.00	0.33	0.20	0.300	0
10.60	35.00	5.70	Clays	8.75	8.75	Menengah (Medium)	0.55	16.61	2.73	12	6.00	0.37	0.20	0.300	0
10.80	35.00	7.20	Clays	8.75	8.75	Menengah (Medium)	0.55	16.61	2.71	12	6.00	0.37	0.20	0.300	0
11.00	35.00	7.20	Clays	8.75	8.75	Menengah (Medium)	0.55	16.61	2.72	12	6.00	0.37	0.20	0.300	0
11.20	40.00	6.20	Clays	10.00	10.00	Menengah (Medium)	0.60	16.89	2.75	12	7.00	0.40	0.20	0.300	0
11.40	40.00	6.20	Clays	10.00	10.00	Menengah (Medium)	0.60	16.89	2.73	12	7.00	0.40	0.20	0.300	0
11.60	35.00	7.20	Clays	8.75	8.75	Menengah (Medium)	0.60	16.61	2.75	12	6.00	0.40	0.20	0.300	0
11.80	35.00	7.20	Clays	8.75	8.75	Menengah (Medium)	0.55	16.61	2.74	12	6.00	0.37	0.20	0.300	0
12.00	35.00	7.20	Clays	8.75	8.75	Menengah (Medium)	0.55	16.61	2.71	12	6.00	0.37	0.20	0.300	0
12.20	35.00	7.20	Clays	8.75	8.75	Menengah (Medium)	0.55	16.61	2.72	12	6.00	0.37	0.20	0.300	0
12.40	40.00	6.20	Clays	10.00	10.00	Menengah (Medium)	0.60	16.89	2.72	12	7.00	0.40	0.20	0.300	0
12.60	40.00	7.40	Clays	10.00	10.00	Menengah (Medium)	0.60	16.89	2.7	12	7.00	0.40	0.20	0.300	0
12.80	45.00	5.60	Clays	11.43	11.43	Kaku (Stiff)	0.63	17.21	2.71	12	7.50	0.42	0.20	0.300	0
13.00	40.00	7.40	Clays	10.00	10.00	Menengah (Medium)	0.60	16.89	2.71	12	7.00	0.40	0.20	0.300	0
13.20	40.00	6.40	Clays	10.00	10.00	Menengah (Medium)	0.60	16.89	2.72	12	7.00	0.40	0.20	0.300	0
13.40	45.00	5.40	Clays	11.43	11.43	Kaku (Stiff)	0.63	17.21	2.75	12	7.50	0.42	0.20	0.300	0
13.60	50.00	5.00	Clayey Silts	12.86	12.86	Kaku (Stiff)	0.70	17.52	2.69	12.3	8.50	0.47	0.20	0.500	0
13.80	50.00	4.00	Clayey Silts	12.86	12.86	Kaku (Stiff)	0.70	17.52	2.69	12.3	8.50	0.47	0.20	0.500	0
14.00	45.00	5.60	Clays	11.43	11.43	Kaku (Stiff)	0.63	17.21	2.7	12.3	7.50	0.42	0.20	0.500	0
14.20	45.00	5.60	Clays	11.43	11.43	Kaku (Stiff)	0.63	17.21	2.72	12.3	7.50	0.42	0.20	0.500	0
14.40	50.00	5.00	Clayey Silts	12.86	12.86	Kaku (Stiff)	0.70	17.52	2.69	12.3	8.50	0.47	0.20	0.500	0
14.60	50.00	5.00	Clayey Silts	12.86	12.86	Kaku (Stiff)	0.70	17.52	2.69	12.3	8.50	0.47	0.20	0.500	0
14.80	50.00	5.00	Clayey Silts	12.86	12.86	Kaku (Stiff)	0.70	17.52	2.68	12.3	8.50	0.47	0.20	0.500	0
15.00	50.00	5.00	Clayey Silts	12.86	12.86	Kaku (Stiff)	0.70	17.52	2.71	12.3	8.50	0.47	0.20	0.500	0

“Halaman ini sengaja dikosongkan”



TUGAS AKHIR

AYOUT STA 141+100 - STA
141+600

DOSEN PEMBIMBING

Dr. Yudhi Lastiasih, ST.,
MT.,
Putu Tantri KS, ST., MT.

MAHASISWA

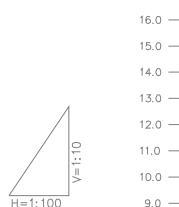
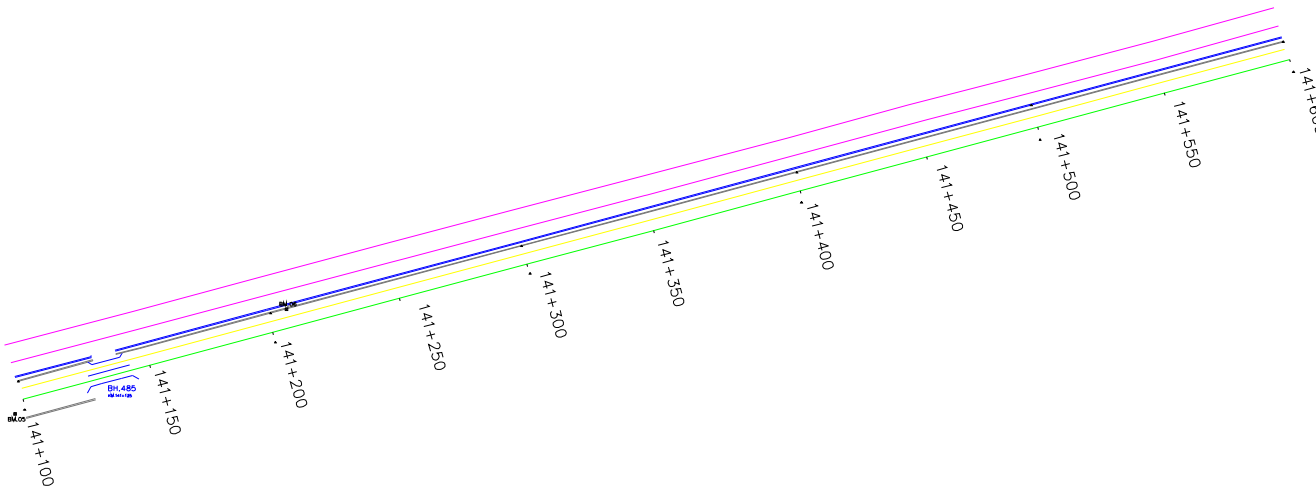
YUDHA PRATAMA NARRA P
3113100001

LAMPIRAN

2

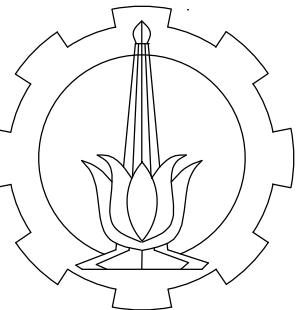
HALAMAN

119



DATUM: 7.00 m

EXISTING	KILOMETER POST	141+100	141+150	141+200	141+250	141+300	141+350	141+400	141+450	141+500	141+550	141+600
EXISTING	KILOMETER SURVEY	0.000	50.000	98.529	148.529	198.926	248.926	308.772	358.772	408.603	458.603	508.055
EXISTING	ELEVASI REL	10.568	10.557	10.443	10.344	10.223	10.249	10.166	10.182	10.164	10.213	10.205
EXISTING	LURUS / LENGKUNG			LURUS		LURUS		LURUS				



TUGAS AKHIR

POTONGAN STA 141+100 – STA
141+200

DOSEN PEMBIMBING

Dr. Yudhi Lastiasih, ST.,
MT.,
Putu Tantri KS, ST., MT.

MAHASISWA

YUDHA PRATAMA NARRA P
3113100001

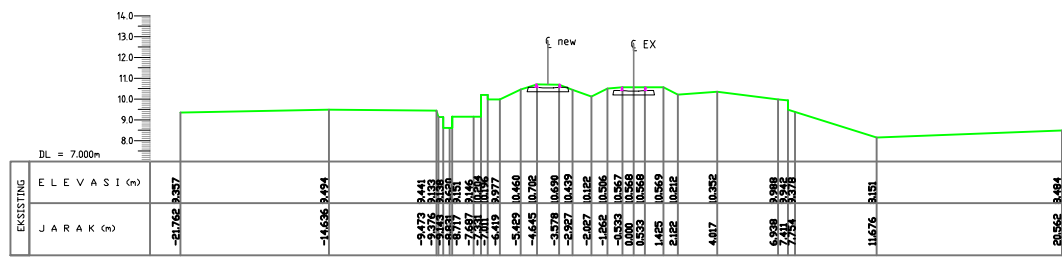
LAMPIRAN

2

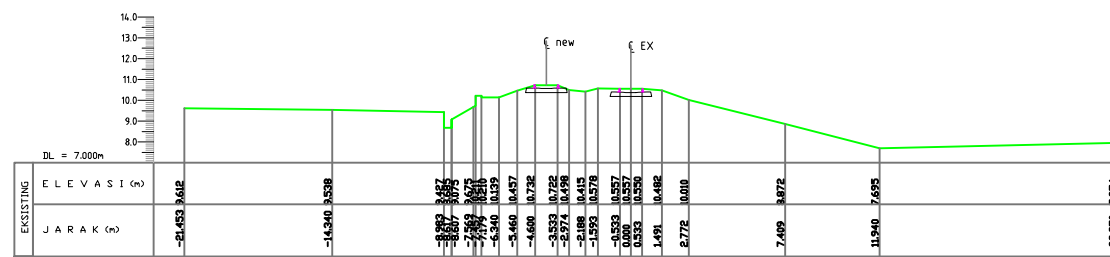
HALAMAN

120

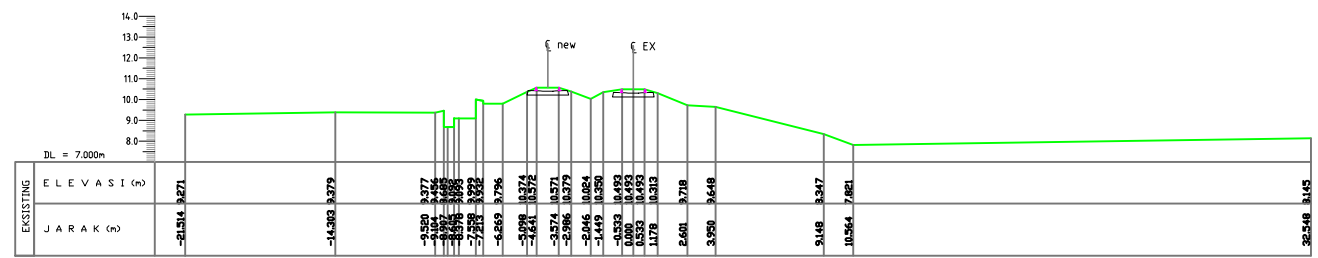
KM.141+100



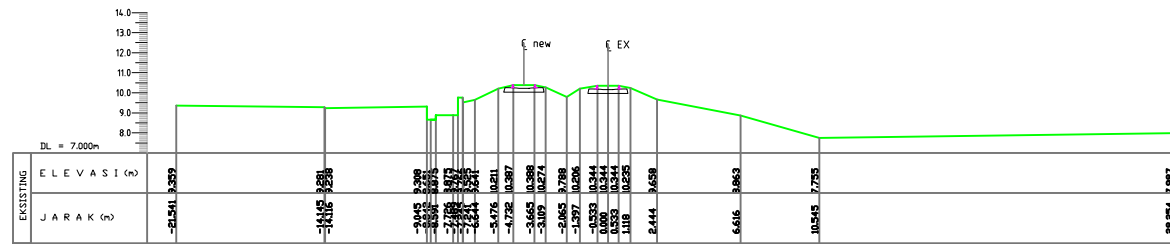
KM.141+150



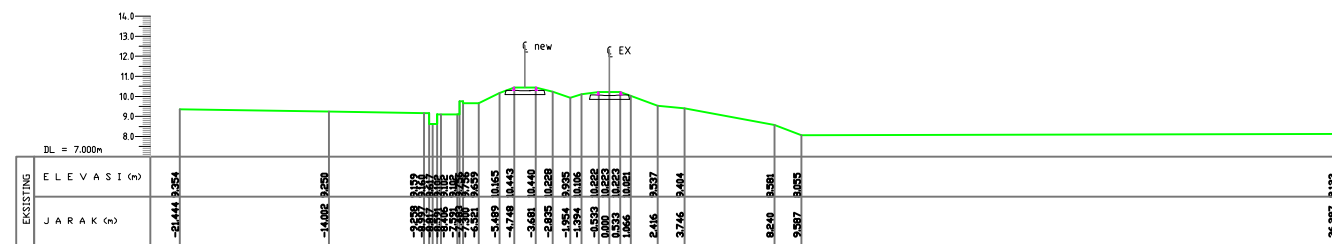
KM.141+200



KM.141+250



KM.141+300



KM.141+350



TUGAS AKHIR

LAYOUT STA 141+250 - STA
141+350

DOSEN PEMBIMBING

Dr. Yudhi Lastiasih, ST.,
MT.,
Putu Tantri KS, ST., MT.

MAHASISWA

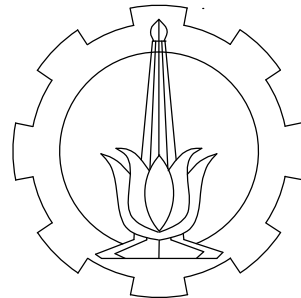
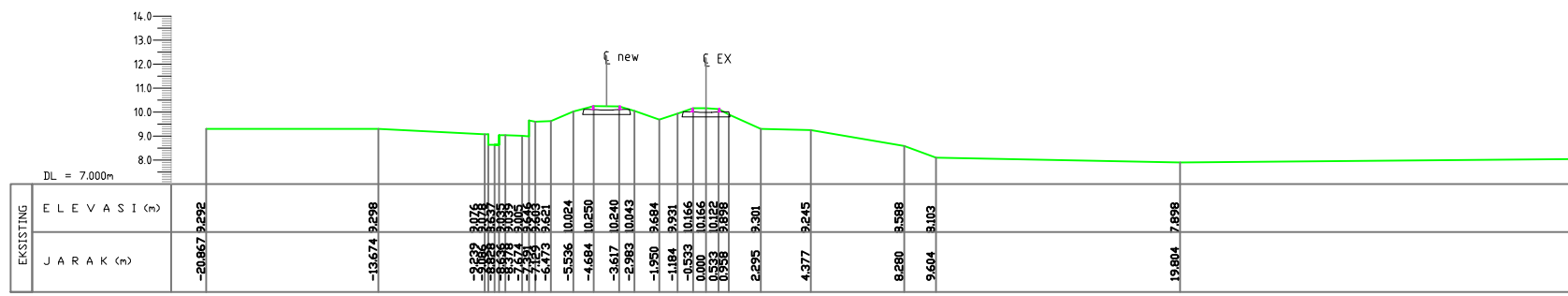
YUDHA PRATAMA NARRA P
3113100001

LAMPIRAN

2

HALAMAN

KM.141+400



TUGAS AKHIR

LAYOUT STA 141+400 - STA
141+500

DOSSEN PEMBIMBING

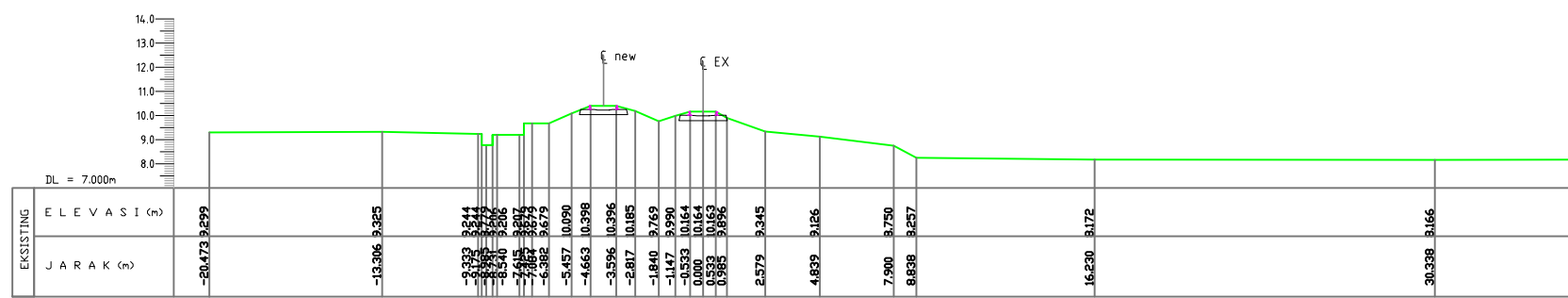
Dr. Yudhi Lastiasih, ST.,
MT.,
Putu Tantri KS, ST., MT.

MAHASISWA

YUDHA PRATAMA NARRA P
3113100001

LAMPIRAN

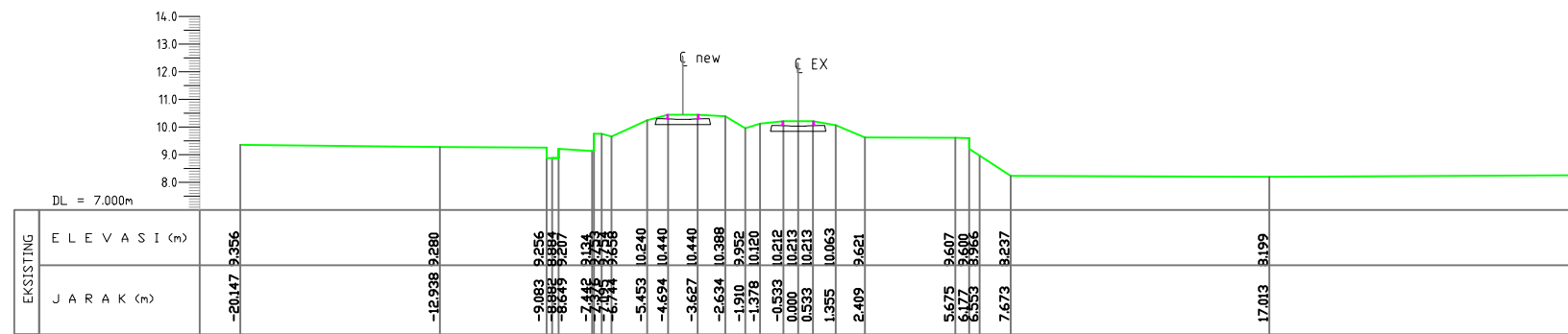
KM.141+500



2

HALAMAN

KM.141+550



TUGAS AKHIR

LAYOUT STA 141+550 - STA
141+600

DOSSEN PEMBIMBING

Dr. Yudhi Lastiasih, ST.,
MT.,
Putu Tantri KS, ST., MT.

MAHASISWA

YUDHA PRATAMA NARRA P
3113100001

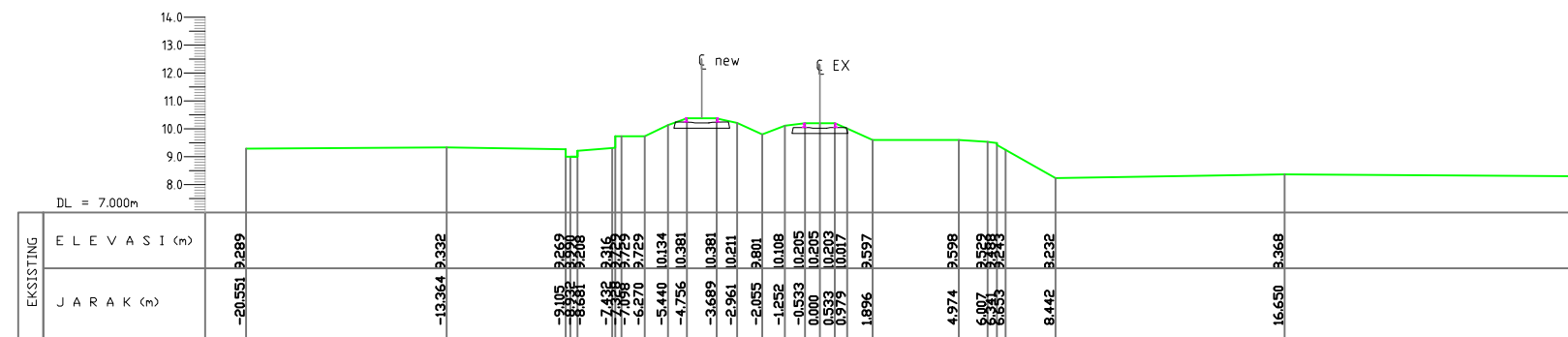
LAMPIRAN

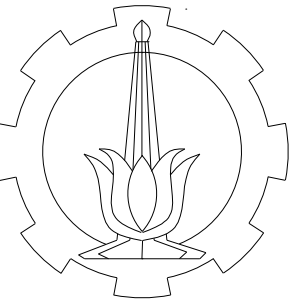
2

HALAMAN

123

KM.141+600





TUGAS AKHIR

Gambar Potongan Melintang Counterweight

DOSEN PEMBIMBING

Dr. Yudhi Lastiasih, ST.,
MT.,
Putu Tantri KS, ST., MT.

MAHASISWA

YUDHA PRATAMA NARRA P
3113100001

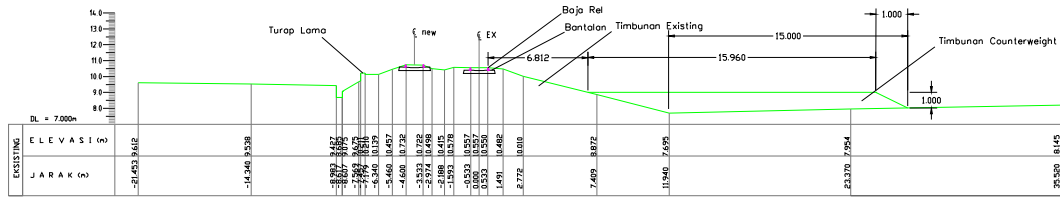
LAMPIRAN

2

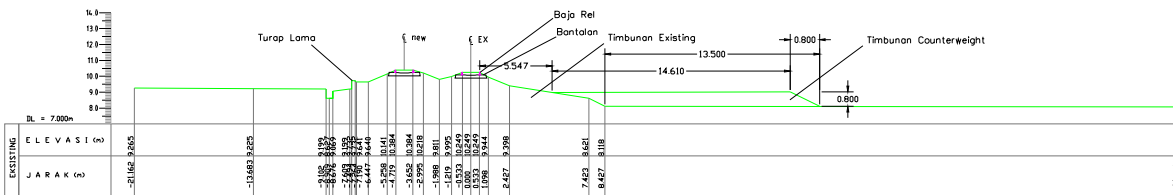
HALAMAN

124

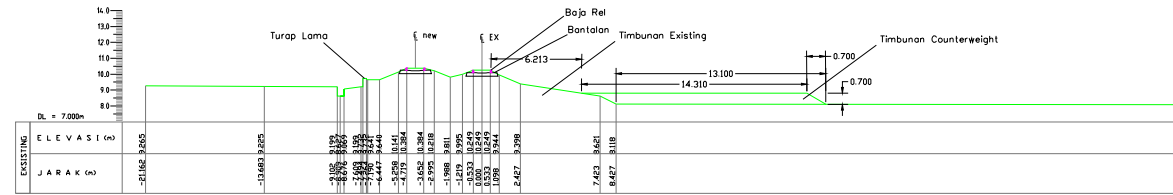
KM.141+150

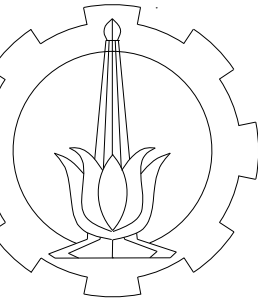


KM.141+350



KM.141+600





TUGAS AKHIR

Gambar Potongan Melintang Turap

DOSEN PEMBIMBING

Dr. Yudhi Lastiasih, ST.,
MT.,
Putu Tantri KS, ST., MT.

MAHASISWA

YUDHA PRATAMA NARRA P
3113100001

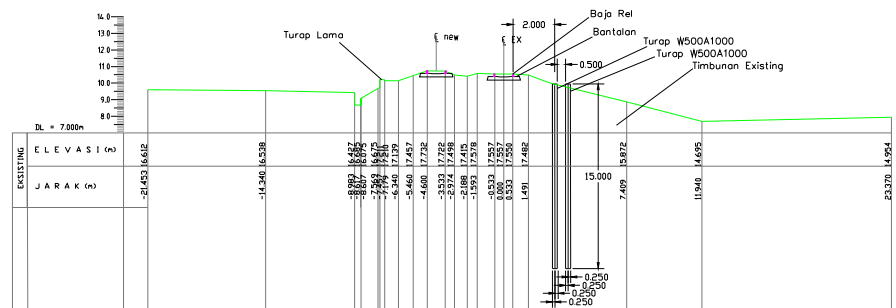
LAMPIRAN

2

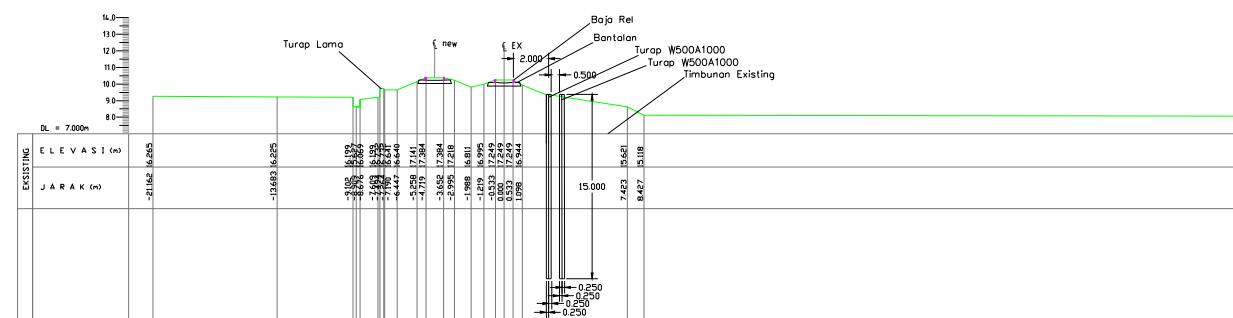
HALAMAN

125

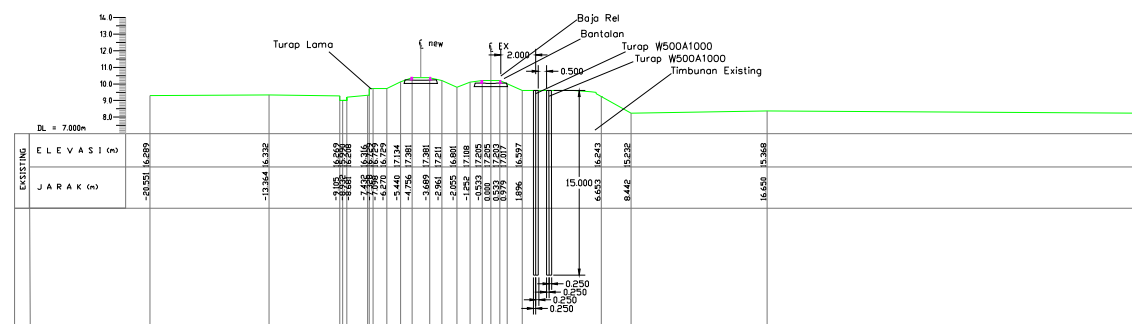
KM.141+150

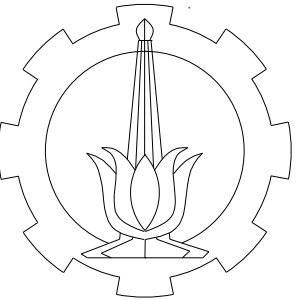


KM.141+350



KM.141+600





TUGAS AKHIR

Gambar Potongan Melintang
Turap Berjangkar

DOSEN PEMBIMBING

Dr. Yudhi Lastiasih, ST.,
MT.,
Putu Tantri KS, ST., MT.

MAHASISWA

YUDHA PRATAMA NARRA P
3113100001

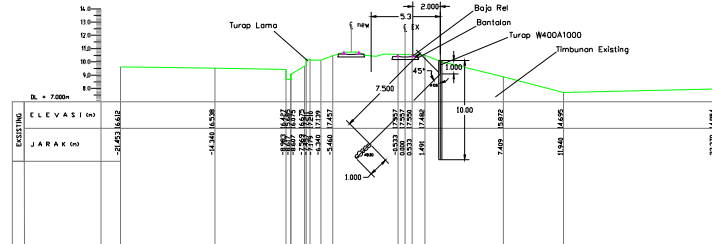
LAMPIRAN

2

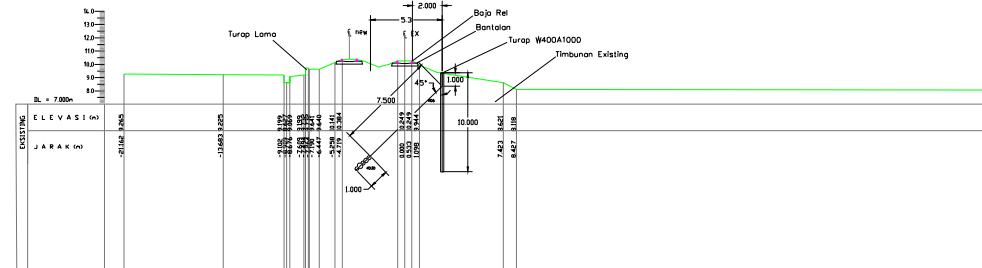
HALAMAN

126

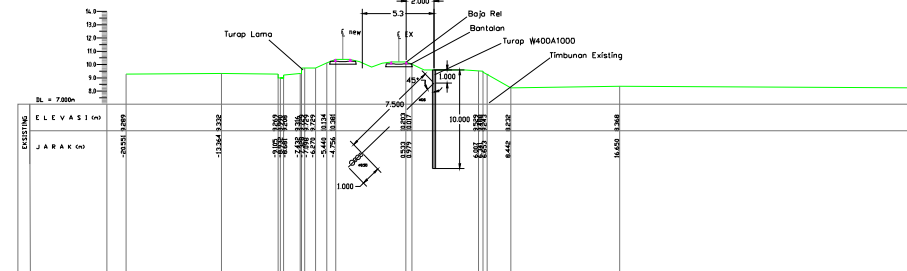
KM.141+150

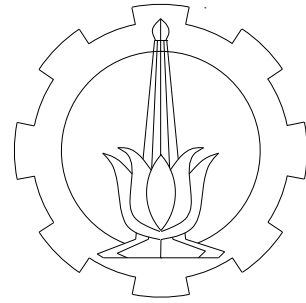
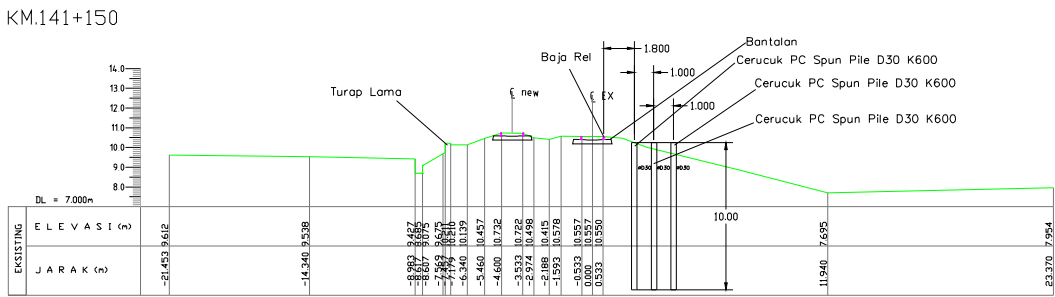


KM.141+350



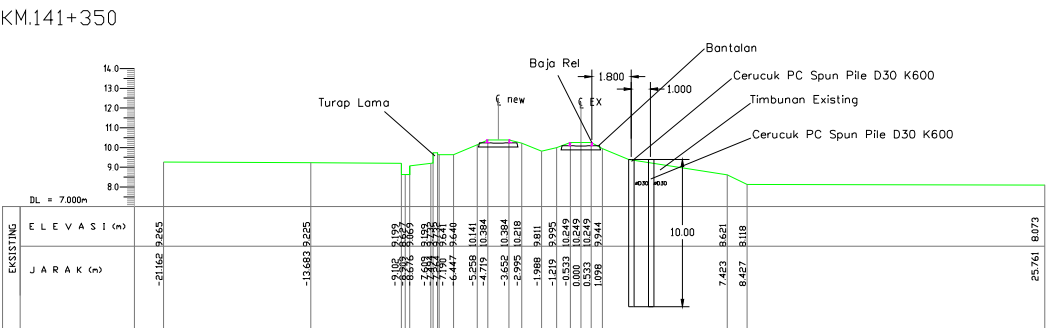
KM.141+600





TUGAS AKHIR

Gambar Potongan Melintang Cerucuk

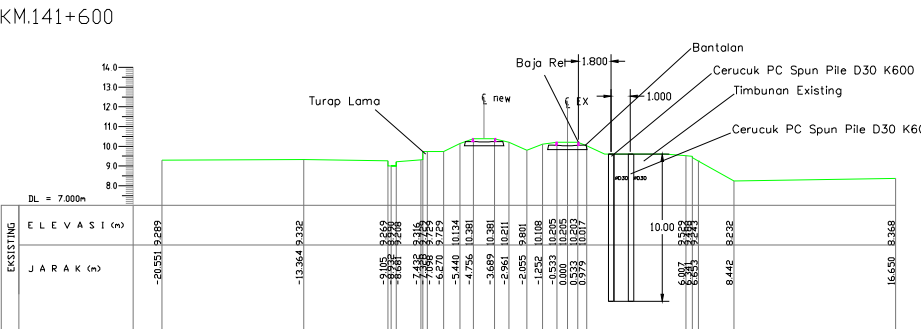


DOSSEN PEMBIMBING

Dr. Yudhi Lastiasih, ST.,
MT.,
Putu Tantri KS, ST., MT.

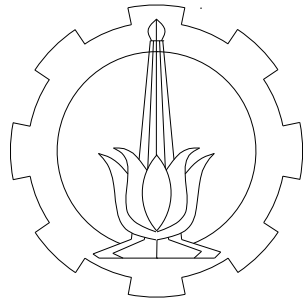
MAHASISWA

YUDHA PRATAMA NARRA P
3113100001



2

HALAMAN



TUGAS AKHIR

Gambar Tampak Atas
Counterweight

DOSEN PEMBIMBING

Dr. Yudhi Lastiasih, ST.,
MT.,
Putu Tantri KS, ST., MT.

MAHASISWA

YUDHA PRATAMA NARRA P
3113100001

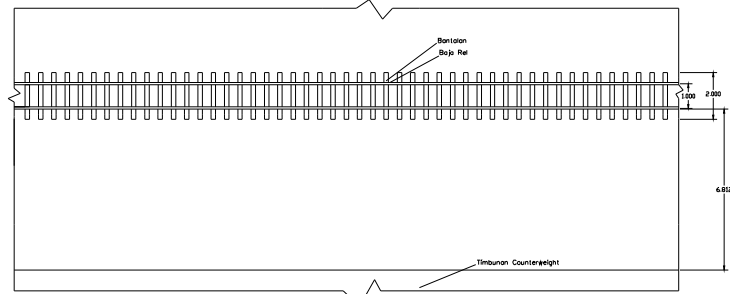
LAMPIRAN

2

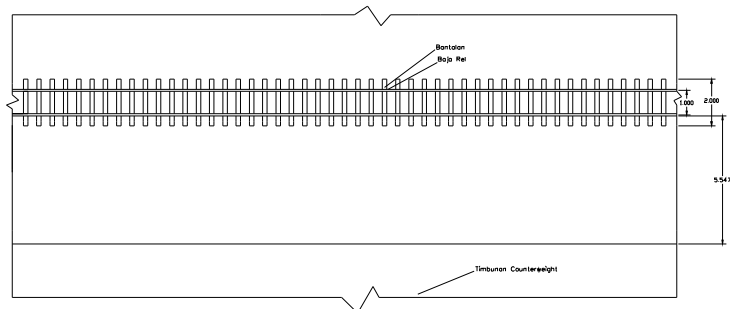
HALAMAN

128

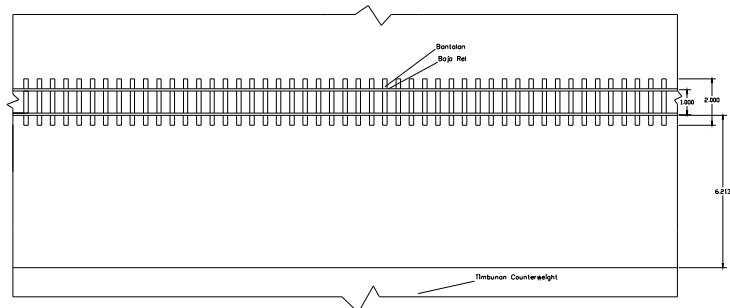
KM.141+150



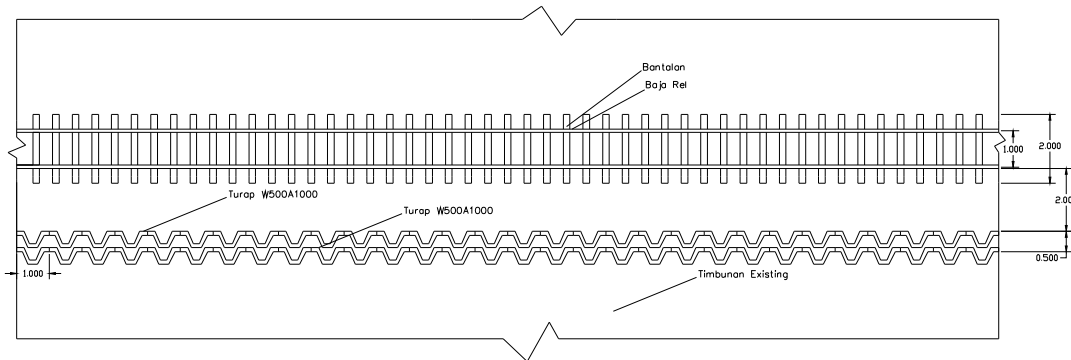
KM.141+350



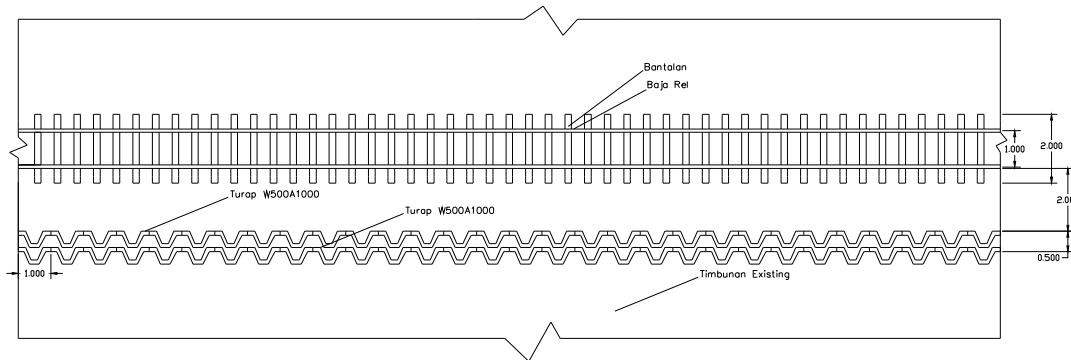
KM.141+600



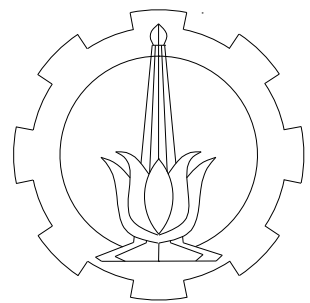
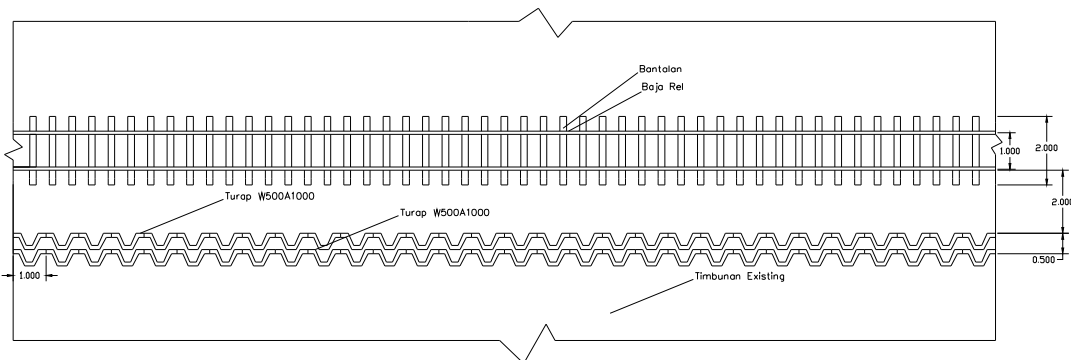
KM.141+150



KM.141+350



KM.141+600



TUGAS AKHIR

Gambar Tampak Atas Turap

DOSEN PEMBIMBING

Dr. Yudhi Lastiasih, ST.,
MT.,
Putu Tantri KS, ST., MT.

MAHASISWA

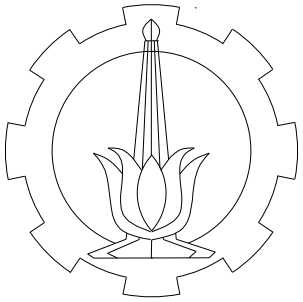
YUDHA PRATAMA NARRA P
3113100001

LAMPIRAN

2

HALAMAN

129



TUGAS AKHIR

Gambar Tampak Atas
Cerucuk

DOSEN PEMBIMBING

Dr. Yudhi Lastiasih, ST.,
MT.,
Putu Tantri KS, ST., MT.

MAHASISWA

YUDHA PRATAMA NARRA P
3113100001

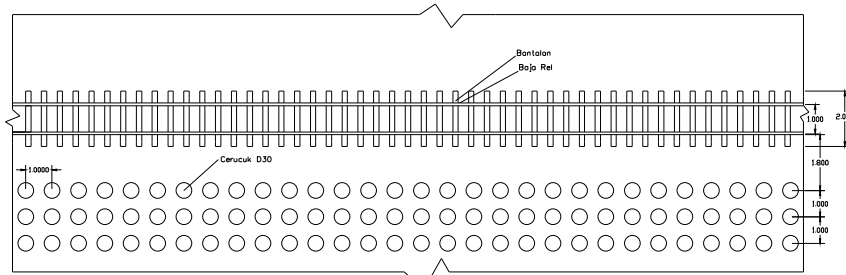
LAMPIRAN

2

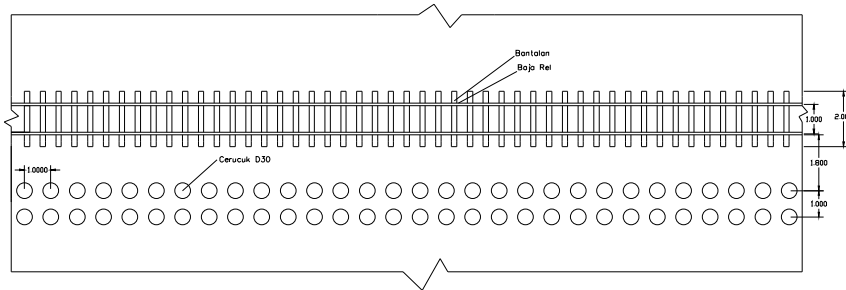
HALAMAN

130

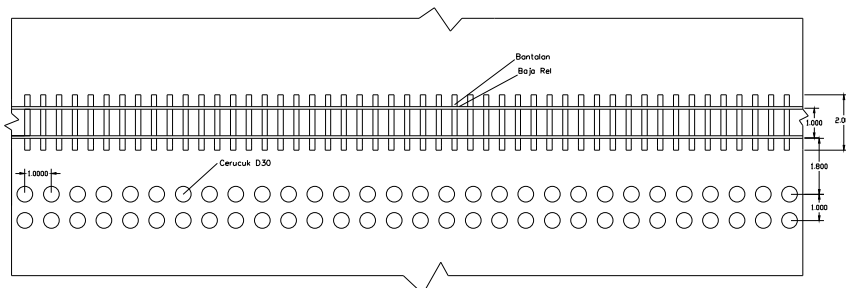
KM.141+150



KM.141+350

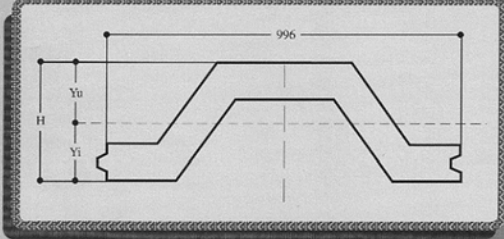


KM.141+600



Lampiran 3.a Spesifikasi Sheet Pile PT. Wijaya Karya Beton

CROSS SECTION CHARACTERISTIC							
TYPE	Height (cm)	Cross Section A (cm^2)	Distance from Neutral Axis Y_u (cm)	Yi(cm)	Moment of Inertia I (cm^4)	Section Modulus Z_u (cm^3)	Z_i (cm^3)
W-325 A 1000	32.5	1315	16.2	-16.2	134261	8262	-8262
W-350 A 1000	35	1468	17.5	-17.5	169432	9682	-9682
W-400 A 1000	40	1598	20	-20	248685	12434	-12434
W-450 A 1000	45	1835	22.5	-22.5	353354	15705	-15705
W-500 A 1000	50	1818	25	-25	462362	18494	-18494
W-600 A 1000	60	2078	30	-30	765907	25530	-25530
B							
B							




SHEET PILES –

10

PT WIJAYA KARYA BETON

CRACKING MOMENT CAPACITY AND RANGE OF LENGTH

TYPE	Height mm	Thickness mm	Width mm	Cracking Moment ft-m	Length (m)													
					8	9	10	11	12	13	14	15	16	17	18	19	20	21
W-325 A 1000 B	325	110	996	11.4 13.3														
W-350 A 1000 B	350	120	996	15.6 17														
W-400 A 1000 B	400	120	996	20.1 23.4														
W-450 A 1000 B	450	120	996	26.9 30.7														
W-500 A 1000 B	500	120	996	35.2 40.4														
W-600 A 1000 B	600	120	996	50.6 59.6														

WEIGHT

TYPE	Length (m)	Weight (t)
W-325 A 1000 B	8	2.63
	9	2.96
	10	3.29
	11	3.62
	12	3.94
	13	4.26
W-350 A 1000 B	14	4.60
	9	3.31
	10	3.67
	11	4.04
	12	4.41
	13	4.77
W-400 A 1000 B	14	5.14
	15	5.51
	10	4.00
	11	4.40
	12	4.80
	13	5.20
W-450 A 1000 B	14	5.60
	15	6.00
	16	6.40
	11	5.05
	12	5.51
	13	5.97
W-500 A 1000 B	14	6.42
	15	6.88
	16	7.34
	17	7.80
	12	5.46
	13	5.91
W-600 A 1000 B	14	6.36
	15	6.82
	16	7.27
	17	7.73
	18	8.18
	14	7.35
	15	7.87
	16	8.39
	17	8.91
	18	9.44
	19	9.97
	20	10.49
	21	10.02



Lampiran 3.b Spesifikasi *Spun Pile* PT. Wijaya Karya Beton

PC SPUN PILES

Wika PC spun pile is produced by the process of spinning. The high level of concrete compactness as a result of centrifugal force causes Wika PC spun pile to have high durability and permeability to withstand certain environment condition.

PC spun pile is designed to bear various types of structures. It is used among others on high-rise buildings, industrial buildings, marine structures, bridges, etc.

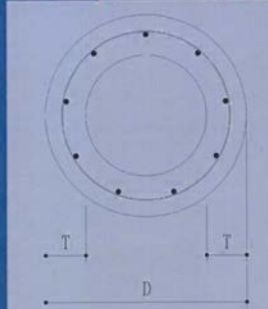
Description

Type of piles	: Prestressed Concrete Spun Piles
Splice system	: Welded at steel joint plate
Type of shoe	: Pencil (Standard Product) Mamira (Special Design)
Method of Driving	: Diesel or Hydraulic Hammer

Design and manufacturing references

Design	JIS A 5335 - 1987	Prestressed Spun Concrete Piles
	ACI 543R - 00	Design, Manufactured and Installation of Concrete Piles
	SNI 03-2847-2002	Indonesian Concrete Code
Manufacturing	JIS A 5335 - 1987	Prestressed Spun Concrete Piles
	WIIKA BETON-09-IK-005	Piles Manufacturing Work Instruction

Shape and Dimension

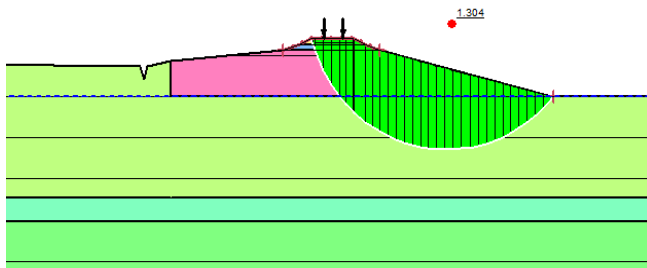


Specification of Material							
Item	Reference	Description			Specification		
Aggregate	ASTM C33 - 1999 NI 2 PBI - 1971	Standard Specification for Concrete Aggregates Indonesian Concrete Code			Standard product type I Special order : type II or V		
Cement	SNI 15-2049 - 2004	Portland Cement			Type F : water reducing admixtures		
Admixture	ASTM C494 - 1985	Standard Specification for Chemical Admixture for Concrete			Compressive Strength at: 28 days : 600 kgf/cm ² (cube)		
Concrete	SNI 03-2847-2002	Indonesian Concrete Code			SWPD 1		
PC Wire	JIS G 3356 - 1999	Uncoated Stress-Relieved Steel Wire and Strand for Prestressed Concrete			SBPD L 1275/1420		
PC Bar	JIS G 3137 - 1994	Small Size Deformed Steel Bars for Prestressed Concrete			SWMA / SWMP SS-400		
Spiral Wire Joint Plate	JIS G 3532 - 2000 JIS G 3101 - 2004	Low Carbon Steel Wire Rolled Steel for General Structure			AWS A.5.1 / E 6013 NIKKO STEEL RB 26 / RD 260, LION 26, or equivalent		
Welding	ANSI / AWS D1.1 - 1990	Structural Welding Code-Steel					

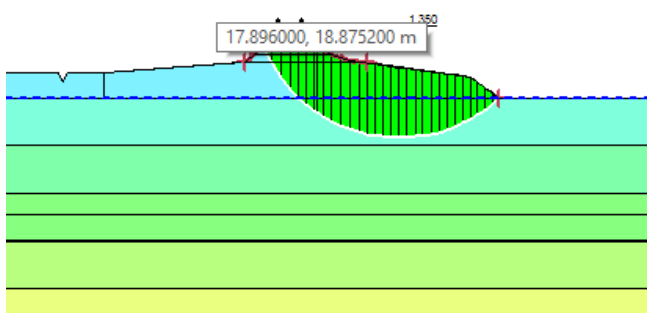
Classification							
Outside Diameter (mm)	Wall Thickness (mm)	Class	Concrete Cross Section (cm ²)	Unit Weight (Kg/m)	Length (m)	Bending Moment Crack (Ton.m)	Bending Moment Ultimate (Ton.m)
300	60	A2	452	113	6 - 13	2.50	3.75
		A3				3.00	4.50
		B				3.50	6.30
		C				4.00	8.00
350	65	A1	582	145	6 - 15	3.50	5.25
		A3				4.20	6.30
		B				5.00	9.00
		C				6.00	12.00
400	75	A2	766	191	6 - 16	5.50	8.25
		A3				6.50	9.75
		B				7.50	13.50
		C				9.00	18.00
450	80	A1	930	232	6 - 16	7.50	11.25
		A2				8.50	12.75
		A3				10.00	15.00
		B				11.00	19.80
		C				12.50	25.00
500	90	A1	1159	290	6 - 16	10.50	15.75
		A2				12.50	18.75
		A3				14.00	21.00
		B				15.00	27.00
		C				17.00	34.00
600	100	A1	1571	393	6 - 16	17.00	25.50
		A2				19.00	28.50
		A3				22.00	33.00
		B				25.00	45.00
		C				29.00	58.00

**Lampiran 4.a Hasil Analisis Stabilitas Timbunan
Sebelum Pembangunan Double Track**

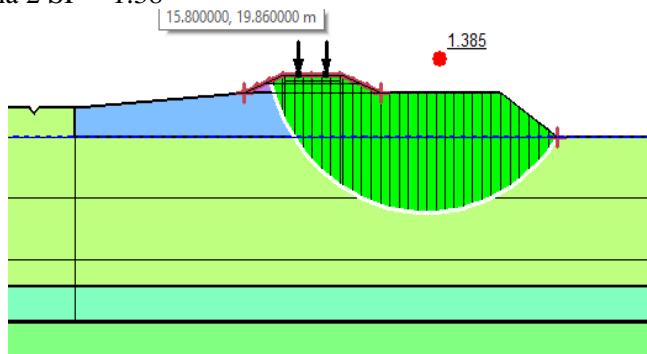
- Zona 1 SF = 1.304



- Zona 2 SF = 1.35

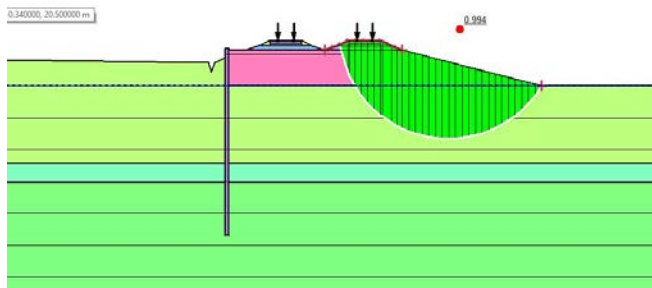


- Zona 2 SF = 1.38

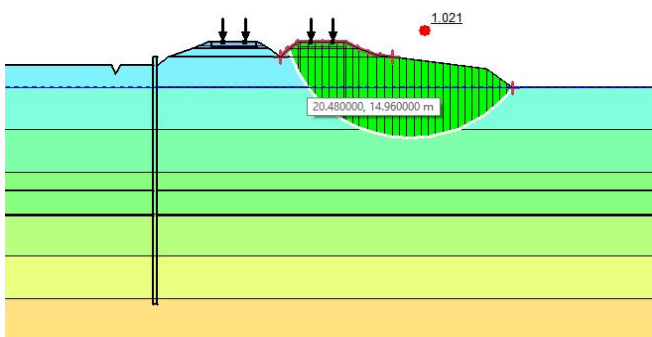


Setelah Pembangunan Double Track

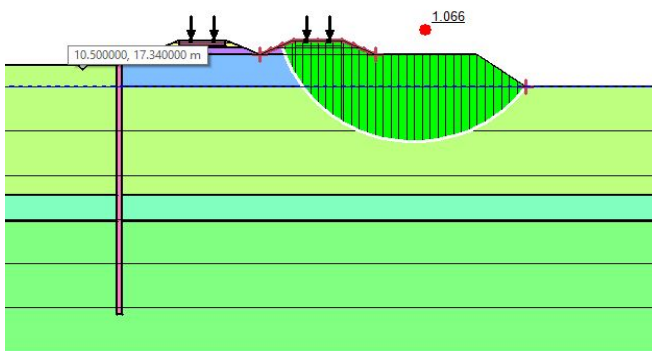
- Zona 1 SF = 0.99



- Zona 2 SF = 1.02



- Zona 3 SF = 1.06



Lampiran 4.b Perhitungan Tegangan Horisontal Aktif dan Pasif Turap Freestanding

- Zona 1

Lapisan	Kedalaman (m)	σ_v Aktif (t/m ²)	σ_v Pasif (t/m ²)	C' (ton/m ²)	ϕ	K _a	K _p	σ_h Aktif (t/m ²)	σ_h Pasif (t/m ²)
1	0 atas	2.51	0.00	0.67	15	0.59	0.00	0.45	0.00
	2 bawah	5.71	0.00	0.67	15	0.59	0.00	2.34	0.00
2	2 atas	5.71	0.00	1.30	0	1.00	1.00	3.11	2.60
	7 bawah	8.71	3.00	1.30	0	1.00	1.00	6.11	5.60
3	7 atas	8.71	3.00	2.50	0	1.00	1.00	3.71	8.00
	8.2 bawah	9.55	3.84	2.50	0	1.00	1.00	4.55	8.84
4	8.2 atas	9.55	3.84	3.50	0	1.00	1.00	2.55	10.84
	12 bawah	12.21	6.50	3.50	0	1.00	1.00	5.21	13.50
5	12 atas	12.21	6.50	3.50	0	1.00	1.00	5.21	13.50
	do bawah	12.21 + 0.70 do	6.50 + 0.70 do	3.50	0	1.00	1.00	5.21 + 0.70 do	13.50 + 0.70 do

- Zona 2

Lapisan	Kedalaman (m)	σ_v Aktif (t/m ²)	σ_v Pasif (t/m ²)	C' (ton/m ²)	ϕ	K _a	K _p	σ_h Aktif (t/m ²)	σ_h Pasif (t/m ²)
1	0 atas	2.51	0.00	0.67	15	0.59	0.00	0.45	0.00
	1.5 bawah	4.91	0.00	0.67	15	0.59	0.00	1.87	0.00
2	1.5 atas	4.91	0.00	1.30	0	1.00	1.00	2.31	2.60
	6.5 bawah	7.91	3.00	1.30	0	1.00	1.00	5.31	5.60
3	6.5 atas	7.91	3.00	2.50	0	1.00	1.00	2.91	8.00
	7.7 bawah	8.75	3.84	2.50	0	1.00	1.00	3.75	8.84
4	7.7 atas	8.75	3.84	3.50	0	1.00	1.00	1.75	10.84
	12 bawah	11.76	6.85	3.50	0	1.00	1.00	4.76	13.85
5	12 atas	11.76	6.85	3.50	0	1.00	1.00	4.76	13.85
	do bawah	11.76 + 0.70 do	6.85 + 0.70 do	3.50	0	1.00	1.00	4.76 + 0.70 do	13.85 + 0.70 do

- Zona 3

Lapisan	Kedalaman (m)	σ_v Aktif (t/m ²)	σ_v Pasif (t/m ²)	C' (ton/m ²)	ϕ	K _a	K _p	σ_h Aktif (t/m ²)	σ_h Pasif (t/m ²)
1	0 atas	2.51	0.00	0.67	15	0.59	0.00	0.45	0.00
	1.4 bawah	4.75	0.00	0.67	15	0.59	0.00	1.77	0.00
2	1.4 atas	4.75	0.00	1.30	0	1.00	1.00	2.15	2.60
	6.4 bawah	7.75	3.00	1.30	0	1.00	1.00	5.15	5.60
3	6.4 atas	7.75	3.00	2.50	0	1.00	1.00	2.75	8.00
	7.6 bawah	8.59	3.84	2.50	0	1.00	1.00	3.59	8.84
4	7.6 atas	8.59	3.84	3.50	0	1.00	1.00	1.59	10.84
	12 bawah	11.67	6.92	3.50	0	1.00	1.00	4.67	13.92
5	12 atas	11.67	6.92	3.50	0	1.00	1.00	4.67	13.92
	do bawah	11.67 + 0.70 do	6.92 + 0.70 do	3.50	0	1.00	1.00	4.67 + 0.70 do	13.92 + 0.70 do

Lampiran 4.c Perhitungan Tegangan Horisontal Aktif dan Pasif Turap Berangker

- Zona 1

Lapisan	Kedalaman (m)	σ_v Aktif (t/m ²)	σ_v Pasif (t/m ²)	(ton/m)	ϕ	Ka	Kp	σ_h Aktif (t/m ²)	σ_h Pasif (t/m ²)
1	0 atas	2.51	0.00	0.67	15	0.59	0.00	0.45	0.00
	2 bawah	5.71	0.00	0.67	15	0.59	0.00	2.34	0.00
2	2 atas	5.71	0.00	1.30	0	1.00	1.00	3.11	2.60
	6 bawah	8.11	2.40	1.30	0	1.00	1.00	5.51	5.00
3	6 atas	8.11	2.40	2.50	0	1.00	1.00	3.11	7.40
	do bawah	8.11 + 0.70 do	2.40 + 0.70 do	2.50	0	1.00	1.00	3.11 + 0.70 do	7.40 + 0.70 do

- Zona 2

Lapisan	Kedalaman (m)	σ_v Aktif (t/m ²)	σ_v Pasif (t/m ²)	C' (ton/m ²)	ϕ	Ka	Kp	σ_h Aktif (t/m ²)	σ_h Pasif (t/m ²)
1	0 atas	2.51	0.00	0.67	15	0.59	0.00	0.45	0.00
	1.5 bawah	4.91	0.00	0.67	15	0.59	0.00	1.87	0.00
2	1.5 atas	4.91	0.00	1.30	0	1.00	1.00	2.31	2.60
	6 bawah	7.61	2.70	1.30	0	1.00	1.00	5.01	5.30
3	6 atas	7.61	2.70	2.50	0	1.00	1.00	2.61	7.70
	do bawah	7.61 + 0.70 do	2.70 + 0.70 do	2.50	0	1.00	1.00	2.61 + 0.70 do	7.70 + 0.70 do

- Zona 3

Kedalaman (m)	σ_v Aktif (t/m ²)	σ_v Pasif (t/m ²)	C' (ton/m ²)	ϕ	Ka	Kp	σ_h Aktif (t/m ²)	σ_h Pasif (t/m ²)
0 atas	2.51	0.00	0.67	15	0.59	0.00	0.45	0.00
1.4 bawah	4.75	0.00	0.67	15	0.59	0.00	1.77	0.00
1.4 atas	4.75	0.00	1.30	0	1.00	1.00	2.15	2.60
6 bawah	7.51	2.76	1.30	0	1.00	1.00	4.91	5.36
6 atas	7.51	2.76	2.50	0	1.00	1.00	2.51	7.76
do bawah	7.51 + 0.70 do	2.76 + 0.70 do	2.50	0	1.00	1.00	2.51 + 0.70 do	7.76 + 0.70 do

Lampiran 4.d Perhitungan Jumlah Turap Freestanding yang akan Dipasang
- Zona 1

Persamaan Momen (M_x) ($x = d_0$)	Turunan Persamaan Momen ($dy.M_x/dx$) ($x = d_0$)	x_1 (m)	x_2 (m)	M_{max} (t.m)	M_{max} kg.cm	σ_{ijin} (kg/cm 2)	Section Modulus Sheetpile (cm $^3/m^2$)	Section Modulus Sheetpile (cm $^3/m^3$)	Jumlah Turap
0.00 do 3 + -4.15 do 2 + -25.53 do + 36.02= 0.00	0.00 do 2 + -8.29 do + -25.53= 0.00	-3.08	-3.08	75.34	7533757.089	1500	5022.5047	18494	1

- Zona 2

Persamaan Momen (M_x) ($x = d_0$)	Turunan Persamaan Momen ($dy.M_x/dx$) ($x = d_0$)	x_1 (m)	x_2 (m)	M_{max} (t.m)	M_{max} kg.cm	σ_{ijin} (kg/cm 2)	Section Modulus Sheetpile (cm $^3/m^2$)	Section Modulus Sheetpile (cm $^3/m^3$)	Jumlah Turap
0.00 do 3 + -4.55 do 2 + -39.13 do + -36.93= 0.00	0.00 do 2 + -9.09 do + -39.13= 0.00	-4.30	-4.30	47.28	4727950.262	1500	3151.9668	18494	1

- Zona 3

Persamaan Momen (M_x) ($x = d_0$)	Turunan Persamaan Momen ($dy.M_x/dx$) ($x = d_0$)	x_1 (m)	x_2 (m)	M_{max} (t.m)	M_{max} kg.cm	σ_{ijin} (kg/cm 2)	Section Modulus Sheetpile (cm $^3/m^2$)	Section Modulus Sheetpile (cm $^3/m^3$)	Jumlah Turap
0.00 do 3 + -4.63 do 2 + -41.92 do + -52.55= 0.00	0.00 do 2 + -9.25 do + -41.92= 0.00	-4.53	-4.53	42.41	4241263.697	1500	2827.5091	18494	1

Lampiran 4.e Perhitungan Jumlah Turap Angker yang akan Dipasang

- Zona 1

Persamaan Momen (M_x) ($x = d_0$)	Turunan Persamaan Momen ($dy.M_x/dx$) ($x = d_0$)	x_1 (m)	x_2 (m)	M_{max} (t.m)	M_{max} kg.cm	σ_{ijin} (kg/cm 2)	Section Modulus Sheetpile (cm $^3/m^2$)	Section Modulus Sheetpile (cm $^3/m^3$)	Jumlah Turap
0.00 do 3 + -2.19 do 2 + -15.68 do + 27.85= 0.00	0.00 do 2 + -4.29 do + -15.68= 0.00	-3.65	-3.65	56.49	5648506.265	1500	3765.6708	8262	1

- Zona 2

Persamaan Momen (M_x) ($x = d_0$)	Turunan Persamaan Momen ($dy.M_x/dx$) ($x = d_0$)	x_1 (m)	x_2 (m)	M_{max} (t.m)	M_{max} kg.cm	σ_{ijin} (kg/cm 2)	Section Modulus Sheetpile (cm $^3/m^2$)	Section Modulus Sheetpile (cm $^3/m^3$)	Jumlah Turap
0.00 do 3 + -2.55 do 2 + -19.68 do + 17.34= 0.00	0.00 do 2 + -5.09 do + -19.68= 0.00	-3.87	-3.87	55.37	5536680.707	1500	3691.1205	8262	1

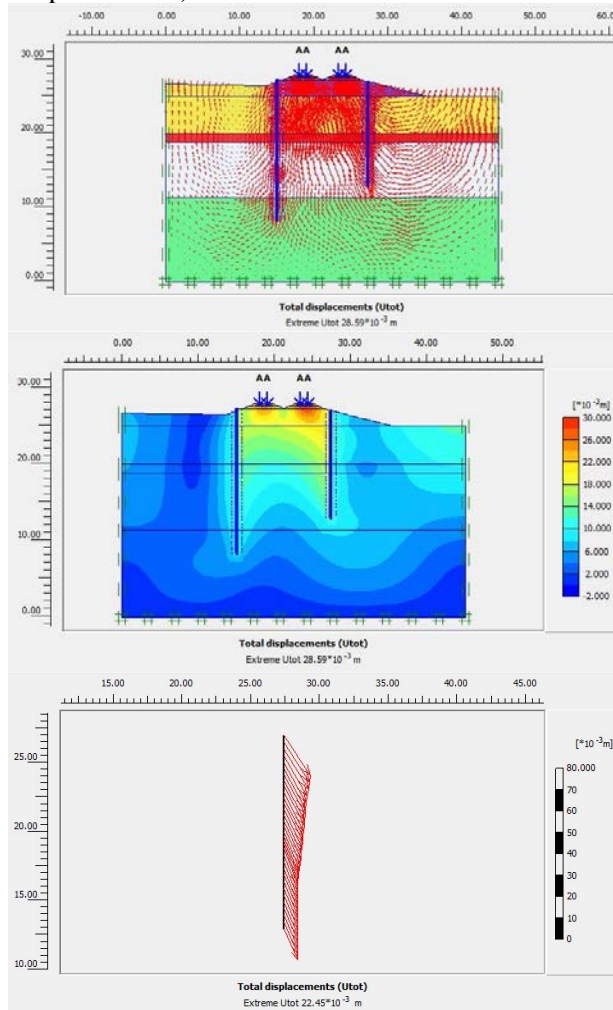
- Zona 3

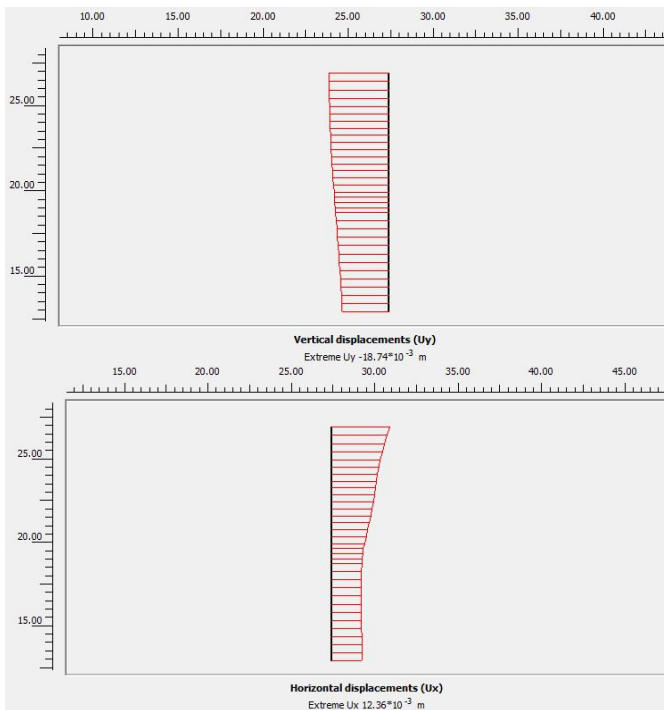
Persamaan Momen (M_x) ($x = d_0$)	Turunan Persamaan Momen ($dy.M_x/dx$) ($x = d_0$)	x_1 (m)	x_2 (m)	M_{max} (t.m)	M_{max} kg.cm	σ_{ijin} (kg/cm 2)	Section Modulus Sheetpile (cm $^3/m^2$)	Section Modulus Sheetpile (cm $^3/m^3$)	Jumlah Turap
0.00 do 3 + -2.63 do 2 + -20.48 do + 15.26= 0.00	0.00 do 2 + -5.25 do + -20.48= 0.00	-3.90	-3.90	55.18	5518470.17	1500	3678.9801	8262	1

Lampiran 4.f Hasil Analisis Turap Freestanding dengan Program Bantu Plaxis

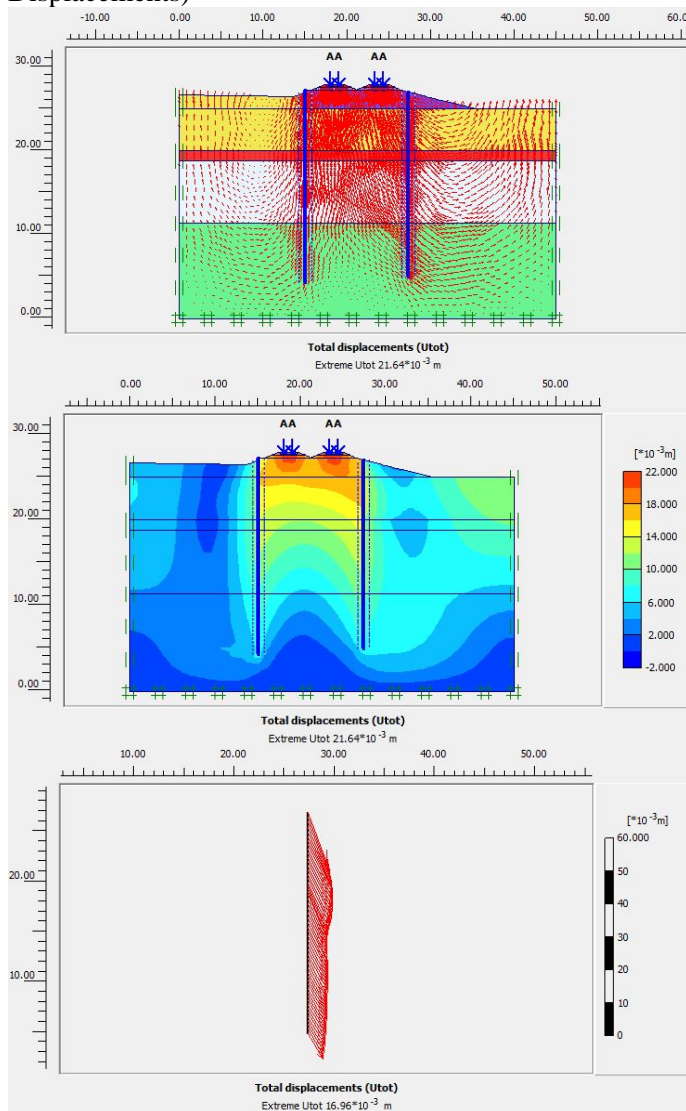
-Zona 1

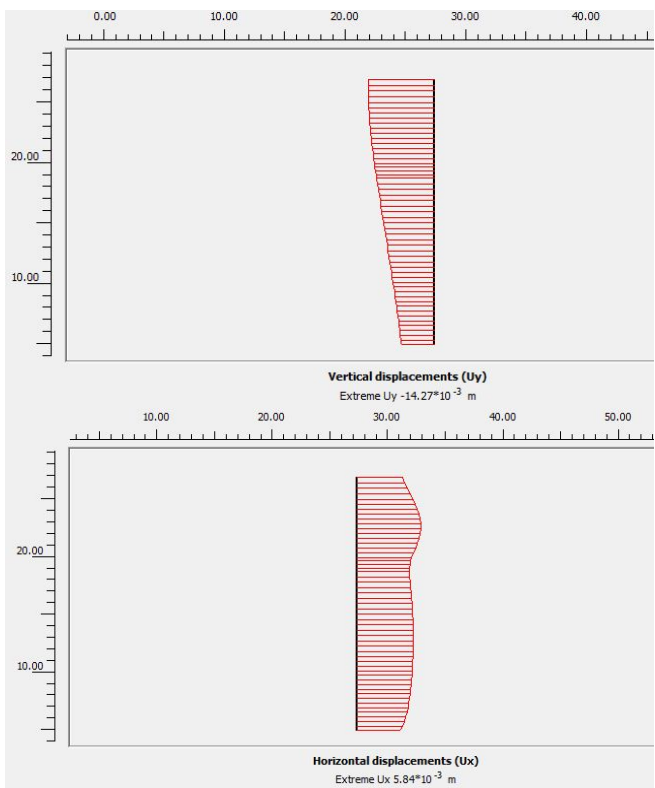
Panjang Turap 14 m Profil W500 A1000 (Arrow, Shading, Displacements)





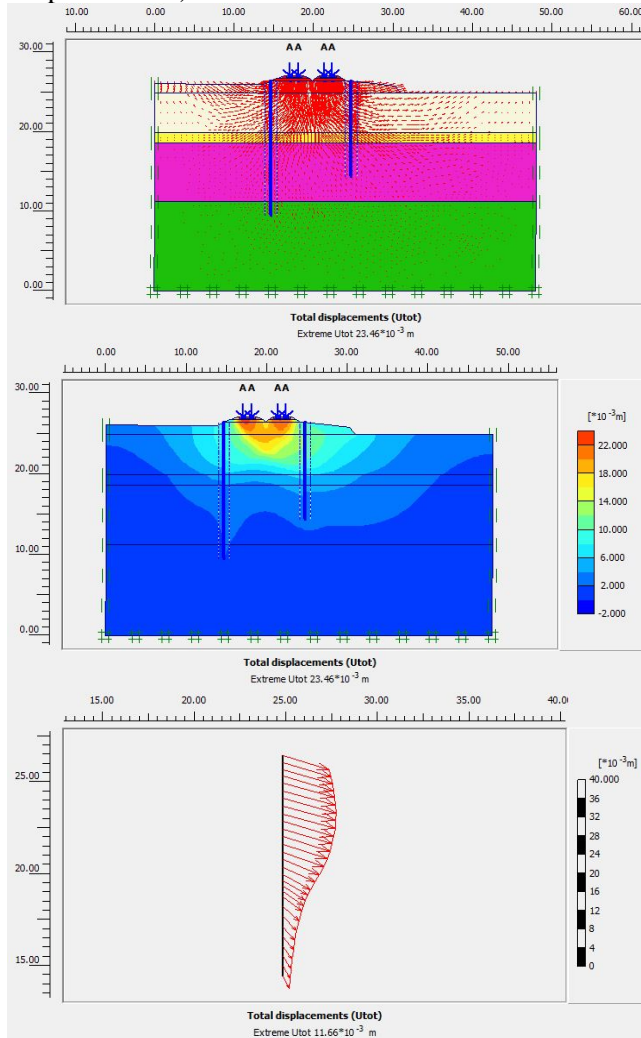
Panjang Turap 21 m Profil W600 A1000 (Arrow, Shading, Displacements)

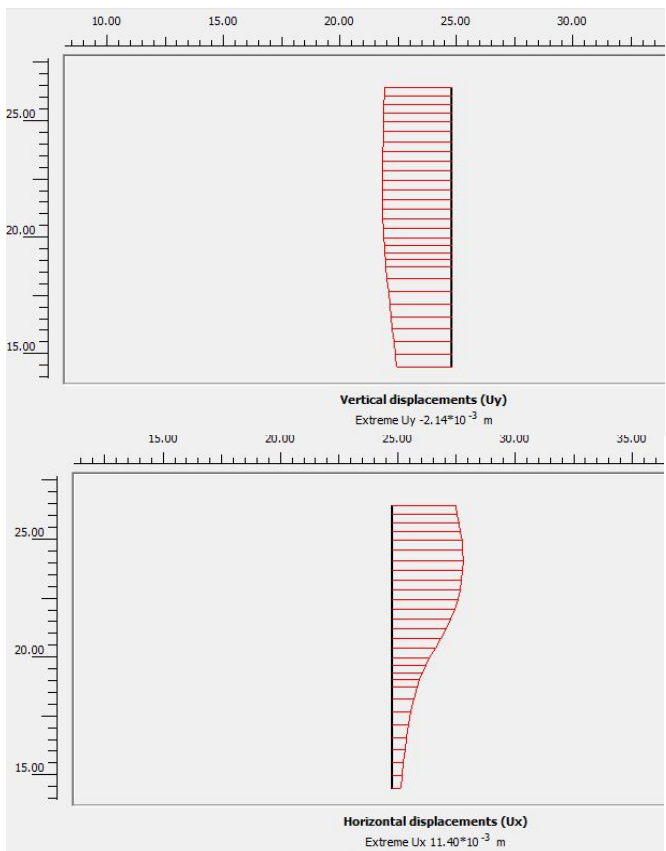




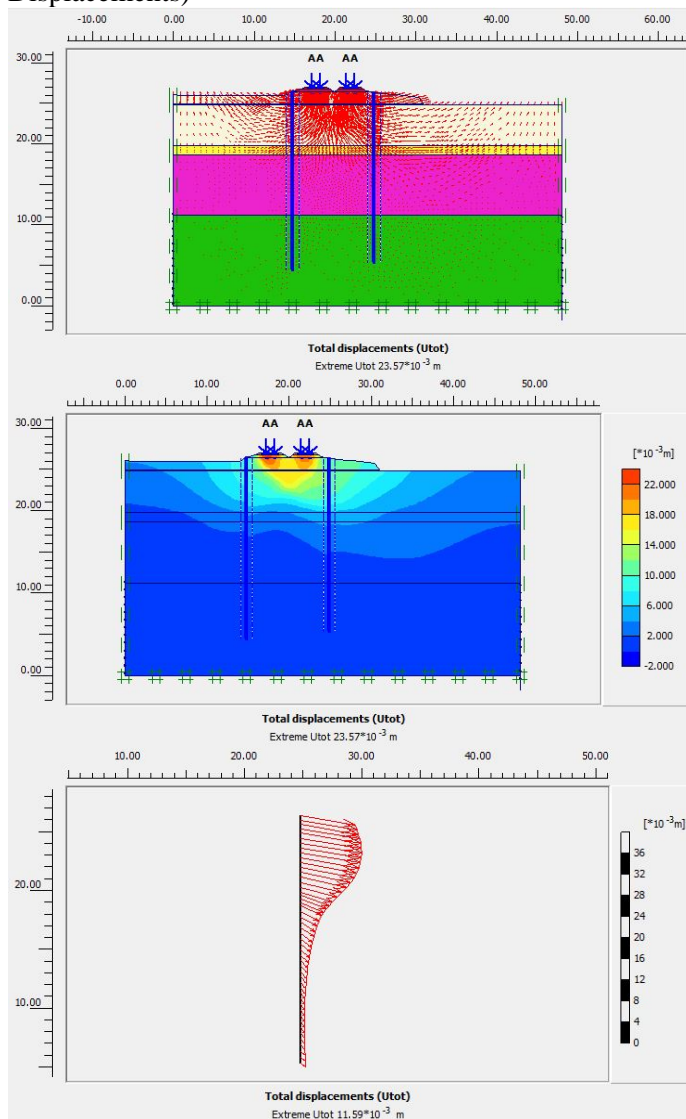
-Zona 2

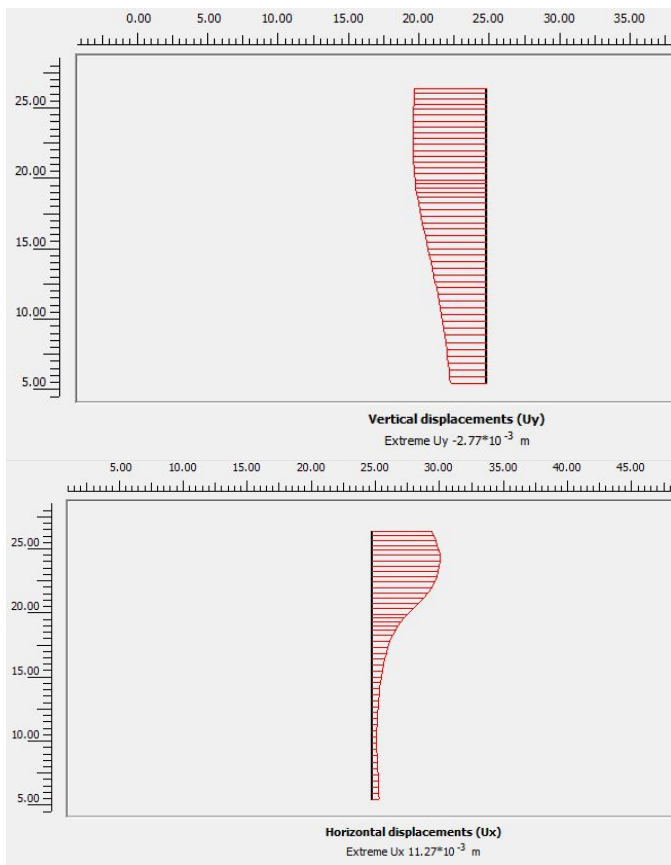
Panjang Turap 12 m Profil W500 A1000 (Arrow, Shading, Displacements)





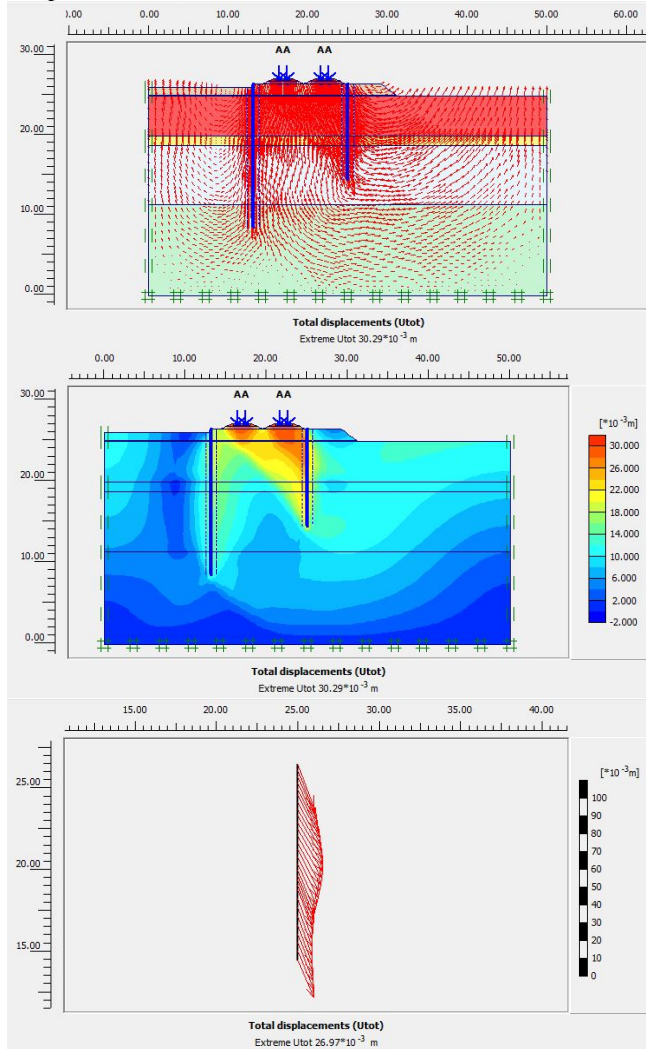
Panjang Turap 21 m Profil W600 A1000 (Arrow, Shading, Displacements)

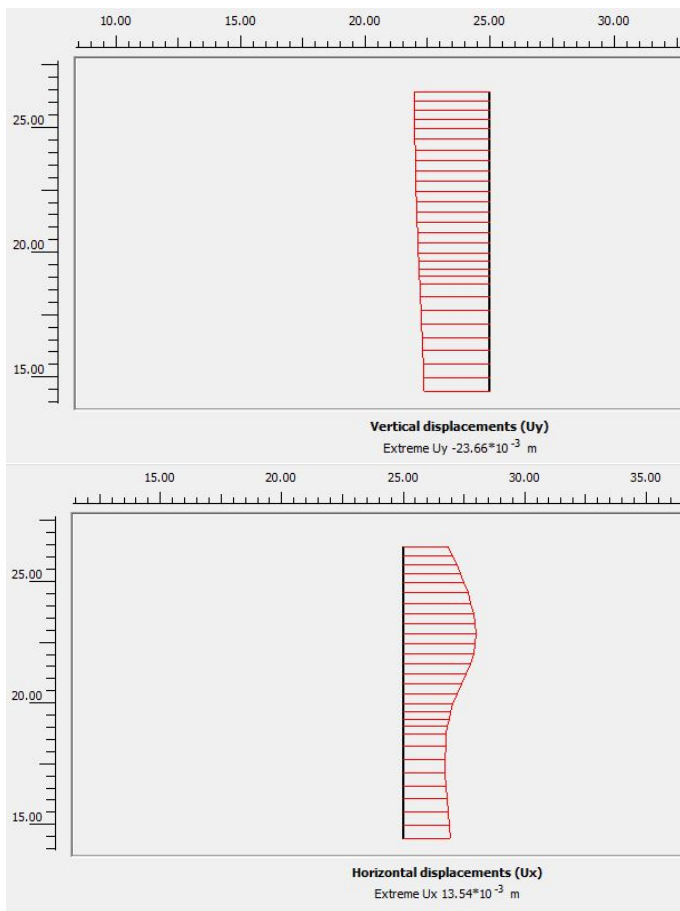




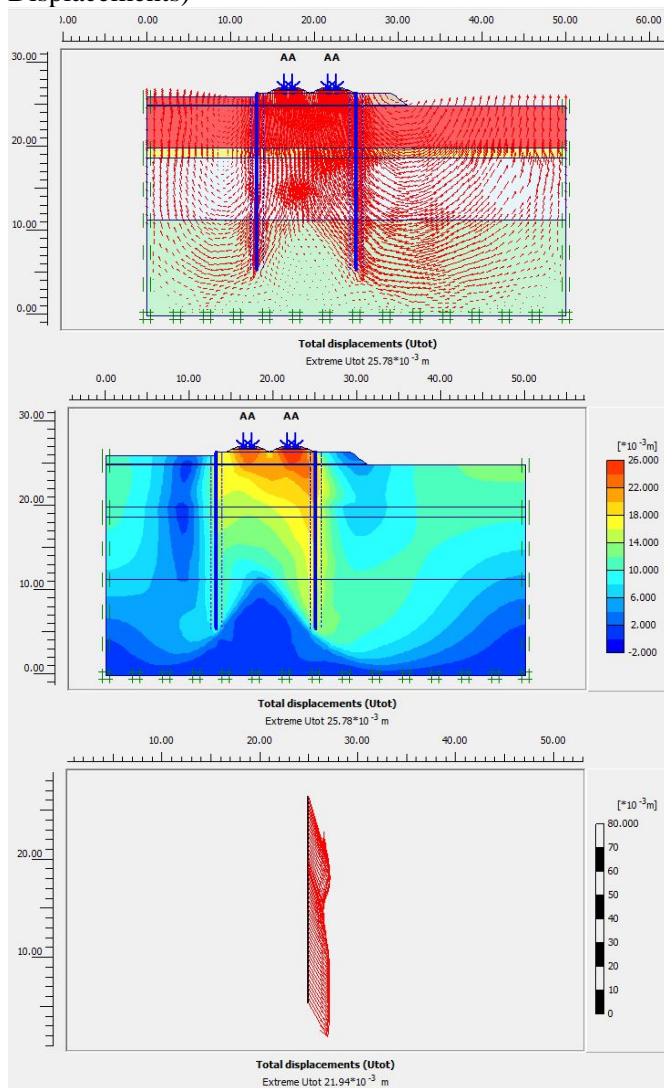
-Zona 3

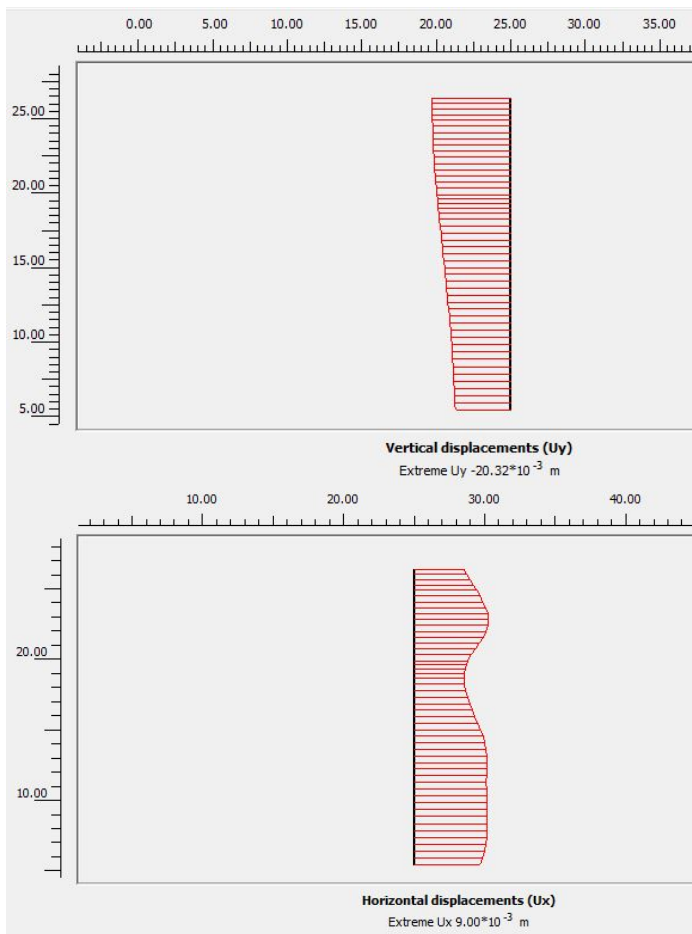
Panjang Turap 12 m Profil W500 A1000 (Arrow, Shading, Displacements)





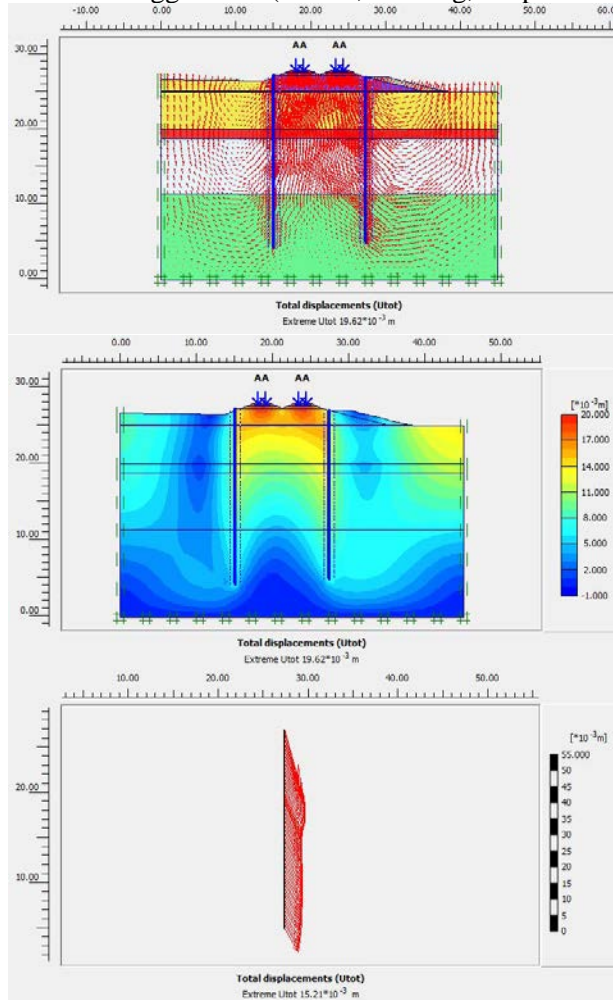
Panjang Turap 21 m Profil W600 A1000 (Arrow, Shading, Displacements)

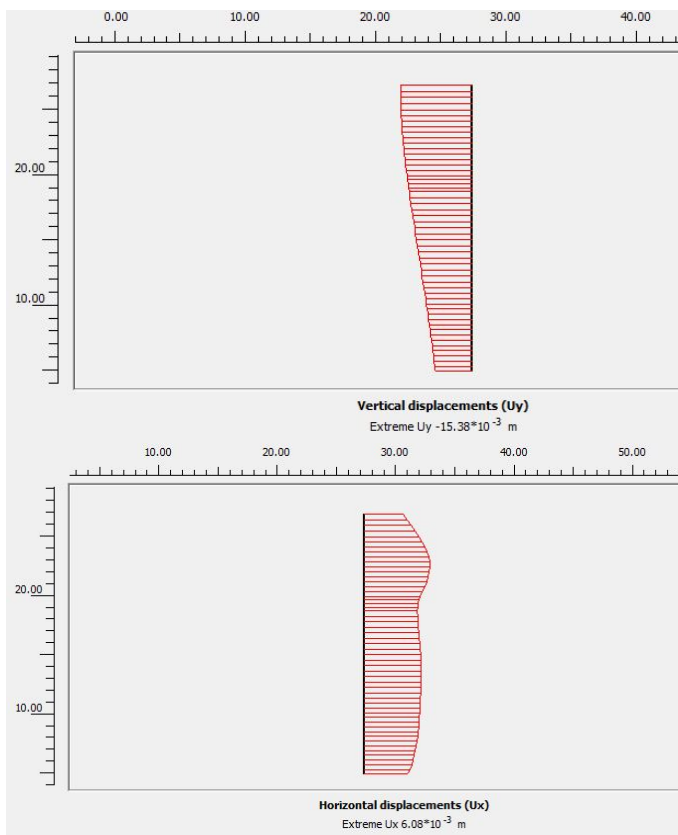




Lampiran 4.g Hasil Analisis Turap Freestanding dikombinasikan dengan Counterweight dengan Program Bantu Plaxis
-Zona 1

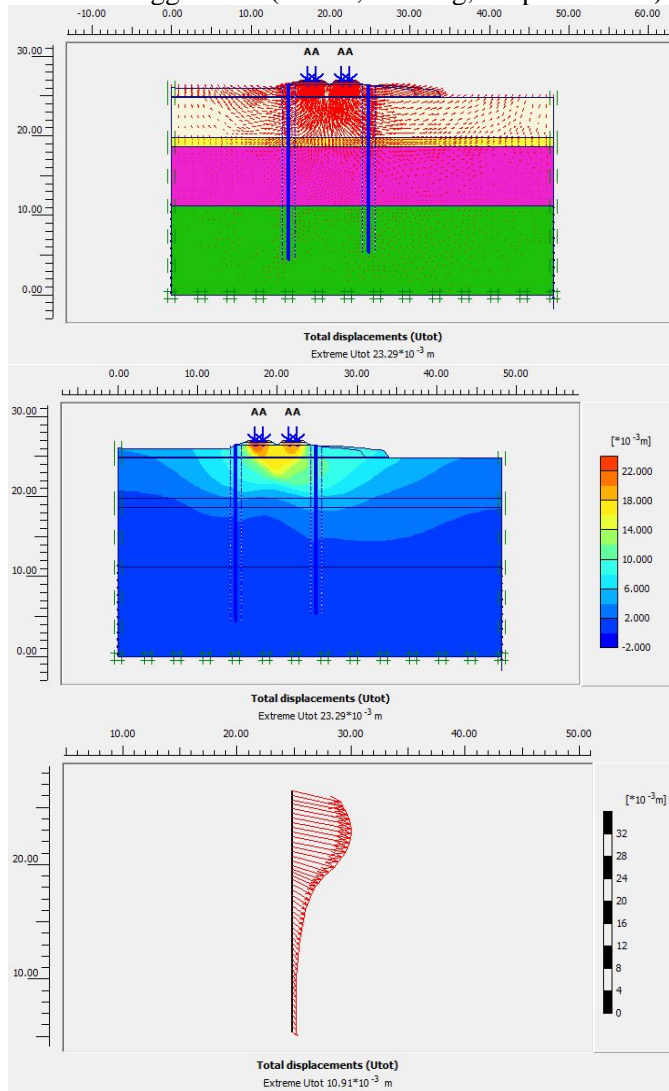
Panjang Turap 21 m Profil W600 A1000 dengan Timbunan Lebar 3 m dan Tinggi 1.9 m (Arrow, Shading, Displacements)

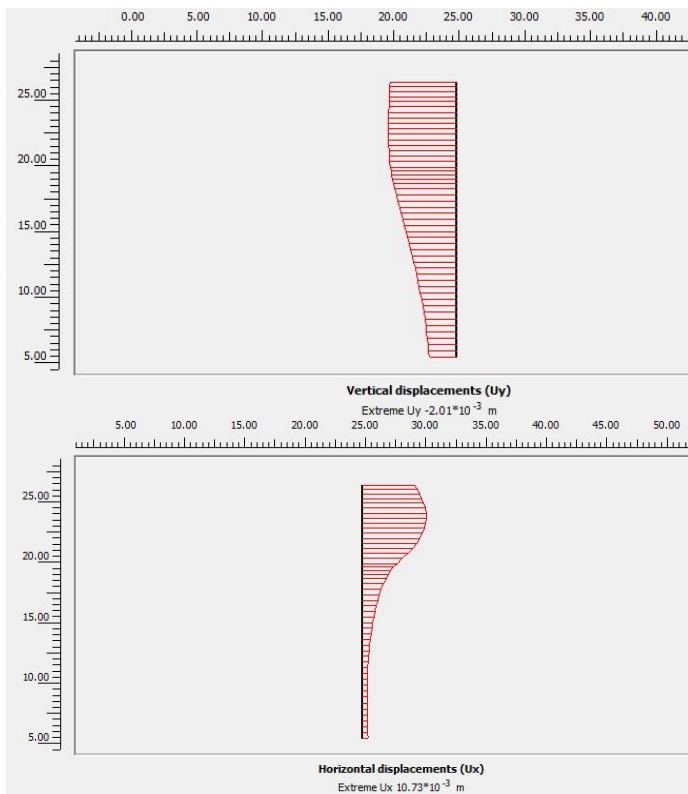




-Zona 2

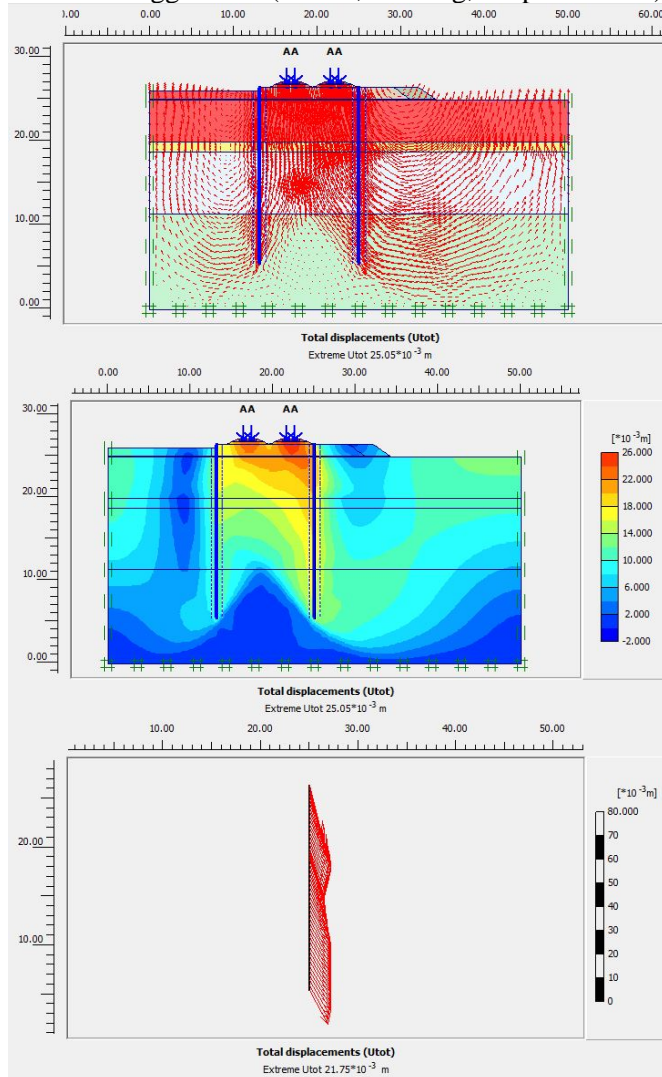
Panjang Turap 21 m Profil W600 A1000 dengan Timbunan Lebar 3 m dan Tinggi 1.4 m (Arrow, Shading, Displacements)

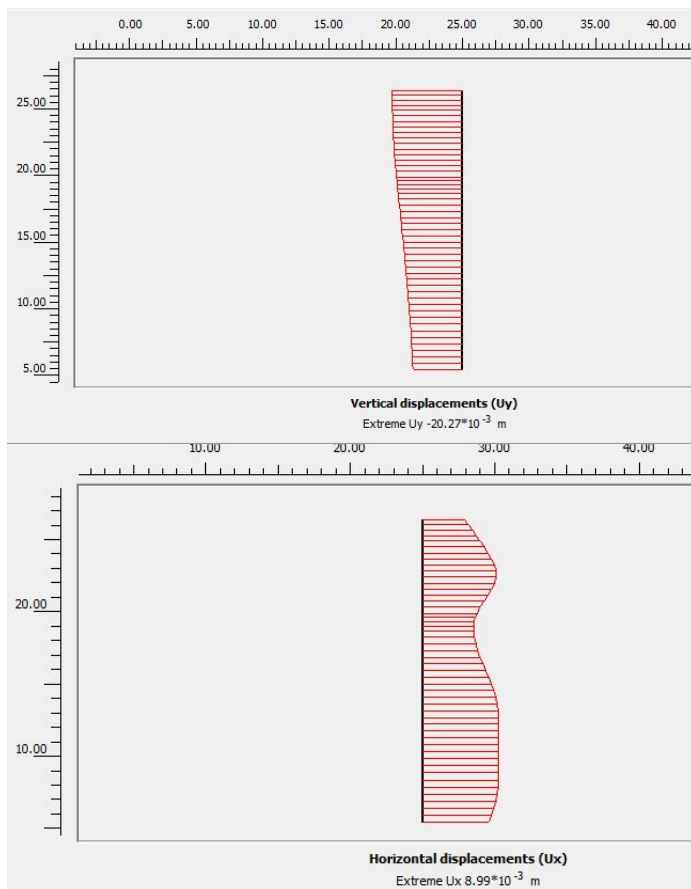




-Zona 3

Panjang Turap 21 m Profil W600 A1000 dengan Timbunan Lebar 3 m dan Tinggi 1.3 m (Arrow, Shading, Displacements)

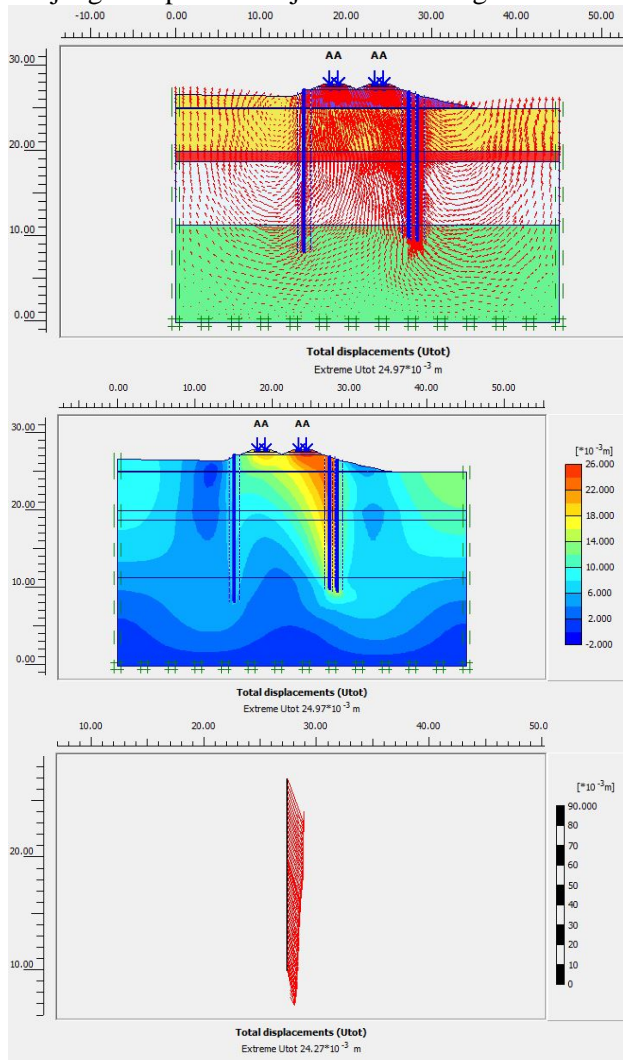


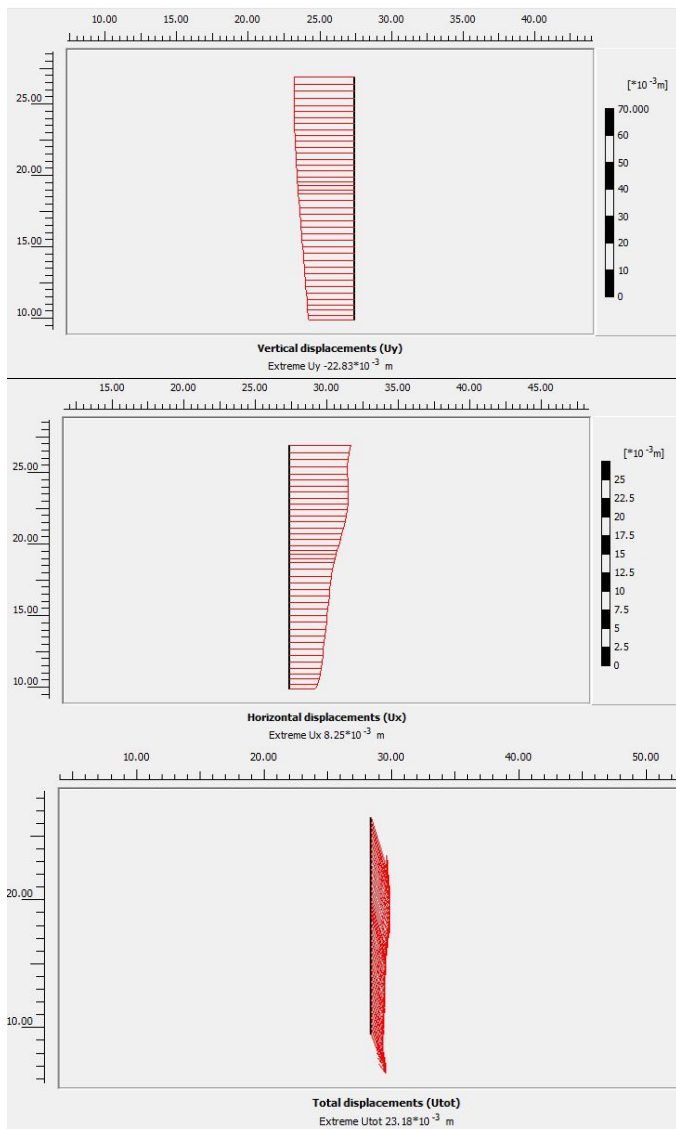


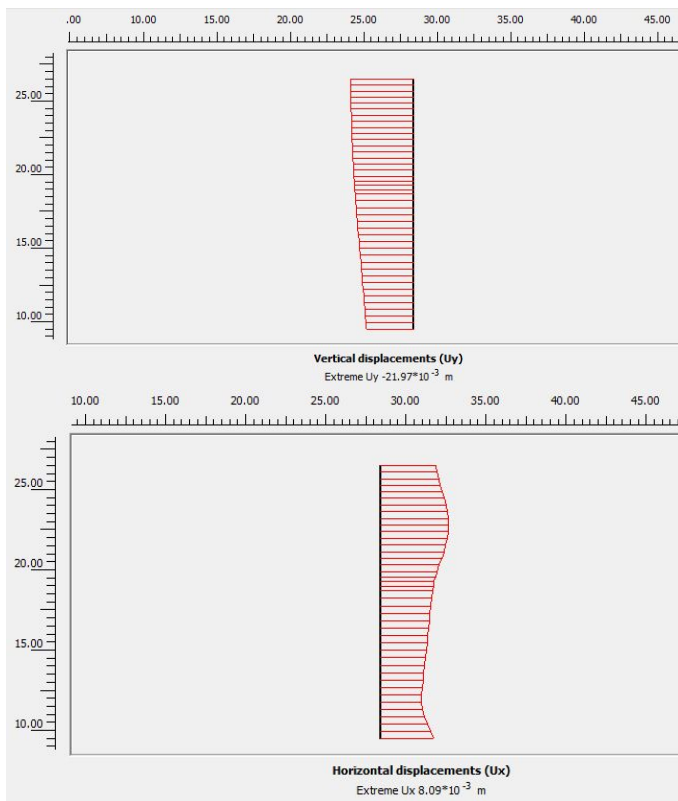
Lampiran 4.h Hasil Analisis Turap *Freestanding* dirangkap dua dengan Program Bantu *Plaxis*

-Zona 1

Panjang Turap 15 m berjumlah dua dengan Profil W500 A1000

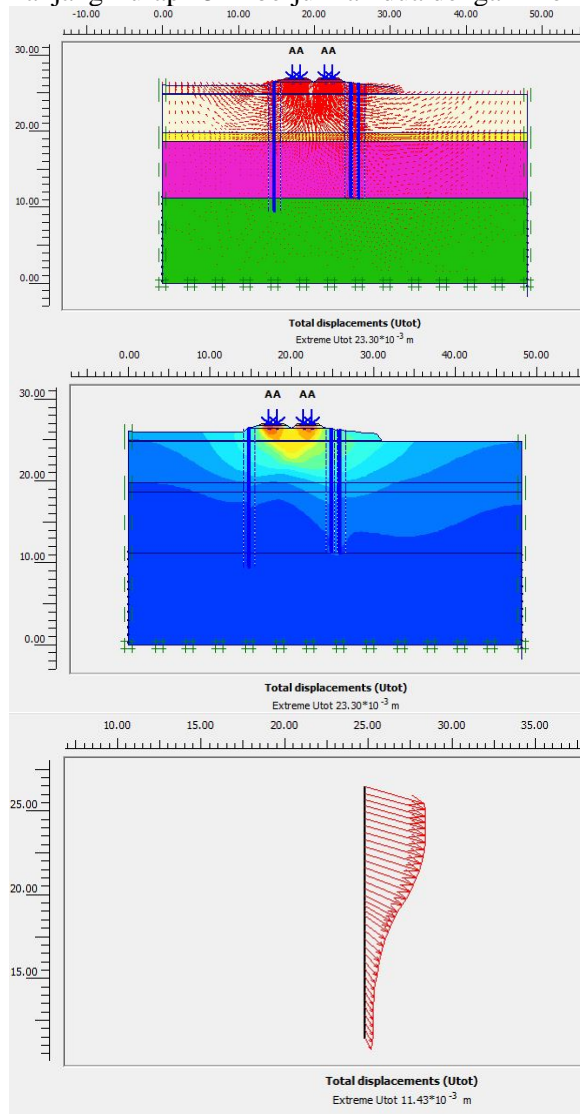


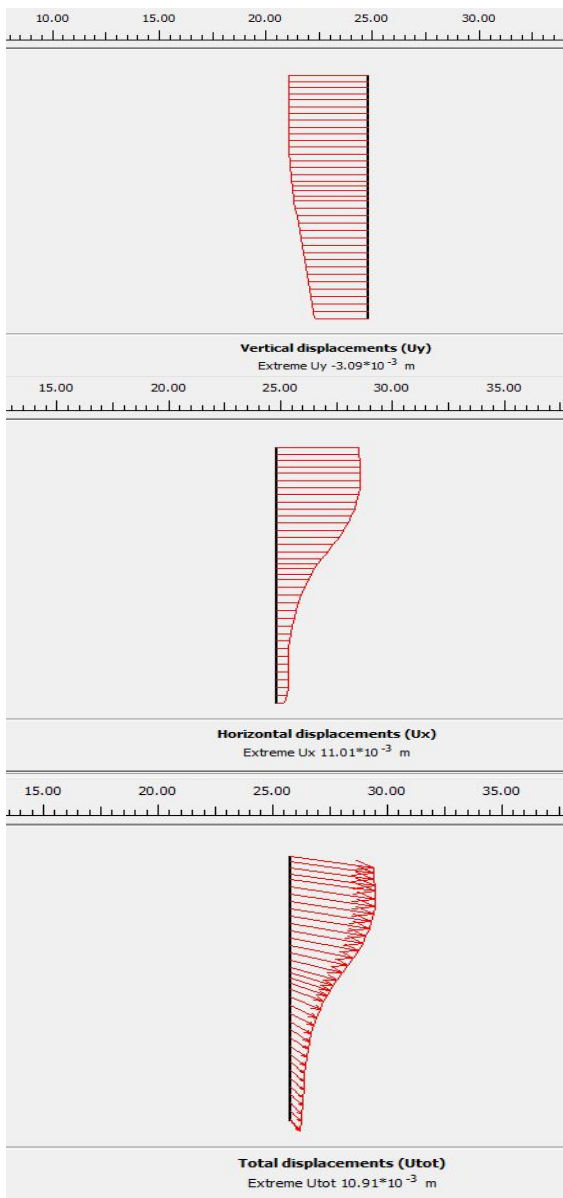


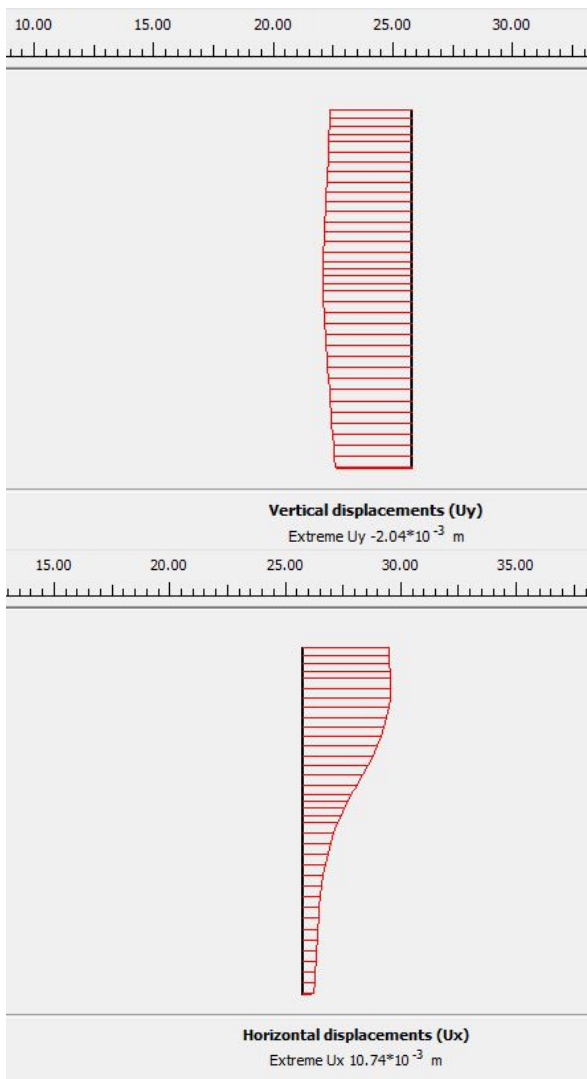


-Zona 2

Panjang Turap 15 m berjumlah dua dengan Profil W500 A1000

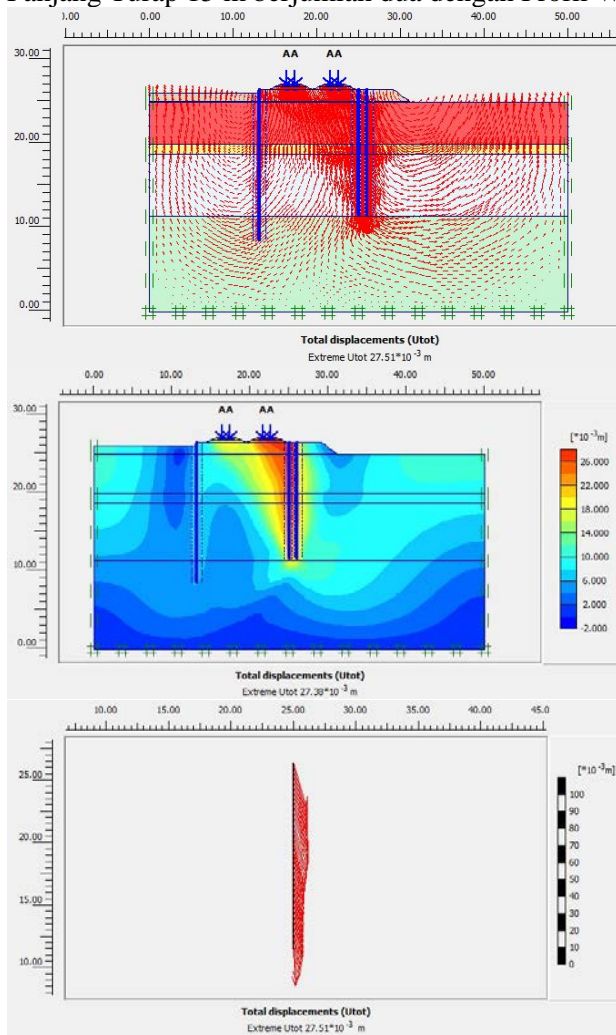


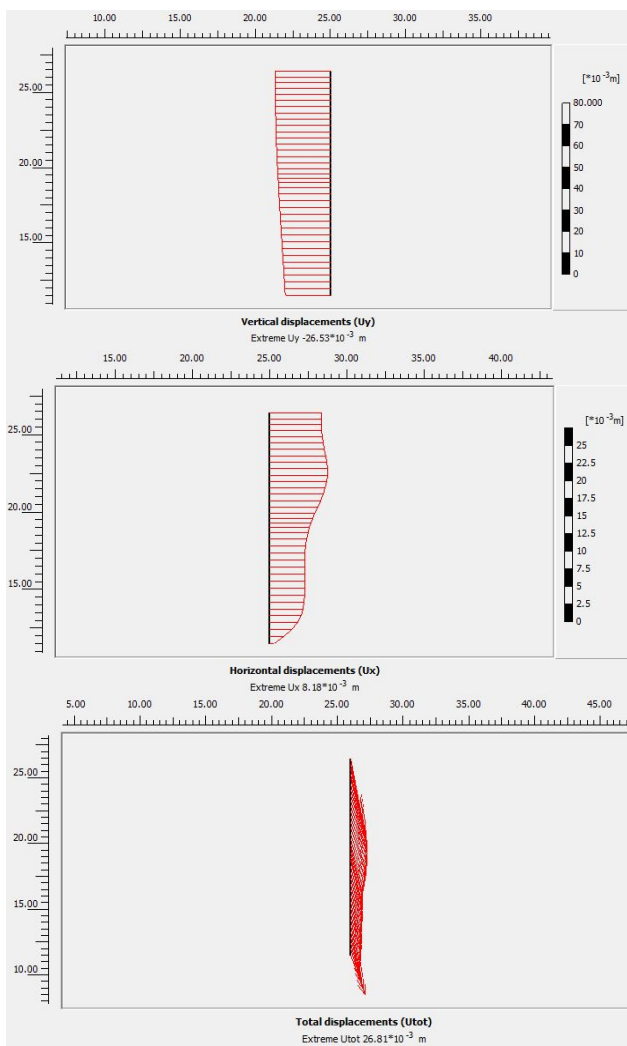


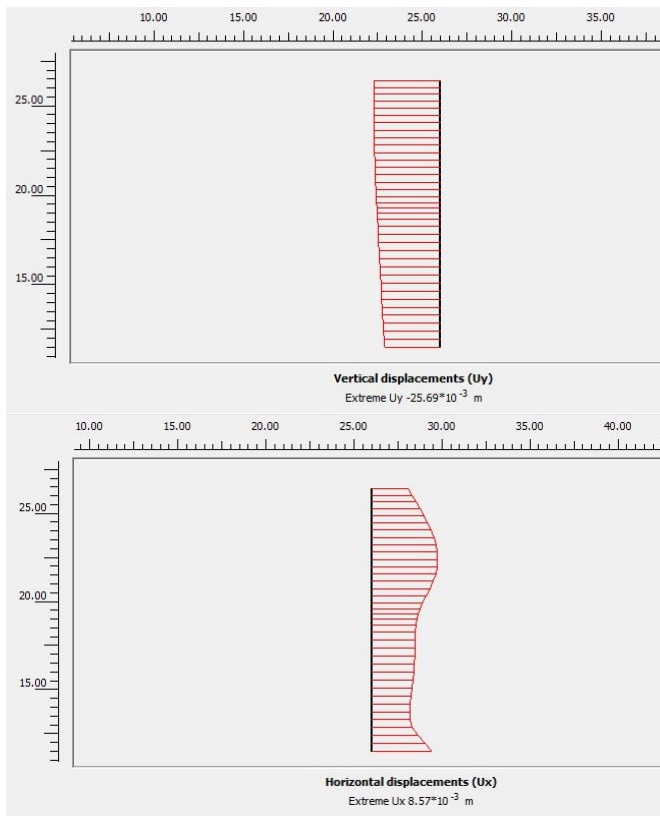


-Zona 3

Panjang Turap 15 m berjumlah dua dengan Profil W500 A1000



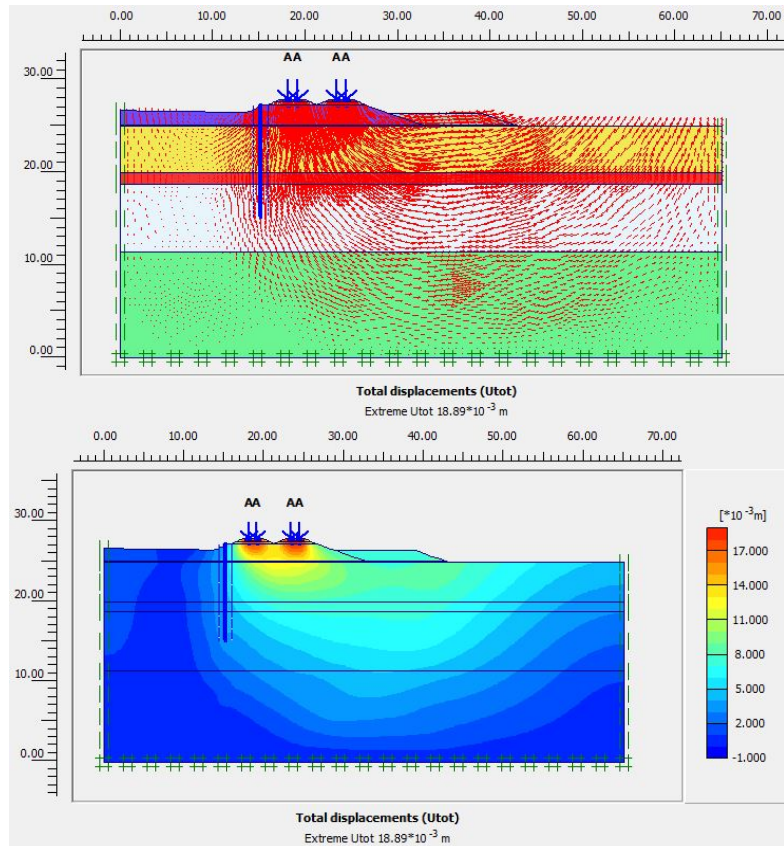




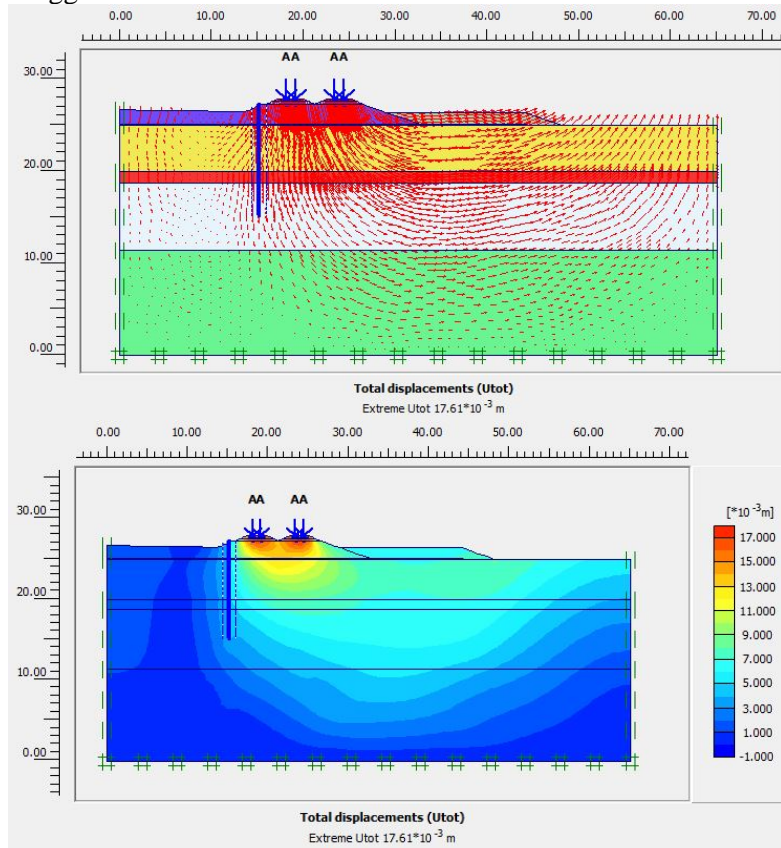
Lampiran 4.i Hasil Analisis *Counterweight*

-Zona 1 (3 variasi lebar timbunan 10 m, 15.2 m, 20 m)

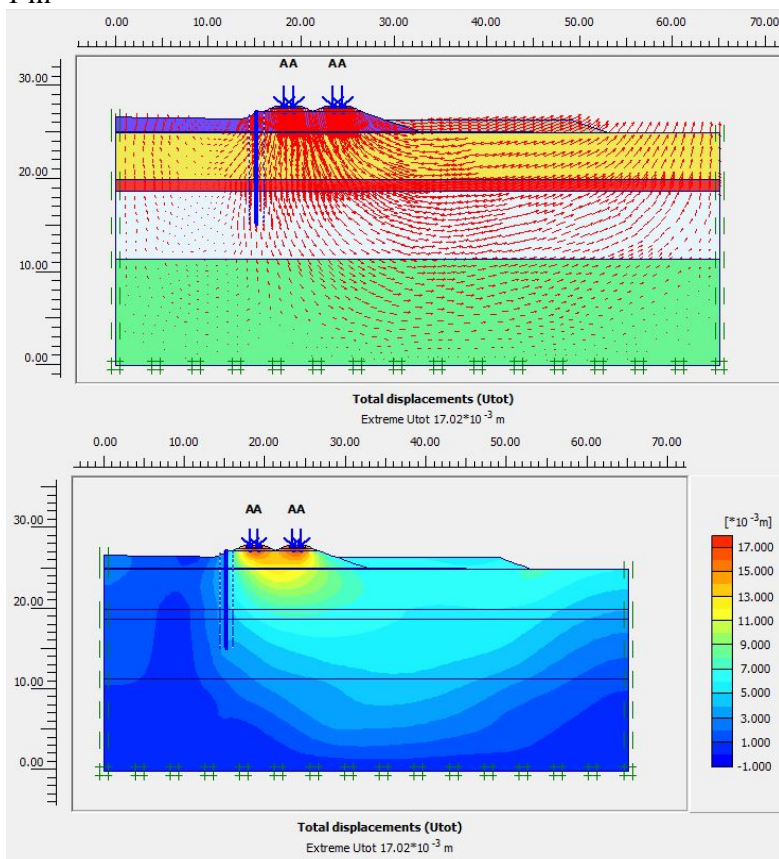
1. Percobaan 1 Lebar Timbunan 10 m, Panjang 200 m, dan Tinggi 1 m



2. Percobaan 2 Lebar Timbunan 15.2 m, Panjang 200 m, dan Tinggi 1 m

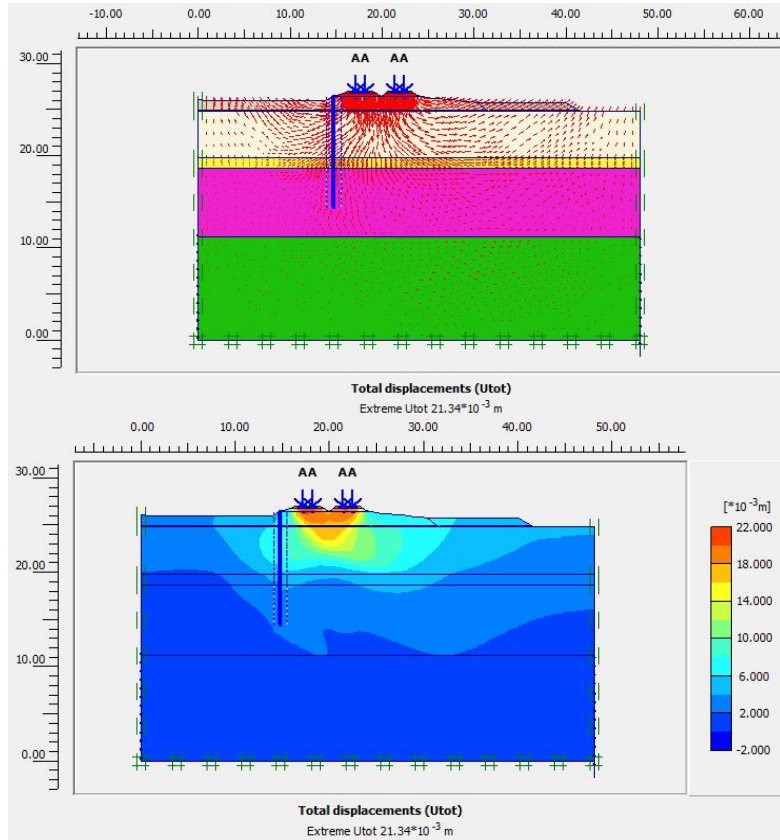


3. Percobaan 3 Lebar Timbunan 20 m, Panjang 200 m, dan Tinggi 1 m

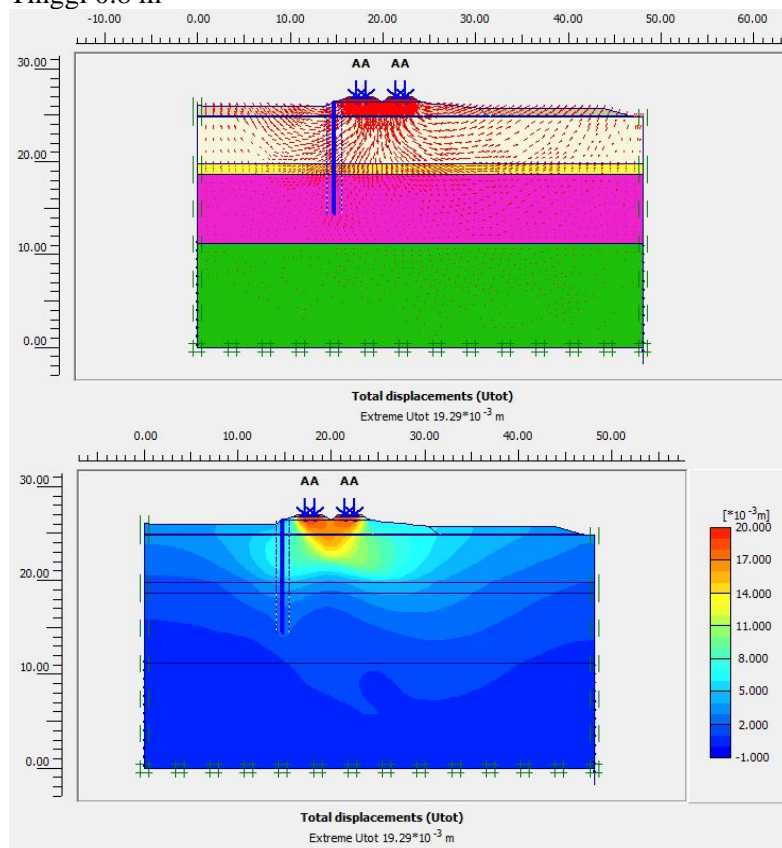


-Zona 2 (3 variasi lebar timbunan 10 m, 13.5 m, 20 m)

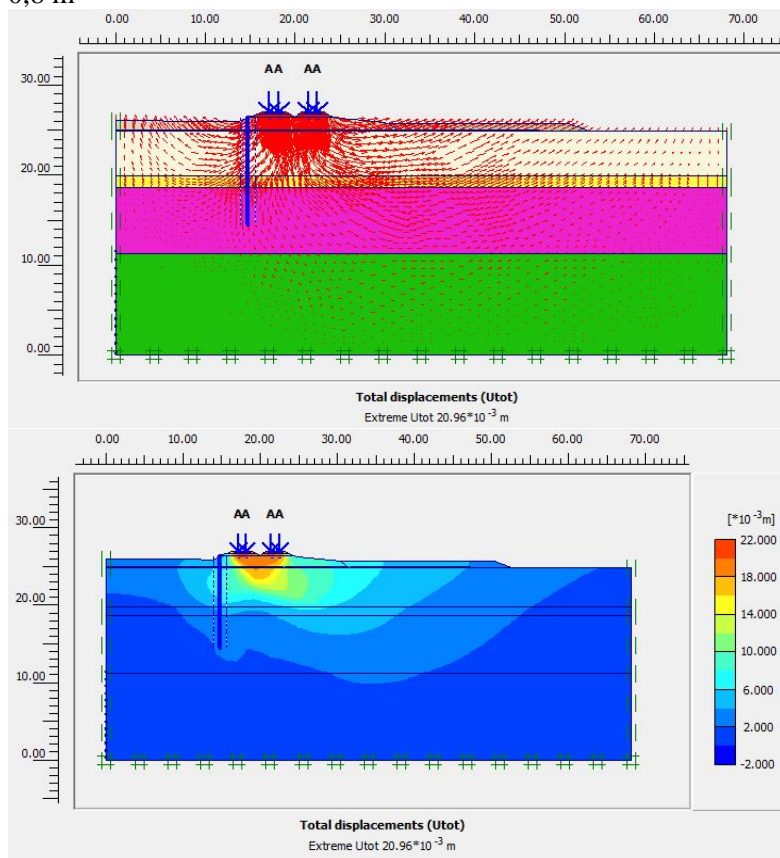
1. Percobaan 1 Lebar Timbunan 10 m, Panjang 200 m, dan Tinggi 0.8 m



2. Percobaan 2 Lebar Timbunan 13.5 m, Panjang 200 m, dan Tinggi 0.8 m

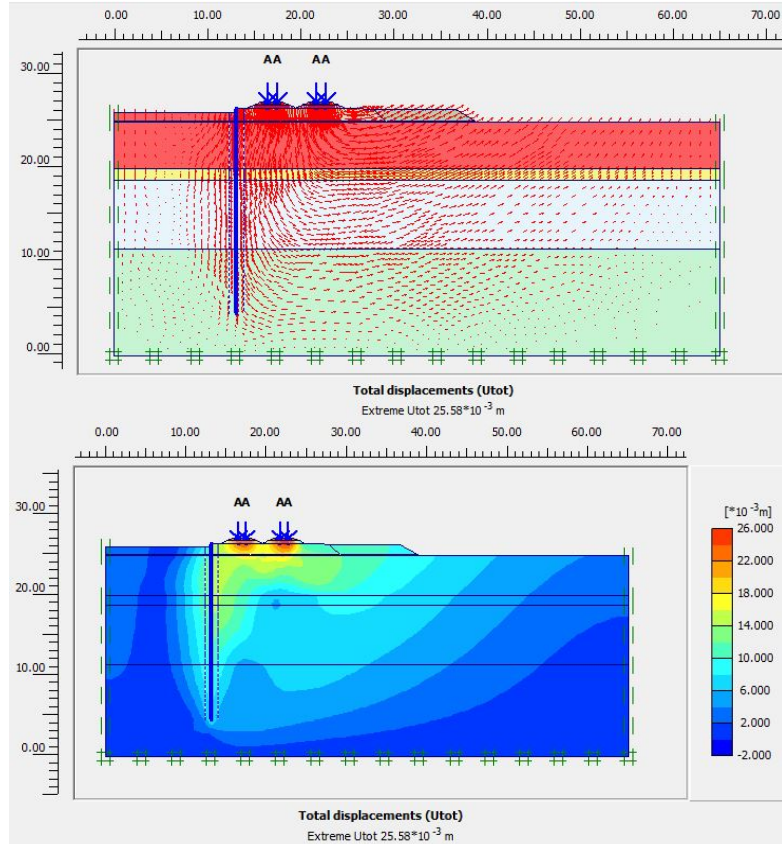


3. Percobaan 3 Lebar Timbunan 20 m, Panjang 200 m, dan Tinggi 0,8 m

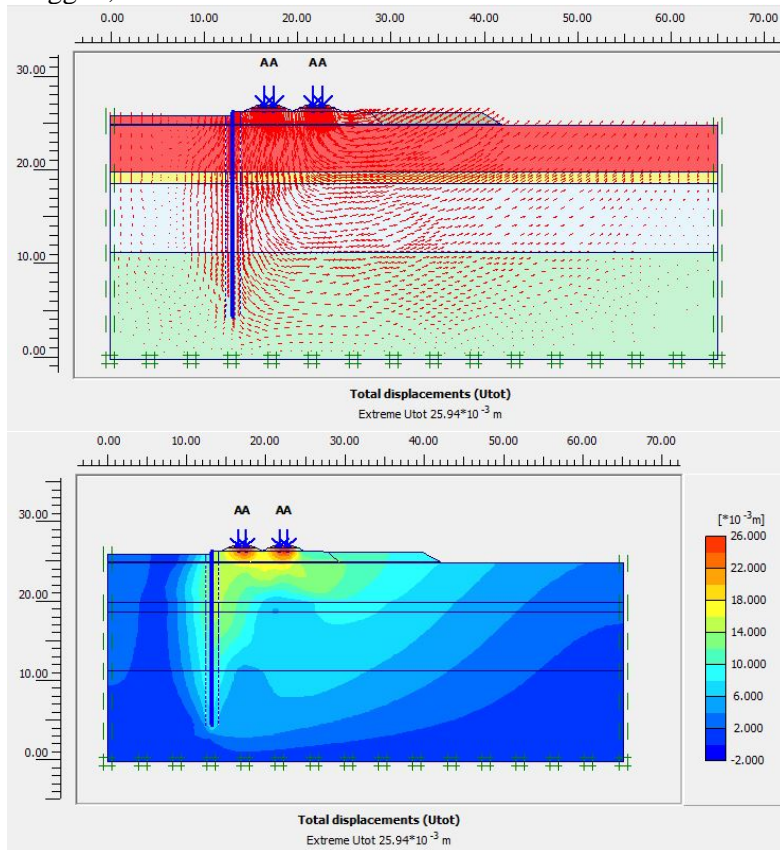


-Zona 3 (3 variasi lebar timbunan 10 m, 13.1 m, 20 m)

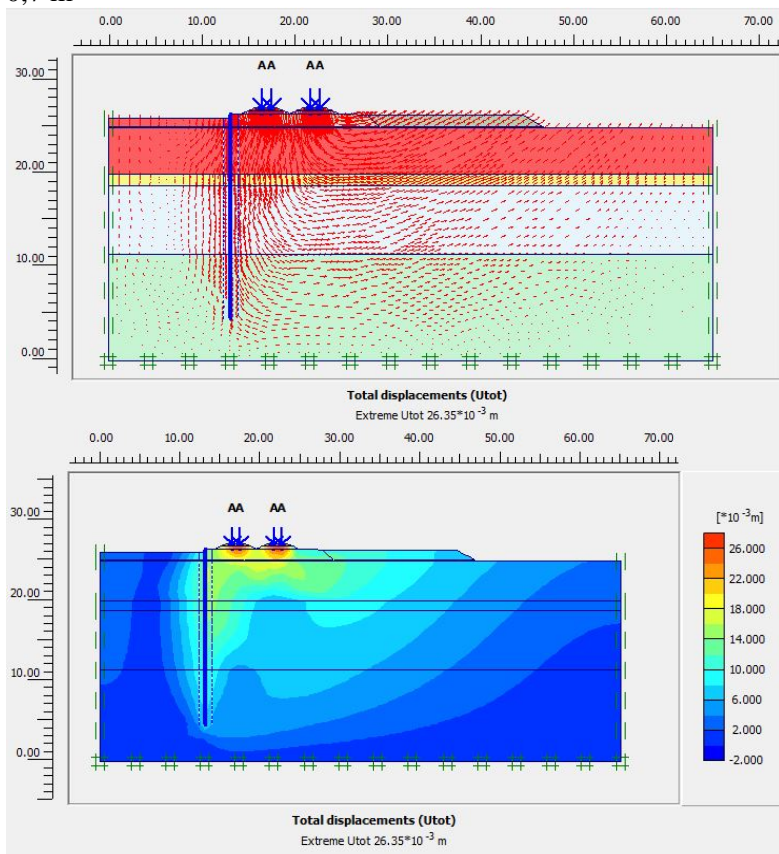
1. Percobaan 1 Lebar Timbunan 10 m, Panjang 200 m, dan Tinggi 0,7 m

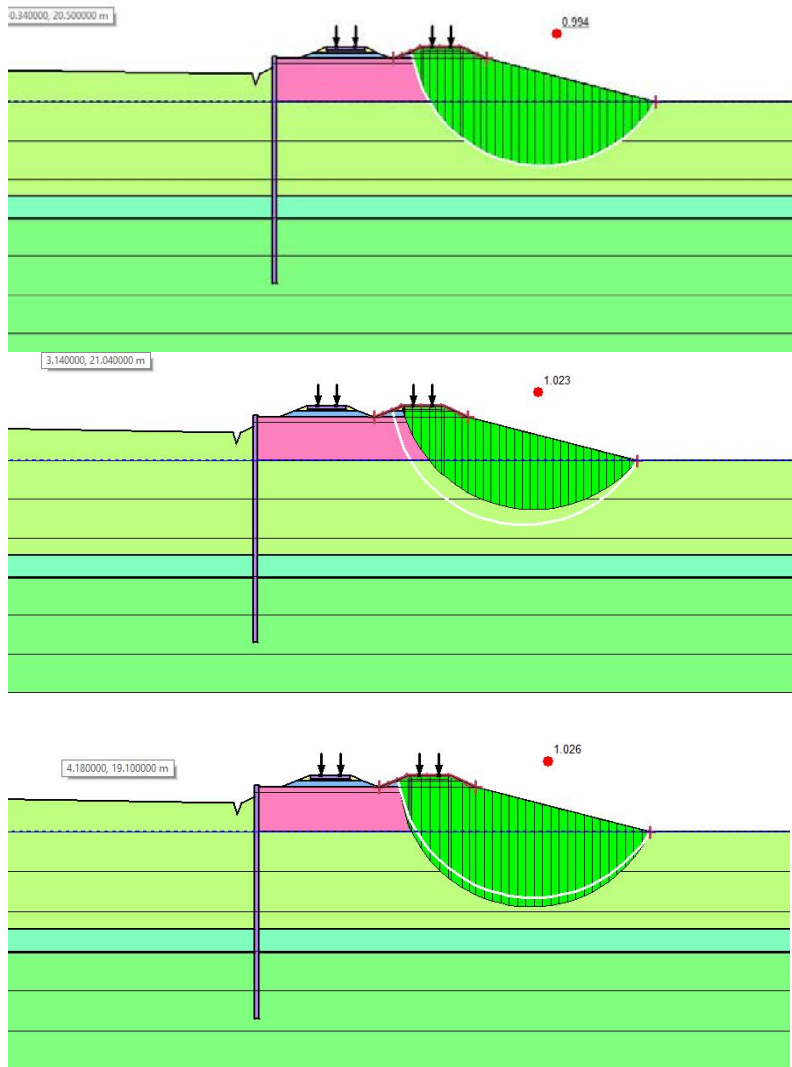


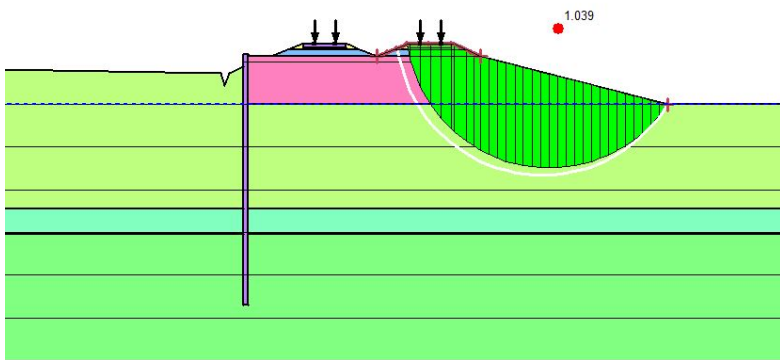
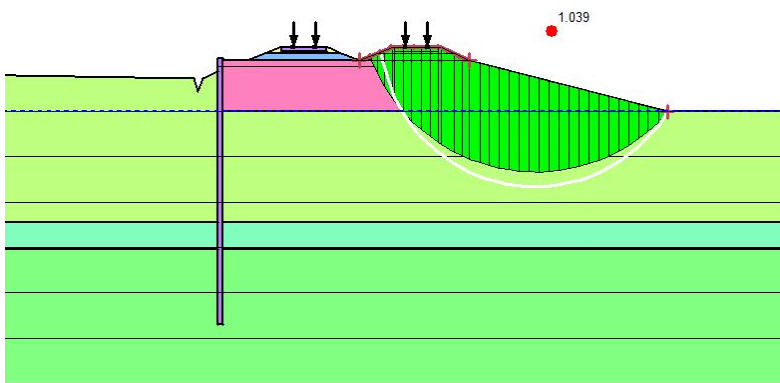
2. Percobaan 2 Lebar Timbunan 13.1 m, Panjang 200 m, dan Tinggi 0,7 m



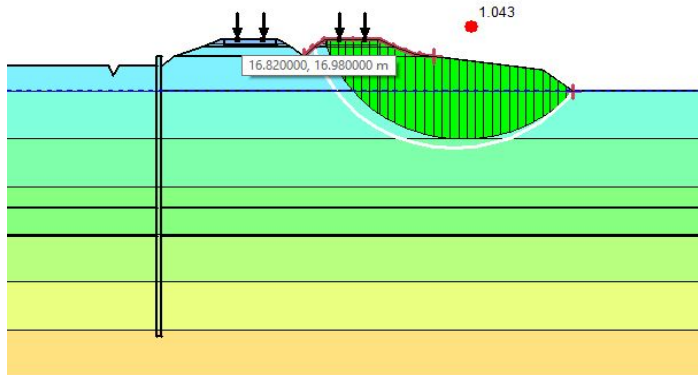
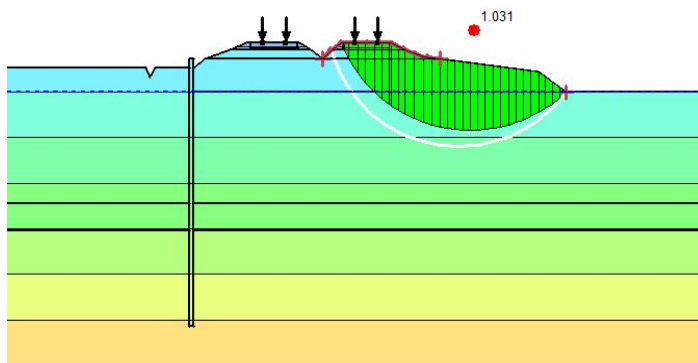
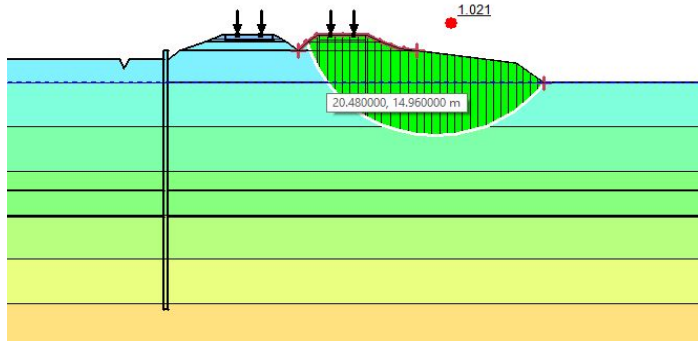
3. Percobaan 3 Lebar Timbunan 20 m, Panjang 200 m, dan Tinggi 0,7 m

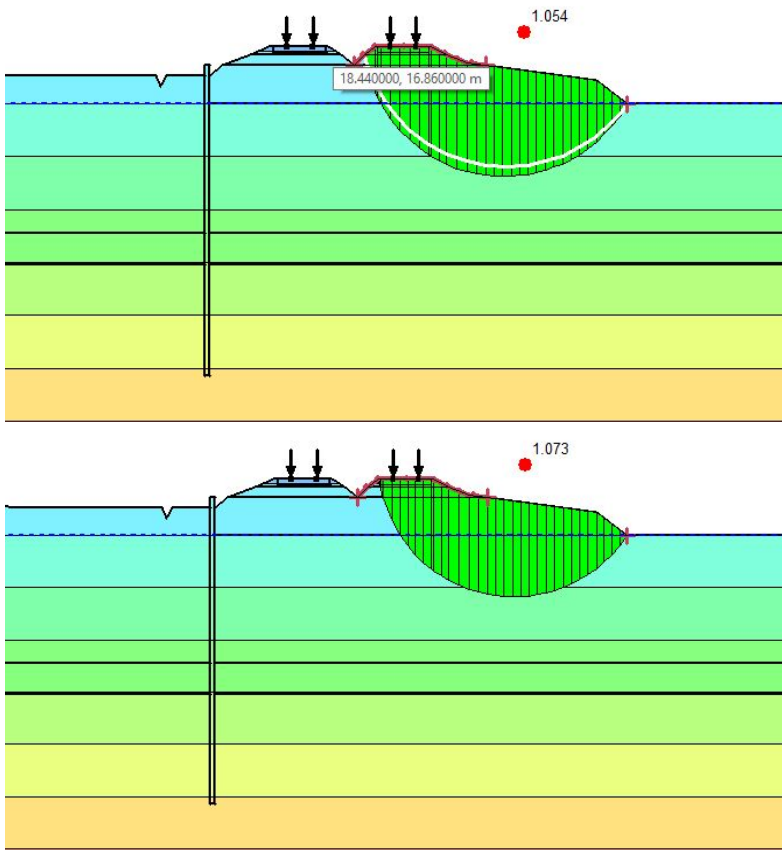


Lampiran 4.j Variasi Jari-Jari Kelongosoran, dan Variasi SF -Zona 1 (SF 0.99, 1.023, 1.026, 1.039, 1.039)

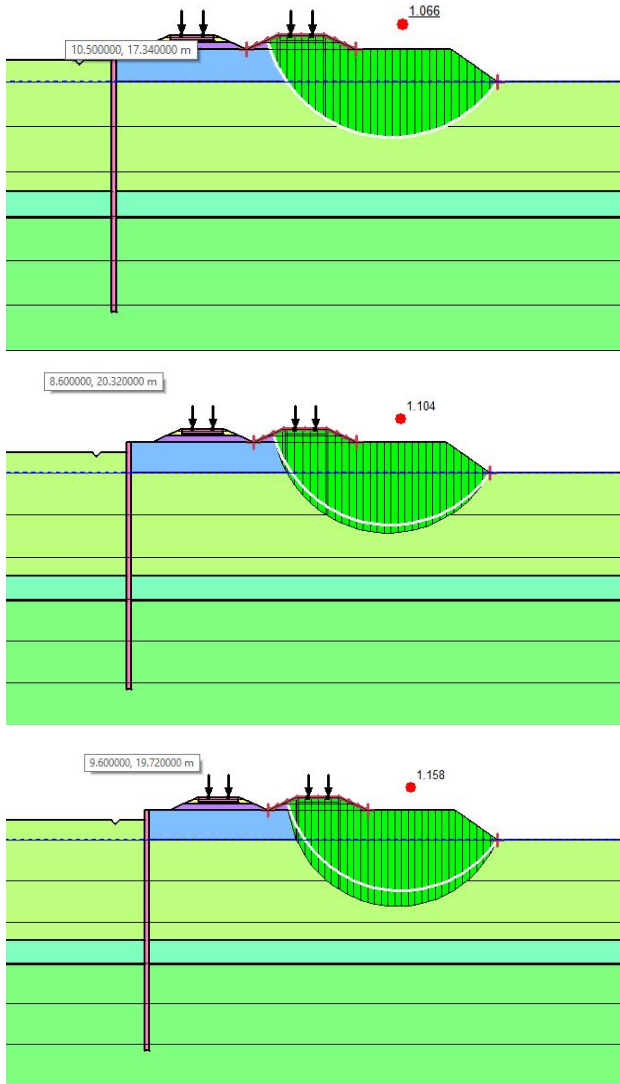


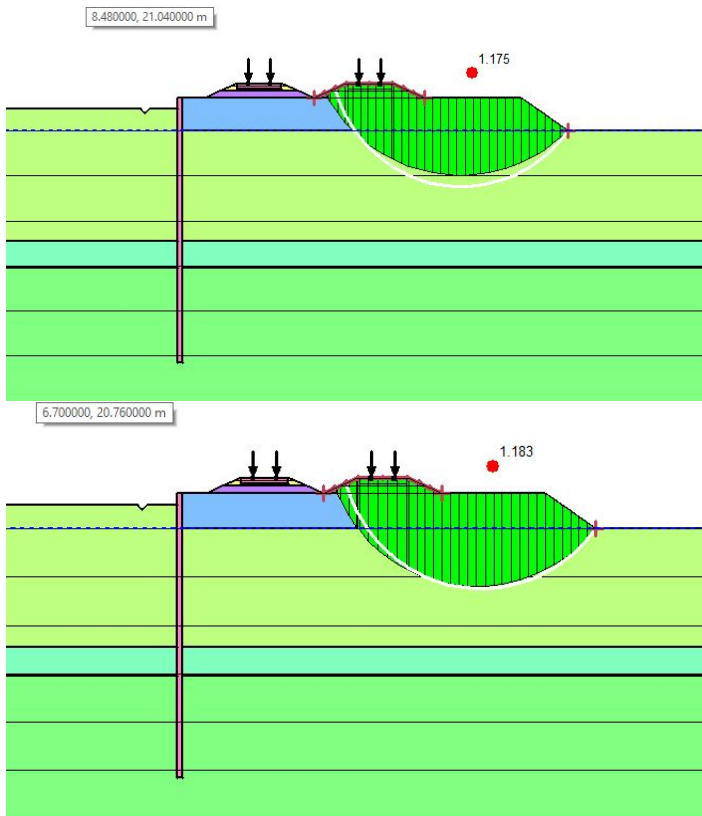
-Zona 2 (SF 1.021, 1.031, 1.043, 1.054, 1.073)





-Zona 3 (SF 1.066, 1.104, 1.158, 1.175, 1.183)





Lampiran 4.k Perhitungan Cerucuk

-Zona 1

Sflex	1.039	Sfren	1.5 R (m)	8																							
fc (kg/cm ²)	E	d(cm)	tebal (cm)	I (cm ⁴)	cu(kg/cm ²)	qu(kg/cm ²)	f(kg/cm ²)	T (cm)	Mpmax (kgcm)	Fm	L (cm)	Xt	Yt	S (cm)	Xs	Ys	Xn(juml ah asumsi)	Yn	Xd	Yd	Fkg	Pmax (kg)	Mr (kNm)	Md (kNm)	Δ Mr (kNm)	Pt (kN)	n (jumlah cerucuk)
600	115126.018	30	6	34607.78	0.13	0.26	0.02	190.2153	250000	1	490	16.333	1.12	100	3.333	0.8326	0	1.05	0.16	2.146	5.28	6935.2	2020.11	1944.28	896.3144	112.04	1.615507
600	115126.018	30	6	34607.78	0.13	0.26	0.02	190.2153	250000	1	490	16.333	1.12	100	3.333	0.8326	1	1	0.16	2.146	5.04	6625.6	2020.11	1944.28	896.3144	112.04	1.690995
600	115126.018	30	6	34607.78	0.13	0.26	0.02	190.2153	250000	1	490	16.333	1.12	100	3.333	0.8326	2	0.96	0.16	2.146	4.81	6316	2020.11	1944.28	896.3144	112.04	1.773883
600	115126.018	30	6	34607.78	0.13	0.26	0.02	190.2153	250000	1	490	16.333	1.12	100	3.333	0.8326	3	0.91	0.16	2.146	4.57	6006.4	2020.11	1944.28	896.3144	112.04	1.865317
600	115126.018	30	6	34607.78	0.13	0.26	0.02	190.2153	250000	1	490	16.333	1.12	100	3.333	0.8326	4	0.86	0.16	2.146	4.33	5696.9	2020.11	1944.28	896.3144	112.04	1.966688
600	115126.018	30	6	34607.78	0.13	0.26	0.02	190.2153	250000	1	490	16.333	1.12	100	3.333	0.8326	5	0.82	0.16	2.146	4.1	5387.3	2020.11	1944.28	896.3144	112.04	2.079717
600	115126.018	30	6	34607.78	0.13	0.26	0.02	190.2153	250000	1	490	16.333	1.12	100	3.333	0.8326	6	0.77	0.16	2.146	3.86	5077.7	2020.11	1944.28	896.3144	112.04	2.206515
600	115126.018	30	6	34607.78	0.13	0.26	0.02	190.2153	250000	1	490	16.333	1.12	100	3.333	0.8326	7	0.72	0.16	2.146	3.63	4768.1	2020.11	1944.28	896.3144	112.04	2.349788
600	115126.018	30	6	34607.78	0.13	0.26	0.02	190.2153	250000	1	490	16.333	1.12	100	3.333	0.8326	8	0.68	0.16	2.146	3.39	4458.5	2020.11	1944.28	896.3144	112.04	2.512958
600	115126.018	30	6	34607.78	0.13	0.26	0.02	190.2153	250000	1	490	16.333	1.12	100	3.333	0.8326	9	0.63	0.16	2.146	3.16	4148.9	2020.11	1944.28	896.3144	112.04	2.700489
600	115126.018	30	6	34607.78	0.13	0.26	0.02	190.2153	250000	1	490	16.333	1.12	100	3.333	0.8326	10	0.58	0.16	2.146	2.92	3839.3	2020.11	1944.28	896.3144	112.04	2.918246
Sflex	1.039	Sfren	1.5 R (m)	6.89																							
fc (kg/cm ²)	E	d(cm)	tebal (cm)	I (cm ⁴)	cu(kg/cm ²)	qu(kg/cm ²)	f(kg/cm ²)	T (cm)	Mpmax (kgcm)	Fm	L (cm)	Xt	Yt	S (cm)	Xs	Ys	Xn(juml ah asumsi)	Yn	Xd	Yd	Fkg	Pmax (kg)	Mr (kNm)	Md (kNm)	Δ Mr (kNm)	Pt (kN)	n (jumlah cerucuk)
600	115126.018	30	6	34607.78	0.13	0.26	0.02	190.2153	250000	1	490	16.333	1.12	100	3.333	0.8326	0	1.05	0.16	2.146	5.28	6935.2	1894.85	1823.72	840.7371	122.02	1.75946
600	115126.018	30	6	34607.78	0.13	0.26	0.02	190.2153	250000	1	490	16.333	1.12	100	3.333	0.8326	1	1	0.16	2.146	5.04	6625.6	1894.85	1823.72	840.7371	122.02	1.841675
600	115126.018	30	6	34607.78	0.13	0.26	0.02	190.2153	250000	1	490	16.333	1.12	100	3.333	0.8326	2	0.96	0.16	2.146	4.81	6316	1894.85	1823.72	840.7371	122.02	1.931949
600	115126.018	30	6	34607.78	0.13	0.26	0.02	190.2153	250000	1	490	16.333	1.12	100	3.333	0.8326	3	0.91	0.16	2.146	4.57	6006.4	1894.85	1823.72	840.7371	122.02	2.031531
600	115126.018	30	6	34607.78	0.13	0.26	0.02	190.2153	250000	1	490	16.333	1.12	100	3.333	0.8326	4	0.86	0.16	2.146	4.33	5696.9	1894.85	1823.72	840.7371	122.02	2.141934
600	115126.018	30	6	34607.78	0.13	0.26	0.02	190.2153	250000	1	490	16.333	1.12	100	3.333	0.8326	5	0.82	0.16	2.146	4.1	5387.3	1894.85	1823.72	840.7371	122.02	2.256027
600	115126.018	30	6	34607.78	0.13	0.26	0.02	190.2153	250000	1	490	16.333	1.12	100	3.333	0.8326	6	0.77	0.16	2.146	3.86	5077.7	1894.85	1823.72	840.7371	122.02	2.403132
600	115126.018	30	6	34607.78	0.13	0.26	0.02	190.2153	250000	1	490	16.333	1.12	100	3.333	0.8326	7	0.72	0.16	2.146	3.63	4768.1	1894.85	1823.72	840.7371	122.02	2.559122
600	115126.018	30	6	34607.78	0.13	0.26	0.02	190.2153	250000	1	490	16.333	1.12	100	3.333	0.8326	8	0.68	0.16	2.146	3.39	4458.5	1894.85	1823.72	840.7371	122.02	2.736882
600	115126.018	30	6	34607.78	0.13	0.26	0.02	190.2153	250000	1	490	16.333	1.12	100	3.333	0.8326	9	0.63	0.16	2.146	3.16	4148.9	1894.85	1823.72	840.7371	122.02	2.944111
600	115126.018	30	6	34607.78	0.13	0.26	0.02	190.2153	250000	1	490	16.333	1.12	100	3.333	0.8326	10	0.58	0.16	2.146	2.92	3839.3	1894.85	1823.72	840.7371	122.02	3.178282

-Zona 2

-Zona 3

Lampiran 4.1 Perhitungan Turap Metode Cerucuk -Zona 1

Sflex	1.023	Sfren	1.5	R (m)	7.21																				
fc (kg/ cm ²)	E	I (cm ⁴)	cu(kg/ cm ²)	qu(kg/ cm ²)	f(kg/ cm ³)	T (cm)	M _{max} (kgcm)	F _m	L (cm)	X _t	Y _t	S (cm)	X _s	Y _s	X _{n(juml ah asumsi)}	Y _n	X _d	Y _d	F _{Kg}	P _{max} (kg)	M _r (kNm)	M _d (kNm)	Δ M _r (kNm)	P _t (kN)	n (jumlah cerucuk)
600	115126	18000	0.13	0.26	0.01	174.5208	350000	1	790	26.333	2.02	100	3.333	0.8326	0	1.05	0.17	2.66	11.8	23661	1907.34	1864.46	889.3462	123.35	0.52131
600	115126	18000	0.13	0.26	0.01	174.5208	350000	1	790	26.333	2.02	100	3.333	0.8326	1	1	0.17	2.66	11.3	22605	1907.34	1864.46	889.3462	123.35	0.545669
600	115126	18000	0.13	0.26	0.01	174.5208	350000	1	790	26.333	2.02	100	3.333	0.8326	2	0.96	0.17	2.66	10.7	21549	1907.34	1864.46	889.3462	123.35	0.572416
600	115126	18000	0.13	0.26	0.01	174.5208	350000	1	790	26.333	2.02	100	3.333	0.8326	3	0.91	0.17	2.66	10.2	20493	1907.34	1864.46	889.3462	123.35	0.601921
600	115126	18000	0.13	0.26	0.01	174.5208	350000	1	790	26.333	2.02	100	3.333	0.8326	4	0.86	0.17	2.66	9.69	19436	1907.34	1864.46	889.3462	123.35	0.634633
600	115126	18000	0.13	0.26	0.01	174.5208	350000	1	790	26.333	2.02	100	3.333	0.8326	5	0.82	0.17	2.66	9.16	18380	1907.34	1864.46	889.3462	123.35	0.671104
600	115126	18000	0.13	0.26	0.01	174.5208	350000	1	790	26.333	2.02	100	3.333	0.8326	6	0.77	0.17	2.66	8.64	17324	1907.34	1864.46	889.3462	123.35	0.712023
600	115126	18000	0.13	0.26	0.01	174.5208	350000	1	790	26.333	2.02	100	3.333	0.8326	7	0.72	0.17	2.66	8.11	16267	1907.34	1864.46	889.3462	123.35	0.758255
600	115126	18000	0.13	0.26	0.01	174.5208	350000	1	790	26.333	2.02	100	3.333	0.8326	8	0.68	0.17	2.66	7.58	15211	1907.34	1864.46	889.3462	123.35	0.810909
600	115126	18000	0.13	0.26	0.01	174.5208	350000	1	790	26.333	2.02	100	3.333	0.8326	9	0.63	0.17	2.66	7.06	14155	1907.34	1864.46	889.3462	123.35	0.871421
600	115126	18000	0.13	0.26	0.01	174.5208	350000	1	790	26.333	2.02	100	3.333	0.8326	10	0.58	0.17	2.66	6.53	13099	1907.34	1864.46	889.3462	123.35	0.941692
Sflex	1.026	Sfren	1.5	R (m)	6.86																				
fc (kg/ cm ²)	E	I (cm ⁴)	cu(kg/ cm ²)	qu(kg/ cm ²)	f(kg/ cm ³)	T (cm)	M _{max} (kgcm)	F _m	L (cm)	X _t	Y _t	S (cm)	X _s	Y _s	X _{n(juml ah asumsi)}	Y _n	X _d	Y _d	F _{Kg}	P _{max} (kg)	M _r (kNm)	M _d (kNm)	Δ M _r (kNm)	P _t (kN)	n (jumlah cerucuk)
600	115126.02	18000	0.13	0.26	0.01	174.5208	350000	1	790	26.333	2.02	100	3.333	0.8326	0	1.05	0.17	2.66	11.8	23661	1850.29	1803.4	854.8123	124.61	0.526632
600	115126.02	18000	0.13	0.26	0.01	174.5208	350000	1	790	26.333	2.02	100	3.333	0.8326	1	1	0.17	2.66	11.3	22605	1850.29	1803.4	854.8123	124.61	0.551239
600	115126.02	18000	0.13	0.26	0.01	174.5208	350000	1	790	26.333	2.02	100	3.333	0.8326	2	0.96	0.17	2.66	10.7	21549	1850.29	1803.4	854.8123	124.61	0.57826
600	115126.02	18000	0.13	0.26	0.01	174.5208	350000	1	790	26.333	2.02	100	3.333	0.8326	3	0.91	0.17	2.66	10.2	20493	1850.29	1803.4	854.8123	124.61	0.608066
600	115126.02	18000	0.13	0.26	0.01	174.5208	350000	1	790	26.333	2.02	100	3.333	0.8326	4	0.86	0.17	2.66	9.69	19436	1850.29	1803.4	854.8123	124.61	0.641111
600	115126.02	18000	0.13	0.26	0.01	174.5208	350000	1	790	26.333	2.02	100	3.333	0.8326	5	0.82	0.17	2.66	9.16	18380	1850.29	1803.4	854.8123	124.61	0.677955
600	115126.02	18000	0.13	0.26	0.01	174.5208	350000	1	790	26.333	2.02	100	3.333	0.8326	6	0.77	0.17	2.66	8.64	17324	1850.29	1803.4	854.8123	124.61	0.719292
600	115126.02	18000	0.13	0.26	0.01	174.5208	350000	1	790	26.333	2.02	100	3.333	0.8326	7	0.72	0.17	2.66	8.11	16267	1850.29	1803.4	854.8123	124.61	0.765996
600	115126.02	18000	0.13	0.26	0.01	174.5208	350000	1	790	26.333	2.02	100	3.333	0.8326	8	0.68	0.17	2.66	7.58	15211	1850.29	1803.4	854.8123	124.61	0.819187
600	115126.02	18000	0.13	0.26	0.01	174.5208	350000	1	790	26.333	2.02	100	3.333	0.8326	9	0.63	0.17	2.66	7.06	14155	1850.29	1803.4	854.8123	124.61	0.880317
600	115126.02	18000	0.13	0.26	0.01	174.5208	350000	1	790	26.333	2.02	100	3.333	0.8326	10	0.58	0.17	2.66	6.53	13099	1850.29	1803.4	854.8123	124.61	0.951305

-Zona 2

SFex	1.021	R (m)	5.7																						
fc (kg/c m2)	E	I (cm4)	cu(kg/ cm2)	qu(kg/ cm2)	f(cm3)	T (cm)	Mpmax (kgcm)	Fm	L (cm)	Xt	Yt	S (cm)	Xs	Ys	Xn(jum lah asumsi)	Yn	Xd	Yd	FKg	Pmax (kg)	Mr (kNm)	Md (kNm)	Δ Mr (kNm)	Pt (kN)	n (jumlah cerucuk)
600	115126.02	18000	0.13	0.26	0.01	174.5	350000	1	550	18.33	1.3	100	3.33	0.8326	0	1.051	0.1719	2.6604	7.5929	15228	1114	1091.04	522.607	91.685	0.602104
600	115126.02	18000	0.13	0.26	0.01	174.5	350000	1	550	18.33	1.3	100	3.33	0.8326	1	1.004	0.1719	2.6604	7.254	14548	1114	1091.04	522.607	91.685	0.630238
600	115126.02	18000	0.13	0.26	0.01	174.5	350000	1	550	18.33	1.3	100	3.33	0.8326	2	0.957	0.1719	2.6604	6.915	13868	1114	1091.04	522.607	91.685	0.661131
600	115126.02	18000	0.13	0.26	0.01	174.5	350000	1	550	18.33	1.3	100	3.33	0.8326	3	0.91	0.1719	2.6604	6.576	13188	1114	1091.04	522.607	91.685	0.695208
600	115126.02	18000	0.13	0.26	0.01	174.5	350000	1	550	18.33	1.3	100	3.33	0.8326	4	0.863	0.1719	2.6604	6.2371	12508	1114	1091.04	522.607	91.685	0.73299
600	115126.02	18000	0.13	0.26	0.01	174.5	350000	1	550	18.33	1.3	100	3.33	0.8326	5	0.816	0.1719	2.6604	5.8981	11829	1114	1091.04	522.607	91.685	0.775113
600	115126.02	18000	0.13	0.26	0.01	174.5	350000	1	550	18.33	1.3	100	3.33	0.8326	6	0.769	0.1719	2.6604	5.5592	11149	1114	1091.04	522.607	91.685	0.822374
600	115126.02	18000	0.13	0.26	0.01	174.5	350000	1	550	18.33	1.3	100	3.33	0.8326	7	0.722	0.1719	2.6604	5.2202	10469	1114	1091.04	522.607	91.685	0.875772
600	115126.02	18000	0.13	0.26	0.01	174.5	350000	1	550	18.33	1.3	100	3.33	0.8326	8	0.675	0.1719	2.6604	4.8813	9789.3	1114	1091.04	522.607	91.685	0.936586
600	115126.02	18000	0.13	0.26	0.01	174.5	350000	1	550	18.33	1.3	100	3.33	0.8326	9	0.629	0.1719	2.6604	4.5423	9109.6	1114	1091.04	522.607	91.685	1.006476
600	115126.02	18000	0.13	0.26	0.01	174.5	350000	1	550	18.33	1.3	100	3.33	0.8326	10	0.582	0.1719	2.6604	4.2034	8429.8	1114	1091.04	522.607	91.685	1.087637

SFex	1.031	R (m)	5.96																						
fc (kg/c m2)	E	I (cm4)	cu(kg/ cm2)	qu(kg/ cm2)	f(kg/ cm3)	T (cm)	Mpmax (kgcm)	Fm	L (cm)	Xt	Yt	S (cm)	Xs	Ys	Xn(jum lah asumsi)	Yn	Xd	Yd	Fkg	Pmax (kg)	Mr (kNm)	Md (kNm)	Δ Mr (kNm)	Pt (kN)	n (jumlah cerucuk)
600	115126.02	18000	0.13	0.26	0.01	174.5	350000	1	550	18.33	1.3	100	3.33	0.8326	0	1.051	0.1719	2.6604	7.5929	15228	1194.2	1158.27	543.23	91.146	0.598561
600	115126.02	18000	0.13	0.26	0.01	174.5	350000	1	550	18.33	1.3	100	3.33	0.8326	1	1.004	0.1719	2.6604	7.254	14548	1194.2	1158.27	543.23	91.146	0.62653
600	115126.02	18000	0.13	0.26	0.01	174.5	350000	1	550	18.33	1.3	100	3.33	0.8326	2	0.957	0.1719	2.6604	6.915	13868	1194.2	1158.27	543.23	91.146	0.657241
600	115126.02	18000	0.13	0.26	0.01	174.5	350000	1	550	18.33	1.3	100	3.33	0.8326	3	0.91	0.1719	2.6604	6.576	13188	1194.2	1158.27	543.23	91.146	0.691118
600	115126.02	18000	0.13	0.26	0.01	174.5	350000	1	550	18.33	1.3	100	3.33	0.8326	4	0.863	0.1719	2.6604	6.2371	12508	1194.2	1158.27	543.23	91.146	0.728677
600	115126.02	18000	0.13	0.26	0.01	174.5	350000	1	550	18.33	1.3	100	3.33	0.8326	5	0.816	0.1719	2.6604	5.8981	11829	1194.2	1158.27	543.23	91.146	0.770553
600	115126.02	18000	0.13	0.26	0.01	174.5	350000	1	550	18.33	1.3	100	3.33	0.8326	6	0.769	0.1719	2.6604	5.5592	11149	1194.2	1158.27	543.23	91.146	0.817535
600	115126.02	18000	0.13	0.26	0.01	174.5	350000	1	550	18.33	1.3	100	3.33	0.8326	7	0.722	0.1719	2.6604	5.2202	10469	1194.2	1158.27	543.23	91.146	0.870619
600	115126.02	18000	0.13	0.26	0.01	174.5	350000	1	550	18.33	1.3	100	3.33	0.8326	8	0.675	0.1719	2.6604	4.8813	9789.3	1194.2	1158.27	543.23	91.146	0.931075
600	115126.02	18000	0.13	0.26	0.01	174.5	350000	1	550	18.33	1.3	100	3.33	0.8326	9	0.629	0.1719	2.6604	4.5423	9109.6	1194.2	1158.27	543.23	91.146	1.000554
600	115126.02	18000	0.13	0.26	0.01	174.5	350000	1	550	18.33	1.3	100	3.33	0.8326	10	0.582	0.1719	2.6604	4.2034	8429.8	1194.2	1158.27	543.23	91.146	1.081238
SFex	1.043	R (m)	5.6																						
fc (kg/c m2)	E	I (cm4)	cu(kg/ cm2)	qu(kg/ cm2)	f(kg/ cm3)	T (cm)	Mpmax (kgcm)	Fm	L (cm)	Xt	Yt	S (cm)	Xs	Ys	Xn(jum lah asumsi)	Yn	Xd	Yd	Fkg	Pmax (kg)	Mr (kNm)	Md (kNm)	Δ Mr (kNm)	Pt (kN)	n (jumlah cerucuk)
600	115126.02	18000	0.13	0.26	0.01	174.5	350000	1	550	18.33	1.3	100	3.33	0.8326	0	1.051	0.1719	2.6604	7.5929	15228	1168.7	1120.48	512.059	91.439	0.600486
600	115126.02	18000	0.13	0.26	0.01	174.5	350000	1	550	18.33	1.3	100	3.33	0.8326	1	1.004	0.1719	2.6604	7.254	14548	1168.7	1120.48	512.059	91.439	0.628545
600	115126.02	18000	0.13	0.26	0.01	174.5	350000	1	550	18.33	1.3	100	3.33	0.8326	2	0.957	0.1719	2.6604	6.915	13868	1168.7	1120.48	512.059	91.439	0.659354
600	115126.02	18000	0.13	0.26	0.01	174.5	350000	1	550	18.33	1.3	100	3.33	0.8326	3	0.91	0.1719	2.6604	6.576	13188	1168.7	1120.48	512.059	91.439	0.69334
600	115126.02	18000	0.13	0.26	0.01	174.5	350000	1	550	18.33	1.3	100	3.33	0.8326	4	0.863	0.1719	2.6604	6.2371	12508	1168.7	1120.48	512.059	91.439	0.73102
600	115126.02	18000	0.13	0.26	0.01	174.5	350000	1	550	18.33	1.3	100	3.33	0.8326	5	0.816	0.1719	2.6604	5.8981	11829	1168.7	1120.48	512.059	91.439	0.77303
600	115126.02	18000	0.13	0.26	0.01	174.5	350000	1	550	18.33	1.3	100	3.33	0.8326	6	0.769	0.1719	2.6604	5.5592	11149	1168.7	1120.48	512.059	91.439	0.820164
600	115126.02	18000	0.13	0.26	0.01	174.5	350000	1	550	18.33	1.3	100	3.33	0.8326	7	0.722	0.1719	2.6604	5.2202	10469	1168.7	1120.48	512.059	91.439	0.873418
600	115126.02	18000	0.13	0.26	0.01	174.5	350000	1	550	18.33	1.3	100	3.33	0.8326	8	0.675	0.1719	2.6604	4.8813	9789.3	1168.7	1120.48	512.059	91.439	0.934069
600	115126.02	18000	0.13	0.26	0.01	174.5	350000	1	550	18.33	1.3	100	3.33	0.8326	9	0.629	0.1719	2.6604	4.5423	9109.6	1168.7	1120.48	512.059	91.439	1.003771
600	115126.02	18000	0.13	0.26	0.01	174.5	350000	1	550	18.33	1.3	100	3.33	0.8326	10	0.582	0.1719	2.6604	4.2034	8429.8	1168.7	1120.48	512.059	91.439	1.084715

SFex	1.054	R (m)	5.48																						
fc (kg/cm ²)	E	I (cm ⁴)	cu(kg/cm ²)	qu(kg/cm ²)	f(kg/cm ³)	T (cm)	Mpmax (kgcm)	Fm	L (cm)	Xt	Yt	S (cm)	Xs	Ys	Xn(jumlah asumsi)	Yn	Xd	Yd	FKg	Pmax (kg)	Mr (kNm)	Md (kNm)	Δ Mr (kNm)	Pt (kN)	n (jumlah cerucuk)
600	115126.02	18000	0.13	0.26	0.01	174.5	350000	1	550	18.33	1.3	100	3.33	0.8326	0	1.051	0.1719	2.6604	7.5929	15228	1115.5	1058.32	472.011	86.133	0.565643
600	115126.02	18000	0.13	0.26	0.01	174.5	350000	1	550	18.33	1.3	100	3.33	0.8326	1	1.004	0.1719	2.6604	7.254	14548	1115.5	1058.32	472.011	86.133	0.592073
600	115126.02	18000	0.13	0.26	0.01	174.5	350000	1	550	18.33	1.3	100	3.33	0.8326	2	0.957	0.1719	2.6604	6.915	13868	1115.5	1058.32	472.011	86.133	0.621095
600	115126.02	18000	0.13	0.26	0.01	174.5	350000	1	550	18.33	1.3	100	3.33	0.8326	3	0.91	0.1719	2.6604	6.576	13188	1115.5	1058.32	472.011	86.133	0.653109
600	115126.02	18000	0.13	0.26	0.01	174.5	350000	1	550	18.33	1.3	100	3.33	0.8326	4	0.863	0.1719	2.6604	6.2371	12508	1115.5	1058.32	472.011	86.133	0.688603
600	115126.02	18000	0.13	0.26	0.01	174.5	350000	1	550	18.33	1.3	100	3.33	0.8326	5	0.816	0.1719	2.6604	5.9891	11829	1115.5	1058.32	472.011	86.133	0.728176
600	115126.02	18000	0.13	0.26	0.01	174.5	350000	1	550	18.33	1.3	100	3.33	0.8326	6	0.769	0.1719	2.6604	5.5592	11149	1115.5	1058.32	472.011	86.133	0.772574
600	115126.02	18000	0.13	0.26	0.01	174.5	350000	1	550	18.33	1.3	100	3.33	0.8326	7	0.722	0.1719	2.6604	5.2202	10469	1115.5	1058.32	472.011	86.133	0.822739
600	115126.02	18000	0.13	0.26	0.01	174.5	350000	1	550	18.33	1.3	100	3.33	0.8326	8	0.675	0.1719	2.6604	4.8813	9789.3	1115.5	1058.32	472.011	86.133	0.87987
600	115126.02	18000	0.13	0.26	0.01	174.5	350000	1	550	18.33	1.3	100	3.33	0.8326	9	0.629	0.1719	2.6604	4.5423	9109.6	1115.5	1058.32	472.011	86.133	0.945528
600	115126.02	18000	0.13	0.26	0.01	174.5	350000	1	550	18.33	1.3	100	3.33	0.8326	10	0.582	0.1719	2.6604	4.2034	8429.8	1115.5	1058.32	472.011	86.133	1.021775
SFex	1.073	R (m)	5.36																						
fc (kg/cm ²)	E	I (cm ⁴)	cu(kg/cm ²)	qu(kg/cm ²)	f(kg/cm ³)	T (cm)	Mpmax (kgcm)	Fm	L (cm)	Xt	Yt	S (cm)	Xs	Ys	Xn(jumlah asumsi)	Yn	Xd	Yd	FKg	Pmax (kg)	Mr (kNm)	Md (kNm)	Δ Mr (kNm)	Pt (kN)	n (jumlah cerucuk)
600	115126.02	18000	0.13	0.26	0.01	174.5	350000	1	550	18.33	1.3	100	3.33	0.8326	0	1.051	0.1719	2.6604	7.5929	15228	1166.8	1087.46	464.344	86.631	0.568912
600	115126.02	18000	0.13	0.26	0.01	174.5	350000	1	550	18.33	1.3	100	3.33	0.8326	1	1.004	0.1719	2.6604	7.254	14548	1166.8	1087.46	464.344	86.631	0.595496
600	115126.02	18000	0.13	0.26	0.01	174.5	350000	1	550	18.33	1.3	100	3.33	0.8326	2	0.957	0.1719	2.6604	6.915	13868	1166.8	1087.46	464.344	86.631	0.624686
600	115126.02	18000	0.13	0.26	0.01	174.5	350000	1	550	18.33	1.3	100	3.33	0.8326	3	0.91	0.1719	2.6604	6.576	13188	1166.8	1087.46	464.344	86.631	0.656884
600	115126.02	18000	0.13	0.26	0.01	174.5	350000	1	550	18.33	1.3	100	3.33	0.8326	4	0.863	0.1719	2.6604	6.2371	12508	1166.8	1087.46	464.344	86.631	0.692583
600	115126.02	18000	0.13	0.26	0.01	174.5	350000	1	550	18.33	1.3	100	3.33	0.8326	5	0.816	0.1719	2.6604	5.8981	11829	1166.8	1087.46	464.344	86.631	0.732385
600	115126.02	18000	0.13	0.26	0.01	174.5	350000	1	550	18.33	1.3	100	3.33	0.8326	6	0.769	0.1719	2.6604	5.5592	11149	1166.8	1087.46	464.344	86.631	0.77704
600	115126.02	18000	0.13	0.26	0.01	174.5	350000	1	550	18.33	1.3	100	3.33	0.8326	7	0.722	0.1719	2.6604	5.2202	10469	1166.8	1087.46	464.344	86.631	0.827494
600	115126.02	18000	0.13	0.26	0.01	174.5	350000	1	550	18.33	1.3	100	3.33	0.8326	8	0.675	0.1719	2.6604	4.8813	9789.3	1166.8	1087.46	464.344	86.631	0.884956
600	115126.02	18000	0.13	0.26	0.01	174.5	350000	1	550	18.33	1.3	100	3.33	0.8326	9	0.629	0.1719	2.6604	4.5423	9109.6	1166.8	1087.46	464.344	86.631	0.950993
600	115126.02	18000	0.13	0.26	0.01	174.5	350000	1	550	18.33	1.3	100	3.33	0.8326	10	0.582	0.1719	2.6604	4.2034	8429.8	1166.8	1087.46	464.344	86.631	1.027681

-Zona 3

SFex	1.066	R (m)	5.89	fc (kg/c m2)	E	I (cm4)	cu(kg /cm2)	qu(kg /cm2)	f(kg/ cm3)	T (cm)	Mpmax (kgcm)	Fm	L (cm)	Xt	Yt	S (cm)	Xs	Ys	Xn(juml ah asumsi)	Yn	Xd	Yd	FKg	Pmax (kg)	Mr (kNm)	Md (kNm)	Δ Mr (kNm)	Pt (kN)	n (jumlah cerucuk)
600	115126.02	18000	0.13	0.26	0.01	174.52	350000	1	550	18.33	1.3	100	3.333	0.8326	0	1.051	0.1719	2.6604	7.593	15227.5	1149.4	1078.26	467.9627	79.45038	0.521755				
600	115126.02	18000	0.13	0.26	0.01	174.52	350000	1	550	18.33	1.3	100	3.333	0.8326	1	1.004	0.1719	2.6604	7.254	14547.8	1149.4	1078.26	467.9627	79.45038	0.546135				
600	115126.02	18000	0.13	0.26	0.01	174.52	350000	1	550	18.33	1.3	100	3.333	0.8326	2	0.957	0.1719	2.6604	6.915	13868	1149.4	1078.26	467.9627	79.45038	0.572905				
600	115126.02	18000	0.13	0.26	0.01	174.52	350000	1	550	18.33	1.3	100	3.333	0.8326	3	0.91	0.1719	2.6604	6.576	13188.2	1149.4	1078.26	467.9627	79.45038	0.602435				
600	115126.02	18000	0.13	0.26	0.01	174.52	350000	1	550	18.33	1.3	100	3.333	0.8326	4	0.863	0.1719	2.6604	6.237	12508.4	1149.4	1078.26	467.9627	79.45038	0.635175				
600	115126.02	18000	0.13	0.26	0.01	174.52	350000	1	550	18.33	1.3	100	3.333	0.8326	5	0.816	0.1719	2.6604	5.898	11828.7	1149.4	1078.26	467.9627	79.45038	0.671677				
600	115126.02	18000	0.13	0.26	0.01	174.52	350000	1	550	18.33	1.3	100	3.333	0.8326	6	0.769	0.1719	2.6604	5.559	11148.9	1149.4	1078.26	467.9627	79.45038	0.712631				
600	115126.02	18000	0.13	0.26	0.01	174.52	350000	1	550	18.33	1.3	100	3.333	0.8326	7	0.722	0.1719	2.6604	5.22	10469.1	1149.4	1078.26	467.9627	79.45038	0.758903				
600	115126.02	18000	0.13	0.26	0.01	174.52	350000	1	550	18.33	1.3	100	3.333	0.8326	8	0.675	0.1719	2.6604	4.881	9789.33	1149.4	1078.26	467.9627	79.45038	0.811602				
600	115126.02	18000	0.13	0.26	0.01	174.52	350000	1	550	18.33	1.3	100	3.333	0.8326	9	0.629	0.1719	2.6604	4.542	9109.56	1149.4	1078.26	467.9627	79.45038	0.872165				
600	115126.02	18000	0.13	0.26	0.01	174.52	350000	1	550	18.33	1.3	100	3.333	0.8326	10	0.582	0.1719	2.6604	4.203	8429.78	1149.4	1078.26	467.9627	79.45038	0.942496				

SFex	1.104		R (m)	5.6																					
fc (kg/c m2)	E	I (cm4)	cu(kg/ cm2)	qu(kg/ cm2)	f(kg/ cm3)	T (cm)	Mpmax (kgcm)	Fm	L (cm)	Xt	Yt	S (cm)	Xs	Ys	Xn(juml ah asumsi)	Yn	Xd	Yd	FKg	Pmax (kg)	Mr (kNm)	Md (kNm)	Δ Mr (kNm)	Pt (kN)	n (jumlah cerucuk)
600	115126.02	18000	0.13	0.26	0.01	174.52	350000	1	550	18.33	1.3	100	3.333	0.8326	0	1.051	0.1719	2.6604	7.593	15227.5	1153.7	1045.03	413.8308	73.89835	0.485294
600	115126.02	18000	0.13	0.26	0.01	174.52	350000	1	550	18.33	1.3	100	3.333	0.8326	1	1.004	0.1719	2.6604	7.254	14547.8	1153.7	1045.03	413.8308	73.89835	0.507971
600	115126.02	18000	0.13	0.26	0.01	174.52	350000	1	550	18.33	1.3	100	3.333	0.8326	2	0.957	0.1719	2.6604	6.915	13868	1153.7	1045.03	413.8308	73.89835	0.53287
600	115126.02	18000	0.13	0.26	0.01	174.52	350000	1	550	18.33	1.3	100	3.333	0.8326	3	0.91	0.1719	2.6604	6.576	13188.2	1153.7	1045.03	413.8308	73.89835	0.560337
600	115126.02	18000	0.13	0.26	0.01	174.52	350000	1	550	18.33	1.3	100	3.333	0.8326	4	0.863	0.1719	2.6604	6.237	12508.4	1153.7	1045.03	413.8308	73.89835	0.590788
600	115126.02	18000	0.13	0.26	0.01	174.52	350000	1	550	18.33	1.3	100	3.333	0.8326	5	0.816	0.1719	2.6604	5.898	11828.7	1153.7	1045.03	413.8308	73.89835	0.62474
600	115126.02	18000	0.13	0.26	0.01	174.52	350000	1	550	18.33	1.3	100	3.333	0.8326	6	0.769	0.1719	2.6604	5.559	11148.9	1153.7	1045.03	413.8308	73.89835	0.662832
600	115126.02	18000	0.13	0.26	0.01	174.52	350000	1	550	18.33	1.3	100	3.333	0.8326	7	0.722	0.1719	2.6604	5.22	10469.1	1153.7	1045.03	413.8308	73.89835	0.705871
600	115126.02	18000	0.13	0.26	0.01	174.52	350000	1	550	18.33	1.3	100	3.333	0.8326	8	0.675	0.1719	2.6604	4.881	9789.33	1153.7	1045.03	413.8308	73.89835	0.754886
600	115126.02	18000	0.13	0.26	0.01	174.52	350000	1	550	18.33	1.3	100	3.333	0.8326	9	0.629	0.1719	2.6604	4.542	9109.56	1153.7	1045.03	413.8308	73.89835	0.811218
600	115126.02	18000	0.13	0.26	0.01	174.52	350000	1	550	18.33	1.3	100	3.333	0.8326	10	0.582	0.1719	2.6604	4.203	8429.78	1153.7	1045.03	413.8308	73.89835	0.876634
SFex	1.158		R (m)	5.5																					
fc (kg/c m2)	E	I (cm4)	cu(kg/ cm2)	qu(kg/ cm2)	f(kg/ cm3)	T (cm)	Mpmax (kgcm)	Fm	L (cm)	Xt	Yt	S (cm)	Xs	Ys	Xn(juml ah asumsi)	Yn	Xd	Yd	FKg	Pmax (kg)	Mr (kNm)	Md (kNm)	Δ Mr (kNm)	Pt (kN)	n (jumlah cerucuk)
600	115126.02	18000	0.13	0.26	0.01	174.52	350000	1	550	18.33	1.3	100	3.333	0.8326	0	1.051	0.1719	2.6604	7.593	15227.5	1173.4	1013.32	346.557	63.01037	0.413792
600	115126.02	18000	0.13	0.26	0.01	174.52	350000	1	550	18.33	1.3	100	3.333	0.8326	1	1.004	0.1719	2.6604	7.254	14547.8	1173.4	1013.32	346.557	63.01037	0.433128
600	115126.02	18000	0.13	0.26	0.01	174.52	350000	1	550	18.33	1.3	100	3.333	0.8326	2	0.957	0.1719	2.6604	6.915	13868	1173.4	1013.32	346.557	63.01037	0.454359
600	115126.02	18000	0.13	0.26	0.01	174.52	350000	1	550	18.33	1.3	100	3.333	0.8326	3	0.91	0.1719	2.6604	6.576	13188.2	1173.4	1013.32	346.557	63.01037	0.477778
600	115126.02	18000	0.13	0.26	0.01	174.52	350000	1	550	18.33	1.3	100	3.333	0.8326	4	0.863	0.1719	2.6604	6.237	12508.4	1173.4	1013.32	346.557	63.01037	0.503743
600	115126.02	18000	0.13	0.26	0.01	174.52	350000	1	550	18.33	1.3	100	3.333	0.8326	5	0.816	0.1719	2.6604	5.898	11828.7	1173.4	1013.32	346.557	63.01037	0.532693
600	115126.02	18000	0.13	0.26	0.01	174.52	350000	1	550	18.33	1.3	100	3.333	0.8326	6	0.769	0.1719	2.6604	5.559	11148.9	1173.4	1013.32	346.557	63.01037	0.565172
600	115126.02	18000	0.13	0.26	0.01	174.52	350000	1	550	18.33	1.3	100	3.333	0.8326	7	0.722	0.1719	2.6604	5.22	10469.1	1173.4	1013.32	346.557	63.01037	0.60187
600	115126.02	18000	0.13	0.26	0.01	174.52	350000	1	550	18.33	1.3	100	3.333	0.8326	8	0.675	0.1719	2.6604	4.881	9789.33	1173.4	1013.32	346.557	63.01037	0.643664
600	115126.02	18000	0.13	0.26	0.01	174.52	350000	1	550	18.33	1.3	100	3.333	0.8326	9	0.629	0.1719	2.6604	4.542	9109.56	1173.4	1013.32	346.557	63.01037	0.691695
600	115126.02	18000	0.13	0.26	0.01	174.52	350000	1	550	18.33	1.3	100	3.333	0.8326	10	0.582	0.1719	2.6604	4.203	8429.78	1173.4	1013.32	346.557	63.01037	0.747473

SFlex	1.175	R (m)	6.9																						
fc (kg/c m2)	E	I (cm4)	cu(kg/ cm2)	qu(kg/ cm2)	f(kg/ cm3)	T (cm)	Mpmax (kgcm)	Fm	L (cm)	Xt	Yt	S (cm)	Xs	Ys	Xn(juml ah asumsi)	Yn	Xd	Yd	FKg	Pmax (kg)	Mr (kNm)	Md (kNm)	Δ Mr (kNm)	Pt (kN)	n (jumlah ceruk)
600	115126.02	18000	0.13	0.26	0.01	174.52	350000	1	550	18.33	1.3	100	3.333	0.8326	0	1.051	0.1719	2.6604	7.593	15227.5	1318.6	1122.21	364.7191	52.85785	0.34712
600	115126.02	18000	0.13	0.26	0.01	174.52	350000	1	550	18.33	1.3	100	3.333	0.8326	1	1.004	0.1719	2.6604	7.254	14547.8	1318.6	1122.21	364.7191	52.85785	0.36334
600	115126.02	18000	0.13	0.26	0.01	174.52	350000	1	550	18.33	1.3	100	3.333	0.8326	2	0.957	0.1719	2.6604	6.915	13868	1318.6	1122.21	364.7191	52.85785	0.38115
600	115126.02	18000	0.13	0.26	0.01	174.52	350000	1	550	18.33	1.3	100	3.333	0.8326	3	0.91	0.1719	2.6604	6.576	13188.2	1318.6	1122.21	364.7191	52.85785	0.400796
600	115126.02	18000	0.13	0.26	0.01	174.52	350000	1	550	18.33	1.3	100	3.333	0.8326	4	0.863	0.1719	2.6604	6.237	12508.4	1318.6	1122.21	364.7191	52.85785	0.422578
600	115126.02	18000	0.13	0.26	0.01	174.52	350000	1	550	18.33	1.3	100	3.333	0.8326	5	0.816	0.1719	2.6604	5.898	11828.7	1318.6	1122.21	364.7191	52.85785	0.446863
600	115126.02	18000	0.13	0.26	0.01	174.52	350000	1	550	18.33	1.3	100	3.333	0.8326	6	0.769	0.1719	2.6604	5.559	11148.9	1318.6	1122.21	364.7191	52.85785	0.474109
600	115126.02	18000	0.13	0.26	0.01	174.52	350000	1	550	18.33	1.3	100	3.333	0.8326	7	0.722	0.1719	2.6604	5.22	10469.1	1318.6	1122.21	364.7191	52.85785	0.504894
600	115126.02	18000	0.13	0.26	0.01	174.52	350000	1	550	18.33	1.3	100	3.333	0.8326	8	0.675	0.1719	2.6604	4.881	9789.33	1318.6	1122.21	364.7191	52.85785	0.539954
600	115126.02	18000	0.13	0.26	0.01	174.52	350000	1	550	18.33	1.3	100	3.333	0.8326	9	0.629	0.1719	2.6604	4.542	9109.56	1318.6	1122.21	364.7191	52.85785	0.580246
600	115126.02	18000	0.13	0.26	0.01	174.52	350000	1	550	18.33	1.3	100	3.333	0.8326	10	0.582	0.1719	2.6604	4.203	8429.78	1318.6	1122.21	364.7191	52.85785	0.627037
SFlex	1.183	R (m)	6.4																						
fc (kg/c m2)	E	I (cm4)	cu(kg/ cm2)	qu(kg/ cm2)	f(kg/ cm3)	T (cm)	Mpmax (kgcm)	Fm	L (cm)	Xt	Yt	S (cm)	Xs	Ys	Xn(juml ah asumsi)	Yn	Xd	Yd	FKg	Pmax (kg)	Mr (kNm)	Md (kNm)	Δ Mr (kNm)	Pt (kN)	n (jumlah ceruk)
600	115126.02	18000	0.13	0.26	0.01	174.52	350000	1	550	18.33	1.3	100	3.333	0.8326	0	1.051	0.1719	2.6604	7.593	15227.5	1271.9	1075.15	340.8219	53.25342	0.349718
600	115126.02	18000	0.13	0.26	0.01	174.52	350000	1	550	18.33	1.3	100	3.333	0.8326	1	1.004	0.1719	2.6604	7.254	14547.8	1271.9	1075.15	340.8219	53.25342	0.366059
600	115126.02	18000	0.13	0.26	0.01	174.52	350000	1	550	18.33	1.3	100	3.333	0.8326	2	0.957	0.1719	2.6604	6.915	13868	1271.9	1075.15	340.8219	53.25342	0.384003
600	115126.02	18000	0.13	0.26	0.01	174.52	350000	1	550	18.33	1.3	100	3.333	0.8326	3	0.91	0.1719	2.6604	6.576	13188.2	1271.9	1075.15	340.8219	53.25342	0.403796
600	115126.02	18000	0.13	0.26	0.01	174.52	350000	1	550	18.33	1.3	100	3.333	0.8326	4	0.863	0.1719	2.6604	6.237	12508.4	1271.9	1075.15	340.8219	53.25342	0.42574
600	115126.02	18000	0.13	0.26	0.01	174.52	350000	1	550	18.33	1.3	100	3.333	0.8326	5	0.816	0.1719	2.6604	5.898	11828.7	1271.9	1075.15	340.8219	53.25342	0.450207
600	115126.02	18000	0.13	0.26	0.01	174.52	350000	1	550	18.33	1.3	100	3.333	0.8326	6	0.769	0.1719	2.6604	5.559	11148.9	1271.9	1075.15	340.8219	53.25342	0.477657
600	115126.02	18000	0.13	0.26	0.01	174.52	350000	1	550	18.33	1.3	100	3.333	0.8326	7	0.722	0.1719	2.6604	5.22	10469.1	1271.9	1075.15	340.8219	53.25342	0.508672
600	115126.02	18000	0.13	0.26	0.01	174.52	350000	1	550	18.33	1.3	100	3.333	0.8326	8	0.675	0.1719	2.6604	4.881	9789.33	1271.9	1075.15	340.8219	53.25342	0.543994
600	115126.02	18000	0.13	0.26	0.01	174.52	350000	1	550	18.33	1.3	100	3.333	0.8326	9	0.629	0.1719	2.6604	4.542	9109.56	1271.9	1075.15	340.8219	53.25342	0.584588
600	115126.02	18000	0.13	0.26	0.01	174.52	350000	1	550	18.33	1.3	100	3.333	0.8326	10	0.582	0.1719	2.6604	4.203	8429.78	1271.9	1075.15	340.8219	53.25342	0.631729

“Halaman ini sengaja dikosongkan”

BIODATA PENULIS



Penulis memiliki nama lengkap Yudha Pratama Narra Putra. Lahir di Semarang Jawa Tengah pada tanggal 22 Maret 1995. Penulis menempuh pendidikan formal di TK Kartika 22 Semarang, SD Negeri 01 Salatiga, SMP Negeri 1 Salatiga, dan SMA Negeri 1 Salatiga. Setelah lulus dari SMA Negeri 1 Salatiga, penulis diterima di Jurusan Teknik Sipil FTSP-Institut Teknologi

Sepuluh Nopember Surabaya lewat jalur SNMPTN Undangan pada tahun 2013.

Di Jurusan Teknik Sipil, penulis mengambil judul Tugas Akhir di bidang Geoteknik. Selama masa perkuliahan penulis aktif di organisasi bidang kemahasiswaan dan ormawa. Penulis aktif pada UKM(Unit Kegiatan Mahasiswa) IBC (ITS Badminton Club) pada tahun pertama. Pada tahun kedua penulis menjadi ketua IKANMASS (Ikatan Mahasiswa Salatiga se-Surabaya) dan juga penulis menjadi pengurus BEM FTSP ITS sebagai staf departemen Seni dan Olahraga (SO). Penulis juga sering mengikuti kepanitian kelas nasional seperti menjadi panitia pada ASTEC ITS OPEN pada tahun 2013. Penulis dapat dihubungi melalui [email yudhanarraputra@gmail.com](mailto:yudhanarraputra@gmail.com).